

29532

**İNÖNÜ ÜNİVERSİTESİ
FEN-BİLİMLERİ ENSTİTÜSÜ**

**TETRAAMINOALKENLER
(ELEKTRONCA-ZENGİN OLEFINLER)**

Hasan KÜÇÜKBAY

**DOKTORA TEZİ
KİMYA ANABİLİM DALI**

"Fen Bilimleri Enstitüsü Müdürlüğüne"

İşbu çalışma, jürimiz tarafından Kimya Anabilim Dalında **DOKTORA TEZİ** olarak kabul edilmiştir.

Başkan Prof. Dr. Bektı GETINKAYA

Üye Prof. Dr. Engin GETINKAYA

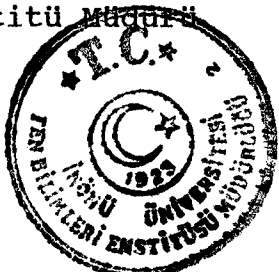
Üye Prof. Dr. Atilla ÖKTEMER

Onay

Yukarıdaki imzaların adı geçen öğretim üyelerine ait olduğunu onaylarım.

Prof. Dr. Eşref YÜKSEL

Enstitü Madürü



III

Sevgili oğlum Serkan'a

TEŞEKKÜR

Tez konusunu öneren ve bu çalışmayı yapabilmem için gerekli tüm olanakları sağlayan, değerli bilgileri ile bana yön veren danışman Hocam Sayın Prof.Dr. Engin ÇETINKAYA'ya çok teşekkür ederim.

Çalışmalarım süresince yakın ilgi ve desteğini hiç bir zaman eksiltmeyen değerli bilgileri ile bana güç veren Sayın Hocam Prof. Dr. Bekir ÇETINKAYA'ya en içten teşekkürlerimi arz ederim.

Sussex Üniversitesinde bana çalışma imkanı sağlayan Prof.Dr. Michael F. LAPPERT 'e teşekkür ederim.

Son olarak, çalışmalarım boyunca büyük bir sabırla bana destek ve moral veren eşim Arş.Grv. F. Zehra KÜÇÜKBAY'a teşekkür ederim.

İÇİNDEKİLER

1.GİRİŞ	1
1.1.Elektronca-zengin Olefinlerin Hazırlanması . . .	3
1.2.Elektronca-Zengin Olefinlerin Özellikleri ¹ . . .	6
1.3. Çalışmanın Amacı	15
2.DENEYSEL BÖLÜM	17
2.1. 3,3'-Propilendi(benzotiyazolyum) Dibromürün, 8; Hazırlanması	21
2.2. Bis(1,3-dialkilbenzimidazolidin-2-iliden)'lerden 2a'nın Sentezi	22
2.3. Bis(1,3-Dibenzilbenzimidazoliden-2-iliden)'i, 2d; sentez Etmek Amacıyla Yapılan Çalışmalar . . .	23
a) Tuz yöntemi	23
b) Mesitil magnezyum bromür ile 1d tuzunun etkileştirilmesi	24
c) Asetal Yöntemi	24
d) Bis(dimetilamino)-t-bütoksimetan Yöntemi . .	26
2.4. N-Metil-N'-benzilbenzimidazolyum Klorür, 1e, Bileşiğinin NaH ile Etkileştirilmesi; 3e Bileşiğinin Hazırlanması	27
2.5. 9 Bileşiğinin Hazırlanması	28
2.6. 2 Tipi Alkenlerin 6A Elementleri ile Verdiği Türevler	29
2.7. 2a Bileşiğinin P₄ ile etkileştirilmesi	30
2.8. Yeni Alkenlerin Fenilizotiyosiyanan(PhNCS) ile Verdiği Türevler	31
2.9. 2a,2b Bileşiklerinin Fenilizosiyanan(PhNCO) ile Verdiği Türevlerin Hazırlanması	32
2.10. 2a ve 2b Bileşiklerinin CS₂ ile Verdiği Türevler	33
2.11. 2c Bileşiğinin Metil İyodür İçeren CS₂ ile Etkileştirilmesi	34
2.12. 2a,2b ve 2c Bileşiklerinin Ag[BF₄] ile Etkileştirilmesi	35
2.13. 2a Bileşiğinin [RhCl(COD)]₂ ile Verdiği Türevlerin Hazırlanması	36

2.14. 2a,2b ve 7 Bileşiklerinin Fotolizi	37
2.15. 2a Bileşiğinin CHCl_3 ile Etkileştirilmesi ve 1,3-dimetilbenzimidazolyum Klorür Sentezi	37
2.16. 2a ve 2b Bileşiklerinin Asetonitril ile Etkileştirilmesi	38
2.17. 2a Bileşiğinin Dimetil Fosfit ile Etkileştirilmesi	39
2.18. 2a Bileşiğinin $(\text{Bu}^t)_3\text{SnH}$ ile Etkileştirilmesi	40
2.19. 2a Bileşiğinin $(\text{EtO})_3\text{SiH}$ ile Etkileştirilmesi	40
2.20. Bis(3-metilbenzotiyazolidin-2-iliden)'in, 7, EtOH ile Normal Koşullarda Etkileştirilmesi . .	41
2.21. 7 Bileşiğinin Dimetil Fosfit(DMP) ile Etkileştirilmesi	41
2.22. Elektronca-zengin Olefinlerin Benzoin ve Asetoin Tepkimelerindeki Katalitik Rolleri	42
3.SONUÇLAR VE TARTIŞMASI	45
3.1. Tuz Yöntemiyle bis(1,3-dialkilbenzimidazolidin- 2-iliden)'lerin Hazırlanması	45
3.2.Bis(1,3-dibenzilbenzimidazolidin-2-iliden)'i, 2d, Sentez Etmek Amacıyla Yapılan Çalışmalar . . .	56
3.3. 1-Metil-3-benzilbenzimidazolyum Klorürün NaH ile Etkileştirilmesi	74
3.4. Dibenzotiyazo[1,2-a:2',3'-c][1,4] diazepin'nin, 9, Hazırlanması	75
3.5. Yeni E.z.o.'lerin VIA-grubu Elementleri ile Verdiği Türevler	83
3.6. 2a Bileşiğinin P_4 ile Etkileştirilmesi	91
3.7. Yeni e.z.o.'lerin Fenilizotiosiyonat (PhNCS) ile Verdiği Türevler	92
3.8. Yeni e.z.o.'lerin PhNCO ile Verdiği Türevler .	98
3.9. Yeni e.z.o.'lerin CS_2 İle Etkileştirilmesi . .	101
3.10.2c Bileşiğinin Metil İyodürlü CS_2 ile Etkileştirilmesi	106
3.11.Yeni Olefin Bileşiklerinin $\text{Ag}[\text{BF}_4]$ ile Verdiği Dikatyonlar	109
3.12.Rodyum Karben Kompleksleri.	114

VII

3.13. Elektronca Zengin Olefinlerin Fotolizi . . .	120
3.14. 2a Bileşiğinin Proton Aktif Bileşiklerle Etkileştirilmesi	120
3.15. 7 Bileşiğinin EtoH ile Normal Atmosferde Etkileştirilmesi	133
3.16. Elektronca Zengin Olefinlerin Benzoin ve Asetoin Tepkimelerindeki Katalitik Rolleri	140
GENEL SONUÇ	145
KAYNAKLAR	146

VIII

TABLOLAR

Tablo 1.1. Bis(1,3-difenilimidazolidin-2-iliden) L_2^R 'nin bazı proton-aktif bileşiklerle verdiği ürünler.	11
Tablo 1.2. Bazı e.z.o.'lerin(L_2^R) benzoin kondenzasyonundaki katalitik etkisi.	14
Tablo 2.1. Bilinen yöntemlere göre sentez edilen bileşikler .	18
Tablo 2.2. 2a,2b ve 2c bileşiklerine ait bazı veriler. . .	23
Tablo 2.3. Yeni e.z.o.'lerin üre türevlerine ait element analizleri, e.n. ve verimler.	30
Tablo 2.4. Yeni e.z.o.'lerin PhCNS ile verdiği türevlere ait element analizi, e.n. ve verimler	32
Tablo 2.5. 2a ve 2b E.z.o.'lerin PhCNO ile verdiği türevlere ait element analizi, e.n. ve verimler.	33
Tablo 2.6. 13 ve 14 bileşiklerine ait element analizi, e.n. ve verimler	34
Tablo 2.7. 2a,b ve c e.z.o.'lerin Ag[BF ₄] ile verdiği türevlere ait element analizi, e.n. ve % verimler.	35
Tablo 2.8. 2a bileşiğinin [RhCl(COD)] ₂ ile verdiği türevlere ait element analizi ,e.n. ve verimler . . .	36
Tablo 2.9. 2a ve 2b bileşiklerinin CH ₃ CN ile verdiği türevlere ait element analizi,e.n. ve verimler. . .	39
Tablo 2.10. 7 Bileşiğinin bazı türevlerine ait element analizi,e.n. ve verimler	42
Tablo 2.11. Benzoin ve asetoin kondenzasyon tepkimelerine ait veriler .	44
Tablo 3.1. 2a bileşiğine ait bağ uzunlukları ve açılar, parentez içinde standart sapmaları ile görülmektedir. .	54
Tablo 3.2. L_2^{Bim} 'e ait moleküliçi bağ uzunlukları ve açılar, parentez içinde standart sapmaları ile görülmektedir. .	55
Tablo 3.3. Yeni e.z.o.' lerin VIA elementleri ile verdiği üre türevlere ait ¹ H-nmr ve FTIR verileri	89

Tablo 3.4. Yeni e.z.o.'lerin VIA elementleri ile verdiği üre türevlere ait $^{13}\text{C}-\{\text{H}\}$ nmr verileri	90
Tablo 3.5. Yeni e.z.o.'lerin VIA elementleri ile verdiği türevlere ait kütle parçalanma şeması	91
Tablo 3.6. Yeni E.z.o.'lerin PhCNS ile verdiği türevlere ait ^1H -nmr spektrum verileri	96
Tablo 3.7. Yeni e.z.o.'lerin PhNCS ile verdiği türevlere ait $^{13}\text{C}-\{\text{H}\}$ -nmr spektrum verileri	97
Tablo 3.8. Yeni e.z.o.'lerin PhNCS ile verdiği türevlere ait kütle parçalanma değerleri	97
Tablo 3.9. 12a bileşигine ait ^1H -nmr, $^{13}\text{C}-\{\text{H}\}$ -nmr ve kütle parçalanma verileri	101
Tablo 3.10 2a ve 2b e.z.o.'lerinin CS_2 türevlerine ait ^1H nmr spektrum verileri	105
Tablo 3.11 2a ve 2b e.z.o.'lerinin CS_2 türevlerine ait $^{13}\text{C}-\{\text{H}\}$ spektrum verileri	105
Tablo 3.12. Yeni e.z.o.'lerin $\text{Ag}[\text{BF}_4]'$ ile verdiği türevlere ait ^1H -nmr spektrum verileri	113
Tablo 3.13. Yeni e.z.o.'leri $\text{Ag}[\text{BF}_4]'$ ile verdiği türevlere ait $^{13}\text{C}-\{\text{H}\}$ nmr spektrum verileri	114
Tablo 3.14. Yeni e.z.o.'lerin $\text{Ag}[\text{BF}_4]$ ile verdiği türevlere ait kütle parçalanma değerleri.	114
Tablo 3.15 18 Bileşigine ait ^1H , $^{13}\text{C}-\{\text{H}\}$ ve $^{103}\text{Rh}-\{\text{H}\}$ -nmr spektrum verileri	119
Tablo 3.16 Yeni e.z.o.'lerin CH_3CN türevlerine ait ^1H -nmr ve FTIR spektrum verileri	127
Tablo 3.17 Yeni e.z.o.'lerin CH_3CN türevlerine ait $^{13}\text{C}-\{\text{H}\}$ spektrum verileri	127
Tablo 3.18. Yeni e.z.o.'lerin CH_3CN ile verdiği türevlere ait kütle parçalanma değerleri	128
Tablo 3.19. 25 bileşigine ait ^1H -nmr ve kütle spektrum verileri.	140
Tablo 3.21. L_2^{SMe} bileşiginin katalitik etkisi ile elde edilmiş asetoin verimleri ve tepkime koşulları . .	142
Tablo 3.22. Benzoin ve asetoin kondenzasyon tepkimelerine ait veriler	144

ŞEKİLLER

Şekil 1.1. Elektronca-zengin olefinlerde π-moleküller orbital enerji diyagramı¹	7
Şekil 1.2. E.z.o.'lerin benzoin kondenzasyonundaki katalitik çevrimi.	14
Şekil 3.1. 2a bileşiğine ait; (a) ^1H-nmr, (b) $^{13}\text{C}-\{^1\text{H}\}$-nmr spektrumları	48
Şekil 3.1. 2a bileşiğine ait; (c) FTIR ve (d) kütle spektrumları	49
Şekil 3.2. 2b bileşiğine ait; (a) ^1H-nmr, (b) $^{13}\text{C}-\{^1\text{H}\}$-nmr spektrumları	50
Şekil 3.2. 2b bileşiğine ait; (c) FTIR, (d) kütle spektrumları	51
Şekil 3.3. (a) 2a e.z.o.'i ve (b) L_2^{Bim}'in yapısı	53
Şekil 3.4. 3d bileşiğine ait; (a) ^1H-n.m.r., (b) $^{13}\text{C}-\{^1\text{H}\}$n.m.r. spektrumları	58
Şekil 3.4. 3d bileşiğine ait; (c) FTIR ve (d) kütle spektrumları	59
Şekil 3.5. 4d bileşiğine ait; (a) ^1H-n.m.r., (b) $^{13}\text{C}-\{^1\text{H}\}$-n.m.r. spektrumları	60
Şekil 3.5. 4d bileşiğine ait; (c) FTIR ve (d) kütle spektrumları	61
Şekil 3.6. 6 bileşiğine ait; (a) ^1H-n.m.r. spektrumu	64
Şekil 3.6. 6 bileşiğine ait; (b) $^{13}\text{C}-\{^1\text{H}\}$-n.m.r., (c) $^{15}\text{N}-\{^1\text{H}\}$-n.m.r., spektrumları	65
Şekil 3.6. 6 bileşiğine ait; (d) FTIR ve (e) kütle spektrumları	66
Şekil 3.7. 5 bileşiğine ait; (a) ^1H-n.m.r., (b) $^{13}\text{C}-\{^1\text{H}\}$-n.m.r. spektrumları	71
Şekil 3.7. 5 bileşiğine ait; (c) FTIR ve (d) kütle spektrumları	72
Şekil 3.8. 3e bileşiğine ait; (a) ^1H-n.m.r., (b) $^{13}\text{C}-\{^1\text{H}\}$-n.m.r. spektrumları	75
Şekil 3.8. 3e bileşiğine ait; (c) FTIR ve (d) kütle spektrumları	76
Şekil 3.9 8 Bileşiğine ait; (a) ^1H-nmr spektrumu	78

Şekil 3.9. 8 Bileşiğine ait; (b) $^{13}\text{C}-\{\text{H}\}$-nmr ve (c) FTIR spektrumları.	79
Şekil 3.9. 8 Bileşiğine ait; (d) kütle spektrumu.	80
Şekil 3.10.9 Bileşiğine ait; (a) ^1H-nmr spektrumu	80
Şekil 3.10.9 Bileşiğine ait; (b) $^{13}\text{C}-\{\text{H}\}$-nmr, (c) FTIR. spektrumları.	81
Şekil 3.10. 9 Bileşiğine ait; (d) kütle spektrumu.	82
Şekil 3.11. 2b olefinin selenyum türevine ait; (a) ^1H- nmr, (b) $^{13}\text{C}-\{\text{H}\}$-nmr spektrumları.	85
Şekil 3.11. 2b olefinin selenyum türevine ait; (c) FTIR ve (d) kütle spektrumları.	86
Şekil 3.12. 2a bileşiğinin PhNCS ile verdiği türeve ait; (a) ^1H-nmr spektrumu.	93
Şekil 3.12. 2a bileşiğinin PhNCS ile verdiği türeve ait; (b) ^{13}C-nmr ve (c) $^{15}\text{N}-\{\text{H}\}$-nmr spektrumları	94
Şekil 3.12. 2a bileşiğinin PhNCS ile verdiği türeve ait; (d) FTIR ve (e) kütle spektrumları.	95
Şekil 3.13. 12b'ye ait; (a) ^1H-nmr, (b) $^{13}\text{C}-\{\text{H}\}$-nmr spektrumları.	99
Şekil 3.13. 12b'ye ait; (c) FTIR ve (d) kütle spektrumları.	100
Şekil 3.14. 14 bileşiğine ait; (a) ^1H-nmr spektrumu. .	102
Şekil 3.14. 14 bileşiğine ait; (b) $^{13}\text{C}-\{\text{H}\}$-nmr, (c) FTIR spektrumları.	103
Şekil 3.14. 14 bileşiğine ait; (d) kütle spektrumu . .	104
Şekil 3.15. 15 nolu bileşiğe ait; (a) ^1H-nmnr, (b) $^{13}\text{C}-\{\text{H}\}$- nmr spektrumları.	107
Şekil 3.15. 15 nolu bileşiğe ait; (c) $^{13}\text{C}-^1\text{H}$-n.m.r. ve (d) FTIR spektrumları.	108
Şekil 3.15. 15 nolu bileşiğe ait; (e) kütle spektrumu. .	109
Şekil 3.16. 2c olefininin $\text{Ag}[\text{BF}_4]$ ile verdiği türeve ait; (a) ^1H-nmnr, (b) $^{13}\text{C}-\{\text{H}\}$-nmr spektrumları.	111
Şekil 3.16. 2c olefininin $\text{Ag}[\text{BF}_4]$ ile verdiği türeve ait; (c) FTIR ve (d) kütle spektrumları.	112
Şekil 3.17. 17 bileşiğine ait; (a) ^1H-nmr, (b) $^{13}\text{C}-\{\text{H}\}$-nmr spektrumları.	116

XII

Şekil 3.17. 17 bileşiğine ait; (c) $^{13}\text{C}-\{\text{H}\}$ -nmr (spin-echo), (d) $^{103}\text{Rh}-\{\text{H}\}$ spektrumları	117
Şekil 3.17. 17 bileşiğine ait; (e) FTIR ve (f) kütle spektrumları	118
Şekil 3.18. 2a bileşiğinin CHCl_3 ile etkileştirilmesi ile ele geçen bileşiğe ait; (a) ^1H -nmr ve (b) $^{13}\text{C}-\{\text{H}\}$ -nmr spektrumları	122
Şekil 3.18. 1,3-dimetilbenzimidazolyum iyodür 1a bileşiğine ait; (c) $^{13}\text{C}-\{\text{H}\}$ -nmr (spin-echo) ve (d) $^{13}\text{C}-\{\text{H}\}$ -nmr spektrumları	123
Şekil 3.19. 20 bileşiğine ait; (a) ^1H -nmr, (b) $^{13}\text{C}-\{\text{H}\}$ -nmr spektrumları	125
Şekil 3.19. 20 bileşiğine ait; (c) FTIR ve (d) kütle spektrumları	126
Şekil 3.20. 21 bileşiğine ait; (a) ^1H -nmr, (b) $^{13}\text{C}-\{\text{H}\}$ -nmr spektrumları	129
Şekil 3.20. 21 bileşiğine ait; (c) $^{13}\text{C}-\text{H}$ ve (d) ^{31}P -nmr spektrumları	130
Şekil 3.20. 21 bileşiğine ait; (e) FTIR spektrumu . .	131
Şekil 3.21. 22 bileşiğine ait; (a) ^1H -nmr ve (b) $^{13}\text{C}-\{\text{H}\}$ - nmr spektrumları	134
Şekil 3.21. 22 bileşiğine ait; (c) FTIR ve (d) kütle spektrumları	135
Şekil 3.22. 24 bileşiğine ait; (a) ^1H -nmr spektrumu . .	137
Şekil 3.22. 24 bileşiğine ait; (b) $^{13}\text{C}-\{\text{H}\}$ ve (c) $^{31}\text{P}-\{\text{H}\}$ - nmr spektrumları	138
Şekil 3.22. 24 bileşiğine ait; (d) FTIR spektrumu . .	139

SİMGELER VE KISALTMALAR

e.z.o.	: Elektronca-zengin olefin
TDAE	: Tetraaminoetilen
DMSO	: Dimetil sülfovksit
DMF	: Dimetilformamit
DMP	: Dimetil fosfit
thf	: Tetrahidrofuran
COD	: Siklookta-1,5-dien
FTIR	: Fourier transform infrared
nmr	: Nükleer magnetik rezonans
e.n.	: Erime noktası
k.n.	: Kaynama noktası
Et ₂ O	: Dietil eter
Me	: Metil
Et	: Etil
Bu ^t	: Tersiyerbütil
Bz	: Benzil
s	: Singlet
d	: Dublet
t	: Triplet
q	: Kuartet
m	: Maltiplet
dk	: Dakika
st	: Saat

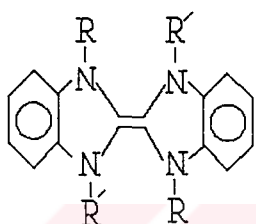
ÖZET

Bu çalışma özellikle benzimidazol ve benzeri halka içeren elektronca-zengin olefinlerle(e.z.o.) ilgiliidir ve üç bölümden oluşmuştur.

Birinci bölümde e.z.o.'lerle ilgili ve başkalarınca yapılmış çalışmalar değerlendirilmiştir.

İkinci bölüm e.z.o.'lerin sentez yöntemleri ve bazı tepkimeleri ile ilgiliidir ve üç alt bölüme ayrılmaktadır.

a) Benzimidazol çekirdeği içeren yeni 2 tipi e.z.o.'lerin sentez edilmeleri ve bazı özelliklerinin araştırılması.

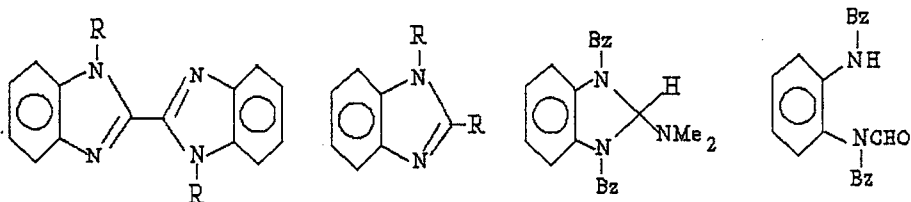


2

- 2a R,R'=Me
- 2b R,R'=Et
- 2c R=Me;R'=Et
- 2d R,R'=Bz
- 2e R=Me,R'=Bz

2 Tipi e.z.o.'lerden 2a, 2b ve 2c çok yüksek verimle sentez edildi. Diğer taraftan, benzil grupları nedeni ile 2d ve 2e e.z.o.'leri izole edilemezken bunların debenzilasyon ürünleri 3d, 4d ve 3e izole edildi.

N,N'-dibenzil-o-fenilendiaminin bis(dimetilamino)-t-bütoksimetan ve alkollu KOH ile etkileştirilmesinden sırasıyla 5 ve 6 nolu bileşikler ele geçti.



3d R=Bz
3e R=Me

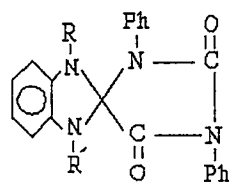
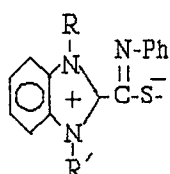
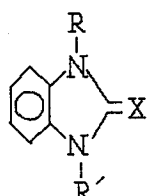
4d R=Bz

5

6

2 tipi e.z.o.'lerin havada kendiliğinden tutuşarak yandığı ve kemilüminesans özellik gösterdiği saptandı.

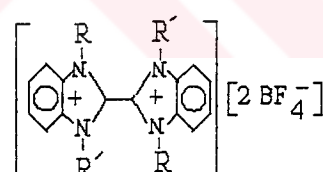
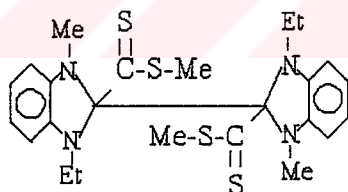
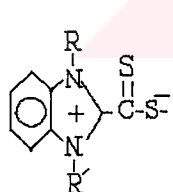
2 tipi e.z.o.'ler 6A-elementleri(O, S, Se, Te), PhNCO, CS₂, metil iyodürlü CS₂, Ag[BF₄], [{RhCl(COD)}₂], CH₃CN ve dimetil fosfit ile etkileştererek sırasıyla **10**, **11**, **12**, **13**, **14**, **15**, **16**, **17**, **18**, **19**, **20** ve **21** nolu bileşikler sentez edildi.



10a R,R'=Me;
X=O,S,Se,Te
10b R,R'=Et;
X=O,S,Se,Te
10c R=Me,R'=Et;
X=S,Se,Te
10d R,R'=Bz;
X=S

11a R,R'=Me
11b R,R'=Et
11c R=Me,R'=Et
11d R,R'=Bz

12a R,R'=Me
12b R,R'=Et



13 R=Me

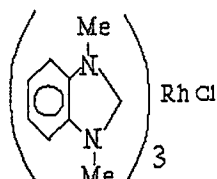
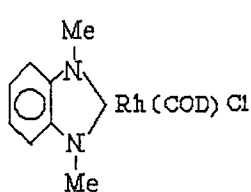
14 R=Et

15

16a R,R'=Me

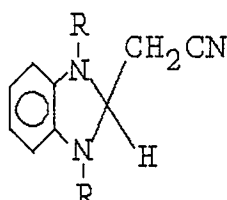
16b R,R'=Et

16c R=Me,R'=Et



17

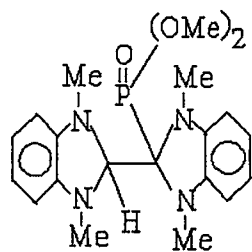
18



19 R=Me

20 R=Et

XVI

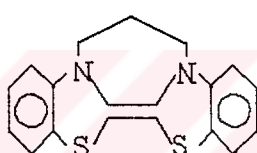


21

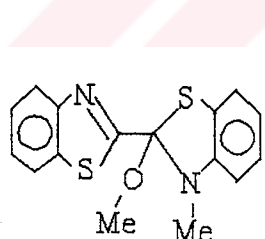
b) Benzotiyazol çekirdeği içeren ve *trans* yapıya sahip 7 e.z.o.'i kullanılarak 22, 24 ve 25 nolu bileşikler sentez edildi. Ayrıca 7 e.z.o.'nin benzeri olan ancak *cis* yapıya sahip 9 e.z.o.'i ilk kez sentez edilerek fiziksel ve spektroskopik özellikleri belirlendi.



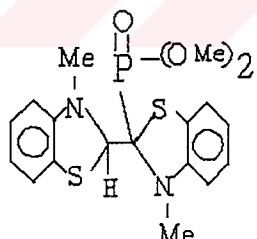
7



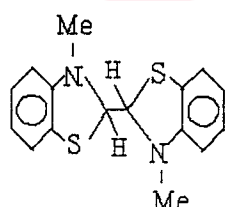
9



22



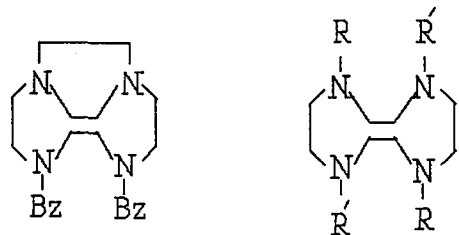
24



25

XVII

c) Yeni e.z.o.'ler **2a** ve **2b** ile **35,36a** ve **36b** e.z.o.'lerinin benzoin ve asetoin tepkimelerindeki katalitik etkileri araştırıldı.



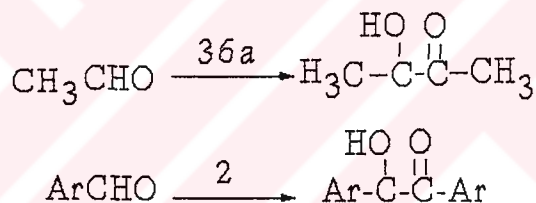
35

36a $R, R' = Bz$

36b $R = Et, R' = Bz$

Bu katalitik tepkimeler sonucunda **2a** ve **2b** benzaldehit, anisaldehit, 4-tolilbenzaldehit, salisaldehit ve furfuralı benzoin ve benzoin analoglarına yüksek verimle dönüştürüldüğü saptandı.

Diğer taraftan **35,36a** ve **36b** e.z.o.'lerinden **36a** oda sıcaklığında asetaldehitin % 50 verimle asetoin'e çevirdiği kanıtlandı.



Son bölüm ise yeni bileşiklere ait $^1\text{H-nmr}$, $^{13}\text{C}-\{^1\text{H}\}$ -nmr, ^{13}C -nmr, $^{13}\text{C}-\{^1\text{H}\}$ -nmr (spin-echo), $^{31}\text{P}-\{^1\text{H}\}$, $^{15}\text{N}-\{^1\text{H}\}$, $^{103}\text{Rh}-\{^1\text{H}\}$ -nmr, FTIR, kütle spektrumları, element analiz ve en ya da *kn* verileri, **2a** bileşiği ve **16a** bileşiğine ait X-ışınları spektrum verileri ile elde edilen bütün sonuçların tartışmasını içermektedir.

XVIII

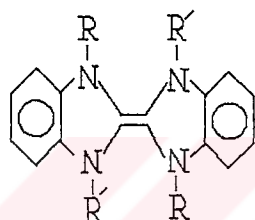
SUMMARY

This work particularly deals with electron-rich olefins(e.r.o.) which have benzimidazole and related rings and consists of three chapter.

In the first chapter; work with e.r.o.'s done by previous research workers is considered.

The second chapter is concerned with synthesis methods and some reactions of e.r.o.'s, and is divided into three subchapters:

(a) The synthesis, investigations and some properties of new e.r.o.'s of **2** type which contains benzimidazole kernel.

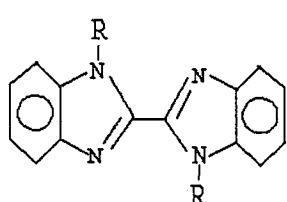


2

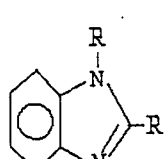
- 2a** R,R'=Me
- 2b** R,R'=Et
- 2c** R=Me;R'=Et
- 2d** R,R'=Bz
- 2e** R=Me,R'=Bz

Among the e.r.o.'s of **2** type, **2a**, **2b** and **2c** were synthesized in high yields. On the other hand, due to presence of benzyl groups, **2d** and **2e** e.r.o.'s could not be isolated but debenzylated derivatives; **3d**, **4d** and **3e** were obtained instead of the e.r.o.'s.

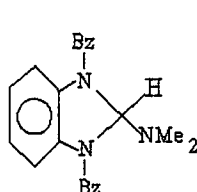
From the reaction of N,N'-dibenzyl-o-phenylenediamine with bis(dimethylamino)-t-butoxymethane and alcoholic KOH were obtained compounds of **5** and **6**, respectively.



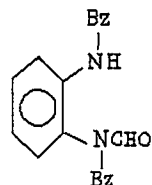
3d R=Bz
3e R=Me



4d R=Bz



5

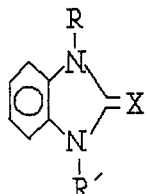


6

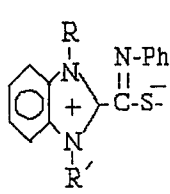
XIX

It has been found out that the e.r.o.'s of 2 type spontaneously inflames in air and shows chemiluminescence.

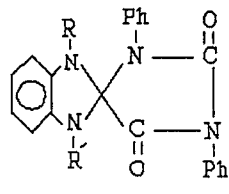
Through the reaction of the e.r.o.'s of 2 type with the 6A-elements(O, S, Se, Te), PhNCS, PhNCO, CS₂, Ag[BF₄]₂, {RhCl(COD)}₂, CH₃CN, and dimethyl phosphite were synthesized compounds of 10, 11, 12, 13, 14, 15, 16, 17, 18, 19, 20 and 21, respectively.



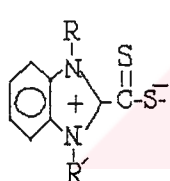
- 10a** R, R' = Me;
X = O, S, Se, Te
10b R, R' = Et;
X = O, S, Se, Te
10c R = Me, R' = Et;
X = S, Se, Te
10d R, R' = Bz;
X = S



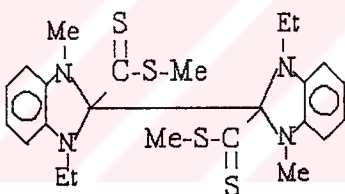
- 11a** R, R' = Me
11b R, R' = Et
11c R = Me, R' = Et
11d R, R' = Bz



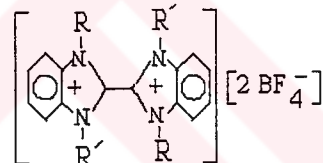
- 12a** R, R' = Me
12b R, R' = Et



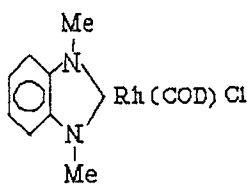
- 13** R = Me
14 R = Et



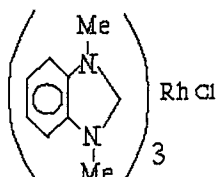
15



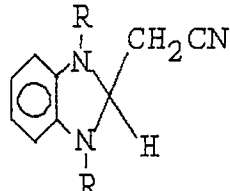
- 16a** R, R' = Me
16b R, R' = Et
16c R = Me, R' = Et



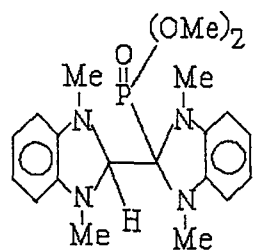
17



18

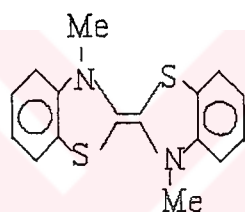


- 19** R = Me
20 R = Et

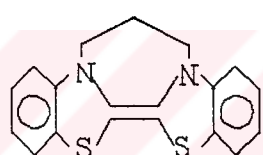


21

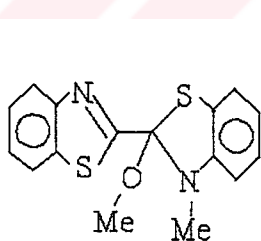
(b) Compounds of 22, 24 and 25 were synthesized using the e.r.o. of 7 which has benzothiazole kernel and *trans*-structure. In addition, e.r.o. of type 9 which analogue compound to 7, but has *cis*-structure was synthesized first time and determined physical and spectroscopic properties.



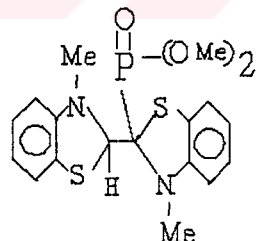
7



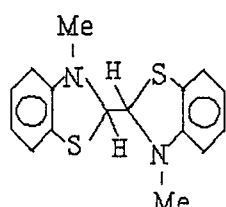
9



22

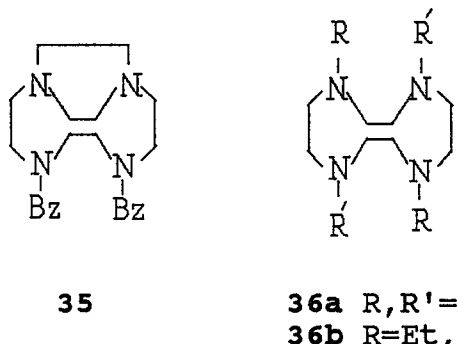


24



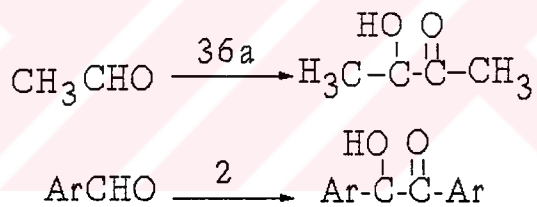
25

(c) The catalytic effect on the benzoin and acetoin reactions of the new e.r.o.'s of **2a** and **2b** and e.r.o.'s of **35**, **36a** and **36b** were investigated.



It has been fixed that, using the olefins of **2a** and **2b** as a catalyst, benzaldehyde, anisaldehyde, *p*-tolilbenzaldehyde, salisaldehyde and furfural were converted to benzoin and benzoin analogues with high yields.

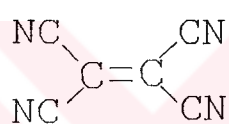
On the other hand, it has been proved that, only **36a** from e.r.o.'s of **35**, **36a** and **36b** was converted acetaldehyde to acetoin with 50 % yield at room temperature.



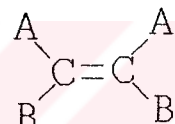
The last chapter contains x-ray spectrum data of **2a** and **16a** and ^1H -nmr, $^{13}\text{C}-\{^1\text{H}\}$ -nmr, $^{13}\text{C}-^1\text{H}$ -nmr, $^{13}\text{C}-\{^1\text{H}\}$ -nmr (spin-echo), $^{31}\text{P}-\{^1\text{H}\}$, $^{15}\text{N}-\{^1\text{H}\}$, $^{103}\text{Rh}-\{^1\text{H}\}$ -nmr, FTIR, mass spectrums, micro analysis and melting or boiling points data of all new compounds and contains their discussion with all results have been obtained.

1.GİRİŞ

Olefinik çift bağın özelliği taşıdığı sübstiyentlerle önemli ölçüde etkilenmektedir; örneğin, dört tane elektron çekici siyano grubu taşıyan I olefini kuvvetli elektrofil özellik göstermektedir. Buna karşılık dört tane NR_2 , OR , SR gibi elektron salıcı grup taşıyan II tipi olefinler kuvvetli nükleofildirler ve bu bileşikler **elektronca-zengin olefin (e.z.o.)** olarak tanımlanırlar¹.

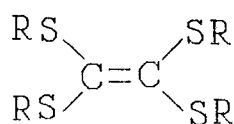


I
TCNE



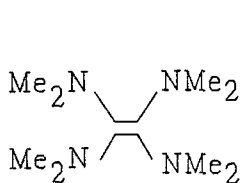
II
 $\text{A}, \text{B} = \text{NR}_2, \text{OR}, \text{SR}$
 $\text{A}=\text{B} = \text{SR}$

A ve B sübstiyentlerinin elektron sağlama yeteneği $\text{SR} < \text{OR} < \text{NR}_2$ sırasına göre artmaktadır. Tetraaminoetilenler (II, $\text{A}=\text{B}=\text{NR}_2$) kuvvetli ve çok reaktif nükleofildirler. Tetramerkaptoetilenler (III) ise elektrofillerle çok zayıf olarak etkileşirler. Hückel hesaplamaları olefinik karbon atomundaki yük yoğunluğunun kükürt atomunkinden daha az olduğunu göstermektedir. Bu nedenle elektrofiller çift bağ yerine kükürt atomuna saldırır ve tetramerkaptoetilenler III, elektronca-zengin olefinlerin kimyasal davranışlarını göstermezler².

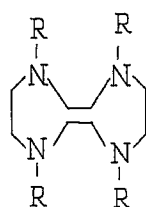
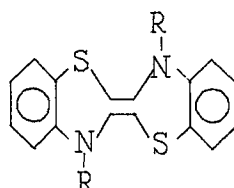


III

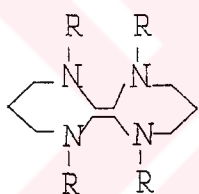
Kuvvetli indirgen³, nükleofilik karben kaynağı⁴, proton aktif bileşikleri formilleyici⁵, radikal ömrünü artırıcı^{6,7}, kemilüminasan^{8,9,10} ve benzoin tipi C-C oluşum tepkimelerinde katalizör¹¹ olarak kullanılan e.z.o.'lere aşağıda bir kaç örnek verilmiştir.



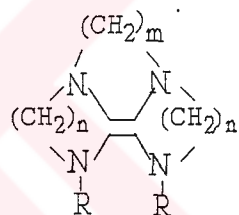
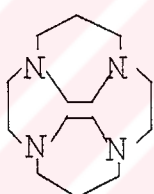
TDAE

L₂^R

R:Me, Et, Ph, Bz R:Me, Et, Bz, Alil



R:Me, Et

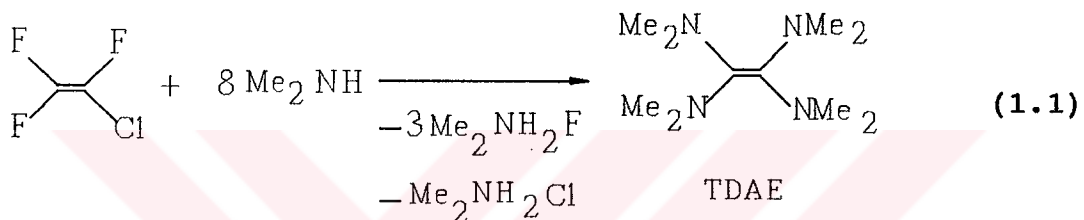


n, m, R: 2, 2, Bz (Me)
n, m, R: 2, 3, Bz
n, m, R: 3, 2, Bz

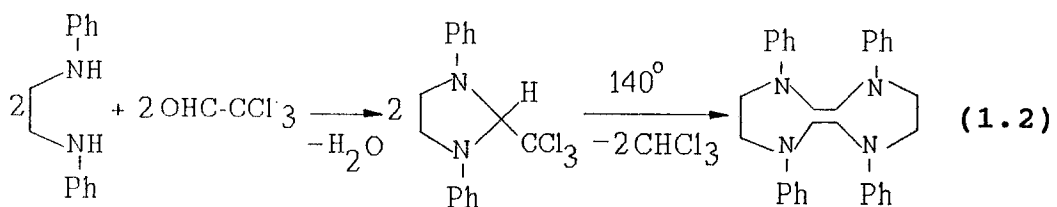
E.z.o.'lerle ilgili literatür incelendiğinde, imidazolidin çekirdeği içeren olefinler üzerine bir çok çalışma yapıldığı, fakat benzimidazolidin çekirdeği içeren olefinlerle ilgili çalışmaların yetersiz olduğu görülmektedir. Bu nedenle, bu tez kapsamında, benzimidazol çekirdeği içeren e.z.o.'lerle ilgili bugüne kadar yapılmış bütün çalışmalar ile benzotiyazolidin ve imidazolidin çekirdeği içerenlerin bu çalışmaya ilgilendiren kısımlarına yer verilmiştir.

1.1. Elektronca-zengin Olefinlerin Hazırlanması.

Elektronca-zengin olefinler ile ilgili sistematik çalışmalar yaklaşık kırk yıl önce başlamış ve günümüzde de büyük bir ilgi ile sürdürülmektedir. 1950 yılında Pruett ve arkadaşları triflorokloroeten ile dimetilamini otoklavda etkileştirecek ilk elektronca-zengin olefin; tetrakis(dimetilamino)etileni (TDAE) sentez ettiler (tep. 1.1)⁸.

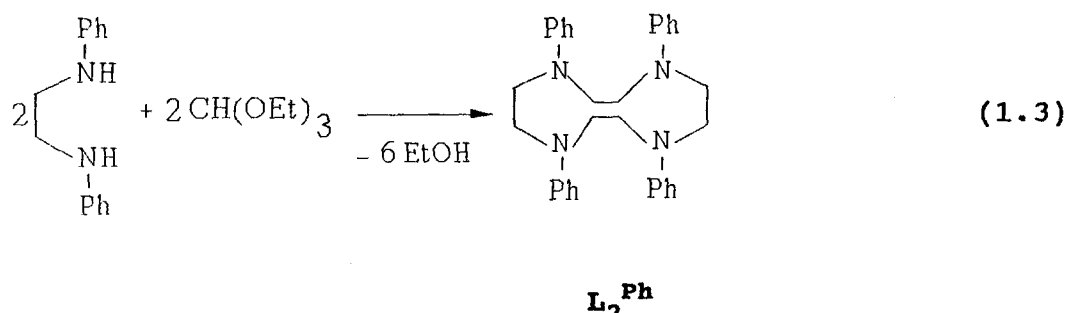


E.z.o. (tetraaminoetilen)'ler için sistematik çalışmalar 1960 yılında bu grubun ikinci üyesi olan bis(1,3-difenilimidazolidin-2-iliden)'in Wanzlick ve arkadaşları tarafından sentez edilmesi ile başlamıştır. Wanzlick olefini olarakta bilinen, bis(1,3-difenilimidazolidin-2-iliden), tepkime (1.2)'ye göre sentezlenmiştir¹².

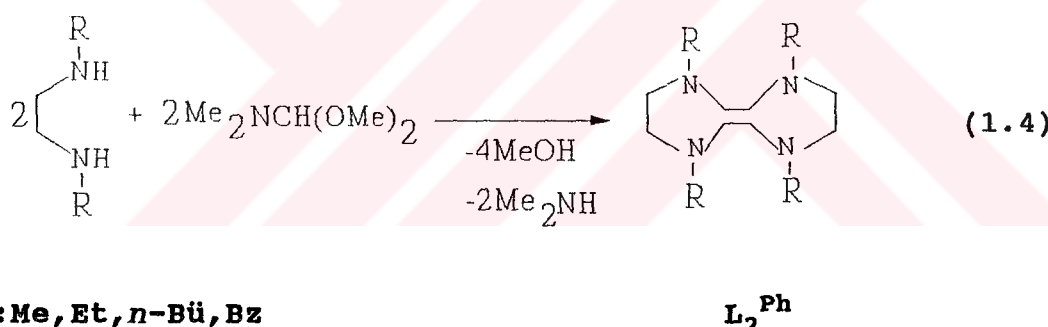


L_2^{Ph}

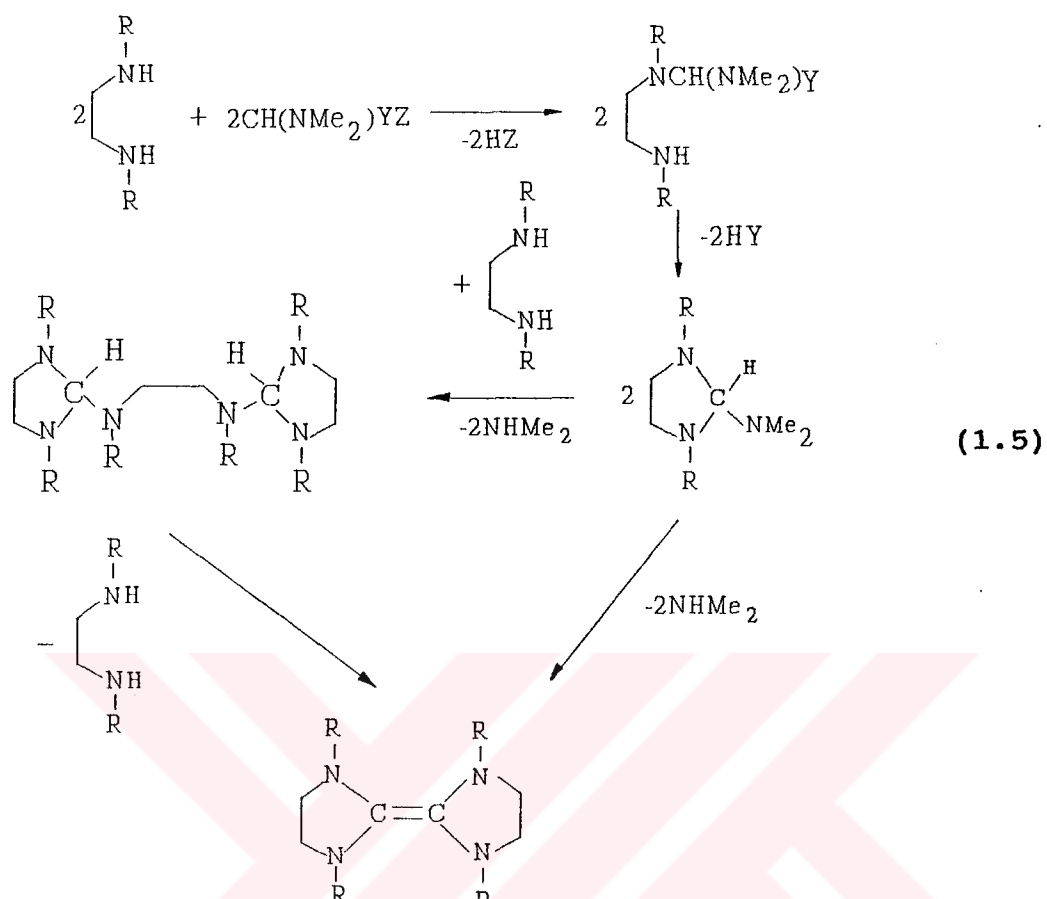
Bis(1,3-difenilimidazolidin-2-iliden) bileşiği yine Wanzlick ve Schikora tarafından 1961 yılında 1,2-difenil-1,2-diaminoetan ve trietyl ortoformiyattan da tepkime (1.3)'e göre sentez edilmiştir¹³.



Elektronca-zengin olefinlerin sentezi için daha genel bir yöntem, Winberg ve arkadaşları tarafından 1965 yılında tepkime (1.4)'te görüldüğü şekilde geliştirilmiştir¹⁴.

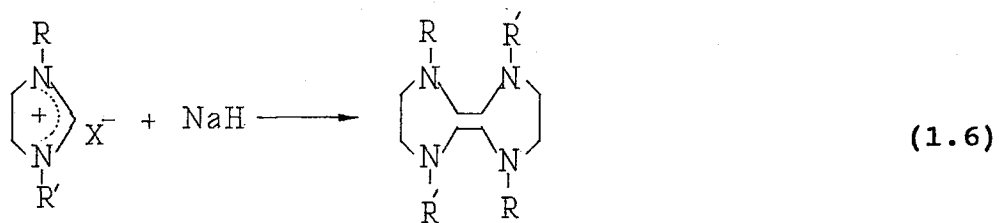


Benzil grubu içeren elektronca-zengin olefin sentezi, genel e.z.o. sentez yönteminden (asetal yöntemi) biraz farklı basamaklar içermektedir (tepkime 1.5)¹⁵.



$\text{R}=\text{Bz}; \text{Y}=\text{NMe}_2$ veya OMe ; $\text{Z}=\text{NMe}_2$, OMe veya OBü^t

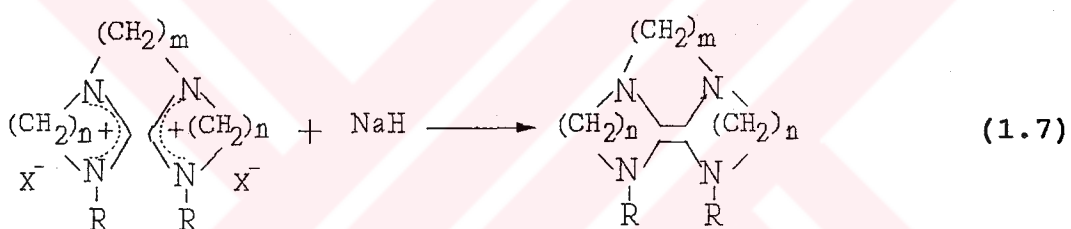
Son yıllarda, J.Bourson'un aksine imidazolin çekirdeği içeren bisiklik (tepkième 1.6.) ve endotrisiklik (tepkième 1.7.) elektronca-zengin olefinler sentez edilerek bu alanda değişik bir metod daha geliştirildi¹⁶.



$R, R' = Me; R, R' = Et$

L^R_2

$R = Me, R' = Et$



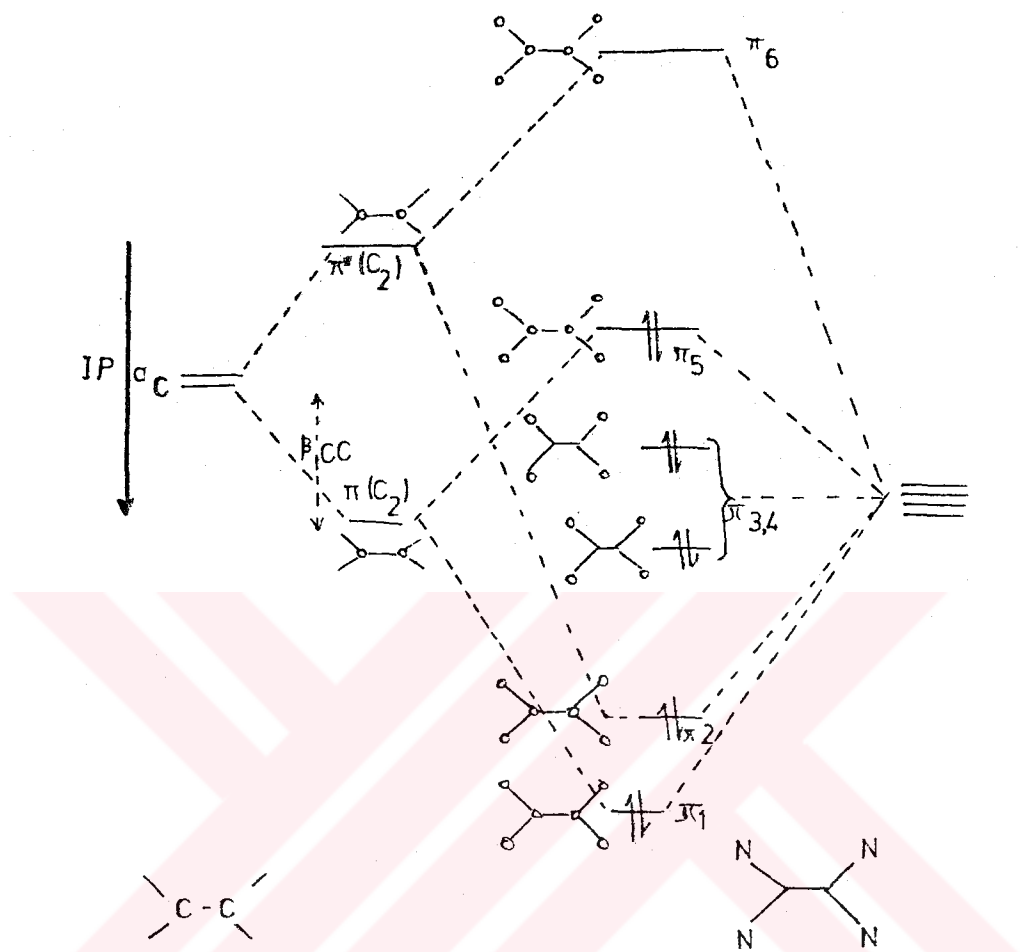
$n, m, R = 2, 2, Bz (Me)$

$n, m, R = 2, 3, Bz$

$n, m, R = 3, 2, Bz$

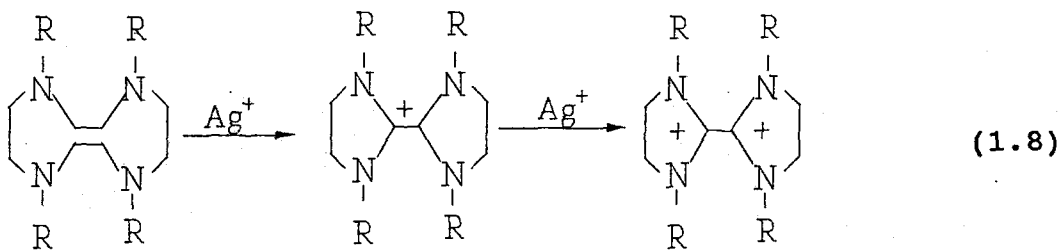
1.2. Elektronca-Zengin Olefinlerin Özellikleri ¹

Tetraaminoetilendeki karbon-karbon çift bağının tepkinliği Hückel moleküler orbital yaklaşımı ile açıklanabilir. TDAE veya L^R_2 sistemindeki altı π -moleküler orbitalinin enerji diyagramı şekil 1.1'de görülmektedir¹.

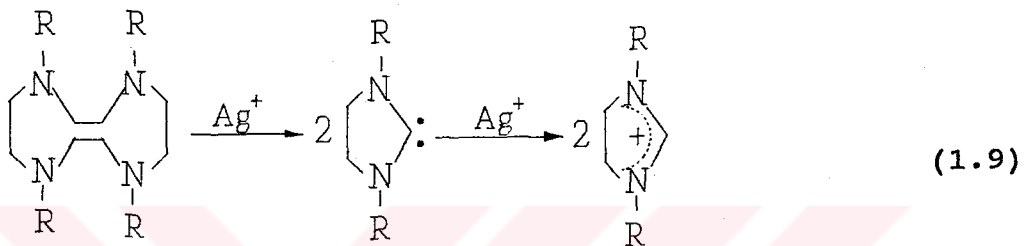


Sekil 1.1. Elektronca-zengin olefinlerde π -moleküler orbital enerji diyagramı¹

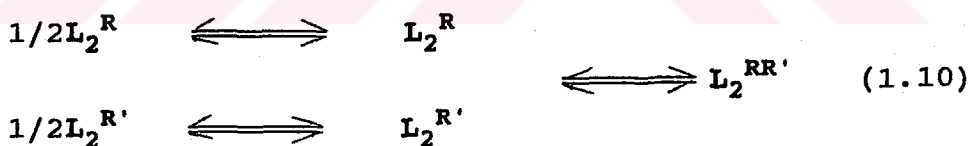
Buna göre, iki elektron yüksek enerjili karşı-bağlayıcı orbitalde bulunmaktadır ve kolayca uzaklaşabilmektedir. Gerçekten birinci iyonlaşma potansiyeli (İ.P.) TDAE için 6.0ev, L_2^{Me} için 6.1ev olarak bulunmuştur^{3,12,17,18}. Bu değerler etilenin iyonlaşma potansiyelinden (10.5ev) küçüktür ve sodyumun iyonlaşma potansiyeli (5.15ev) ile karşılaştırılabilen büyükliktedir. Birinci iyonlaşma potansiyeli küçük olduğundan tetraaminoetilenler kolayca radikal katyon $[L_2^R]^+$, ya da dikatyon $[L_2^R]^{2+}$ oluştururlar ve indirgen olarak davranışırlar. Örneğin L_2^R , Ag^+ iyonları tarafından dikatyona yükseltgenir (tepkime 1.8).



Başlangıçta e.z.o.'lerin tepkime 1.9. 'a göre rezonansla kararlı hale gelen iki nükleofilik karbene ayrıştığı sanılmıştır.

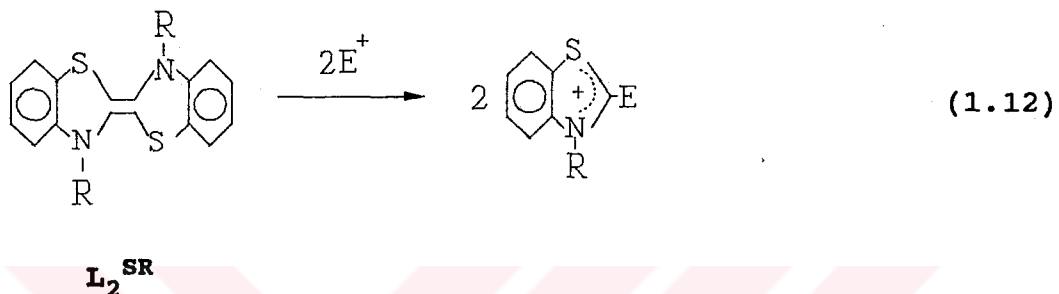
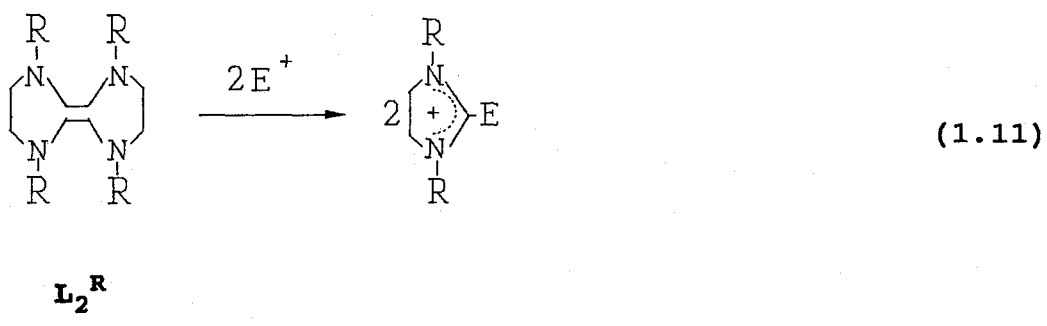


Buna göre tepkime (1.9)'da olduğu gibi, olefin karbenle dengede ise, simetrik sübstítüye iki olefinin (örneğin L_2^R , $L_2^{R'}$) etkileşmesi sonucu asimetrik sübstítüye yeni bir olefin, $L_2^{RR'}$, oluşacaktır (tepkime 1.10).

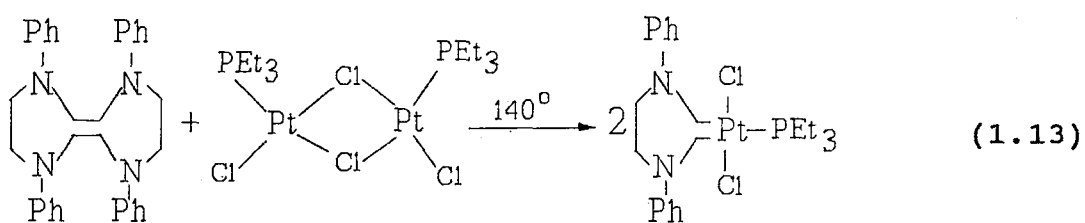


Fakat, L_2^R , $L_2^{R'}$ karışımıları ile yapılan deneyler $L_2^{RR'}$ bileşığının oluşmadığını ve dolaysı ile tetraaminoetilenlerin karbene ayrılmadığını göstermiştir. Buna karşılık, bazı Rh(I) komplekslerinin yukarıdaki (1.10) denklemi ile gösterilen olefin dismutasyonunu katalizlediği ortaya çıkarılmıştır¹⁹.

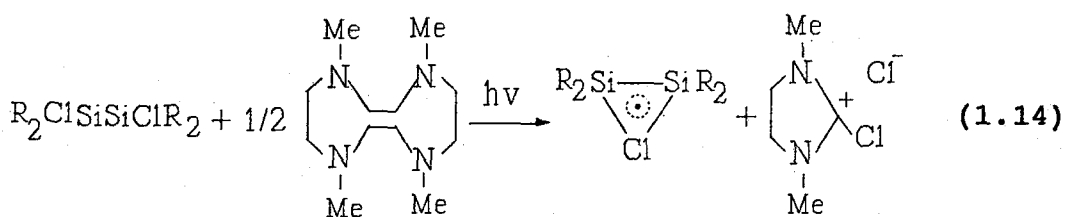
Karbon-karbon çift bağının kopması ile sonuçlanan tepkimeler, e.z.o.'lerin en önemli özellikleidir. Halkalı olefinler (L_2^R) elektrofillerle (E^+) etkileştiğinde, genellikle çift bağ kopar ve tepkime (1.11) ve (1.12)'deki örneklerde görüldüğü gibi (E^+) halkanın C²-konumuna bağlanır.



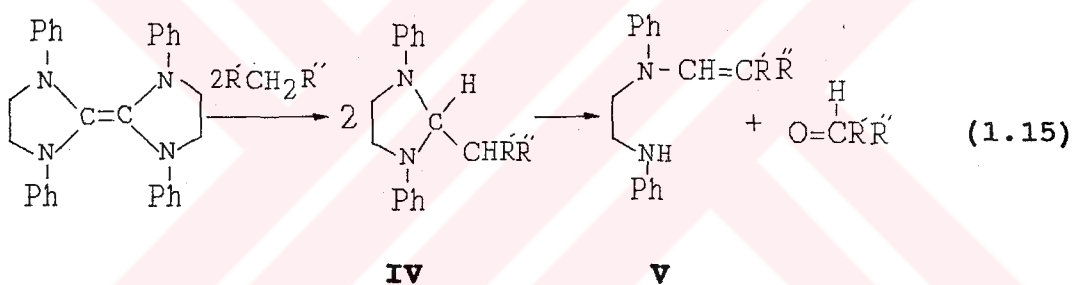
E.z.o.'lerde olefinik bağın zayıf oluşu, elektrofilik nitelikteki geçiş metali bileşikleriyle metal-karben($M=C$) kompleksi vermesi ile de kendini göstermektedir. Bu tür komplekse ilk örnek tepkime (1.13)'e göre 1971 yılında hazırlanmıştır²⁰.



Metal kompleksleri ve halojenürler üzerinde yapılan daha sonraki çalışmalar, elektronca-zengin olefinlerin karben kaynağı ve kuvvetli indirgen olarak kimyada geniş ölçüde kullanılabileceğini ortaya koymuştur. Fosfor ve silisyum-merkezli radikallerin hazırlanmasında L_2^{Me} 'nin özel bir yeri vardır^{6,7}. Tepkime (1.14)'de bu özelliklere ilişkin bir örnek görülmektedir.



"Proton-aktif maddeler" bazı olefinlerle etkileşerek C=C bağıını koparırlar. Oluşan bileşikler nükleofilik karbenlerin katılma ürünü gibi düşünülebilir. Bu tür tepkimelerin ilki, 1961 yılında Wanzclik ve Schikora tarafından bulunmuştur^{13,21}. L_2^{Ph} ve aktif metilen bileşiği arasında oluşan birincil ürün, (IV), bazan β -eliminasyonu ile ikincil ürüne, (V) dönüşebilir (tepkime 1.15).



Elektronca-zengin olefinler ile bir çok proton aktif bileşik tepkimeye girmektedir²². Tablo 1.1.'de imidazolidin çekirdeği içeren L_2^{R} (R = alkil, aril) tipi e.z.o.'lerin bazı proton-aktif bileşiklerle verdiği ürünler topluca görülmektedir. Benzotiyazolidin çekirdeği içeren elektronca-zengin olefinler de proton-aktif bileşiklerle benzer şekilde etkileşmektedir. Bis(3-metilbenzotiyazolidin-2-iliden) L_2^{SMe} ve dietil fosfitin etkileşmesi ile oluşan ürün (VI) bu tip tepkimeye örnek olarak verilebilir (tepkime 1.16)²³.

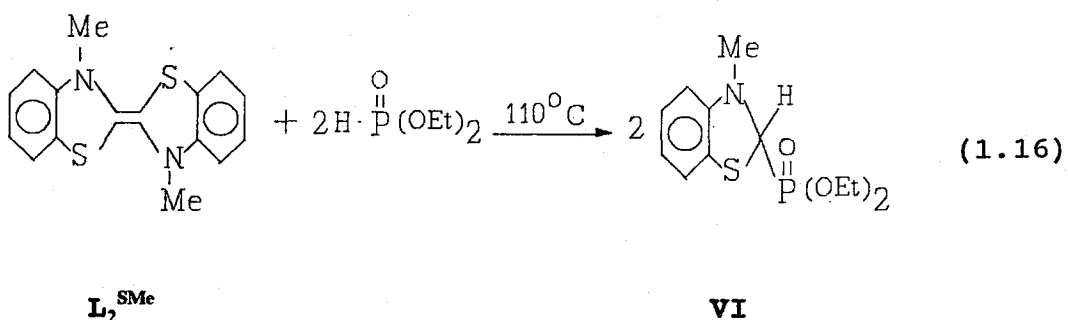
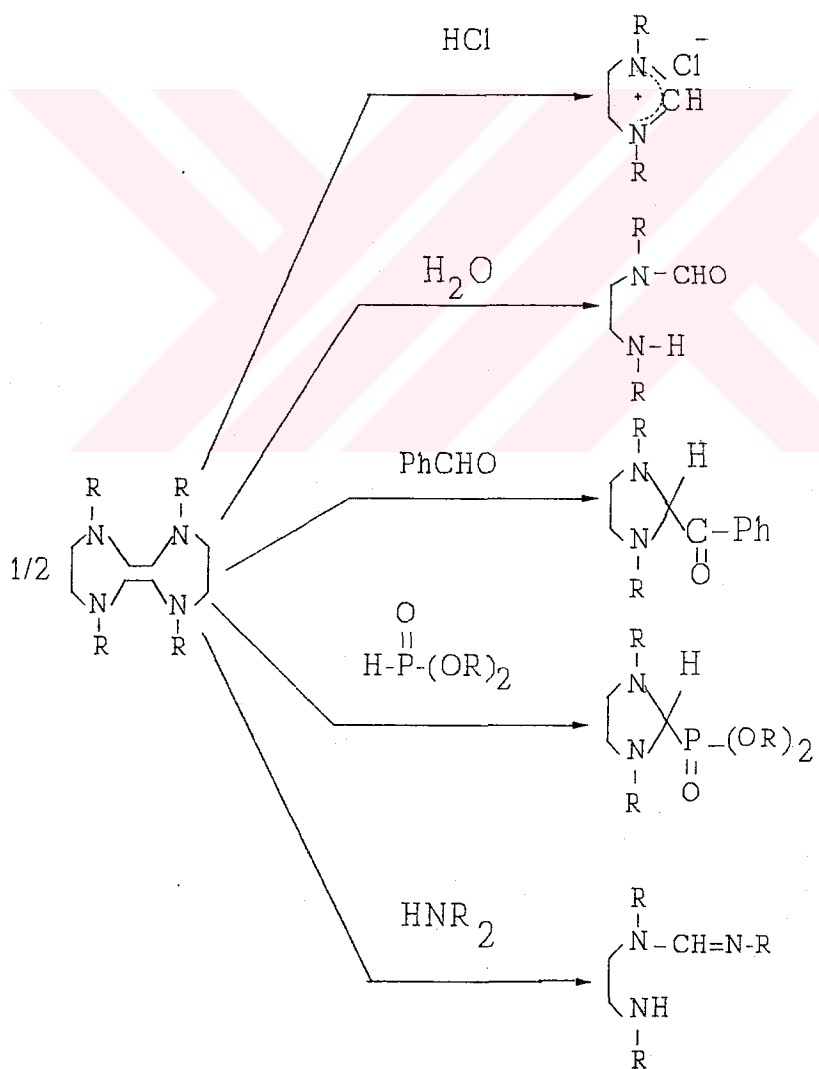
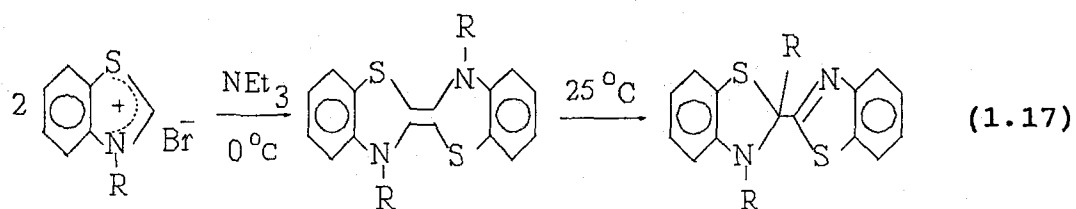


Table 1.1. Bis(1,3-difenylimidazolidin-2-iliden) L_2^{R} 'nin bazı proton-aktif bileşiklerle verdiği ürünler.



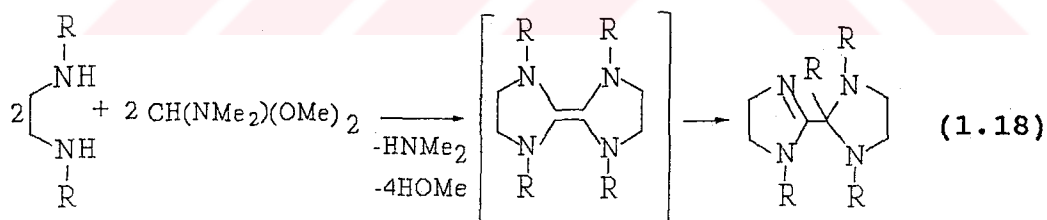
R=alkil, aril

E.z.o.'ler taşıdıkları aril ya da alkil grubuna bağlı olarak sigmatropik çevrilmeye girerler. Bu tip çevrilmenin ilki tepkime (1.17)'de görülmektedir ve burada e.z.o. sadece 0°C'ta izole eilmekte 25°C'ta ise çevrilme ürünü oluşturmaktadır²⁴.



R=Alil, n-Bü, Bz

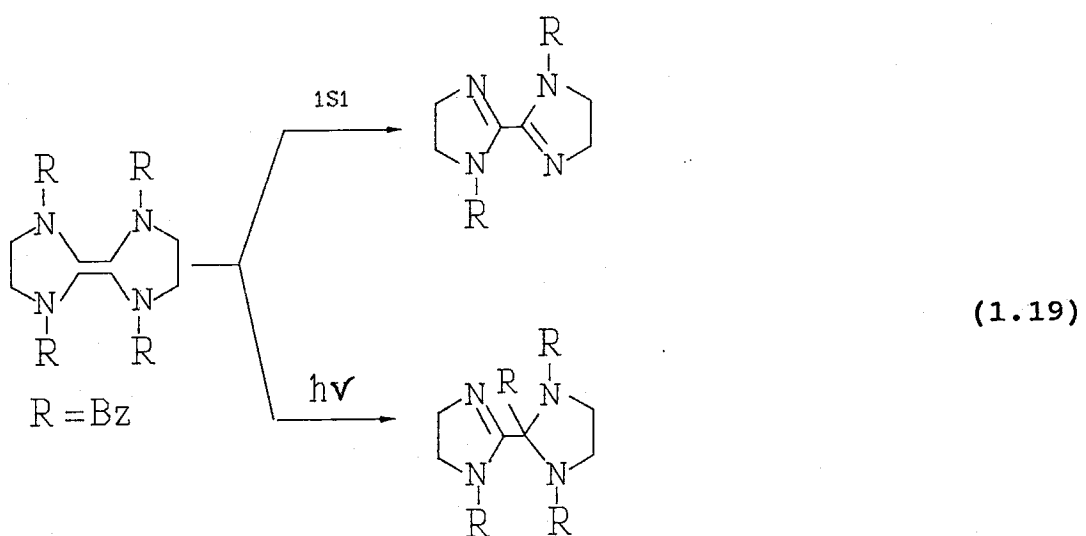
N,N'-bis(alil)etilendiaminin N,N-dimetilformamit dimetil asetalle tepkimesinden de, beklenen e.z.o. yerine sigmatropik çevrilme ürünü ele geçmektedir (tepkime 1.18)²⁵.



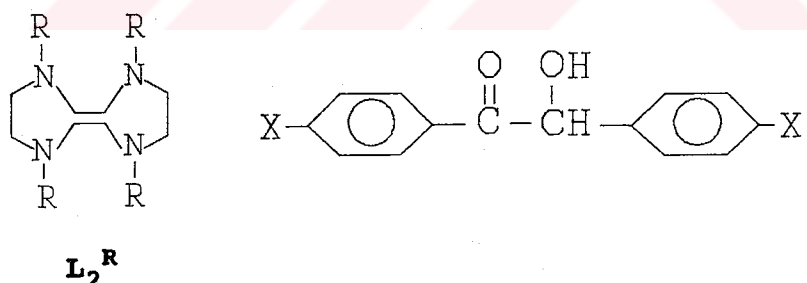
R=Alil

N,N'-dibenzylimidazolidin-2-iliden ise ısıtmakla debenzilasyona uğrarken¹⁵, ancak hv ile sigmatropik çevrilmeye²⁶ uğramaktadır (tepkime 1.19).

13



1982 Yılında Lappert ve Maskell benzoin kondenzasyonunda katalitik miktarlarda L_2^R tipi e.z.o. kullanarak değişik verimlerle benzoin oluşturmuşlardır (Tablo 1.2)¹¹.



- a: R=Me
- b: R=Et
- c: R=Bz

- X=H
- X=OMe

Table 1.2. Bazı e.z.o.'lerin(L_2^R) benzoin kondenzasyonundaki katalitik etkisi.

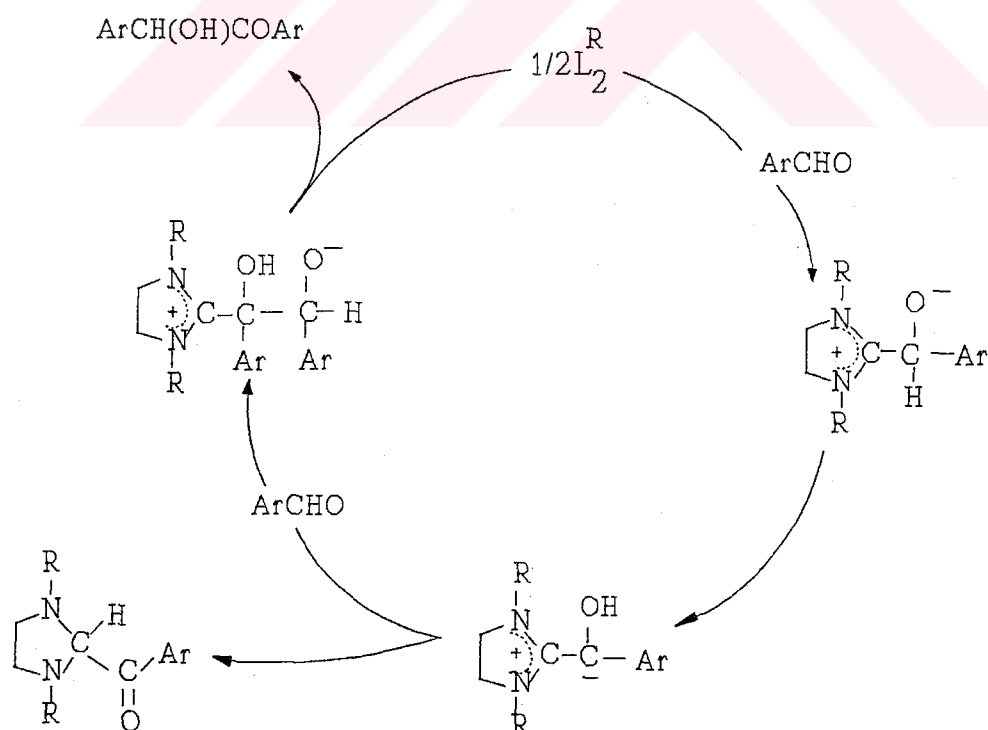
Katalizör (%mol) (L_2^R)	Sıcaklık (°C)	Süre (dk)	Benzoin verimi X (%)
a 1.0	60	1	H 84*
a 0.9	80**	30	H 76*
b 0.5	80**	30	H 75*
c 3.3	130-140	30	H 68*
a 2.7	60-90	30	OMe 71***
a 1.0	100	30	OMe 58***
c 1.0	100	30	OMe 58***

*) İzole edilen ürün.

**) Çözücü olarak benzen kullanılmıştır.

***) Kantitatif ^1H -nmr çalışmalarından hesaplanmıştır.

Bu tepkimelerdeki katalitik çevirim şekil (1.2)'de görülmektedir.



Şekil 1.2.E.z.o.'lerin benzoin kondenzasyonundaki katalitik çevrimi.

Böylece imidazolidin çekirdeği içeren L_2^R tipi olefinlerin susuz ortamda, benzoin kondenzasyonu için etkin katalizörler olduğu ve katalitik etkinin N-sübstityuentlerine bağlı olarak; $(Me\ Et)>CH_2Ph>>C_6H_4OMe-p>Ph$ sırasına göre azalduğu bulunmuştur. Aynı makalede e.z.o.'lerin asetaldehit gibi α -hidrojeni içeren aldehitleri kondenzasyona uğratmadığı da belirtilmektedir¹¹.

1.3. Çalışmanın Amacı

Elektronca-zengin olefinler(e.z.o) üzerindeki çalışmalar artan bir ilgi ile devam etmektedir. Literatür incelendiğinde imidazolidin, L_2^R ve benzotiyazolidin, L^{SR}_2 halkası içeren e.z.o.'ler üzerinde ayrıntılı incelemeler bulunmasına karşılık benzimidazolidin halkası içeren olefinlerle ilgili sadece iki adet çalışma vardır; ve bu çalışmalar sonucunda da benzimidazolidin halkası içeren e.z.o. izolasyonu başarılılamamıştır^{27,28}. Bu nedenle çalışmanın birinci amacı benzimidazolidin halkası içeren e.z.o.'ler sentez etmek ve sentez edilen bileşiklerin yapılarını tüm spektroskopik aygıtlardan yararlanarak saptamak ve özelliklerini incelemektir.

Diğer taraftan özellikle 2-sübstityebenzimidazol olmak üzere benzimidazol bileşiklerinin genellikle fizyolojik etkiye sahip olduğu bilinmektedir. Örneğin benzimidazolun kendisi bazı bakteri ve mayaların büyümeyi engeller²⁹. 2-alkilaminometil ve dialkilaminometilbenzimidazoller lokal anestezik etki gösterirler. Bunlar aynı zamanda analjezik özelliğede sahiptirler³⁰. Son yıllarda 2-sübstitye benzimidazol türevlerinin, sıçanlarda gastrik asit salgısını inhibe ettiği de gözlenmiştir³¹. Bir benzimidazol türevi olan mebandazol geniş spektrumlu bir antihelmentik olarak kullanılmaktadır³². 2,2'-Disübstitye-5,5'-dibenzimidazolil sülfit ve sülfonlar da antihelmentik

aktivite göstermektedirler³³. 4-(İndolil-3)-1-(benzimidazolonilalkil)-piperidinler antialerjik aktivite göstermektedirler³⁴. Fosforlu benzimidazol türevleri ise bitki büyümeyi düzenleyici etkiye sahiptirler^{35,36}. Benzimidazol ile yapı benzerliğine sahip benzotiyazol bileşiklerinin bazlarında fizyolojik etki göstermektedirler. Örneğin, aril-sübstitüye benzotiyazol-2-sülfonamitler karbonik anhidraz enzimini inhibe edici özellikle sahiptirler ve bunlardan 6-etoksibenzotiyazol-2-sülfonamit klinik olarak kullanışlı bir diüretiktir³⁷.

Yukarıda kısaca özetlendiği gibi benzimidazol türevleri ilginç fizyolojik etkiler sergilemektedir. Bu nedenle de çalışmanın ikinci amacı sentez edilen e.z.o.'ler ile değişik bileşikleri etkileştirmek türevleri hazırlamak ve sonuçları ilgili çevrelere sunmaktır.

Çizelge 1.1.'den de anlaşılacağı gibi e.z.o.'ler, proton-aktif bileşikler ve diğer bir çok bileşikle etkileşerek, genellikle 2-sübstitüye imidazolidin, 2-sübstitüye benzotiyazolidin gibi türevler vermektedir. Kullanılan e.z.o.'nin benzimidazolidin halkası içermesi durumunda da 2-sübstitüye benzimidazolidin türevleri oluşacaktır.

İmidazolidin halkası içeren L_2^R tipi e.z.o.'lerin susuz ortamda benzoin oluşumunu katalizlediği¹¹, benzotiyazolidin halkası içeren L_2^{SMe} 'nin de DMSO içine asetaldehit asetoin'e çevirdiği bilinmektedir³⁸. Bu araştırmadaki bir diğer amaç benzimidazolidin halkası içeren e.z.o.'lerin benzoin ve asetoin kondenzasyonlarında katalitik etkilerinin olup olmadığını araştırmak ve bulunan sonuçları literatürdeki bilgilerle kıyaslamaktır.

2.DENEYSEL BÖLÜM

Havanın nem ve oksijenine karşı kararlı bileşikler hariç, bütün deneyler argon ya da azot atmosferinde, kurutulmuş ve damıtılmış çözücülerde yapıldı.

^1H -n.m.r. spektrumları, Perkin-Elmer R12B(90MHz) n.m.r. spektrometresi ya da Bruker WM360(360MHz) n.m.r. spektrometresinde alındı. ^{13}C - $\{^1\text{H}\}$, ^{13}C - ^1H , ^{31}P - $\{^1\text{H}\}$, ^{15}N - $\{^1\text{H}\}$, ^{103}Rh - $\{^1\text{H}\}$ -n.m.r.'ları ise Bruker WM360(360MHz) ya da Bruker WP80SY(80MHz) n.m.r. spektrometrelerinde alındı. İnfrared spektrumları(i.r.) Fourier transformlu Perkin-Elmer 597 spektrometresinden nujoll tekniği ile, kütle spektrumları ise Kratos MS902 model spektrometrede alındı. Element analizleri Sussex Üniversitesi analiz laboratuvarlarında yapıldı. Otoklav deneyleri 1 litre kapasiteli ,350atm. basınç uygulanabilen ve maksimum 400°C ısıtma yapabilen sallamalı tip Baskerville Scientific marka otoklavda Sussex Üniversitesi Azot Fiksasyon Bölümü Laboratuvarlarında gerçekleştirildi.

Erime noktaları(e.n.), elektrikli erime noktası cihazından alındı ve düzeltildi.

Başlangıç maddelerinin bir kısmı literatür yöntemlerine göre sentez edildi. Saflıkları i.r. ve n.m.r. teknikleriyle kontrol edildikten sonra kullanıldı(tablo 2.1).

Çalışmada kullanılmak üzere hazırlanan bileşiklere ait bütün veriler deneysel bölümde, araştırma konusunu oluşturan bileşiklere ilişkin veriler ise sonuç ve tartışma bölümünde verilmiştir.

Tablo 2.1. Bilinen yöntemlere göre sentez edilen bileşikler

Bileşik adı	e.n. (°C)	k.n. (°C)	kaynak
Benzimidazol	171		(39)
1-Metilbenzimidazol	60-61	126-7/0.2mmHg	(40)
1,3-Dimetilbenzimidazolyum iyodür	190		(41)
1,3-Dietilbenzimidazolyum bromür	155		(41)
1,3-Dibenzilbenzimidazolyum klorür	208-209		(42)
1-Metil-3-etilbenzimidazolyum iyodür	185		(43)
1-Metil-3-benzilbenzimidazolyum klorür	160		(43)
Bis(1,3-dibenzilimidazolidin-2-iliden)	60		(15)
3-Metilbenzotiyazolyum iyodür	206		(44)
Bis(3-metilbenzotiyazolidin-2-iliden)	138-140		(44)

Deneyselde kullanılan diğer bileşikler genellikle Aldrich Chemical Co. Ltd.'den sağlanarak, literatür yöntemlerine göre saflaştırıldıktan sonra kullanıldı.

1-Metilbenzimidazol. KOH(14g) ve benzimidazol(20g; 169.5mmol) alkol(100mL.) içinde çözüldükten sonra, çözelti buz banyosu ile soğutularak MeI(18mL; 286mmol) ilave edildi. MeI ilavesinden sonra çözelti 2st. karıştırıldı, KI süzülerek uzaklaştırıldı ve süzüntüden ürün damıtılarak ayırdı.

Verim: 15.6g, %70; k.n.:126-127°C/0.2mmHg; e.n.:60-61°C.

$^1\text{H-n.m.r.}(\text{CDCl}_3)= \delta(\text{ppm})=2.94(3\text{H},s,\text{Me}); 6.69-7.37(4\text{H},m,\text{Ph}); 7.17(1\text{H},s,\text{C}^2-\text{H}).$

1,3-Dimetilbenzimidazolyum iyodür. 1-Metilbenzimidazol(4.66g; 35.5mmol), thf(30mL) içinde çözüldü, üzerine MeI(2.5mL; 40mmol) ilave edildi ve 10dk. karıştırıldı. Ayrılan katı mutlak MeOH da kristallendirildi.

Verim: 9.3g, %96; e.n.:190°C.

^1H -n.m.r. (D_2O) = δ (ppm) = 3.98 (6H, s, Me); 7.58-7.71 (4H, m, Ph); 9.08 (1H, s, C^2 -H).

^{13}C -{ ^1H }-n.m.r. (D_2O) = δ (ppm) = 33.04, 112.88, 126.75, 131.84, 141.53.

1,3-Dietilbenzimidazolyum bromür. Benzimidazol (50g; 423mmol), EtBr (79mL; 1057mmol) ve mutlak EtOH (50mL) 1L. kapasiteli sallamalı tip otoklav da 155-160°C ve 38atm.'de 6st. karıştırıldı. Otoklavın oda sıcaklığına gelmesi beklandıktan sonra alınan ham ürün mutlak EtOH de kristallendirildi.

Verim: 82g, %76; e.n.: 155°C.

^1H -n.m.r. (D_2O) = δ (ppm) = 1.35 (6H, t, Me); 4.21 (4H, q, CH_2); 7.35-7.56 (4H, m, Ph); 9.05 (1H, s, C^2 -H).

^{13}C -{ ^1H }-n.m.r. (D_2O) = δ (ppm) = 13.56, 42.33, 112.95, 126.51, 131.07, 139.61.

1-Metil-3-etilbenzimidazolyum iyodür. 1-Metilbenzimidazol (5g; 37.9mmol), thf (30mL) içinde çözüldü, üzerine EtI (3.6mL; 45.5mmol) ilave edildi ve 10st. karıştırıldı. Ayrılan katı mutlak MeOH de kristallendirildi.

Verim: 6.3g, %55; e.n.: 185°C.

^1H -n.m.r. (D_2O) = δ (ppm) = 1.35 (3H, t, Me); 3.80 (3H, s, Me); 4.60 (2H, q, CH_2); 7.39-7.52 (4H, m, Ph).

^{13}C -{ ^1H }-n.m.r. (D_2O) = δ (ppm) = 13.57, 32.90, 42.30, 112.80, 112.87, 126.50, 126.58, 130.82, 131.89, 140.39.

1,3-Dibenzilbenzimidazolyum klorür. Benzimidazol (4.35g; 36.86mmol) ve benzil klorür (10mL; 86.91mmol) 100mL'lik yuvarlak bir balon içine kondu. Tepkime karışımı geri soğutucu altında 170-175°C civarında 2st. ısıtıldı. Isıtılan bu karışım soğutulduğunda, beyaz renkli katı ayrıldı. Ham ürün gerisoğutucu altında Et_2O (40mL) içinde kaynatılınca çözündü ve oda sıcaklığında kristaller ayrıldı.

Verim: 8.6g, %70; e.n.: 208-209°C.

$^1\text{H-n.m.r. (DMSO)} = \delta (\text{ppm}) = 5.86 (4\text{H}, s, \text{CH}_2); 7.36-8.01 (14\text{H}, m, \text{Ph}); 10.61 (1\text{H}, s, \text{C}^2-\text{H})$.

1-Metil-3-benzilbenzimidazolyum bromür. 1-Metilbenzimidazol(6g; 45.5mmol), thf(30mL) içinde çözüldü ve üzerine benzil bromür (6.5mL; 54.5mmol) ilave edildi ve 20°C'de 8st. karıştırıldı. Ayrılan kristaller süzülerek vakumda kurutuldu.

Verim: 8.9g, %65; e.n.: 160°C.

$^1\text{H-n.m.r. (D}_2\text{O)} = \delta (\text{ppm}) = 4.10 (3\text{H}, s, \text{Me}); 5.69 (2\text{H}, s, \text{CH}_2); 7.45 (9\text{H}, m, \text{Ph})$.

Bis(1,3-dibenzylimidazolidin-2-iliden). N,N'-Dibenziletilentiamin(10mL; 42 mmol) ve N,N-dimetilformamit dimetil asetal(6.7mL; 50mmol) toluen(15mL) içinde 3st. subanyosunda, bir damıtma düzeneğinde ısıtıldı. Ardından bütün uçucular vakum uygulanarak uzaklaştırıldı ve toluen(20mL) eklenerek 4st. kaynatıldı. Daha sonra çözeltinin hacmi yarıya kadar vakum yardımıyla uzaklaştırıldı ve derin dondurucuda bekletilerek kristaller ayrıldı.

Verim: 6g, %60; e.n.: 160 °C

$^1\text{H-n.m.r. (D}_6\text{D}_6) = \delta (\text{ppm}) = 2.85 (8\text{H}, s, \text{CH}_2); 4.53 (8\text{H}, s, \text{CH}_2-\text{Ph}); 7.24-7.47 (20\text{H}, m, \text{Ph})$.

$^{13}\text{C}-\{{}^1\text{H}\}-\text{n.m.r. (D}_6\text{D}_6) = \delta (\text{ppm}) = 22.68, 34.49, 86.65, 106.77, 116.22, 120.04, 142.04$.

3-Metilbenzotiyazolyum iyodür. Benzotiyazol(16g; 118.52mmol) ve metil iyodür(7.50mL; 118.52mmol) DMF(10mL) içinde yarım saat subanyosu üzerinde ısıtıldı. Isıtmanın sonlarına doğru sarı renkli katı ayrılmaya başladı. Ayrılan katı % 96'lık EtOH de(250mL) kristallendirildi.

Verim: 27g, %82; e.n.: 206°C.

$^1\text{H-n.m.r. (D}_2\text{O)} = \delta (\text{ppm}) = 4.43 (3\text{H}, s, \text{NMe}); 8.20 (5\text{H}, m, \text{Ph}, \text{CH})$

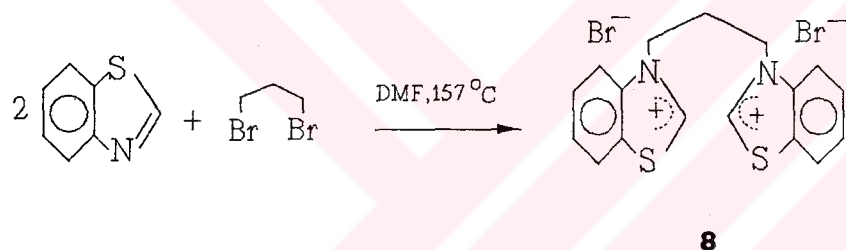
Bis(3-metilbenzotiyazolidin-2-iliden), 7.- 3-Metilbenzotiyazolyum iyodür(19g; 68.59mmol) DMF(30mL) içinde çözüldü ve üzerine damla damla trietilamin(10.70mL; 76.93mmol) ilave edildi. Trietilamin ilavesinin tamamlanması ile e.z.o. kristalleri çözeltiden ayrıldı. Ayrılan kristaller süzüldükten sonra iki kez soğuk aseton ile yıkandı ve kurutuldu.

Verim: 8.5g, %83; e.n.: 138-140°C (bozunma gözlendi).

^1H -n.m.r. (CDCl_3) = δ (ppm) = 2.89 (6H, s, CH_3) ; 6.50-7.08 (8H, m, Ph)

^{13}C -{ ^1H } (CDCl_3) = δ (ppm) = 29.40, 106.73, 119.27, 120.64, 123.28, 125.49, 142.34.

2.1. 3,3'-Propilendi(benzotiyazolyum) Dibromürün, 8; Hazırlanması



Benzotiyazol(18.6g; 137.80mmol) ve 1,3-dibromopropan (15.3g; 75.70mmol) DMF (20mL) içinde 4st. kaynatıldı. Oda sıcaklığına gelen çözeltiye Et_2O eklendi ve ayrılan kristaller süzüldükten sonra iki kez Et_2O ile yıkandı ve kurutuldu.

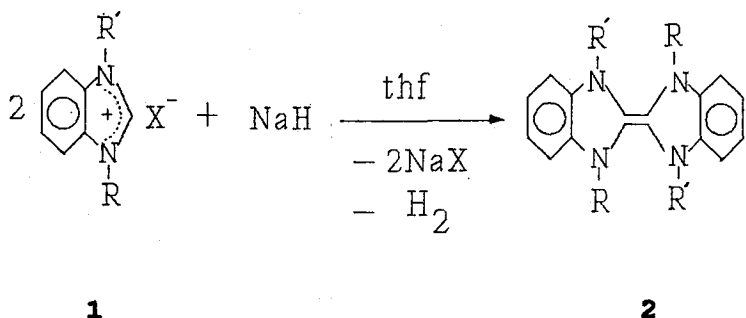
Verim: 11.10g, %34; e.n.: 245°C.

8 Bileşigine ait

element analizi (%) C H N

Bulunan(hesaplanan): 42.78(43.22); 3.86(3.39); 5.13(5.93)

2.2. Bis(1,3-dialkilbenzimidazolidin-2-iliden)'lerden 2a 'nın Sentezi



- | | |
|--|-----------------------|
| 1a R,R' = Me; X=I ⁻ | 2a R,R' = Me |
| 1b R,R' = Et; X=Br ⁻ | 2b R,R' = Et |
| 1c R=Me, R'=Et; X=Br ⁻ | 2c R=Me, R'=Et |
| 1d R,R'=Bz; X=Cl ⁻ | 2d R,R'=Bz |
| 1e R=Me, R'=Bz; X=Cl ⁻ | 2e R=Me, R'=Bz |

1,3-Dimetilbenzimidazolyum iyodür(10g; 34.8mmol) ve NaH(1.25g; 52.2mmol) taze damıtılmış thf (100mL) içinde 3st. oda sıcaklığında, ilaveten 1st. 50°C'ta ısıtılarak karıştırıldı. Çözücü vakum altında uzaklaştırıldı. Daha sonra toluen (50mL) ilave edilerek ısıtıldı ve sıcak halde süzüldü. Süzüntü yarı hacmine kadar deristirildi ve hekzan (20mL) ilave edildikten sonra derin dondurucuya bırakılarak kristallendirildi.

Verim: 4.85g. % 95; e.n.:160°C

2a bileşiği için element analizi verileri:

element analizi(%) C H N

Bulunan(hesaplanan): 73.54(73.98); 7.03(6.85); 18.56(19.18)

Bis(1,3-dietilbenzimidazolidin-2-iliden), 2b ve bis(1-metil-3-Etilbenzimidazolidin-2-iliden), 2c bileşikleri, 2a gibi sentez edildi(deney koşulları ve diğer veriler için tablo 2.2'ye bakınız).

2b bileşiği için element analizi verileri:

element analizi(%) C H N

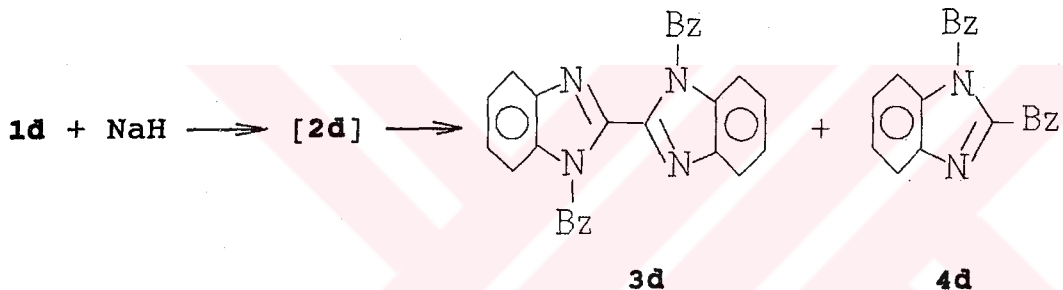
Bulunan(hesaplanan): 75.85(75.86); 8.32(8.04); 16.23(16.09)

Tablo 2.2. 2a, 2b ve 2c bileşiklerine ait bazı veriler.

Bileşik No	tepkime sıcaklığı (°C)	tepkime süresi (st.)	e.n. (°C)	Verim (%)
2a	25	3	160	95
	50	1		
2b	25	6	135	80
	50	1		
2c	25	4	---	80
	50	1		

2.3. Bis(1,3-Dibenzilbenzimidazoliden-2-iliden)'i, 2d; sentez Etmek Amacıyla Yapılan Çalışmalar

a) Tuz yöntemi



1,3-Dibenzilbenzimidazolyum klorür(5g; 14.95mmol), thf (60mL) içinde süspansiyon haline getirilerek, üzerine NaH(0.4g; 16.66mmol) ilave edildi. Oda sıcaklığında 8st. karıştırıldıktan sonra, bütün uçucular vakum uygulanarak uzaklaştırıldı. Daha sonra tepkime kabında kalan katı üzerine toluen (100mL) eklenerek (ısıtma yapılmadan) süzüldü deriştirildi ve hekzan eklenerek derin dondurucuda kristallendirildi. Bu tepkime sonucu 2d bileşiği yerine bu olefinin iki farklı debenzilasyon ürünü bis(1-benzilbenzimidazol-2-il), 3d ve 1,2-dibenzilbenzimidazol, 4d ele geçti.

Bis(1-benzilbenzimidazol-2-il), 3d için:

Verim: 3.8g. %56; e.n.: 215°C.

element analizi(%): C H N

Bulunan(hesaplanan): 80.62(81.16); 5.33(5.31); 13.33(13.53)

1,2-Dibenzilbenzimidazol, **4d** için:

Verim: 0.6g. %14; e.n.: 144°C.

4d bileşiği için element analizi verileri:

element analizi(%)	C	H	N
---------------------------	----------	----------	----------

Bulunan(hesaplanan): 83.76(84.56); 6.07(6.40); 9.17(9.39)

b) Mesitil magnezyum bromür ile **1d tuzunun etkileştirilmesi.**

1,3-Dibenzilbenzimidazolyum klorür(5g; 14.95mmol), thf(60mL) içinde süspansiyon haline getirilerek, üzerine 1,3,5-(CH₃)₃C₆H₂MgBr(20.55mL; 16.11mmol)'ün 0.8M'lık çözeltisinden katılarak 15st. oda sıcaklığında karıştırıldı. Daha sonra bütün uçucular vakum altında uzaklaştırılarak, kalan katı kristallemdirildiğinde tepkimenin yürümediği ve başlangıç tuzunun geri alındığı gözlendi. Tepkimenin yürüüp yürümediğinden emin olmak üzere bir kez tepkime süresi 3 güne çıkılarak ve bir kez de tepkime 3 st. kaynatılarak denendi. Ancak, heriki durumda da tekrar başlangıç maddesi ele geçtiğinden; tepkimenin yürümediğine karar verildi.

c) Asetal Yöntemi

i) N,N'-Dibenzoil-o-fenilendiamin'in hazırlanması. 1,2-Diaminobenzen(10g; 92.59mmol) thf(50mL) içerisinde çözüldü ve üzerine piridin(15mL) konulduktan sonra, benzoil klorür(23mL; 194.4mmol) damla damla ilave edildi. İlave süresince aşırı ısınmayı önlemek amacıyla tepkime kabı soğutuldu. İlave sırasında beyaz renkli N,N'-dibenzoil-o-fenilendiamin bileşiği çözeltiden ayrıldı.

Verim: 28.9g. %99; e.n.: 301°C.

¹H n.m.r. (TFA)= δ(ppm)=7.08-7.38(14H, m, Ph); 9.00(2H, s, NH)

ii) N,N'-Dibenzil-o-fenilendiamin'in hazırlanması. - N,N'-Dibenzoil-o-fenilendiamin(10g; 31.64mmol)'in thf(150mL)'deki çözeltisi; LiAlH₄(6g; 163mmol) içeren thf(150mL) çözeltisine damla damla ilave edildi. Bu ilaveden sonra çözelti 3st. kaynatıldı. Ardından soğutularak aşırı LiAlH₄ su ile yavaş yavaş hidroliz edildi ve daha sonra %15 NaOH ile yıkandı. Oluşan beyaz renkli çökelek süzülerek atıldı ve süzüntü su ile yıkandı, sodyum sülfat üzerinde bir gece kurutuldu. Daha sonra sodyum sülfat süzülerek uzaklaştırıldı ve süzüntünün uçucu bileşenleri vakum uygulanarak uzaklaştırıldı. Kalan yağimsı kalıntı alkolden kristallendirildi. Verim: 7.38g. %81; e.n.: 75°C.

¹H-n.m.r.(CDCl₃)= δ(ppm)=3.75(2H, s, NH); 4.43(4H, s, CH₂); 6.86-7.51(14H, m, Ph).

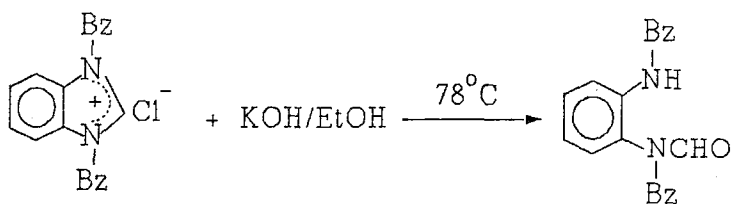
¹³C-n.m.r.(CDCl₃)=δ(ppm)=48.59, 111.99, 119.38, 127.13, 127.69, 128.50, 137.01, 139.34.

N,N'-Dibenzil-o-fenilendiamin'i hazırlayabilmek için, LiAlH₄ ile N,N'-dibenzoil-o-fenilendiaminin indirgenmesi çalışmasından önce, 1d tuzu alkollü KOH ile 2st. ısıtıldı. Fakat N,N'-dibenzil-o-fenilendiamin yerine 6 bileşiği oluştu.

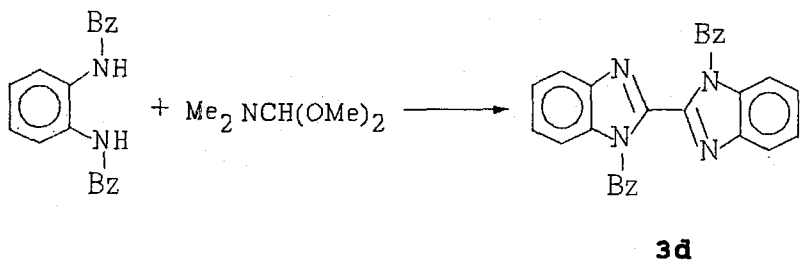
6 Bileşiği için

element analizi (%) C H N

Bulunan(hesaplanan): 79.75(79.75); 6.21(6.35); 8.86(8.86)



iii) *N,N'-Dibenzil-o-fenilendiamin'in N,N-dimetilformamit dimetil asetal ile etkileştirilmesi ve bis(1-benzilbenzimidazol-2-il) bileşiğinin 3d hazırlanması*

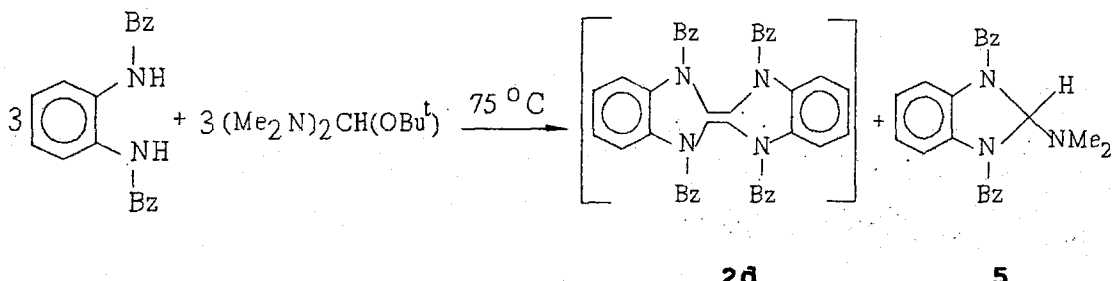


N,N'-Dibenzil-o-fenilendiamin(5g; 17.36mmol) ve *N,N*-dimetylformamit dimetil asetal(2.5mL; 19.13mmol), toluen(15mL) içinde, uçucu ürünlerin damıtılarak uzaklaşmasına izin verebilen bir düzenekte, 2st su banyosu üzerinde tepkimeye sokuldu. İlaveten yarım saat 145-150°C'ta yağ banyosunda tutularak ayrılacak bileşenlerin tamamıyla uzaklaştırılması sağlandı. Ardından bütün uçucular vakum yardımıyla uzaklaştırıldı ve kalan yağimsı kısım toluen hekzan karışımından kristallendirildi.

Verim: 5.7g. %80; e.n.: 215°C. Bu tepkime su banyosu sıcaklığında süre uzatılarak da denendi yine **3d** bileşiği elde edildi.

d) Bis(dimetilamino)-t-bütoksimetan Yöntemi

i) *N,N'-Dibenzil-o-fenilendiamin'in bis(dimetilamino)-t-bütoksimetan ile etkileştirilmesi; 1,3-dibenzil-2-dimetilaminobenzimidazolinin, 5, hazırlanması*



N,N'-Dibenzil-o-fenilendiamin(2g; 6.94mmol) üzerine bis(dimetilamino)-t-bütoksimetan(2.2mL; 7.94mmol) eklenerek önce

2st oda sıcaklığında karıştırıldı. Herhangi bir tepkime gözlenmeyeince, karışım 75°C'ta 2st tutuldu. Ardından bütün uçucular vakum altında uzaklaştırıldı ve yağlısı kalıntıya hekzan(30mL) eklerek süzüldü ve süzüntünün yarı hacmine kadar deriştirilip derin dondurucuya konulmasıyla krem renkli 5 bileşığının kristalleri ayrıldı.

Verim: 1.40g. %58; e.n.: 70°C.

5 Bileşigine ait

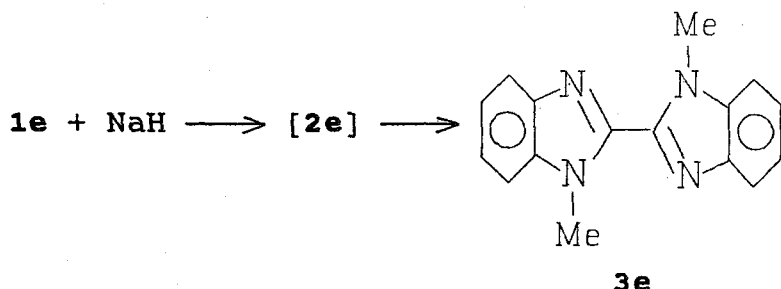
element analizi(%) C H N

Bulunan(hesaplanan): 79.12(80.47); 6.89(7.29); 11.88(12.24)

5 Bileşigine ait kristallerin alınmasından sonra süzüntünün yeniden derin dondurucuya konulmasıyla 2d bileşigine ait kristaller başlangıç amini ile birlikte ayrıldı. Ancak, debenzilasyon nedeni ile ısıtma yapılamaması nedeniyle, 2d bileşigi saf halde izole edilemedi.

ii) 1,3-dibenzil-2-dimetilaminobenzimidazolinin,5; toluen içerisinde ısıtılması. 1,3-Dibenzil-2-dimetilaminobenzimidazolin(1g; 2.92mmol) toluen(10mL) içinde 3st. kaynatıldı. Ardından, çözeltinin hacmi yarıya kadar vakum yardımıyla uzaklaştırıldı ve hekzan eklerek derin dondurucuda kristallendirildi. Yapılan spektroskopik analizlerden sonra ele geçen bileşigin; 2d bileşiginin debenzilasyon ürünü 3d bileşigi olduğu tespit edildi.

2.4. N-Metil-N'-benzilbenzimidazolyum Klorür, 1e, Bileşiginin NaH ile Etkileştirilmesi; 3e Bileşiginin Hazırlanması



N-Metil-N'-benzilbenzimidazolyum klorür 1e(4.5g; 17.40mmol) ve

NaH (0.5g; 20.83mmol) taze damıtılmış thf (70mL) içinde 8st. oda sıcaklığında karıştırıldı. Çözücü vakum altında uzaklaştırıldı. Daha sonra toluen (50mL) ilave edilerek süzüldü. Süzüntü yarı hacmine kadar deriştirildi ve hekzan (10mL) ilave edildikten sonra derin dondurucuya bırakılarak kristallendirildi.

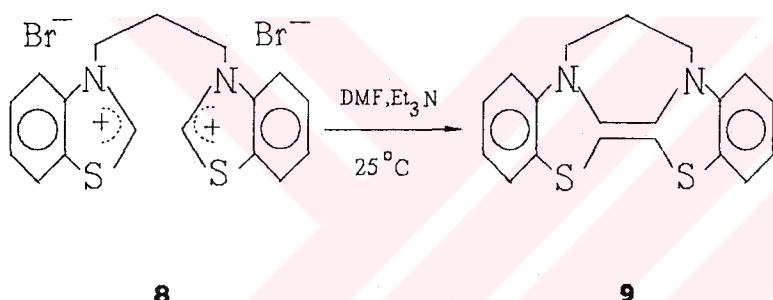
Verim: 1.84g. % 80; e.n.:204°C.

3e Bileşигine ait

element analizi(%) C H N

Bulunan(hesaplanan): 73.42(73.28); 5.22(5.34); 20.89(21.37)

2.5. 9 Bileşiginin Hazırlanması



8

9

3,3'-Propilendi(benzotiyazolyum) dibromür 8(5g; 10.59mmol) DMF (20mL) içerisinde süspansiyon haline getirildi ve Et₃N(4mL; 25.50mmol) damla damla ilave edildi. Tepkime ekzotermik bir şekilde tamamlanarak sarı renkli katı ayrıldı. Ayrılan katı iki kez soğuk aseton ile yıkandı ve kurutuldu.

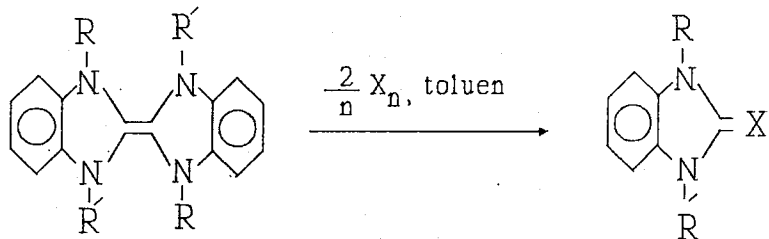
Verim: 2.97g, %90; e.n.:165°C(bozunma gözlandı).

9 Bileşigine ait

element analizi(%) C H N

Bulunan(hesaplanan): 63.24(65.80); 4.55(4529); 8.12(9.03)

2.6. 2 Tipi Alkenlerin 6A Elementleri ile Verdiği Türevler



2a R, R'=Me

10a R, R'=Me; X=O, S, Se, Te

2b R, R'= Et

10b R, R'=Et; X=O, S, Se, Te

2c R=Me, R'=Et

10c R=Me, R'=Et; X=S, Se, Te

2d R, R'=Bz

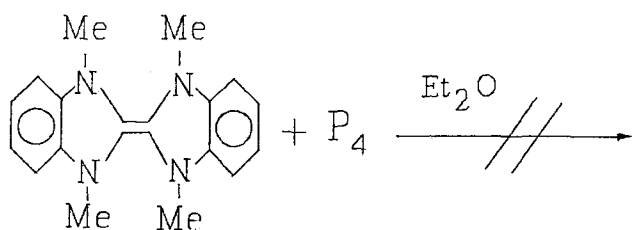
10d R, R'=Bz; X=S

Yeni alkenlerin 6A-grubu elementleri ile verdiği ürünleri sentez etmek için; e.z.o'lerin toluendeki çözeltilerine iki eşdeğer gram miktarda 6A-grubu elementi(oksijen hariç) eklenerek toluen içinde kaynatıldı(**2c** ve **2d** saflaştırılmaksızın kullanıldı). Ardından çözelti süzülerek deriştirildi ve toluen/hekzan ya da pentan karışımından kristallendirildi. Oksijen türevleri ise alkenin thf çözeltisi içerisinde yarım saat süre ile O₂ gazı geçirilerek elde edildi. Bu bileşiklere ait element analizi sonuçları, e.n. veya k.n. verileri ile yüzde verimleri tablo 2.3.'de görülmektedir.

Tablo 2.3. Yeni e.z.o.'lerin üre türevlerine ait element analizleri, e.n. ve verimler.

Bileşik No	Renk	Elementel analiz sonuçları Bulunan(Hesaplanan)			e.n./k.n. (°C)	Verim (%)
X	C	H	N			
10a	O beyaz	65.69(66.67)	5.72(6.17)	17.57(17.28)	128	95
10a	S sarı	60.16(60.67)	5.38(5.62)	14.82(15.73)	150	95
10a	Se krem	48.18(48.00)	4.38(4.44)	12.57(12.44)	160	96
10a	Te sarı	38.93(39.47)	3.68(3.65)	9.98(10.23)	200	89
10b	O renksiz	70.41(69.47)	8.45(7.37)	15.09(14.74)	118/0.05mmHg	84
10b	S sarı	63.23(64.07)	6.80(6.79)	12.76(13.59)	38	72
10b	Se krem	53.14(52.17)	6.01(5.53)	10.57(11.06)	76	92
10b	Te krem	44.37(43.76)	4.43(4.64)	8.98(9.28)	98	86
10c	S kahve	61.48(62.50)	6.11(6.25)	14.98(14.58)	55	85
10c	Se krem	50.21(50.21)	4.93(5.02)	11.92(11.72)	70	80
10c	Te krem	41.57(41.72)	4.76(4.17)	9.62(9.7)9	75	85
10d	S beyaz	75.12(76.36)	5.33(5.43)	8.38(8.48)	191	65

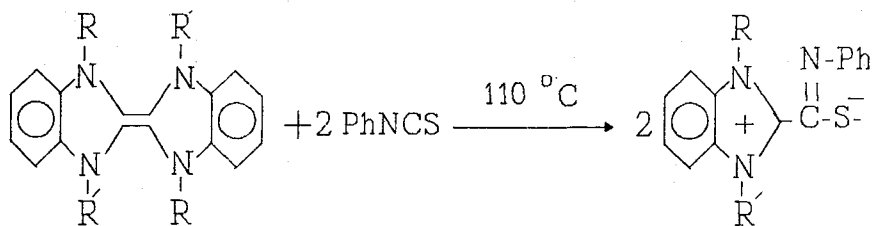
2.7. 2a Bileşığının P_4 ile etkileştirilmesi



Bis(1,3-dimetilbenzimidazolidin-2-iliden)'nin (1.63g; 5.58mmol) Et_2O çözeltisine P_4 (0.35g; 1.16mmol) eklenerek oda sıcaklığında 2 gün karıştırıldı. Bu süre içerisinde sürekli olarak kahverenkli katılar artarak ayrılmaya devam etti. Ardından bütün uçucular vakum yardımıyla uzaklaştırıldı ve kalan katının yapısı $^{31}\text{P}-\{\text{H}\}$ ve $^1\text{H-n.m.r.}$ 'lar ile incelendiğine fosfor bileşikleri karışımı

olduğu anlaşıldı. Karışım saflaştırılmaya çalışıldı ancak başarılı olunamadı.

2.8. Yeni Alkenlerin Fenilizotiyosiyanat (PhNCS) ile Verdiği Türevler



2

11a R, R' = Me

11b R, R' = Et

11c R = Me, R' = Et

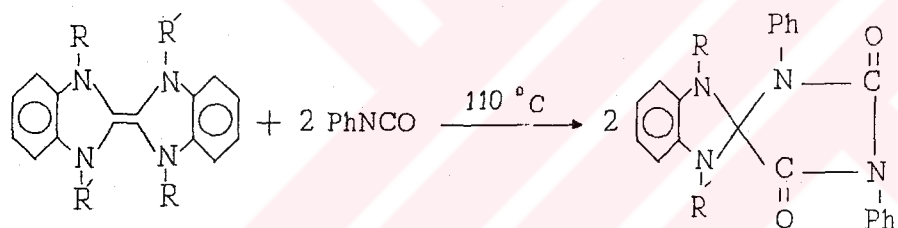
11d R, R' = Bz

2a, 2b, 2c ve **2d** bileşiklerinin toluendeki çözeltilerine iki eşdeğer gram PhNCS katıldı. PhNCS'nin katılması ile birlikte ekzotermik bir tepkime oldu. 10dk. daha karıştırıldıktan sonra bütün uçucular vakum yardımıyla uzaklaştırıldı ve kalan katı $\text{CHCl}_3/\text{Et}_2\text{O}$ 'dan kristallendirildi. Tablo 2.4.'de bu bileşiklere ait element analizi sonuçları, e.n. ve verimler görülmektedir.

Tablo 2.4. Yeni e.z.o.'lerin PhCNS ile verdiği türevlere ait element analizi, e.n. ve verimler.

Bileşik No	Renk	Elementel analiz sonuçları Bulunan(Hesaplanan)	e.n. (°C)	verim (%)
		C H N		
11a	sarı	68.50(68.35) 5.07(5.34) 14.26(14.94)	215	89
11b	sarı	56.64(57.60) 5.49(5.60) 11.04(11.20)	210	97
11c	sarı	70.58(69.15) 5.96(5.76) 13.52(14.24)	180	74
11d	sarı	77.58(77.60) 5.30(5.31) 9.63(9.70)	204	52

2.9. 2a,2b Bileşiklerinin Fenilizosiyonat(PhNCO) ile Verdiği Türevlerin Hazırlanması



2a,2b

12a R,R'=Me

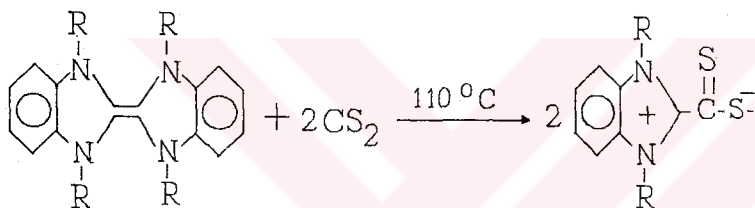
12b R,R'=Et

2a ve **2b** Bileşiklerinin toluendeki çözeltilerine dört eşdeğergram fenilizosiyonat(PhNCO) eklenerek 1st. kaynatıldı. Ardından bütün uçucular vakum yardımıyla uzaklaştırıldı ve kalan katı CHCl₃-Et₂O'dan kristallendirildi. Tablo 2.5'de bu bileşiklere ait element analizi, e.n. ve verimler görülmektedir.

Tablo 2.5. 2a ve 2b E.z.o.'lerin PhCNO ile verdiği türevlere ait element analizi, e.n. ve verimler.

Bileşik Renk Elementel analiz sonuçları No	Elementel analiz sonuçları Bulunan(Hesaplanan)				e.n. (°C)	Verim (%)
		C	H	N		
12a krem	71.61(71.87) 5.05(5.21) 14.37(14.58)				145	80
12b krem	73.99(72.82) 5.92(5.82) 13.61(13.59)				156	63

2.10. 2a ve 2b Bileşiklerinin CS₂ ile Verdiği Türevler



2a R=Me

13 R=Me

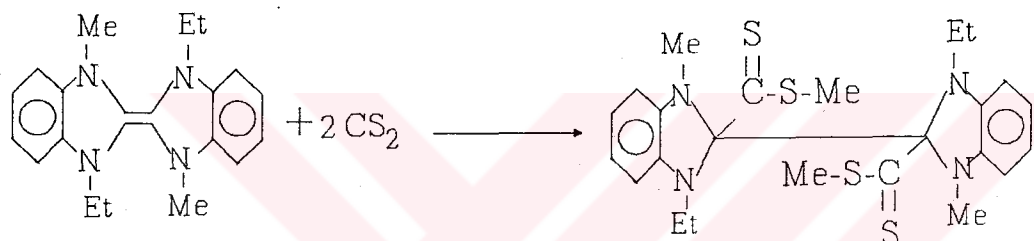
2b R=Et

14 R=Et

Bis(1,3-dimetilbenzimidazolidin-2-iliden) 2a(0.35g; 1.12mmol) toluen(10mL) içinde çözüldü ve üzerine CS₂(0.2mL; 3.31mmol) katıldı. CS₂'nin katılması ile birlikte, 2a bileşiğinin pembe renkli, kararlı, dipolar yapıdaki türevi 13 oluştu. Oluşan katı, CHCl₃/Et₂O'dan kristallendirildi. Bis(1,3-dietilbenzimidazolidin-2-iliden) 2b bileşiği de yukarıdaki gibi CS₂ ile etkileştirilerek dipolar yapıdaki 14 bileşiği elde edildi. Tablo 2.6'da 2a ve 2b bileşiklerinin CS₂ ile verdiği türevlere ait element analizi sonuçları, e.n. ve verimler görülmektedir.

Tablo 2.6. 13 ve 14 bileşiklerine ait element analizi, e.n. ve verimler.

Bileşik Renk No	Elementel analiz sonuçları: Bulunan(Hesaplanan)	C	H	N	e.n. (°C)	verim (%)
13 pembe	53.07(54.05) 4.11(4.50) 12.91(12.61)				238	98
14 pembe	56.64(57.60) 5.49(5.60) 11.04(11.20)				210	97

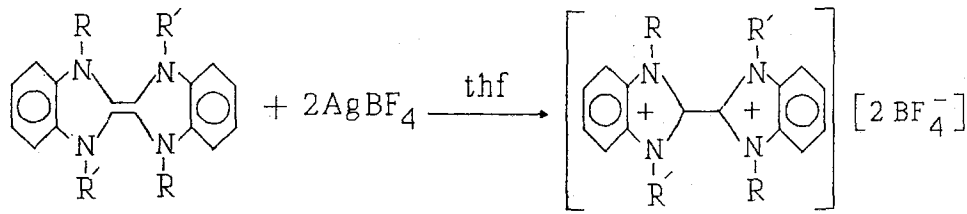
2.11. 2c Bileşığının Metil İyodür İçeren CS₂ ile Etkileştirilmesi

2c Bileşığının toluendeki çözeltisine, oda sıcaklığında metil iyodür içeren CS₂ eklenmesi ile 13 ve 14 bileşiklerinin sentezinde olduğu gibi pembe renkli havaya kararlı, ancak dipolar yapıda olmayan 15 nolu bileşik ele geçti. Oluşan katı toluen/hekzandan kristallendirildi.

Verim:~90 % ; e.n.:190°C.

15 Bileşığıne ait

element analizi (%)	C	H	N
Bulunan(hesaplanan):	57.48(57.37); 6.10(5.97); 11.35(11.15)		

2.12. 2a, 2b ve 2c Bileşiklerinin Ag[BF₄] ile Etkileştirilmesi
**2a** R,R'=Me**16a** R,R'=Me**2b** R,R'=Et**16b** R,R'=Et**2c** R=Me, R'=Et**16c** R=Me, R'=Et

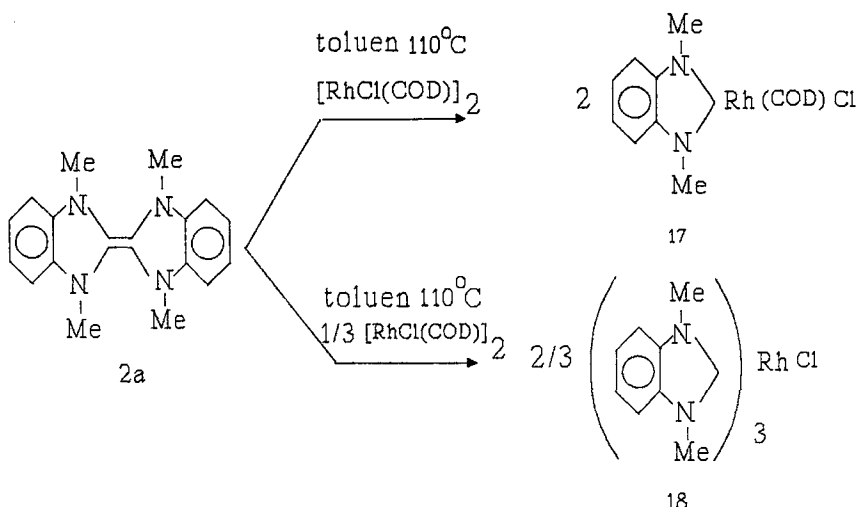
Bis(1,3-dimetilbenzimidazolidin-2-iliden) **2a** (0.64g; 2.19mmol) THF (25mL) içinde çözüldü ve ardından Ag[BF₄] (1g; 5.13mmol) ilave edildi. Ag[BF₄] katılması ile birlikte derhal metalik gümüş ayrılarak tepkime tamamlandı. Thf uzaklaştırıldıktan sonra kalan ham ürün asetonitril/eter karışımından kristallendirildi.

2b ve **2c** Bileşikleri de benzer şekilde Ag[BF₄] ile etkileştirilerek dikatyonları sentez edildi. Tablo 2.7.'de bu bileşiklere ait element analizi sonuçları, e.n. ve verimler görülmektedir.

Tablo 2.7. 2a,b ve c e.z.o.'lerin Ag[BF₄] ile verdiği türevlere ait element analizi, e.n. ve % verimler.

Bileşik No	Renk	Elementel analiz sonuçları Bulunan(Hesaplanan)			e.n. (°C)	verim (%)
16a	krem	C 46.90(46.35)	H 4.12(4.29)	N 12.09(12.02)	>290	kantitatif
16b	krem	C 50.23(50.57)	H 5.36(5.36)	N 10.61(10.73)	>290	kantitatif
16c	krem	C 47.88(48.58)	H 4.67(4.86)	N 10.59(11.34)	>290	kantitatif

2.13. 2a Bileşığının $[RhCl(COD)]_2$ ile Verdiği Türevlerin Hazırlanması

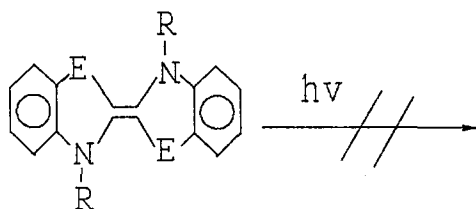


Bis(1,3-dimetilbenzimidazolidin-2-iliden)'in, **2a**, (0.50g; 1.71mmol) toluendeki çözeltisine $[RhCl(COD)]_2$ (0.85g; 1.71 mmol) ilave edilip ve 1/2st. kaynatıldığında **17** ve $[RhCl(COD)]_2$ (0.28g; 0.57mmol) katılıp 2st. kaynatıldığında ise **18** bileşiği oluşmaktadır. Tablo 2.8.'de bu bileşiklere ait element analizi sonuçları, e.n. ve verimler görülmektedir.

Tablo 2.8. 2a bileşığının $[RhCl(COD)]_2$ ile verdiği türevlere ait element analizi, e.n. ve verimler.

Bileşik No	Renk	Elementel analiz sonuçları Bulunan(Hesaplanan)			e.n. (°C)	verim (%)
		C	H	N		
17	yeşil	50.93(51.92)	5.65(5.60)	7.24(7.12)	180	98
18	sarı	57.37(56.20)	5.78(5.20)	14.77(14.57)	285	97

2.14. 2a, 2b ve 7 Bileşiklerinin Fotolizi



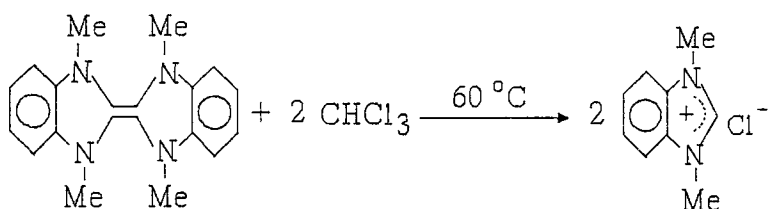
2a E=NMe R=Me

2b E=NET R=Et

7 E=S R=Me

E.z.o'lerin Et_2O çözeltileri 10cm uzaklıkta bulunan 400W'lık cıva lambası ile 15 st. ışınlandı. Ardından Et_2O vakum altında uzaklaştırıldı ve kalan katıların n.m.r. spektrumları alındı. N.m.r. sonuçlarından **2a**, **2b** ve **7** olefinlerinin bu süre içerisinde herhangi bir sigmatropik çevrilmeye uğramadığı anlaşıldı. Daha sonra aynı deneyler süre 115st.'a çıkarılarak tekrar edildi. Ancak, yine başlangıç maddeleri değişmeden kaldığından bu olefinlerin [1,3]-sigmatropik çevrilmeye uğramadıklarına karar verildi.

2.15. 2a Bileşiğinin CHCl_3 ile Etkileştirilmesi ve 1,3-dimetilbenzimidazolyum Klorür Sentezi



Bis(1,3-dimetilbenzotiyazolidin-2-iliden), **2a**, (1g; 3.42mmol) alınarak CHCl_3 içinde 1st. kaynatıldı. Ardından bütün uçucular vakum altında uzaklaştırıldı ve kahverenkli ham ürün

E_{TOH}/Et₂O'dan kristallendirildi.

Verim: 0.95g. %76; e.n.: 165°C

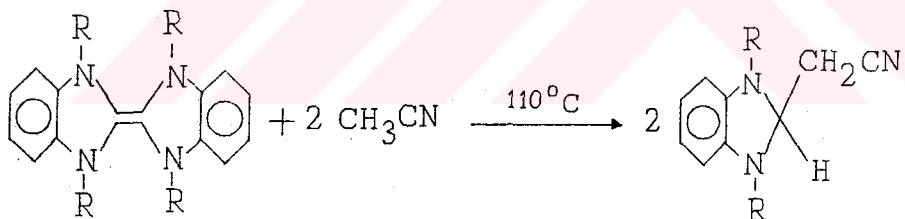
2a bileşiği ile CHCl₃'ün etkileştirilmesi sonucu ele geçen bileşigin;

element analizi (%) C H N

Bulunan(hesaplanan): 59.07(59.18); 6.05(6.03); 14.35(15.34)

Bis(1,3-dietilbenzotiyazolidin-2-iliden), 2b, olefini ile de CHCl₃, benzer şekilde tepkimeye sokuldu ve **2a** bileşiginde olduğu gibi **1,3-dietilbenzimidazolyum klorür tuzu** oluştugu ¹H-nmr spektrumundan anlaşıldı.

2.16. **2a ve 2b Bileşiklerinin Asetonitril ile Etkileştirilmesi**



19 R=Me

20 R=Et

Bis(1,3-dimetilbenzotiyazolidin-2-iliden) **2a**(0.84; 2.88mmol) toluen(20mL) içinde çözüldü ve üzerine asetonitril(0.4mL; 6.33mmol) eklenerek 2st. kaynatıldı. Bütün uçucular vakum altında uzaklaştırıldıktan sonra kalan ham ürün dietil eter/pentan karışımından kristallendirilerek **19** bileşigi elde edildi

Bis(1,3-dietilbenzotiyazolidin-2-iliden), 2b, olefini ile asetonitril benzer şekilde etkileştirildi ve **20** bileşigi elde

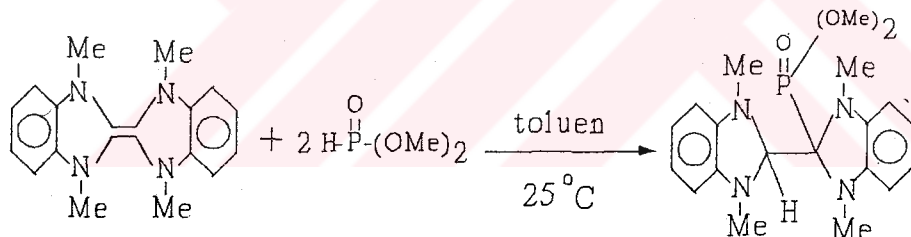
edildi.

Tablo 2.9.'da 19 ve 20 bileşiklerine ait element analizi sonuçları, erime noktaları ve verimler görülmektedir.

Tablo 2.9. 2a ve 2b bileşiklerinin CH₃CN ile verdiği türevlere ait element analizi, e.n. ve verimler.

Bileşik Renk No	Elementel analiz sonuçları Bulunan(Hesaplanan)	C	H	N	e.n. (°C)	verim (%)
19 krem	70.23(70.59) 7.04(6.95) 22.11(22.46)				88	80
20 krem	72.03(72.56) 7.95(7.91) 19.11(19.33)				53	90

2.17. 2a Bileşiğinin Dimetil Fosfit ile Etkileştirilmesi



21

Bis(1,3-dimetylbenzimidazolidin-2-iliden), 2a, (1.2g; 4.11mmol) toluende çözülmek üzere dimetil fosfit (0.9mL; 9.86mmol) ilave edildi ve 3st. kaynatıldı. Ardından bütün uçucular vakum altında uzaklaştırıldı ve kalıntı EtOH/Et₂O den kristallendirilerek 21 nolu bileşik elde edildi.

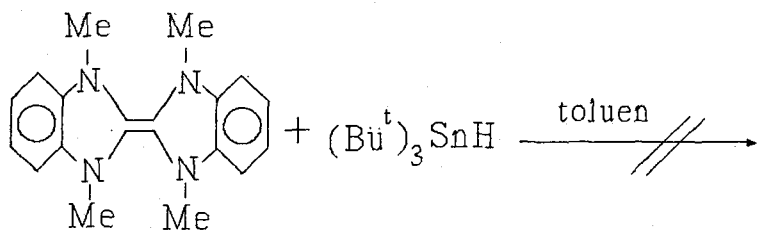
21 Bileşiğine ait;

verim: 3.2g, % 93, en:23°C

element analizi(%) C H N

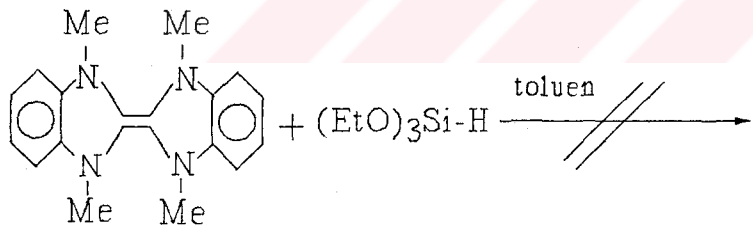
Bulunan(hesaplanan): 49.15(51.56); 5.68(6.64); 10.98(10.94)

2.18. 2a Bileşiğinin $(Bu^t)_3SnH$ ile etkileştirilmesi



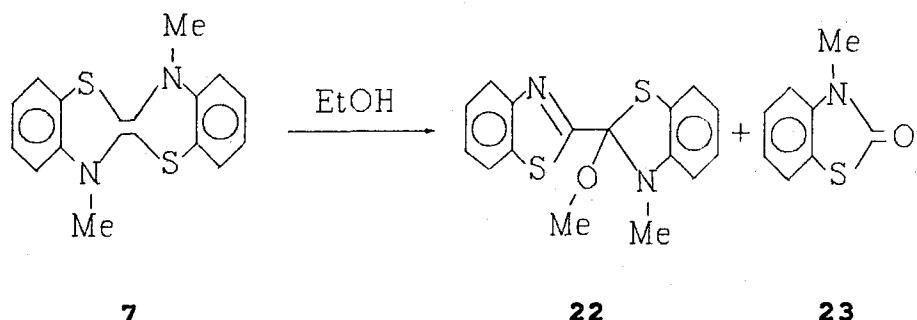
Bis(1,3-dimetylbenzimidazolidin-2-iliden) **2a**(1.87g; 6.4mmol) toluende çözüldü ve üzerine $(Bu^t)_3SnH$ (4g; 14mmol) eklenerek oda sıcaklığında 18 st. ve daha sonra 60° 'ta 4st. karıştırıldı. Bu işlemler sonunda bütün uçucular vakum altında uzaklaştırıldı. Kalan katı toluen/hekzan karışımında kristallendirildi ve n.m.r'ı alındığında, yalnız başlangıç maddesinden oluştuğu tespit edildi.

2.19. 2a Bileşiğinin $(EtO)_3SiH$ ile Etkileştirilmesi



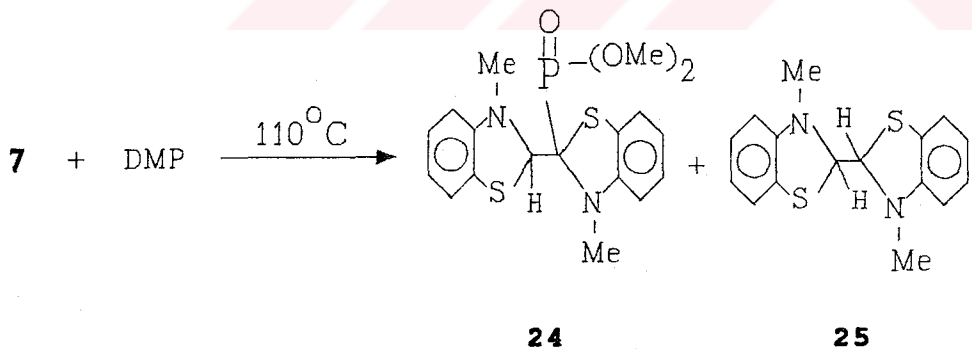
Bis(1,3-dimetylbenzimidazolidin-2-iliden) **2a**(1.21g; 4.1mmol) toluende çözüldü ve üzerine $(EtO)_3SiH$ (1.7mL; 9.13mmol) eklenerek oda sıcaklığında 6 st. ve daha sonra $60-70^\circ$ 'ta 1st. karıştırıldı. Bu işlemler sonunda bütün uçucular vakum altında uzaklaştırıldı ve kalan katının Et_2O /pentandan kristallendirilmesinden sonra n.m.r.'ı alındığında, yalnız başlangıç maddesinden oluştuğu tespit edildi ve $(EtO)_3SiH$ 'ın bu şartlarda bu olefine katılmadığı anlaşıldı.

2.20. Bis(3-metilbenzotiyazolidin-2-iliden)'in, 7, EtoH ile Normal Koşullarda Etkileştirilmesi



7 Bileşiğinin atmosferde EtOH veya thf ile yarı saat ısıtılması sonucunda 22 bileşiği ele geçti. Bu bileşik oluşurken yüzdesi daha az olmakla birlikte yeni olmayan 23 bileşiği de oluştu. Tablo 2.10'da bu bileşiklere ait element analizi sonuçları, erime noktası ve yüzde verimleri görülmektedir.

2.21. 7 Bileşiğinin Dimetil Fosfit(DMP) ile Etkileştirilmesi



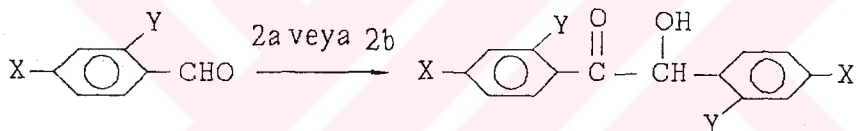
Bis(3-metilbenzotiyazolidin-2-iliden), 7, (2g; 6.71mmol) toluende çözüldü ve üzerine dimetil fosfit(1.5mL; 16.77mmol) ilave edildi ve 4 st. kaynatıldı. Ardından bütün uçucular vakum altında uzaklaştırıldıktan sonra ham ürün EtOH/Et₂O dan kristalleştirilerek 24 nolu bileşik ele geçti. Bu tepkimede 24 nolu fosfitli ürün yanında az miktarda da 25 nolu bileşik elde edildi. Tablo 2.9.'da bu bileşiklere ait element analizi

sonuçları, erime noktaları ve verimler görülmektedir.

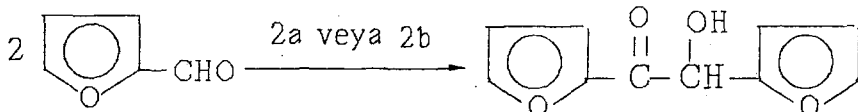
Tablo 2.10. 7^a Bileşiginin bazı türevlerine ait element analizi,e.n. ve verimler.

Bileşik No	Renk	Elementel analiz sonuçları Bulunan(Hesaplanan)	e.n. (°C)	verim (%)
		C H N		
22	beyaz	61.08(61.14) 4.38(4.45) 8.83(8.92)	143	45
24	pembe	52.30(52.94) 5.09(5.15) 6.56(6.86)	128	81
25	beyaz	63.04(64.00) 5.02(5.33) 9.20(9.33)	176	15

2.22. Elektronca-zengin Olefinlerin Benzoin ve Asetoin Tepkimelerindeki Katalitik Rolleri

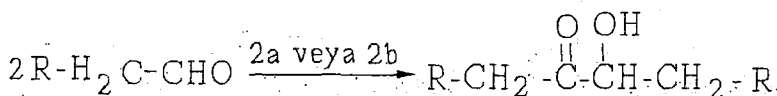


- | | | |
|----|-------------------------|-----------------------|
| 26 | X, Y=H | 26a Benzoin |
| 27 | X=Me, Y=H | 27a 4,4'-metilbenzoin |
| 28 | X=OMe, Y=H | 28a Anisoin |
| 29 | X=H, Y=OH | 29a Salisoin |
| 30 | X=NO ₂ , Y=H | |



31 Furfural

31a Furcin

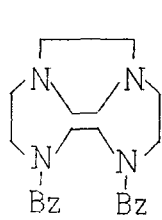
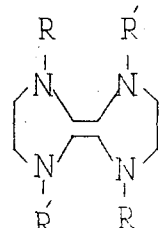


- | | | |
|----|------|-------------|
| 32 | R=Ph | |
| 33 | R=Et | |
| 34 | R=H | 34a Asetoin |

Bis(1,3-dimetilbenzimidazolidin-2-iliden), 2a, veya bis(1,3-

dimetilbenzimidazolidin-2-iliden), **2b**, ile **26, 27, 28, 29, 30, 31, 32, 33** ve **34** nolu aldehitlerin herbiri **2a** veya **2b** ile aldehit mol oranı $1/100$ olacak şekilde alındı. Katı aldehitlerin toluendeki çözeltisi, sıvı olanlar ise çözücsüz **2a** veya **2b**'nin katalitik miktarlarında tablo 2.11 de belirtilen koşullarda kondenzasyon tepkimesine sokuldu.

Ayrıca, aşağıda yapıları gösterilen **35**, **36a** ve **36b** bileşiklerinin katalitik özelliklerini araştırmak için de deneyler (bak. tablo 2.11) yapıldı.

**35****36a** $R, R' = Bz$ 

Asetaldehitin kondenzasyonu için katalitik miktarlardaki **35**, **36a** ve **36b** bileşikleri oda sıcaklığında değişik mol oranı ve farklı sürelerde asetaldehit ile etkileştirildi. Tepkimeler sonucunda oluşan asetaldehit damıtılarak alındı. Tablo 2.11'de benzoin ve asetoin kondenzasyon ürünlerine ait e.n.'ları ve verimler görülmektedir.

Tablo 2.11. Benzoin ve asetoin kondenzasyon tepkimelerine ait veriler.

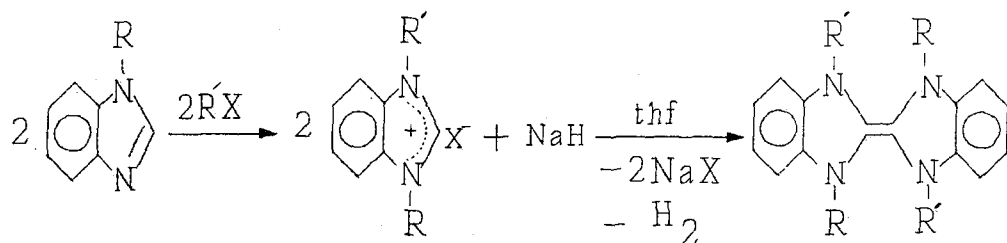
Alken	Aldehit	Katalizör oranı (%mol)	Sıcaklık/süre (°C/dk)	e.n./k.n. (°C)	Verim (%)
2a	26	1	20/1	133	kantitatif
2b	26	1	20/1	133	97
2a	27	1	100/10	86-87	60
2b	27	1	100/10	86-87	56
2a	28	1	20/1	110-112	70
2b	28	1	20/1	110-112	66
2a	29*	1	110/60	160-165	85
2b	29*	1	110/60	160-165	78
2a	31	1	20/1	138-140	90
2b	31	1	20/1	138-140	80
36a	34	2	20/720	138/1atm.	51
36a	34	2	20/1440	138/1atm.	56
36a	34	2	20/1800	138/1atm.	56
36a	34	0.75	20/720	---	--
36b	34	1	20/720	---	--
35	34	1	20/720	---	--

*Çözücü olaraktoluen kullanıldı.

3. SONUÇLAR VE TARTIŞMASI

Tetraaminoalkenler(e.z.o.) ile ilgili çalışmalar genellikle bis(1,3-disübstitüyeimidazolidin-2-iliden)'ler ile ilgiliidir. Bu güne kadar bu alkenlerin bir çok özellikleri incelenmiştir. İncelemeler devam ettikce yeni yeni özellikleri tespit edilmektedir. Giriş bölümünde de belirtildiği gibi tetraaminoalkenler çok tepkin bileşiklerdir. Çok tepkin oluşları araştırmalarda dezavantaj yaratmaktadır. Bu nedenle, daha kararlı yapıya sahip e.z.o.'lerin sentez edilerek özelliklerinin incelemesi önem kazanmıştır. Yapısal nedenlerle, benzimidazol çekirdeği içeren tetraaminoalkenlerin daha kararlı olması beklenmektedir. Diğer taraftan değişik fizyolojik özellikler sergileyen benzimidazoller, benzimidazol çekirdeği içeren tetraaminoalkenlerin sentezi için uygun bir yöntem geliştirmeyi zorunlu kılmıştır. Sentez amacıyla iki farklı yol izlenmiştir. (i) Asetal yöntemi, (ii) tuz yöntemi. Asetal yöntemi daha önce açıklandığı için burada tekrarlanmayacaktır²³.

3.1. Tuz Yöntemiyle bis(1,3-dialkilbenzimidazolidin-2-iliden)'lerin Hazırlanması



1a R, R' = Me

1b R, R' = Et

1c R = Me; R' = Et

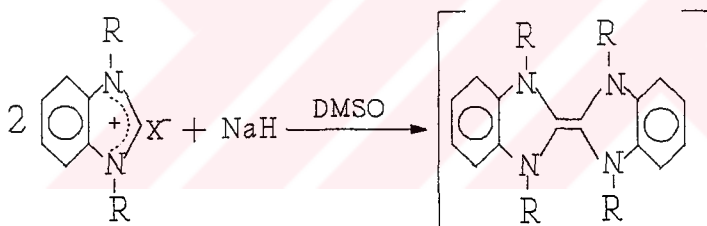
2a R, R' = Me

2b R, R' = Et

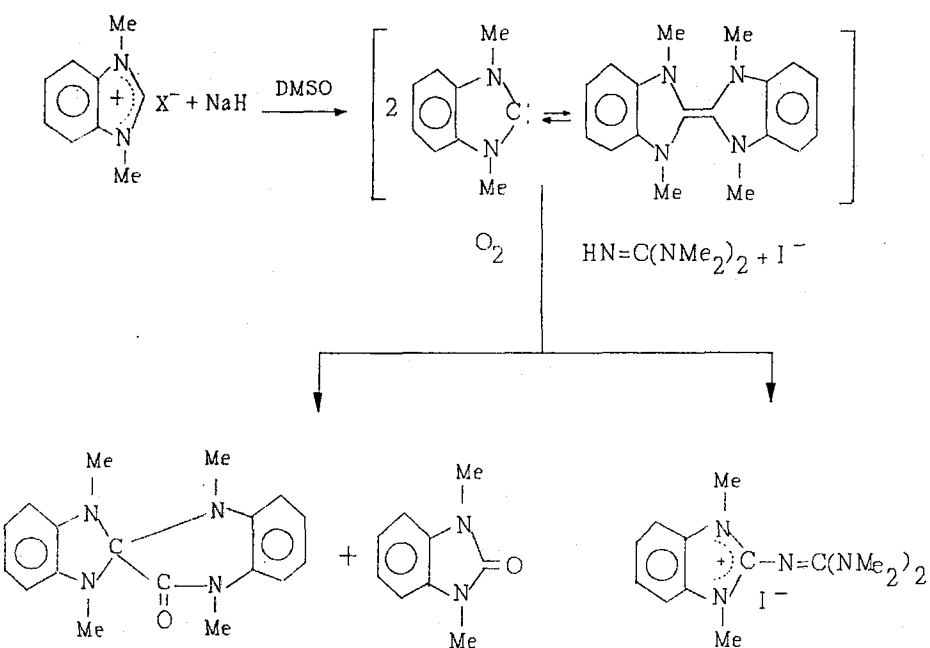
2c R = Me; R' = Et

2a Elektronca-zengin olefinini(e.z.o.) sentez etmek amacıyla ilk önce 1-metilbenzimidazolden çıkışlarak 1,3-dimetilbenzimidazolyum iyodür tuzu hazırlandı. Daha sonra bu tuzun thf'deki çözeltisi NaH ile etkileştirilerek **bis(1,3-dimetilbenzimidazolidin-2-iliden)** **2a** bileşiği tuz yöntemi ile yüksek bir verimle(% 90) elde edildi. **2a** bileşiği 1988 yılında bize ait bir çalışmada N,N'-dimetilformamit dimetil asetal ile % 50 verimle sentez edilmişti(asetal yöntemi)²³. Ancak tuz yöntemi ile karşılaşıldığında hem uzun basamaklar içermekte hem de verimi daha az olmaktadır. Havanın nem ve oksijene karşı son derece duyarlı olan **2a** bileşiğinin kristalleri, havada lüminesans özellik göstererek yanmakta, sarı renkli çözeltisi ise havayla temasta derhal beyazlaşmaktadır.

Benzimidazolidin çekirdeği içeren e.z.o. sentezini ilk deneyen araştırmacı Fransız kimyacısı J. Bourson'dur.



Araştırmacı 1971 yılında 1,3-dimetilbenzimidazolyum²⁸ ve 1,3-difenilbenzimidazolyum²⁷tuzlarını kullanarak tepkime (3.2)'ye göre **bis(1,3-dimetilbenzimidazolidin-2-iliden)** ve **bis(1,3-difenilbenzimidazolidin-2-iliden)** elektronca zengin olefinlerini sentez etmeye çalışmış fakat başaramamıştır. Ancak bazı bozunma ürünlerini elde etmiştir. Örneğin R=Me için tepkime (3.3)'de görülen ürünlere bakarak elektronca zengin olefinin ara basamakta oluştuğu kanısına varmıştır²⁸.



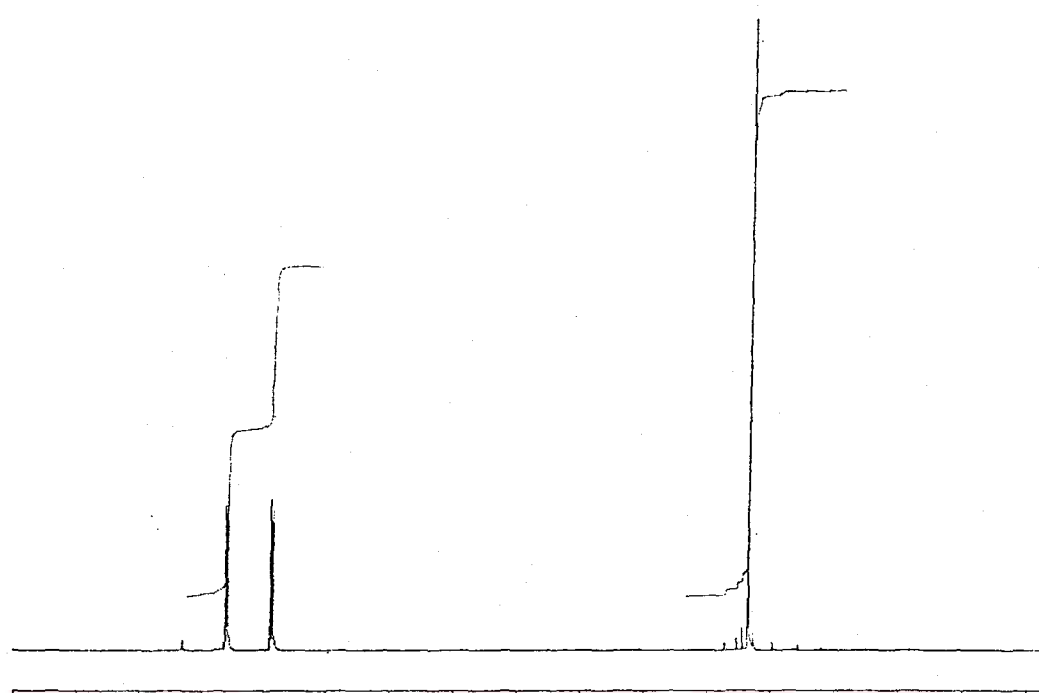
Bis(1,3-dietilbenzimidazolidin-2-iliden) **2b** ve **bis(1-metil-3-ethylbenzimidazolidin-2-iliden)** **2c** bileşikleride tuz yöntemi kullanılarak % 80 verimle sentez edildi.

Tuz yöntemi kullanılarak sentezlenen e.z.o.'ler birbirleri ile karşılaştırıldıklarında; tepkinlikleri **2a>2c>2b** sırasına göre değişmektedir.

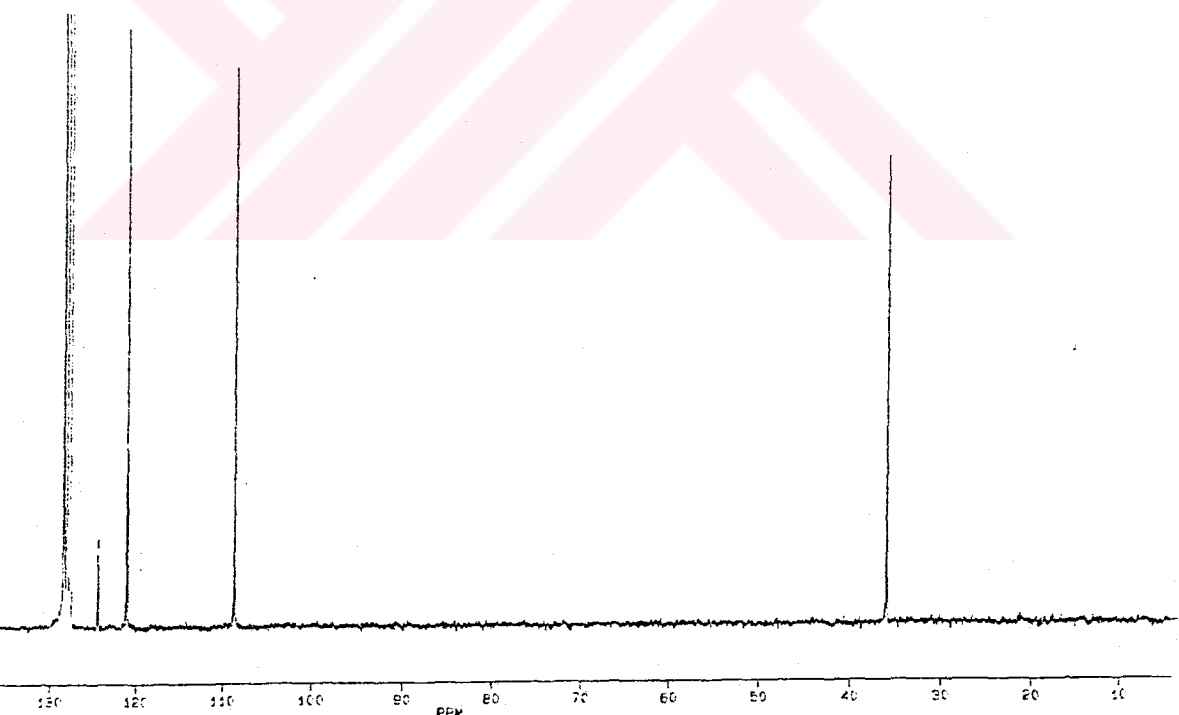
Bunlardan **2c** bileşiği kristallendirilemezken birçok türevi izole edilerek diğer e.z.o.'ler gibi benzer özellikler gösterdiği tespit edildi.

Şekil 3.1.'de **2a** bileşигine ait ¹H-nmr, ¹³C-{¹H}, FTIR ve kütle spektrumları görülmektedir.

Şekil 3.2.'de **2b** bileşigine ait ¹H-nmr, ¹³C-{¹H}, FTIR ve kütle spektrumları görülmektedir.



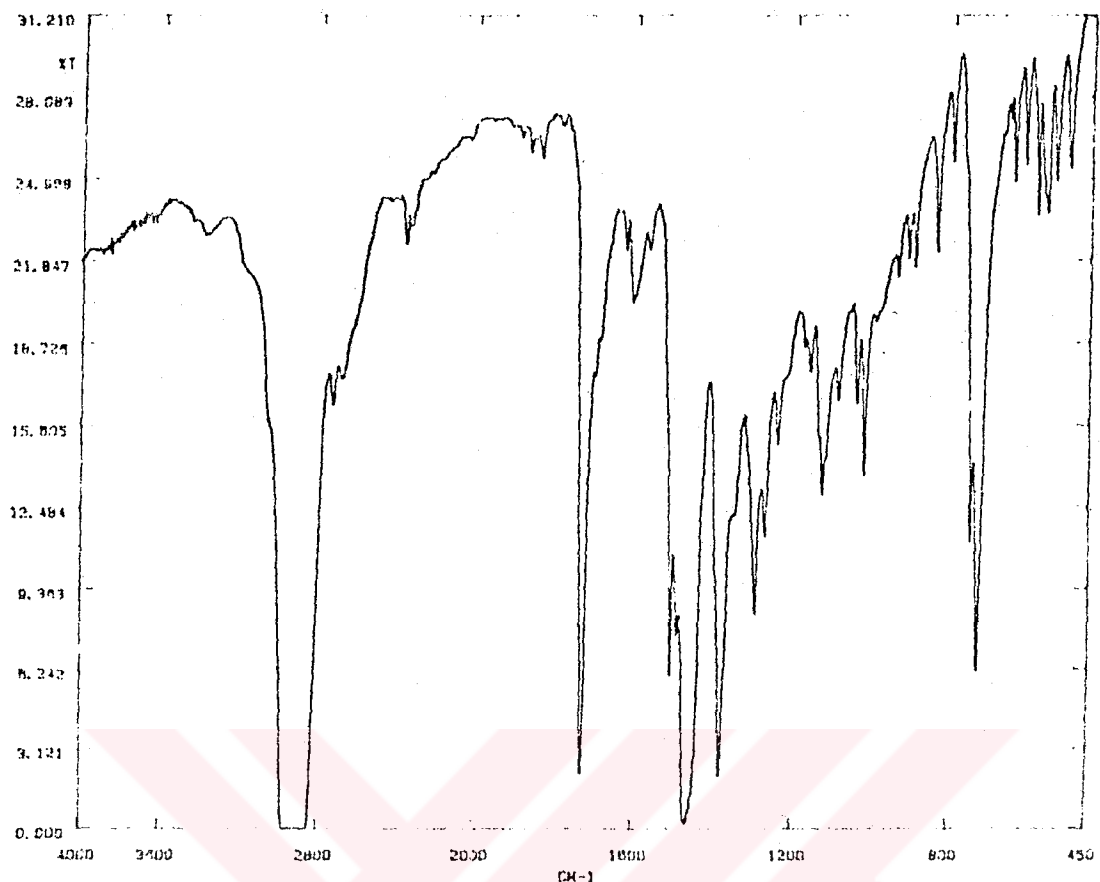
(a)



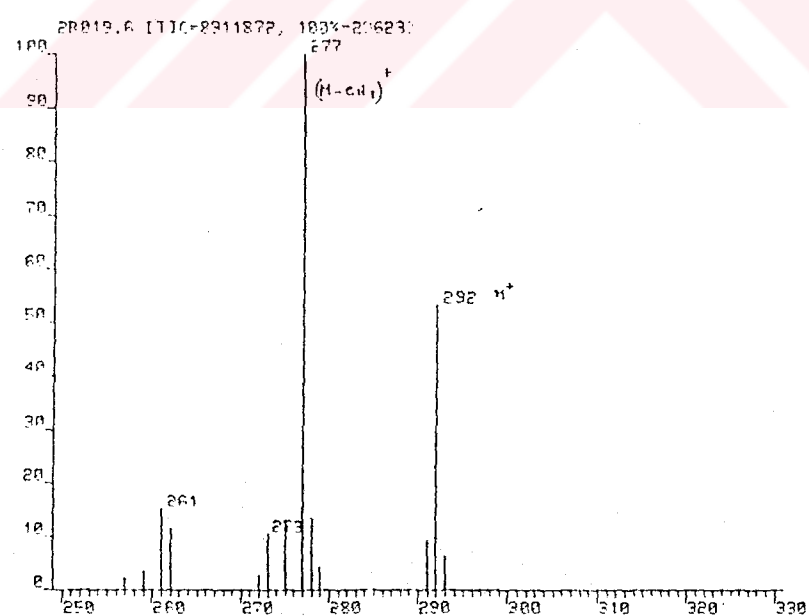
(b)

Şekil 3.1. 2a bileşiğine ait; (a) ¹H-nmr, (b) ¹³C-{¹H}-nmr spektrumları.

49

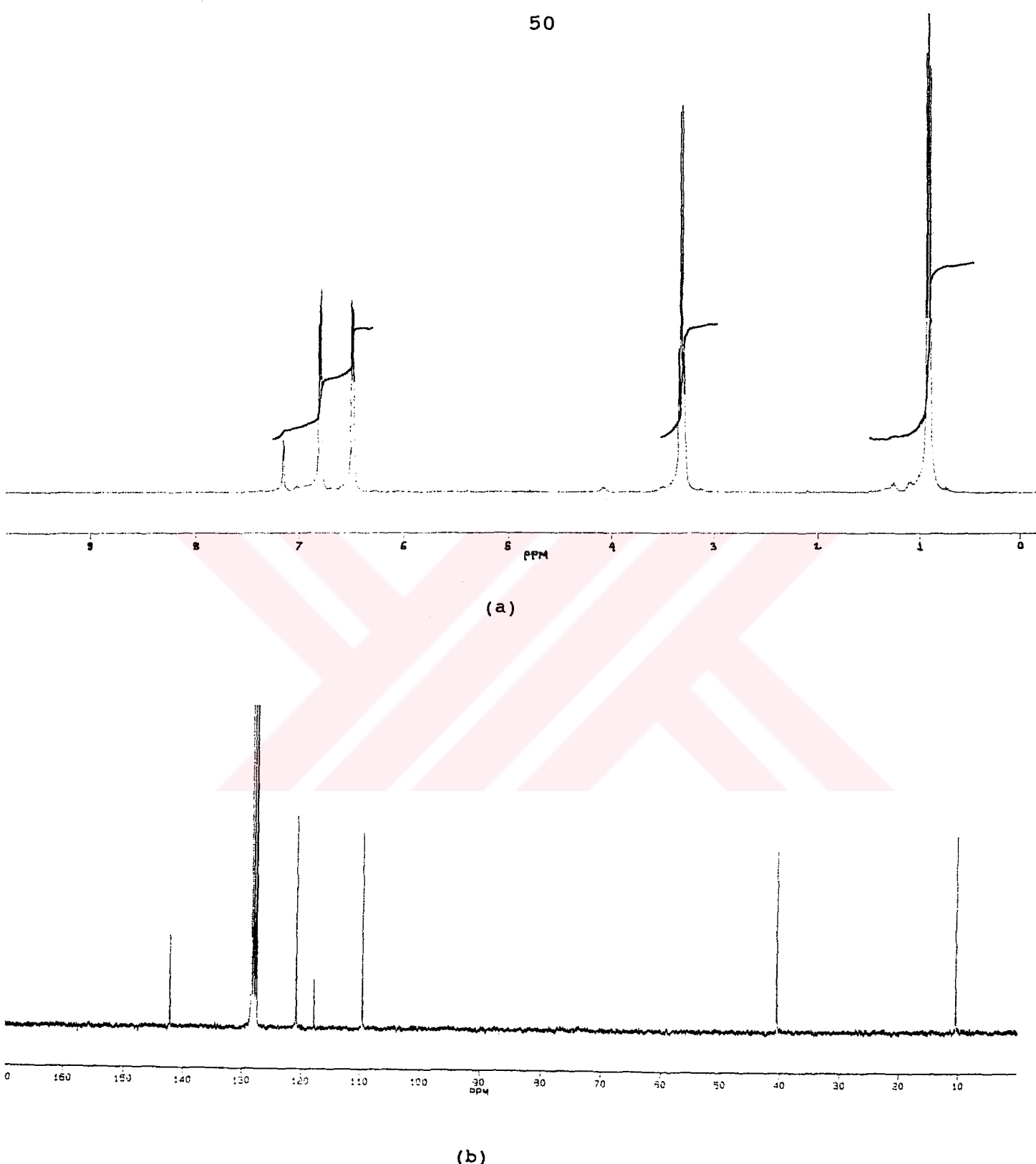


(c)

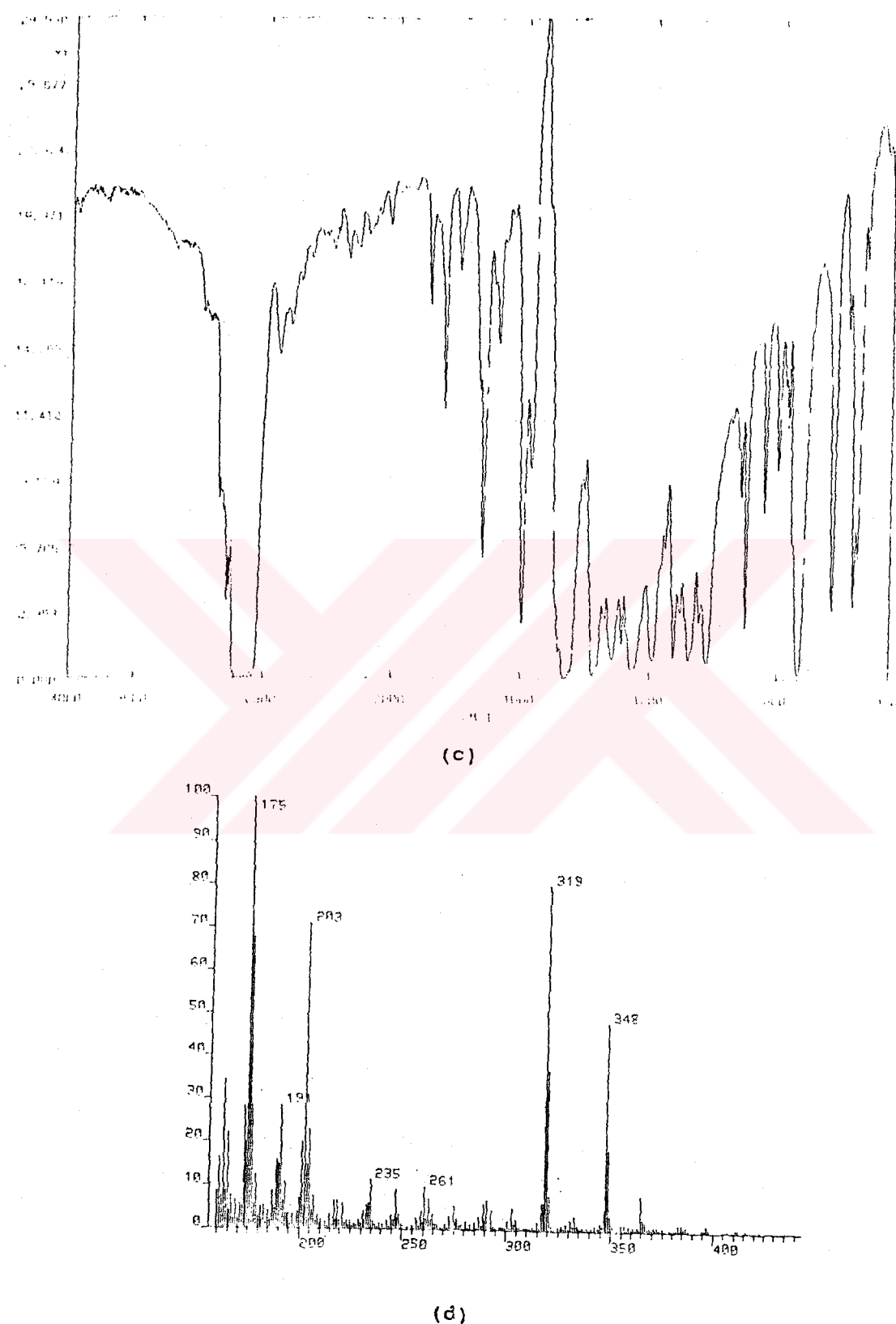


(d)

Şekil 3.1. 2a bileşigine ait; (c) FTIR ve (d) kütle spektrumları.



Şekil.3.2. 2b bileşiğine ait; (a) ^1H -nmr, (b) ^{13}C -{ ^1H }-nmr spektrumları.



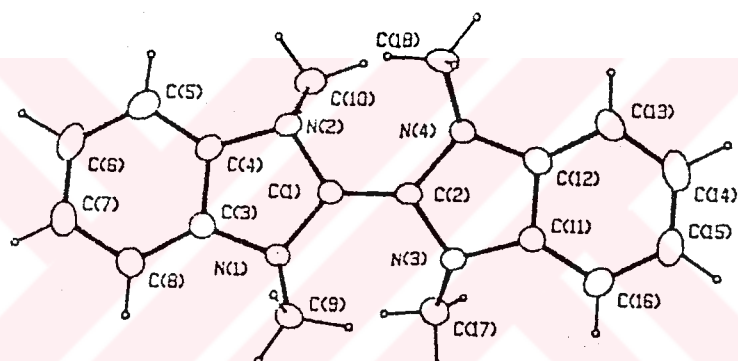
Şekil.3.2. 2b bileşiğine ait; (c) FTIR, (d) kütle spektrumları.

Şekil 3.1.(a) ve 3.2.(a)' daki **2a** ve **2b** e.z.o.'lerine ait ^1H -nmr spektrumları incelenecək olursa molekülün simetrisinin artması nedeniyle aromatik bölge piklerinin ikiye yarıldığı görülmektedir. **2a**'nın ^1H -nmr spektrumu başlangıç maddesi 1,3-dimetilbenzimidazolyum iyodürün ^1H -nmr spektrumu ile karşılaştırıldığında **2a**'nın spektrumunda piklerin 1-2.5 ppm arasında yüksek alana kaydığı (örnegi in Me pikleri başlangıç maddesinde 3.98 ppm de görülmürken **2a** da 2.68 ppm de) görülmektedir. Başlangıç maddesinde 9.08 ppm de görülen C²-H piki **2a** da bulunmamaktadır. Benzer özellikler **2b** için de görülmektedir. Şekil 3.1.(b) ve 3.2.(b)'deki **2a** ve **2b** bileşiklerine ait $^{13}\text{C}-\{\text{H}\}$ -nmr spektrumları incelendiğinde C=C piki **2a** için 124.00 ppm de **2b** için 120.84 ppm de çıkmaktadır. Bu değerler imidazolidin çekirdeği içeren e.z.o. değerlerine benzemektedir. Bis(1,3-dialkilimidazolidin-2-iliden)'lerde C=C pikleri alkil= Et için 118.00 ppm²⁵ de, alkil= n-Bü için 125.60²⁵, alkil= PPh₂(CH₂)₃- için 125.90 ppm²⁵ de, alkil= PhCH₂ için 116.22 ppm¹⁵ de görülmektedir. Normal alkenler için C=C piki ise 100-145 ppm arasında değişmektedir⁴⁵. Şekil 3.1.(c) ve Şekil 3.2.(c) deki **2a** ve **2b** e.z.o.'larına ait FTIR spektrumlarında olefinik bağa ait pikler sırasıyla $\nu_{(\text{C}=\text{O})}=1700\text{cm}^{-1}$ ve 1720cm^{-1} de görülmektedir. Bis(1,3-dialkilimidazolidin-2-iliden)'lerde $\nu_{(\text{C}=\text{O})}$ pikleri alkil= n-Bü²⁵ için 1780cm^{-1} , alkil= PPh₂(CH₂)₃-²⁵ için 1770cm^{-1} ve alkil= PhCH₂¹⁵ için 1690cm^{-1} de görülmektedir. Normal alkenler için $\nu_{(\text{C}=\text{O})}$ piki ise $1600-1700\text{cm}^{-1}$ arasında değişmektedir⁴⁵. Şekil 3.1.(d) de **2a** bileşigine ait kütle spektrumunda moleküller iyon piki(M⁺) 292, moleküller iyondan bir Me grubunun ayrılmasıyla oluşan iyona ait 277 piki mevcuttur. Şekil 3.2.(d) de **2b** bileşigine ait moleküller iyon piki(M⁺) 348, moleküller iyondan etil grubunun ayrılmasıyla oluşan iyona ait 319 piki bulunmaktadır.

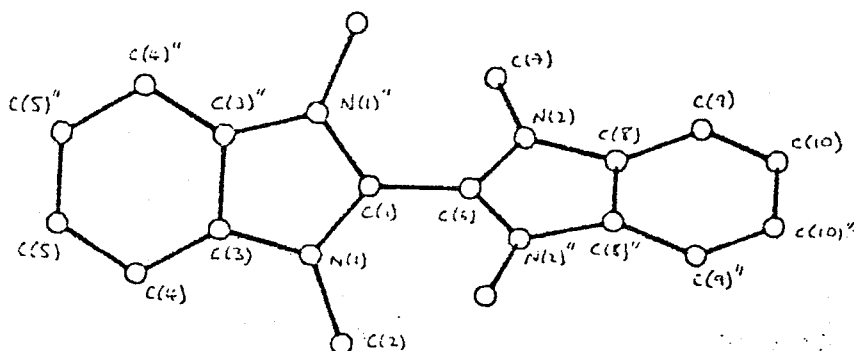
Spektrumda görülen 175 piki muhtemelen moleküller iyonun yarısının bir proton yakalampas durumuna aittir. Kütle

parçalanmaları imidazolidin çekirdeği içeren e.z.o.'lere benzemektedir. Örneğin bis(1,3-dietilimidazolidin-2-iliden) kütle spektrumunda moleküler iyon piki(M^+) 252, moleküler iyon pikinden etil ayrılmasıyla oluşan iyona ait 223 piki ve moleküler iyonun tam yarısına ait 127 piki bulunmaktadır¹⁵.

Bis(1,3-dialkilbenzimidazolidin-2-iliden)'lerden, **2a**'nın yapısı X-ışınları yöntemi ile de aydınlatıldı. Şekil 3.3.(a) da **2a** e.z.o.'i ve Şekil 3.3.(b) de **2a**'nın $\text{Ag}[\text{BF}_4]$ ile verdiği dikatyonuna, L_2^{Bim} , ait moleküler yapı ve atom numaralama şeması görülmektedir.



(a)



(b)

Şekil 3.3. (a) **2a** e.z.o.'i ve (b) L_2^{Bim} 'in yapısı.

Tablo 3.1'de **2a** e.z.o.'ine ait moleküliçi bağı uzunlukları ve açıları, tablo 3.2'de **2a** e.z.o.'in $\text{Ag}[\text{BF}_4]$ ile verdiği dikatyona, L_2^{Bim} , ait moleküliçi bağı uzunlukları ve açılarından bazıları görülmektedir. Kristal yapı tayinlerinden bis(1,3-dimetilbenzimidazolidin-2-iliden)'nın, **2a** kristal yapısının monoklinik, tetrafloroborat tuzunun kristal yapısının ise ortorombik olduğu tespit edilmiştir.

Tablo 3.1. **2a** bileşigine ait bağı uzunlukları ve açılar, parentez içinde standart sapmaları ile görülmektedir.

a) Bağlar

N(1)-C(1)	1.438(4)	N(1)-C(3)	1.413(4)
N(1)-C(9)	1.474(4)	N(2)-C(1)	1.431(4)
N(2)-C(4)	1.416(4)	N(2)-C(10)	1.462(4)
N(3)-C(2)	1.425(4)	N(3)-C(11)	1.407(4)
N(3)-C(17)	1.452(5)	N(4)-C(2)	1.418(4)
N(4)-C(12)	1.397(4)	N(4)-C(18)	1.457(5)
C(1)-C(2)	1.344(4)	C(3)-C(4)	1.386(4)
C(3)-C(8)	1.384(4)	C(4)-C(5)	1.377(4)
C(5)-C(6)	1.390(5)	C(6)-C(7)	1.371(5)
C(7)-C(5)	1.402(5)	C(11)-C(12)	1.396(5)
C(11)-C(1c)	1.380(4)	C(12)-C(13)	1.374(5)
C(13)-C(14)	1.392(5)	C(14)-C(15)	1.369(7)
C(15)-C(16)	1.383(5)		

b) Açılar

C(1)-N(1)-C(3)	105.4(2)	C(1)-N(1)-C(9)	118.4(2)
C(3)-N(1)-C(9)	116.4(2)	C(1)-N(2)-C(4)	105.7(2)
C(1)-N(2)-C(10)	117.1(3)	C(4)-N(2)-C(10)	115.2(2)
C(2)-N(3)-C(11)	107.4(3)	C(2)-N(3)-C(17)	120.6(3)
C(11)-N(3)-C(17)	119.7(3)	C(2)-N(4)-C(12)	107.9(3)
C(2)-N(4)-C(15)	123.3(3)	C(12)-N(4)-C(15)	119.3(3)
N(1)-C(1)-N(2)	109.2(2)	N(1)-C(1)-C(2)	125.6(3)
N(2)-C(1)-C(2)	125.6(3)	N(3)-C(2)-N(4)	107.2(2)
N(3)-C(2)-C(1)	125.5(3)	N(4)-C(2)-C(1)	127.3(3)
N(1)-C(3)-C(4)	109.9(2)	N(1)-C(3)-C(8)	128.9(3)
C(4)-C(3)-C(8)	121.2(3)	N(2)-C(4)-C(3)	109.4(2)
N(2)-C(4)-C(5)	129.8(3)	C(3)-C(4)-C(5)	120.6(3)
C(4)-C(5)-C(6)	118.4(3)	C(5)-C(6)-C(7)	121.0(3)
C(6)-C(7)-C(3)	121.0(3)	C(3)-C(6)-C(7)	117.5(3)
N(3)-C(11)-C(12)	102.5(3)	N(3)-C(11)-C(16)	135.2(3)
C(12)-C(11)-C(1c)	121.4(3)	N(4)-C(12)-C(11)	108.6(3)
N(4)-C(12)-C(13)	131.1(3)	C(11)-C(12)-C(13)	120.3(3)
C(12)-C(13)-C(14)	118.1(4)	C(13)-C(14)-C(15)	121.3(4)
C(14)-C(15)-C(16)	121.1(3)	C(11)-C(16)-C(15)	117.7(4)

Tablo 3.2. L_2^{Bm} 'e ait molekülliği bağ uzunlukları ve açılar, parentez içinde standart sapmalar ile görülmektedir.

a) Bağlar

F(1)-B(1)	1.353(9)	F(2)-B(1)	1.337(10)
F(3)-B(2)	1.320(8)	F(4)-B(2)	1.254(11)
N(1)-C(1)	1.333(7)	N(1)-C(2)	1.468(9)
N(1)-C(3)	1.381(8)	N(2)-C(6)	1.326(7)
N(2)-C(7)	1.455(9)	N(2)-C(8)	1.388(8)
C(1)-C(6)	1.462(13)	C(3)-C(4)	1.399(9)
C(4)-C(5)	1.378(10)	C(8)-C(9)	1.347(10)
C(9)-C(10)	1.258(10)	C(3)-C(3)''	1.380(9)
C(5)-C(5)''	1.279(11)	C(8)-C(8)''	1.389(8)
C(10)-C(10)''	1.394(10)		

b) Açılar

C(1)-N(1)-C(2)	126.1(6)	C(1)-N(1)-C(3)	108.9(5)
C(2)-N(1)-C(3)	125.0(5)	C(6)-N(2)-C(7)	127.2(6)
C(6)-N(2)-C(8)	107.4(5)	C(7)-N(2)-C(8)	125.3(5)
N(1)-C(1)-C(6)	125.5(4)	N(1)-C(3)-C(4)	131.6(6)
C(3)-C(4)-C(5)	115.9(7)	N(2)-C(6)-C(1)	124.3(4)
N(2)-C(8)-C(9)	130.6(6)	C(2)-C(9)-C(10)	114.1(6)
F(1)-B(1)-F(2)	108.3(3)	F(3)-B(2)-F(4)	109.2(5)
F(1)-B(1)-F(1)'	122.6(9)	F(1)-B(1)-F(2)'	110.3(4)
F(2)-B(1)-F(2)'	137.0(9)	F(3)-B(2)-F(3)''	118.3(9)
F(3)-B(2)-F(4)''	105.4(5)	F(4)-B(2)-F(4)''	109(1)
N(1)-C(1)-N(1)''	109.0(7)	N(1)-C(3)-C(3)''	106.6(5)
C(4)-C(3)-C(3)''	121.7(6)	C(4)-C(5)-C(5)''	122.3(7)
N(2)-C(6)-N(2)''	111.5(7)	N(2)-C(8)-C(8)''	106.9(6)
C(9)-C(3)-C(8)''	122.5(6)	C(9)-C(10)-C(10)''	123.4(6)

The symmetry element is :

* 0.5-x, -y, z

** x, 0.5-y, 0.5-z

İki bileşikteki bazı bağ uzunlukları karşılaştırılacak olursa; 2a bileşiğindeki olefinik bağ C(1)-C(2):1.344 \AA uzunluğunda iken dikatyondaki tekli bağ C(1)-C(6): 1.462 \AA 'dir. Buna karşılık 2a bileşiğindeki C(1)-N(1): 1.438 \AA , dikatyonda ise C(1)-N(1):1.333 \AA 'dur. Moleküller yapılar incelenenecek olursa 2a bileşiğindeki

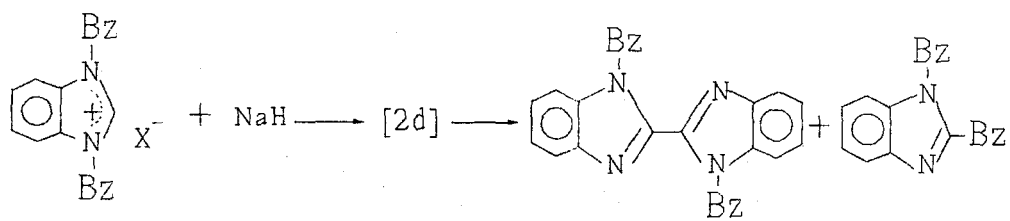
olefinik bağ nedeni ile iki benzimidazolidin halkası serbest dönme yapamamakta ve molekül tam simetrik gözükmemektedir. Buna karşılık dikatyonda ise olefinik bağ yalnızca tekli bağa dönüştüğünden iki benzimidazolidin çekirdeği tekli bağ etrafında kolaylıkla dönmektedir ve bu nedenle de moleküldeki benzimidazolidin halkaları uzayda farklı yönelmişlerdir.

2a bileşiğinin bağ uzunlukları bis(1,3-dialkilimidazolidin-2-iliden) bileşikleri ile karşılaştırıldığında yakın bir benzerlik görülmektedir. Örneğin **2a** bileşiğinde olefinik bağın uzunluğu 1.344°A , bis(1,3-dibenzilimidazolidin-2-iliden) de $1.319^{\circ}\text{A}^{16}$, bis(1,3-dimetilimidazolidin-2-iliden) de $1.387^{\circ}\text{A}^{25}$ tetrakis(dimethylamino)etan de, TDAE 1.350°A dur⁴⁶.

Elde edilen verilerden benzimidazolidin çekirdeği içeren e.z.o.'lerin spektroskopik özelliklerinin genel olarak imidazolidin çekirdeği içerenlere benzediği anlaşılmaktadır.

3.2. Bis(1,3-dibenzilbenzimidazolidin-2-iliden)'i, 2d, Sentez Etmek Amacıyla Yapılan Çalışmalar

a) Tuz yöntemi



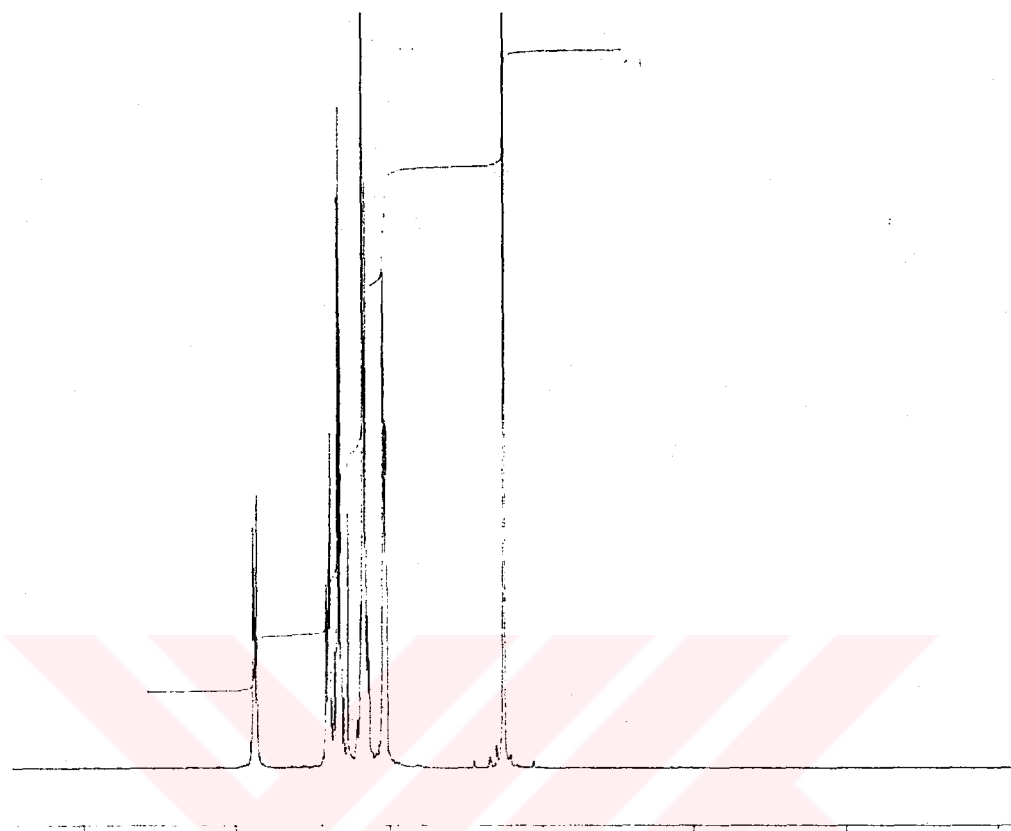
1d R=Bz

3d

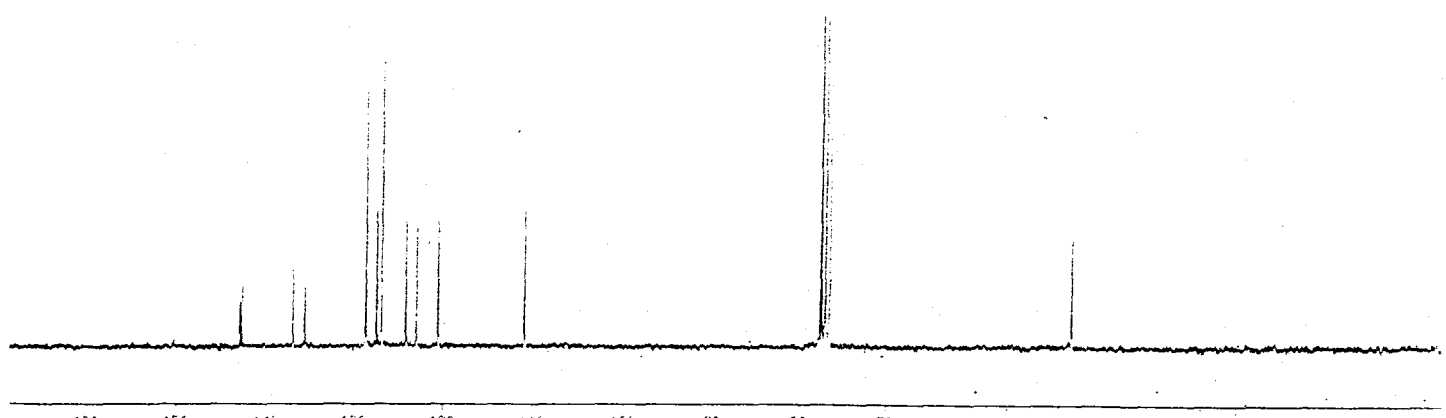
4d

Tuz yöntemi ile **2a**, **2b** ve **2c** bileşiklerinin yüksek verimle

sentezi başarılı olunca, **2d** bileşiğini elde etmek amacıyla ile aynı yöntem aynı koşullarda uygulandı. **2a**, **2b** ve **2c** bileşiklerinin sentez edilmesinde olduğu gibi çözeltinin renginde sararma ve H₂ gazı çıkıştı gözlandı. Ancak, beklenen **2d** elektronca-zengin olefini yerine bu olefinin iki farklı debenzilasyon ürünü; bis(1-benzilbenzimidazol-2-il) **3d** ve 1,2-dibenzilbenzimidazol **4d** bileşikleri ele geçti. Çok sayıda deneme yapılarak **2d** izole edilmek istendi fakat başarılılamadı. Benzil grupları kolay göç edici bir grup olduğundan benzil grubu içeren **2d** bileşiğinin izole edilememesi şaşırtıcı değildir. Nitekim bis(1,3-dibenzylimidazolidin-2-iliden) bileşiğinin sentez edilmesinde debenzilasyon ve sigmatropik çevrilme ürünleri izole edilmişdir¹⁵. **2d** bileşiği ile bis(1,3-dibenzylimidazolidin-2-iliden) debenzilasyon sıcaklığı bakımından karşılaşılacak olursa **2d** bileşliğinde debenzilasyon 80°C'da olurken bis(1,3-dibenzylimidazolidin-2-iliden) bileşliğinde 138°C'da olmaktadır. Her iki bileşige ait debenzilasyon ürünleri tamamıyla kararlı bileşiklerdir. Şekil 3.4'de **3d** bileşigine ait ¹H-n.m.r., ¹³C-{¹H}-n.m.r., FTIR, ve kütle spektrumları, şekil 3.5'de ise **4d** bileşigine ait ¹H-n.m.r., ¹³C-{¹H}-n.m.r., FTIR ve kütle spektrumları görülmektedir.

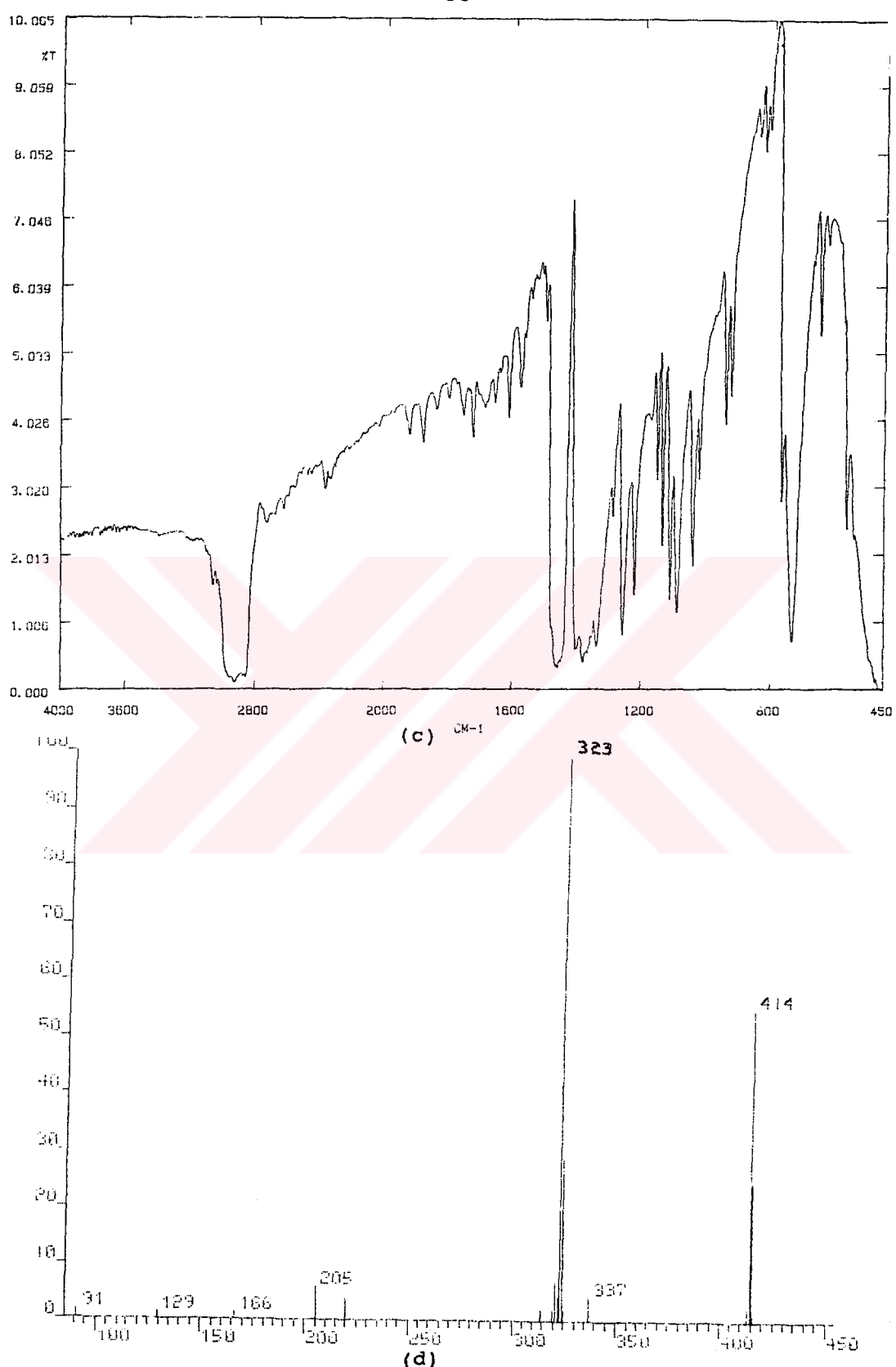


(a)

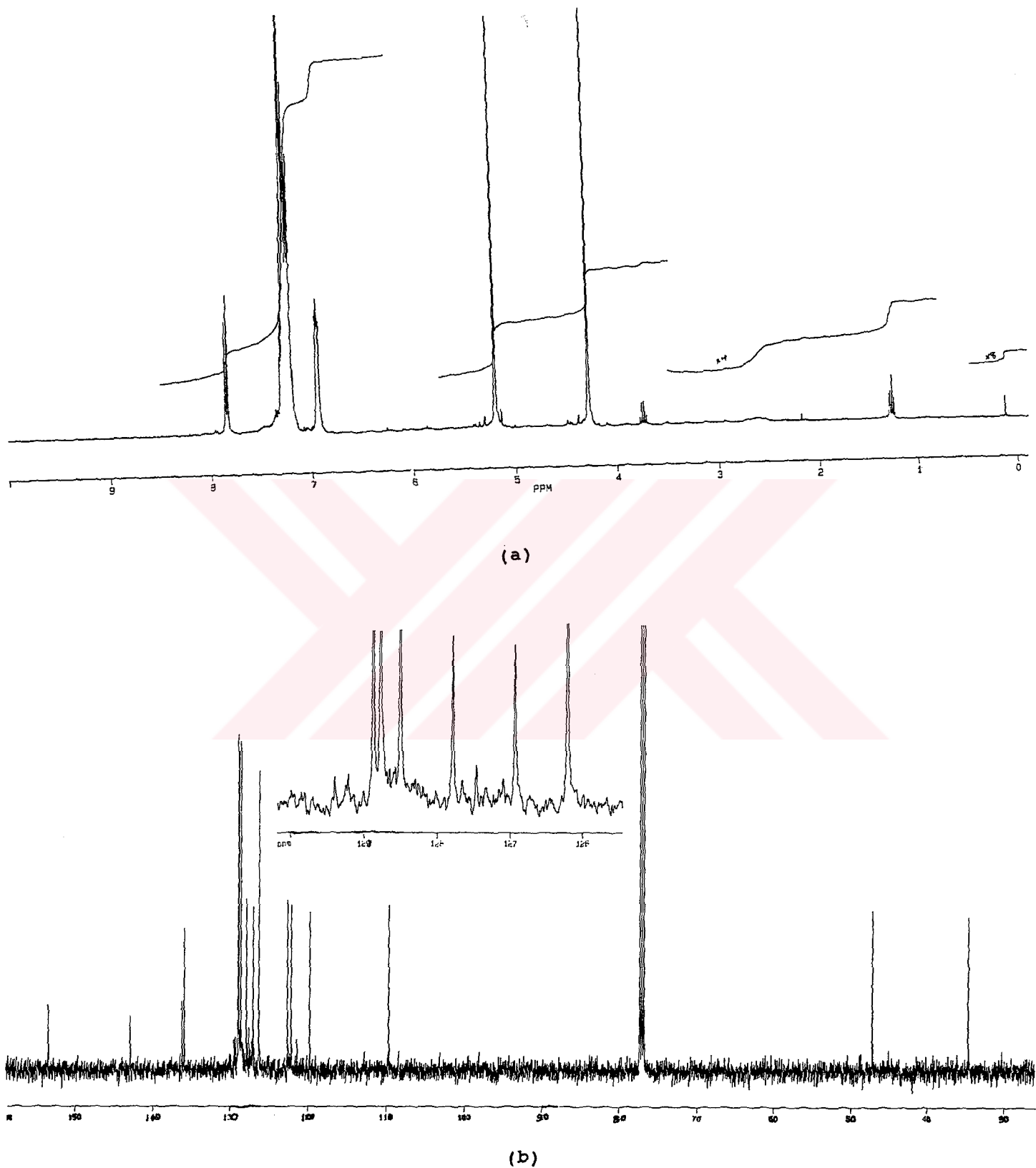


(b)

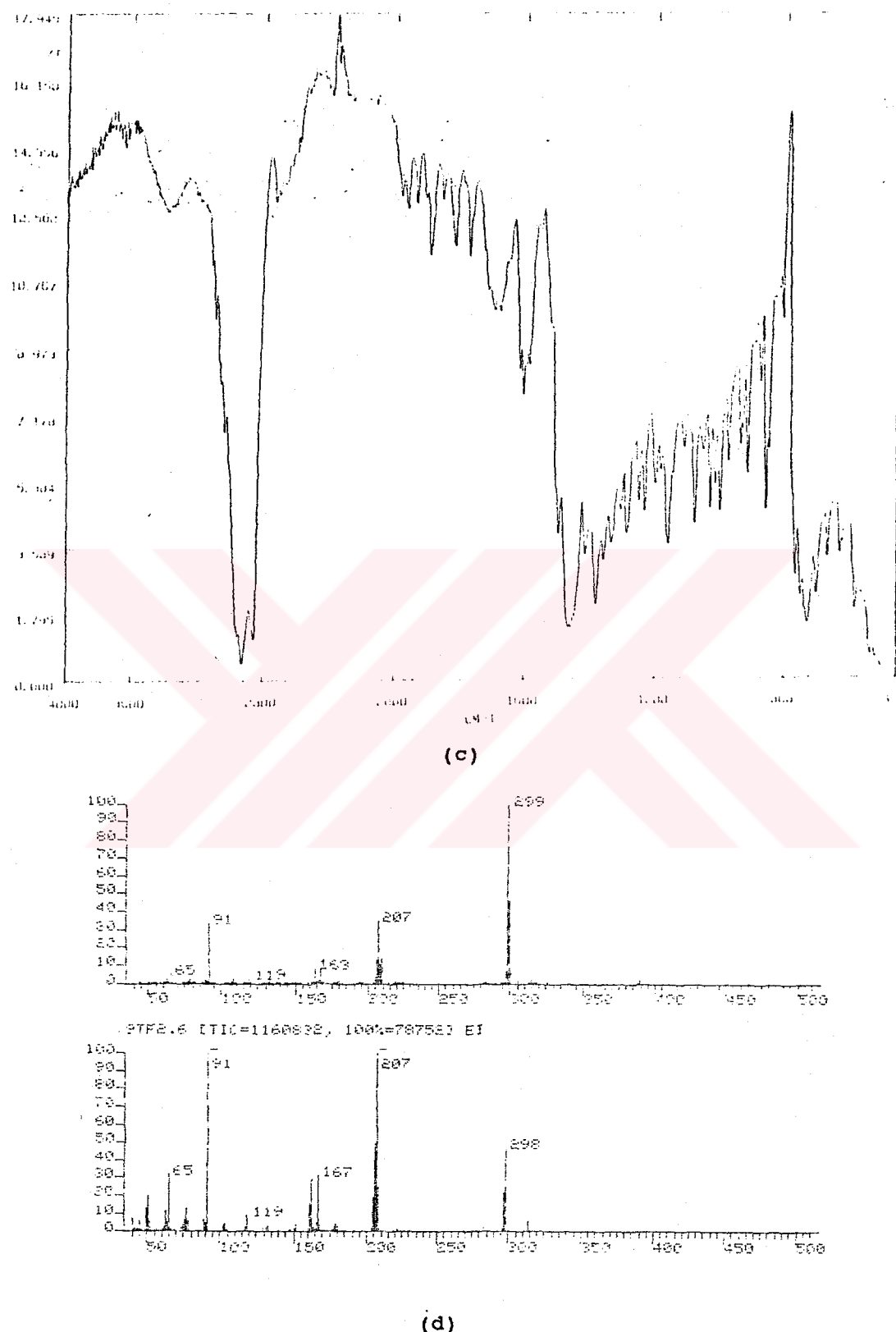
Sekil 3.4. 3d bileşigine ait; (a) ^1H -n.m.r.,
 (b) ^{13}C -{ ^1H }n.m.r. spektrumları.



Şekil 3.4. 3d bileşигine ait; (c) FTIR ve (d) kütle spektrumları.



Şekil 3.5. 4d bileşiğine ait; (a) ^1H -n.m.r., (b) $^{13}\text{C}-\{{}^1\text{H}\}$ -n.m.r. spektrumları.



Şekil 3.5. 4d bileşiğine ait; (c) FTIR ve (d) kütle spektrumları.

Şekil 3.4.(a) ve şekil 3.5.(a) da **3d** ve **4d** bileşiklerine ait ¹H-n.m.r. spektrumları incelendiğinde metilen piki **3d** için 6.25ppm de gelirken farklı çevreli iki metilen içeren **4d** de 4.27ppm (karbona bağlı olan) ve 5.19ppm de görülmektedir. **3d** bileşiğinin imidazolidin analogu için benzile bağlı metilen piki 4.80ppm de çıkmaktadır¹⁵. Şekil 3.4.(b) ve şekil 3.5.(b) de **3d** ve **4d** bileşiklerine ait ¹³C-{¹H}-n.m.r. spektrumları incelendiğinde metilen piki **3d** için 48.52ppm de **4d** için 34.46ppm(karbona bağlı) ve 47.03ppm de gelmektedir. Bu pik imidazolidin analogunda ise 52.00ppm civarında görülmektedir¹⁵. **3d** bileşiği için diğer onbir değişik karbona ait pik 110.85-142.85ppm ler arasında net olarak görülmektedir. **4d** bileşiğinde ise metilen karbonları dışında beklenen 15 değişik karbona ait pikten 12'si görülmektedir. Eksik görülen üç pik ise iki farklı konumda bulunan benzil karbonlarından bazılarının manyetik bakımdan özdeş olduğunu göstermektedir. Şekil 3.4.(d) ve 3.5.(d) de **3d** ve **4d** bileşiklerine ait kütle spektrumları incelendiğinde sırasıyla moleküler iyon piki(M⁺) 414 ve 298 olarak görülmektedir. Her iki moleküler iyondan birer benzil gurubunun ayrılmasıyla oluşan iyonlara ait m/e=323 ve m/e=207 pikleri de benzil gruplarının kolay ayrılan bir grup olduğunu göstermektedir.

Benzil grubu ayrılması **3d** bileşiğinin imidazol analogu içinde gözlenmiştir¹⁵.

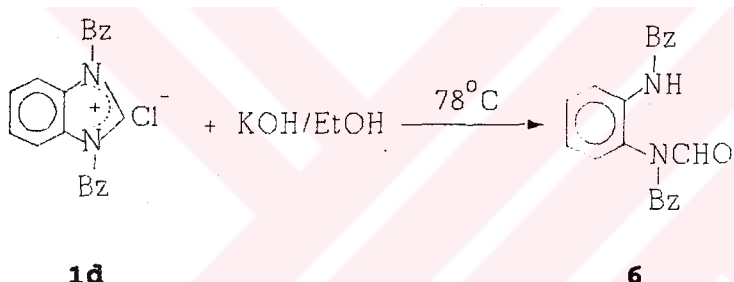
b) Mesitil magnezyum bromür ile **1d tuzunun etkileştirilmesi.-**

1,3-dibenzilbenzimidazolyum klorür'ün, **1d**, NaH ile 8 st. oda sıcaklığında etkileştirilmesi sonucu **2d** bileşiği yerine debenzilasyon ürünleri(**3d,4d**) ele geçti. Bu uzun sürenin debenzilasyona neden olup olmadığını anlamak için NaH yerine daha tepkin bileşik olan mesitil magnezyum bromür kullanıldı. Bunun için 1,3-dibenzilbenzimidazolyum

klorür (**1d**) THF'de süspansiyon haline getirilerek mesitil magnezyum bromür ile etkileştirildi. Oda sıcaklığında uzun sürelerde ve kaynatma şartlarında da birkaç saat tepkimeye devam edilmesine rağmen beklenilen **2d** olefini veya türevlerine rastlanmazken yanlışca başlangıç tuzu **1d** geri alındı.

Bu tepkime sonucunda mesitil magnezyum bromürün e.z.o. sentezinde NaH gibi kolaylıkla kullanılmayacağı anlaşılmaktadır.

c) **1d** Tuzunun alkollü KOH ile kaynatılması

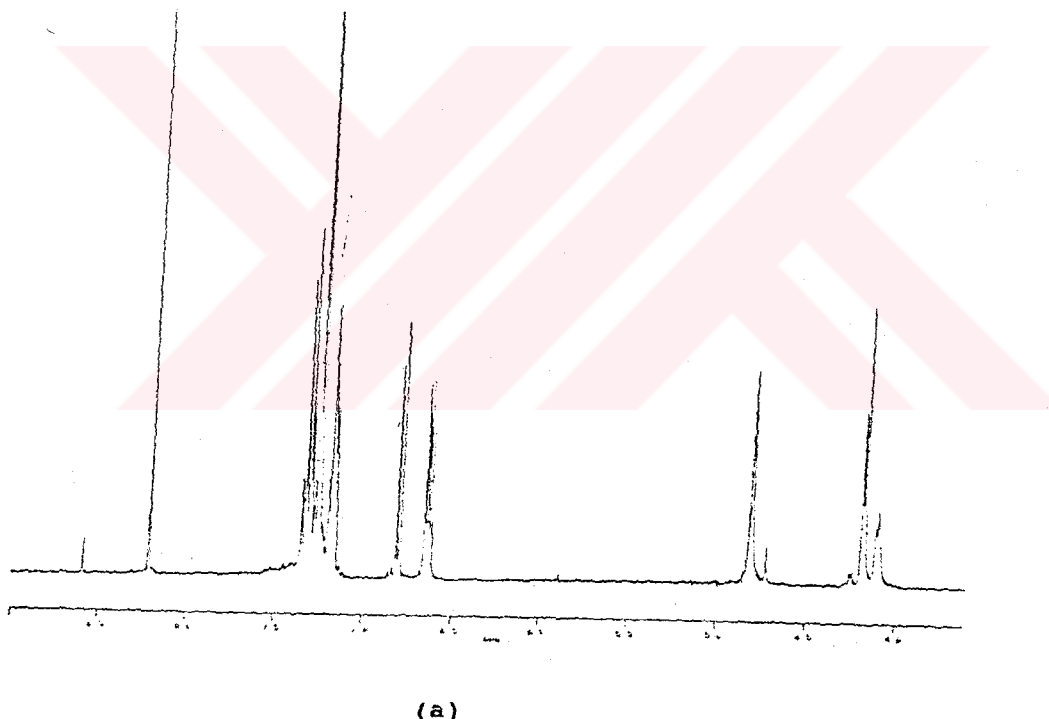


2d Bileşığının asetal yöntemiyle sentezlenebilmesi için ilk önce *N,N'*-dibenzil-*o*-fenilendiamin bileşığının sentez edilmesi gerekmektedir. Bu amaçla ilk önce 1,3-dibenzilbenzimidazolyum klorür **1d** bileşigi alkollü KOH içinde kaynatılarak, halka parçalanması sonucu, *N,N'*-dibenzil-*o*-fenilendiamin bileşigi sentez edilmeye çalışıldı. Ancak sonuçta istenen *N,N'*-dibenzil-*o*-fenilendiamin bileşigi yerine **6** bileşigi ele geçti.

1904 yılında Otto Fischer benzer bir tepkime sonucu elde ettiği bileşiği yanlış olarak, 1,3-dibenzilbenzimidazol olarak adlandırdığı gibi⁴² bu çalışmada da **6** bileşigi ilk önce yanlış olarak 1,2,3-tribenzilbenzimidazol olarak adlandırıldı. Yapılan tüm spektroskopik analizler sonucu doğru yapının *N,N'*-dibenzil-*N*-formil-*o*-fenilendiamin **6**

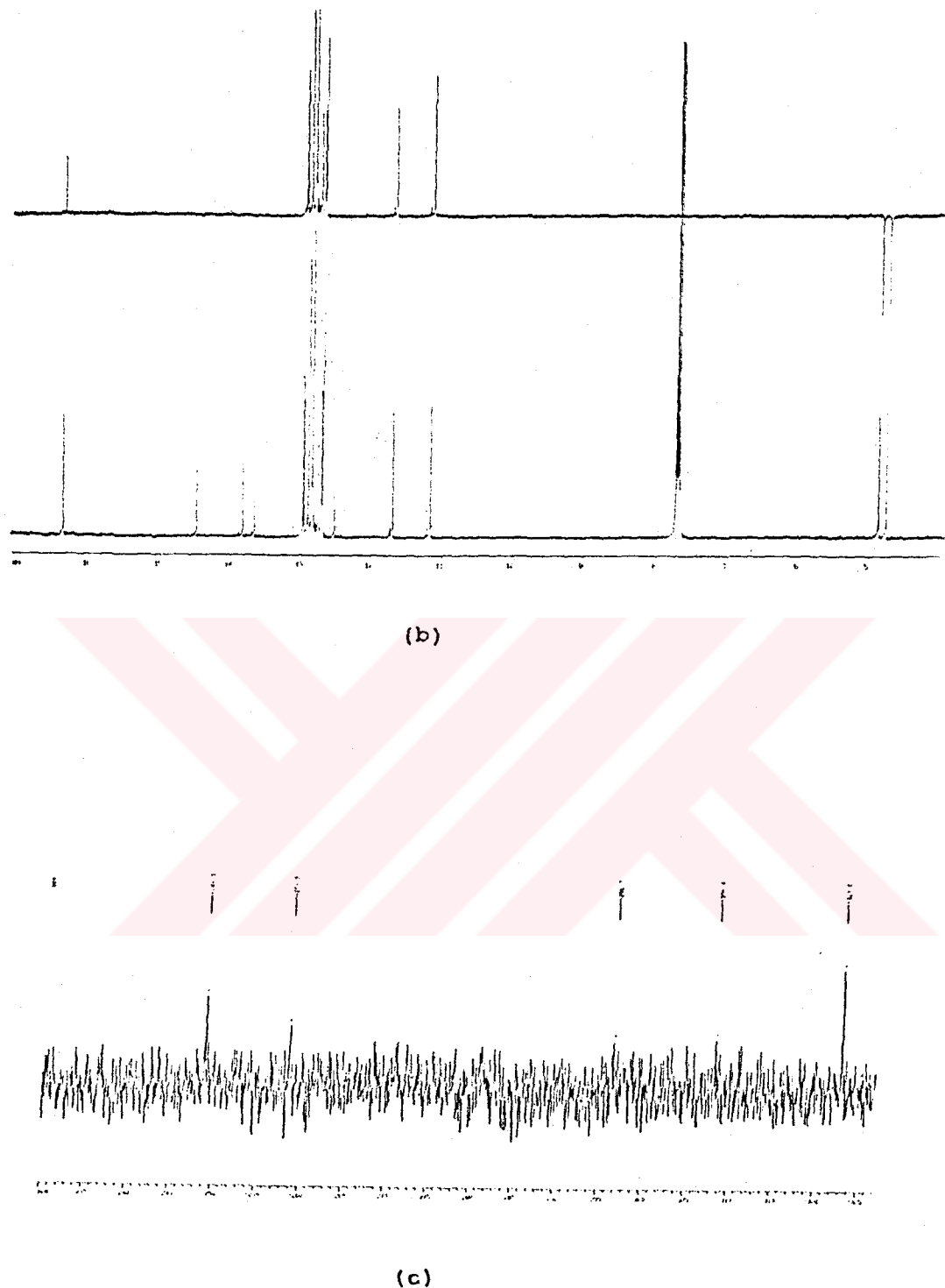
olduğu anlaşıldı.

Şekil 3.6'da 6 bileşiğine ait ^1H -n.m.r., $^{13}\text{C}-\{^1\text{H}\}$, $^{15}\text{N}-\{^1\text{H}\}$ -n.m.r., FTIR, ve kütle spektrumları görülmektedir.

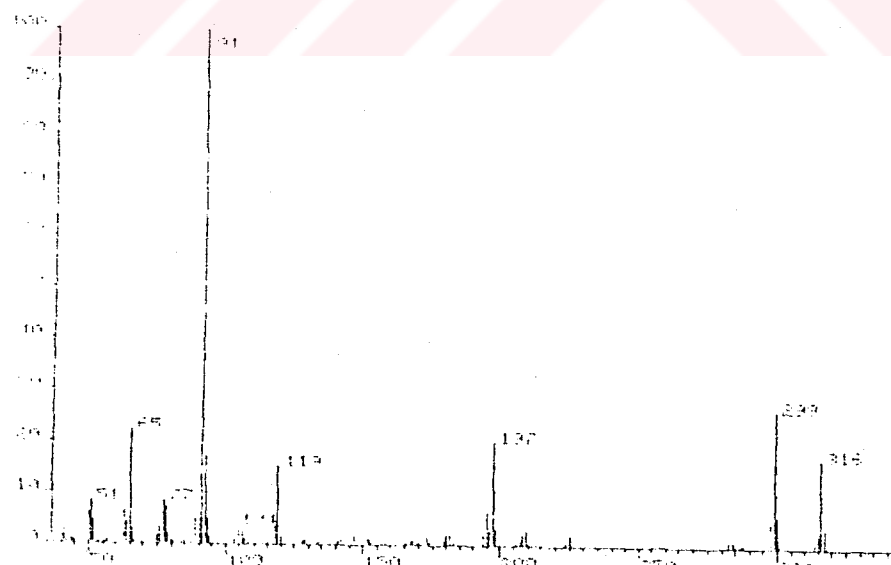
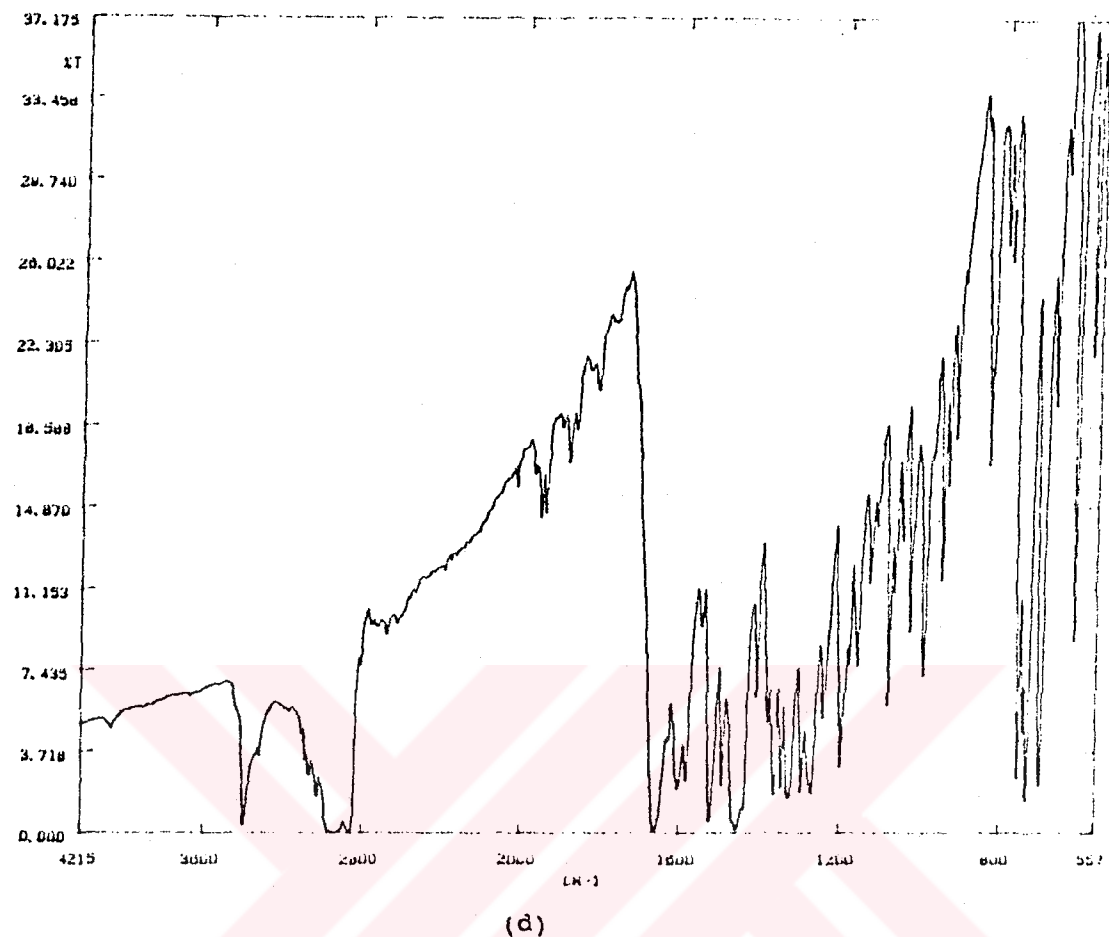


(a)

Şekil 3.6. 6 bileşiğine ait; (a) ^1H -n.m.r. spektrumu.



Şekil 3.6. 6 bileşигine ait; (b) $^{13}\text{C}-\{{}^1\text{H}\}$ -n.m.r., (c) $^{15}\text{N}-\{{}^1\text{H}\}$ -n.m.r., spektrumları.



(e)

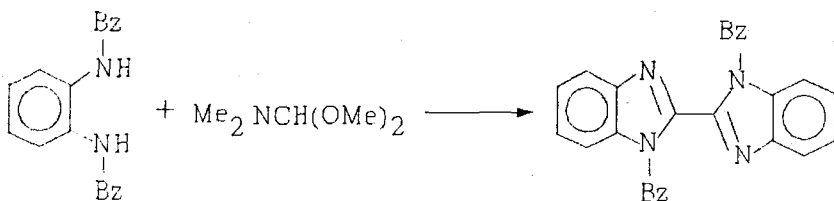
Şekil 3.6. 6 bileşiğine ait; (d) FTIR ve (e) kütle spektrumları.

Şekil 3.6.(a)'da **6** bileşiğine ait ^1H -n.m.r. spektrumu incelendiğinde 4.10ppm de NH piki triplet, iki farklı metilen pikleri sırasıyla 4.18ppm de dublet, 4.81ppm de singlet, aromatik protonlar 6.79-7.31ppm aralığında multiplet ve aldehit(CHO) piki ise 8.21ppm de singlet olarak görülmektedir. Literatürde **6** bileşiğinin Me analogu için aldehit(CHO) piki 7.96ppm olarak verilmiştir⁴⁷.

Şekil 3.6.(b)'de **6** bileşiğine ait ^{13}C - $\{{}^1\text{H}\}$ -n.m.r. spektrumu incelendiğinde iki farklı çevreli metilen karbonuna ait pik 47.62ppm ve 48.62ppm de (CHO grubuna yakın olan) aldehit karbonu ise 163.81ppm de görülmektedir. Genel olarak aldehit karbonuna ait pik 185-210ppm aralığında çıkmaktadır⁴⁸. Ancak **6** bileşiğinde formil grubunun azot atomuna bağlı olması nedeni ile daha yüksek alanda gelmektedir. ^{13}C - $\{{}^1\text{H}\}$ -n.m.r. spektrumunun üzerinde **6** bileşiğine ait spin-echo deneyi sonucu görülmektedir. Bu spektrum sonucunda da hangi karbona kaç tane proton bağlı olduğu anlaşılmaktadır. Spektrumdan görüldüğü gibi çift sayıda proton taşıyan iki metilen karbonu negatif fazda, tek sayıda proton taşıyan karbonlar pozitif fazda proton taşımayanlar ise kaybolmaktadır. Şekil 3.6.(c)'de **6** bileşiğine ait ^{15}N - $\{{}^1\text{H}\}$ -n.m.r. spektrumunda iki farklı azot singlet olarak -249.10ppm(formil bağlı olan) ve -323.00ppm olarak görülmektedir. Bu da bileşikte manyetik bakımdan özdeş olmayan iki farklı azotun varlığını gösterir. Şekil 3.6.(d)'de **6** bileşiğine ait FTIR spektrumundan $V_{(\text{CO})}=1657\text{cm}^{-1}$ ve $V_{(\text{NH})}=3615\text{cm}^{-1}$ olduğu görülmektedir. Şekil 3.6.(e)'de **6** bileşiğine ait kütle spektromunda moleküller iyon piki(M^+) 316, moleküller iyondan 17(H_2O) ayrılmasıyla oluşan iyona ait $m/e=299$ piki ve moleküller iyondan 199($\text{O}+\text{benzil}$) ayrılmasıyla oluşan iyona ait $m/e=197$ piki görülmektedir.

d) Asetal yöntemi

N,N'-dibenzil-o-fenilediaminin Asetal (N,N-dimetilformamit dimetil asetal) ile etkileştirilmesi

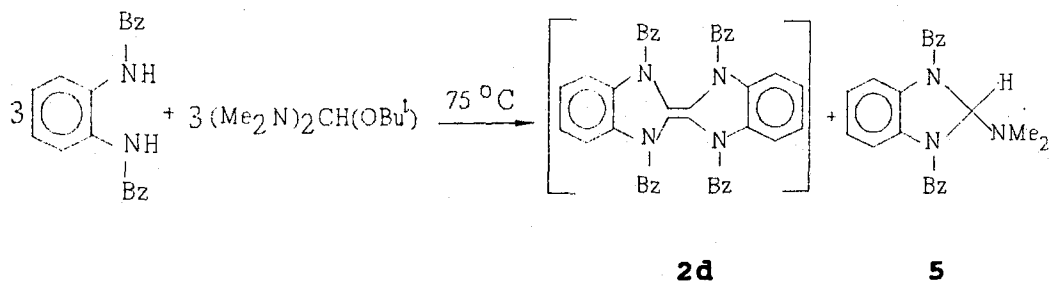


3d

2d bileşliğini sentez etmek için *N,N'*-dibenzil-o-fenilediamin ve $\text{Me}_2\text{NCH}(\text{OMe})_2$, toluen içinde 2st. 100°C ve 1/2st. $140-150^\circ\text{C}$ 'ta ısıtıldı. Ancak sonuçta beklenen **2d** bileşığının yerine **2d** bileşığının debenzilasyon ürünü **3d** bileşiği ele geçti. Debenzilasyonun yağ banyosu sıcaklığında olup olmadığını anlamak için deney bir defa da sadece su banyosunda tekrar edildi, ancak yine **3d** bileşiği ele geçti.

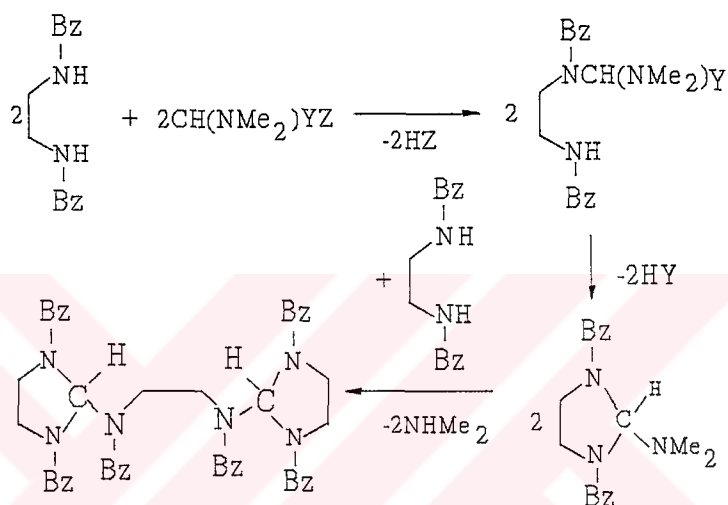
Asetal yönteminde tepkimenin yürüyebilmesi için diamin ile asetal tepkimesi sonucu ortamdan ayrılan dimetilamin ve metil alkolun damıtılma şartlarında uzaklaştırılması gerekiğinden ve bu sırada da ısıtma yapıldığından kolay göç edici bir grup olan benzilin göç etmesi ile beklenen **2d** olefini yerine **3d** bileşiği ele geçmektedir.

d) Bis(dimetilamino)-t-bütoksimetan yöntemi



N,N'-Dibenzil-*o*-fenilendiamin ile $\text{Me}_2\text{NCH}(\text{OMe})_2$ 'nin etkileme koşullarında olumlu sonuç alınamadığından, ılımlı koşullarda daha tepkin olan bis(dimetilamino)-t-bütoksimetan(Bredereck reaktifi) ile *N,N'*-dibenzil-*o*-fenilendiaminin etkileştirilmesi düşünüldü. Maksimum sıcaklık 75°C dolayında olacak şekilde 2st. ısıtıldı. Vakum yardımıyla deriştirilen çözelti soğutulunca ilk önce bir ortoamit olan 1,3-dibenzil-2-dimetilaminobenzimidazolin, 5, bileşigi kristallendi. Geri kalan çözeltinin ise derin dondurucuda bekletilmesiyle 2d olefini başlangıç diamini ile birlikte karışım halinde ayrıldı. 2d olefinine ait olduğu düşünülen piklere ise başlangıç amini, ortoamit bileşigi ve debenzilasyon bileşiklerinin ^1H -n.m.r. ve ^{13}C -{ ^1H }-n.m.r. spektrumlarının karşılaştırılması sonucu karar verildi. Daha fazla ısıtılarak yapılan denemelerde ise yalnızca bis(1-benzilbenzimidazol-2-il) bileşigi ele geçtiğinden ancak süreyi uzatarak tepkime veriminin artırılmasına gidildi. Sonuçta ortoamit/ e.z.o. ve e.z.o./başlangıç diamini karışımı izole edildi. Literatürde, *N,N'*-disübstitüyeetylendiaminlerin(alkil=Et, alil veya benzil) bis(dimetilamino)-t-bütoksimetan ile ılıman koşullarda ısıtmaları sonucu ortoamit verdikleri bilinmektedir²⁵. *N,N'*-dibenziletilendiamin tris(dimetilamino)metan²⁵ ile 35°C civarında ve *N,N*-dimetil formamit dimetil asetal ile de 80°C 'ın altında ısıtma ile de ortoamit vermektedir¹⁵. Ancak *N,N'*-dibenziletilendiamin'in Bredereck reaktifi ile oda

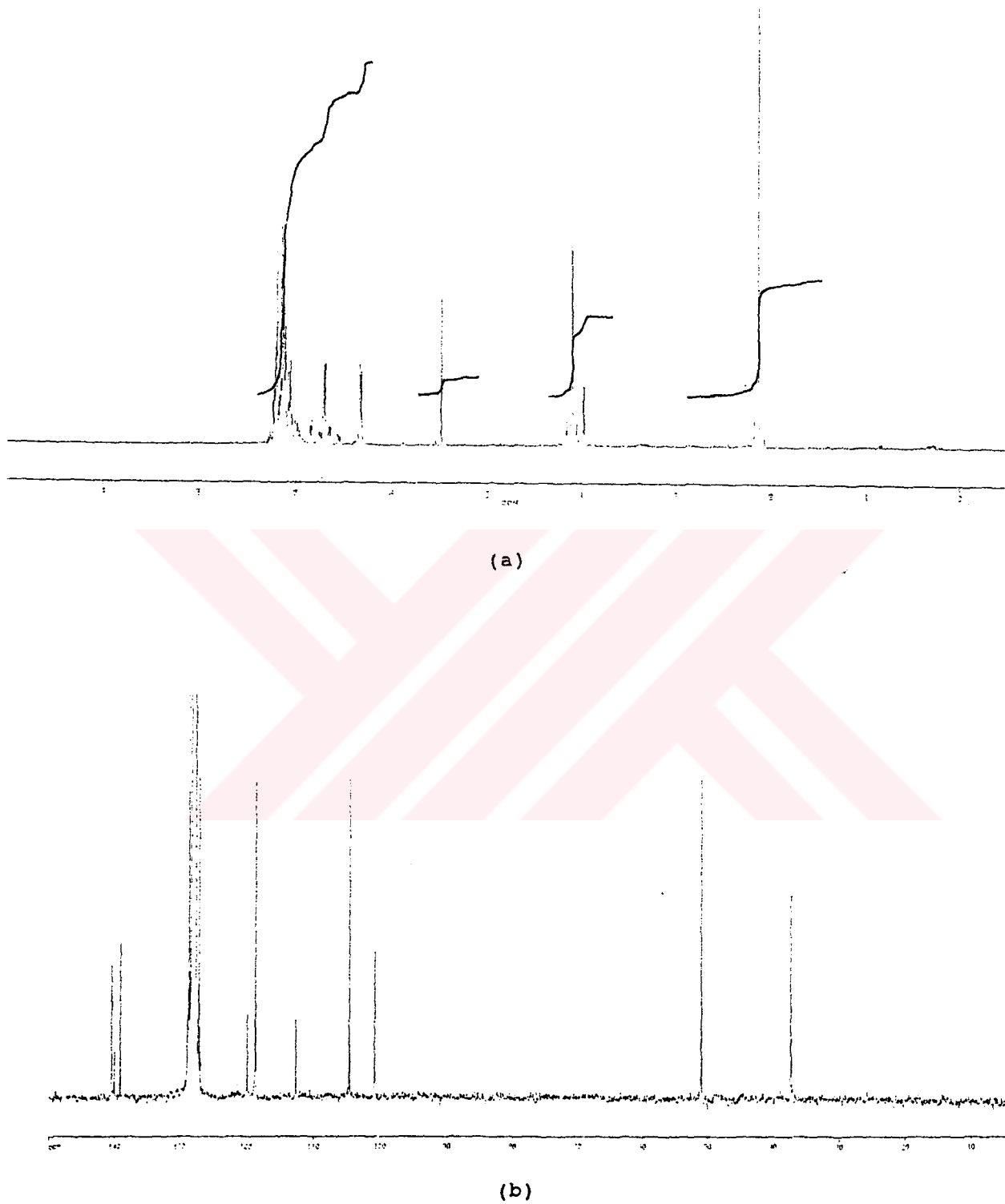
sıcaklığında ve N,N-dimetil formamit dimetil asetal ile 80°C civarında verdiği ortoamit diğerlerinden farklı olarak bisortoamit şeklindedir(I). Bisortoamit oluşumunda Bredereck reaktifi ile N,N-dimetil formamit dimetil asetalın tepkime koşulları dikkate alındığında, Bredereck reaktifinin tepkinliği çarpıcı şekilde görülmektedir. Yapının bisortoamit şeklinde olduğu x-ışını yapı analizi ile de belirlenmiştir⁴⁹.



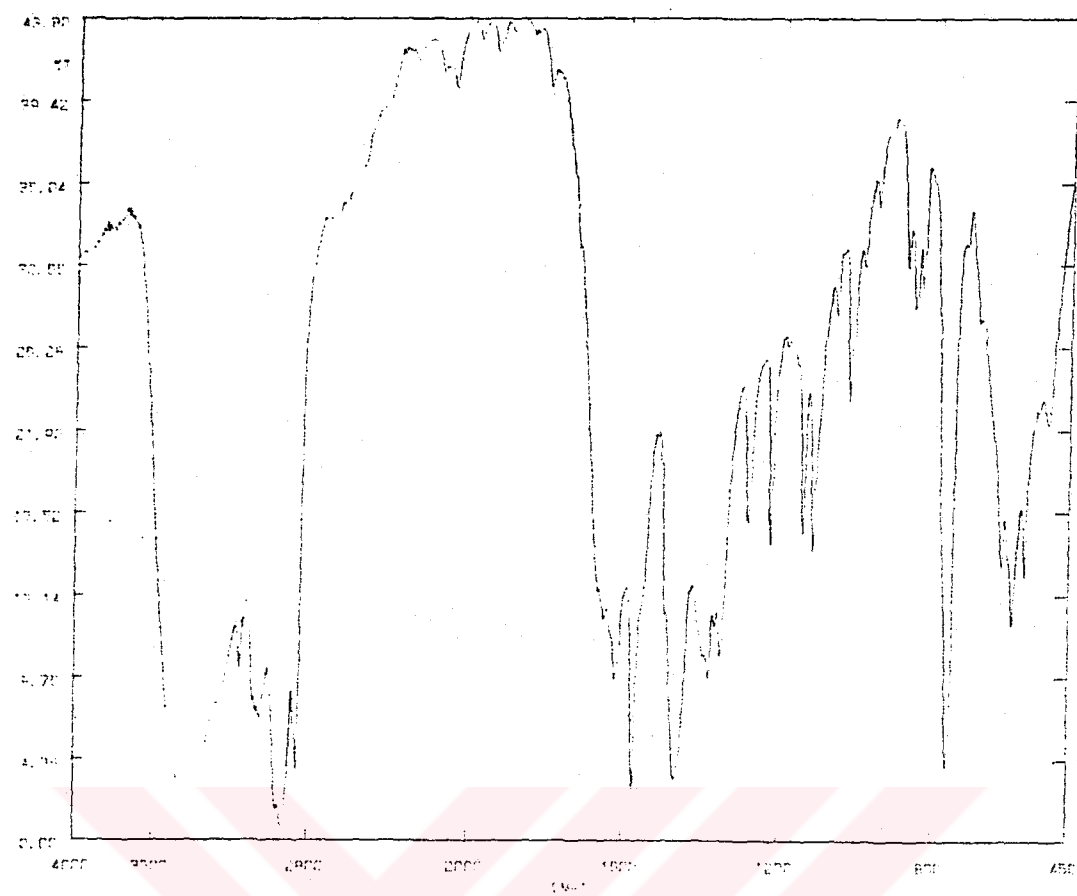
$\text{Y}=\text{NMe}_2, \text{OMe}; \text{Z}=\text{NMe}_2, \text{OMe}$ veya OBü^t

N,N'-dibenzyletilendiamin bisortoamit bileşiği oluşturmaya rağmen N,N'-dibenzil-o-fenilendiamin sadece Bredereck reaktifi ile 5 ortoamitini vermektedir. N,N'-dibenzil-o-fenilendiamin bisortoamit bileşiği oluşturmaması 5 bileşliğinin kolaylıkla debenzilasyona dönüşmesi ile açıklanabilir.

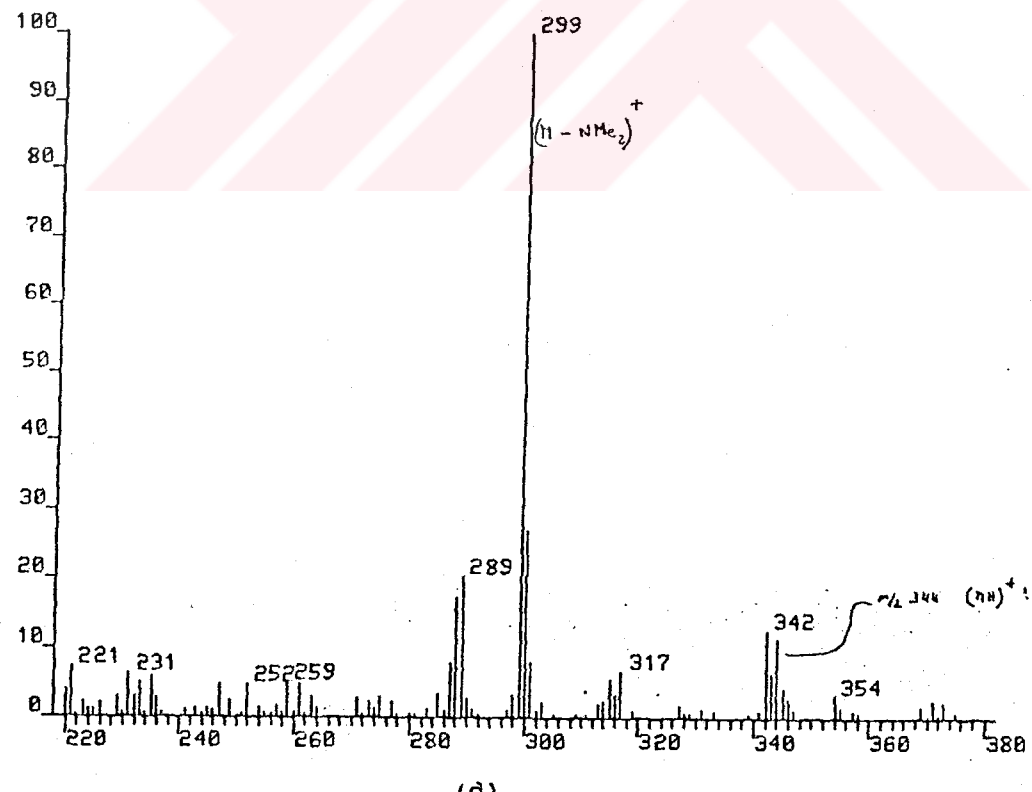
Şekil 3.7'de 5 bileşliğine ait ^1H -n.m.r., $^{13}\text{C}-\{^1\text{H}\}$ -n.m.r., FTIR ve kütle spektrumları görülmektedir.



Sekil 3.7. 5 bileşигine ait; (a) ^1H -n.m.r., (b) $^{13}\text{C}-\{{}^1\text{H}\}$ -n.m.r. spektrumları.



(c)

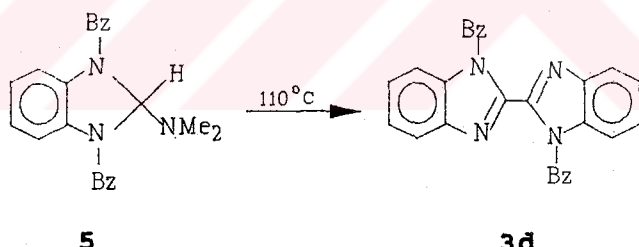


(d)

Şekil 3.7. 5 bileşигine ait; (c) FTIR ve (d) kütle spektrumları.

Şekil 3.7.(a) da 5 bileşiğine ait ^1H -n.m.r. spektrumu incelendiğinde 2.12 ppm de singlet NMe_2 piki, 4.10ppm de singlet metilen piki, 5.48ppm de singlet CH piki, 6.30-7.14ppm de de aromatik protonlara ait pikler multiplet olarak görülmektedir. 5 bileşiğinin imidazol anoloğuna ait ^1H -n.m.r. spektrumunda NMe_2 ye karşılık gelen singlet pik $\text{R}=\text{Bz}$ için 2.30ppm de çıkmaktadır²⁵. Şekil 3.7.(b) de 5 bileşiğine ait ^{13}C -n.m.r. spektrumundan metil karbonuna ait pikin 37.29ppm de, CH karbonuna ait pikin ise 104.74 ppm de olduğu görülür. Aynı pikler imidazol analoğunda($\text{R}=\text{alil}$) da 38.00ppm ve 98.00ppm de çıkmaktadır²⁵. Şekil 3.7.(d) de 5 bileşiğine ait kütle spektrumunda incelen- diğinde moleküler iyon piki 343 ve moleküler iyondan NMe_2 ayrılmasıyla oluşan iyona ait $m/e=299$ piki görülmektedir.

1,3-Dibenzil-2-dimetilaminobenzimidazolin'in, 5, toluen içinde ısıtılması



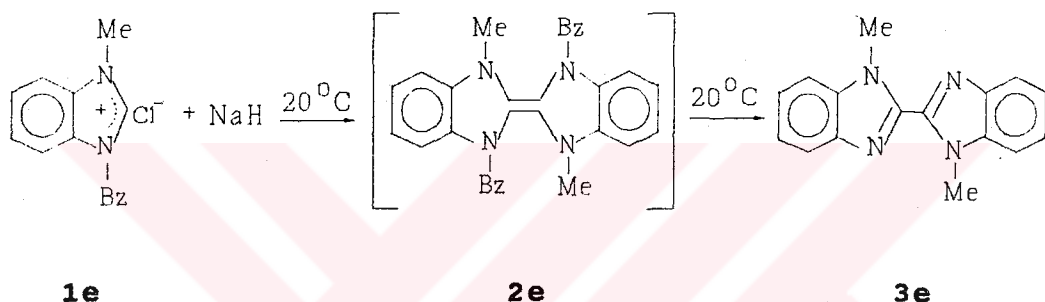
Literatürden, ısıtılan ortaamit bileşiklerinin, genellikle karşılık geldikleri e.z.o.'lere dönüştüğü bilinmektedir¹⁶. Bu nedenle, 5 bileşiği toluen içinde 3st. kayanatıldı. Tepkime sonunda çözelti vakum yardımıyla deriştirilip kristallendirildiğinde ele geçen bileşiğin beklenen 2d bileşiği olmayıp, bu bileşiğin debenzilasyon ürünü 3d olduğu tespit edildi.

Sonuç olarak, 2d bileşiğinin ısiya bağlı olarak kolayca debenzilasyona uğraması hem $\text{Me}_2\text{NCH}(\text{OMe})_2$, hemde bis(dimetilamino)-t-bütoksimetan ile saf halde elde edilmesini mümkün kılmadı. Ancak kükürt ve fenilizotyo-

siyanat ile ara kademedede etkileşerek türevleri izole edilebildi.

3.3. 1-Metil-3-benzilbenzimidazolyum Klorürün NaH ile Etkileştirilmesi

Debenzilasyon üzerine Me grubunun etkisi incelenmek üzere **1e** tuzu hazırlandı ve **1d** tuzunda olduğu gibi NaH ile etkileştirildi.

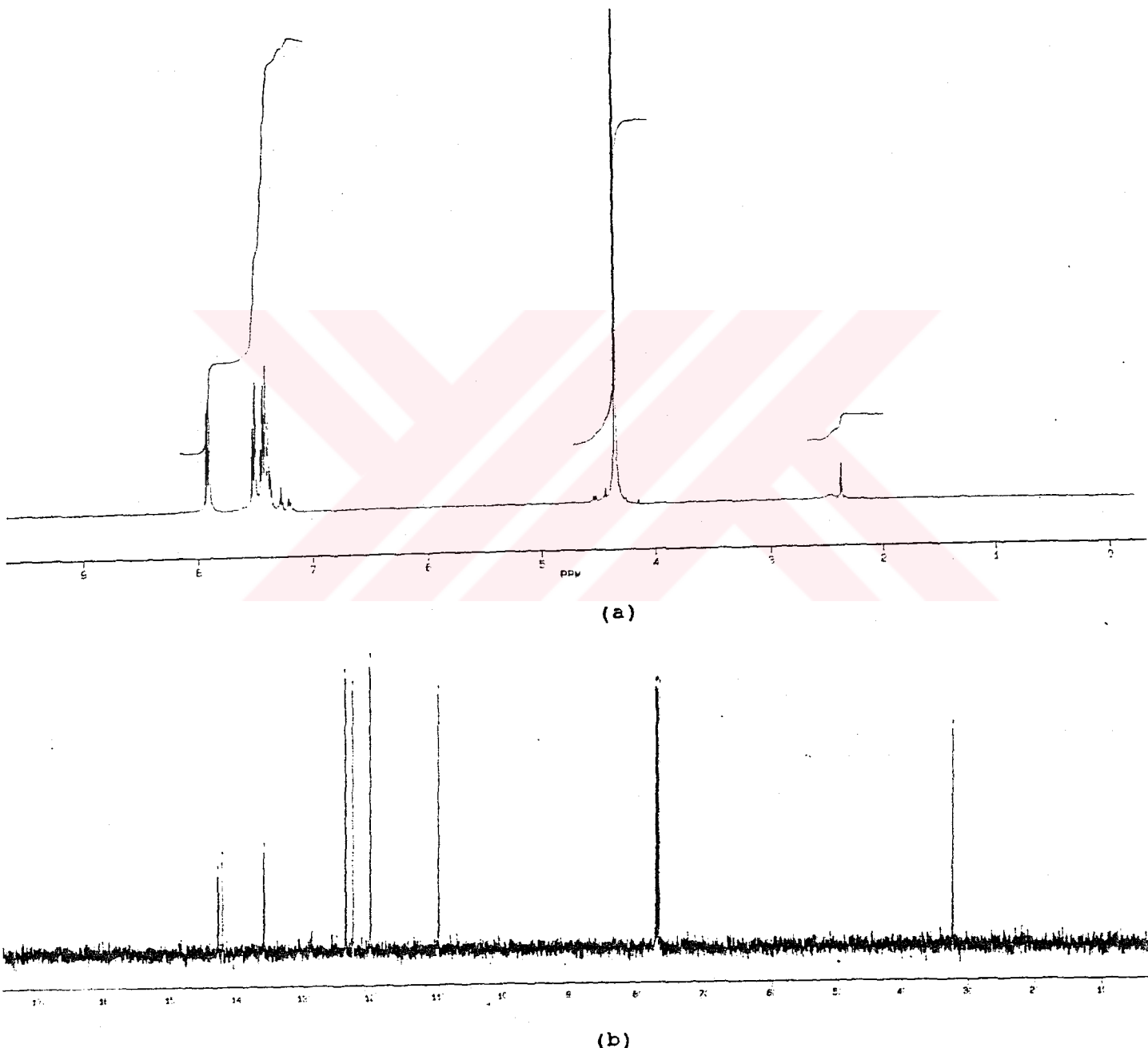


1-Metil-3-benzilbenzimidazolyum klorürün, **1e**, NaH ile thf içinde etkileştirilmesi sonucu 1,3-dibenzilbenzimidazolyum klorür **1d** tuzunun NaH ile etkileştirilmesi deneyinde olduğu gibi yine debenzilasyon meydana geldi. Sonuçta beklenen **2e** bileşiği yerine bu bileşiğin debenzilasyon ürünü olan; bis(1-metilbenzimidazol-2-il) **3e** bileşiği ele geçti. Ancak bisbenzimidazol bileşiklerinin antitümür ve mutant mikroorganizmalara karşı fizyolojik etkileri bilindiğinden⁵⁰ **3d** ve **3e** bileşiklerinin sentez edilmeleri ayrı bir öneme sahiptir.

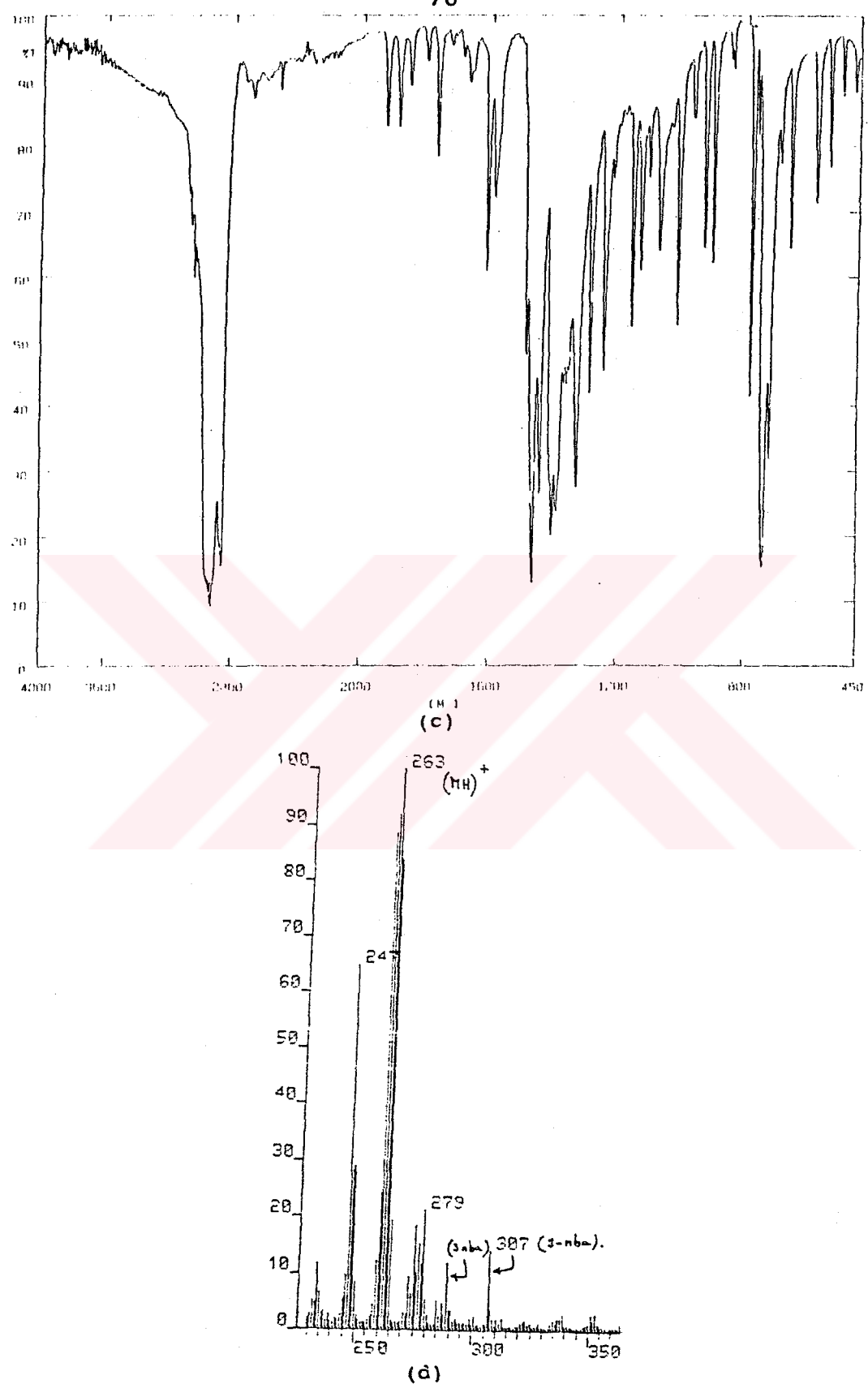
1e tuzunun da **1d** tuzu gibi debenzilasyonla sonuçlanması benzil içeren benzimidazolyum tuzlarından e.z.o. sentezlemenin kolay olmadığını göstermektedir. Bu deney sonucunda moleküldeki Me gruplarının benzil göçüne engel olmadığı da anlaşıldı. Literatürde, **3e** bileşığının, 1-metilbenzimidazolun oda sıcaklığında lityumlanması sırasında iki mol 1-metilbenzimidazolun birleşmesinden oluştuğu belirtilmek-

tedir⁵¹. Ancak literatürde **3e** bileşiğine ait verimin düşük olduğu ve 1,1'-dimetil-2,3-dihidro-2,2'-bibenzimidazol ile birlikte oluştuğu belirtilmektedir⁵¹.

Şekil 3.8'de **3e** bileşiğine ait ^1H -n.m.r., $^{13}\text{C}-\{^1\text{H}\}$ -n.m.r., FTIR ve kütle spektrumları görülmektedir.



Şekil 3.8. **3e** bileşiğine ait; (a) ^1H -n.m.r., (b) $^{13}\text{C}-\{^1\text{H}\}$ -n.m.r. spektrumları

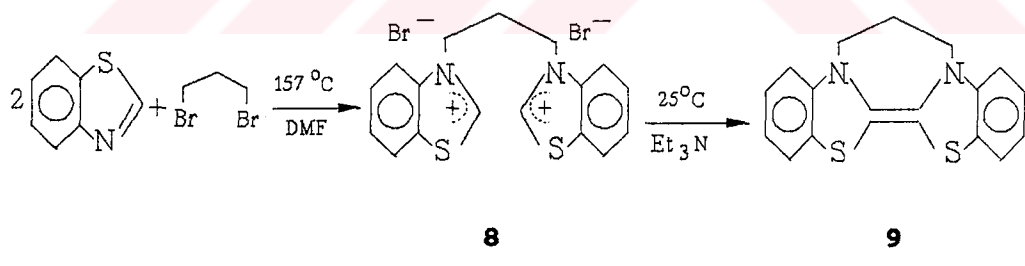


Şekil 3.8. Ze bilesigine ait; (c) FTIR ve (d) kütle spektrumları.

Şekil 3.8.(a) da **3e** bileşiğine ait ^1H -n.m.r. spektrumu incelendiğinde 4.34ppm de Me protonları, 7.40-7.89ppm de ise aromatik protonlar görülmektedir. Aynı pikler 1-metilbenzimidazolda ise sırasıyla 2.94ppm ve 6.69-7.37ppm de daha yüksek alanda bulunmaktadır. Şekil 3.8.(b) deki ^{13}C - $\{^1\text{H}\}$ -n.m.r. spektrumunda metil karbonu 32.37ppm de görüürken diğer yedi karbona ait pikler 110.04-143.11ppm aralığındadır. Şekil 3.8.(d) deki kütle spektrumunda moleküller iyon piki 262 olarak görüülürken molekülden metil ayrılımasını açıklayan $m/e=247$ pikide bulunmaktadır.

3.4. Dibenzotiyazo[3,2-a:2',3'-c][1,4]diazepin'nin, **9**, Hazırlanması.-

Benzimidazol ve benzotiyazol arasındaki yapı benzerliği açıklıdır. İki alkeni karşılaştırabilmek için **9** bileşigi sentez edildi. Bu amaçla tuz yöntemi yeğlenmiştir.

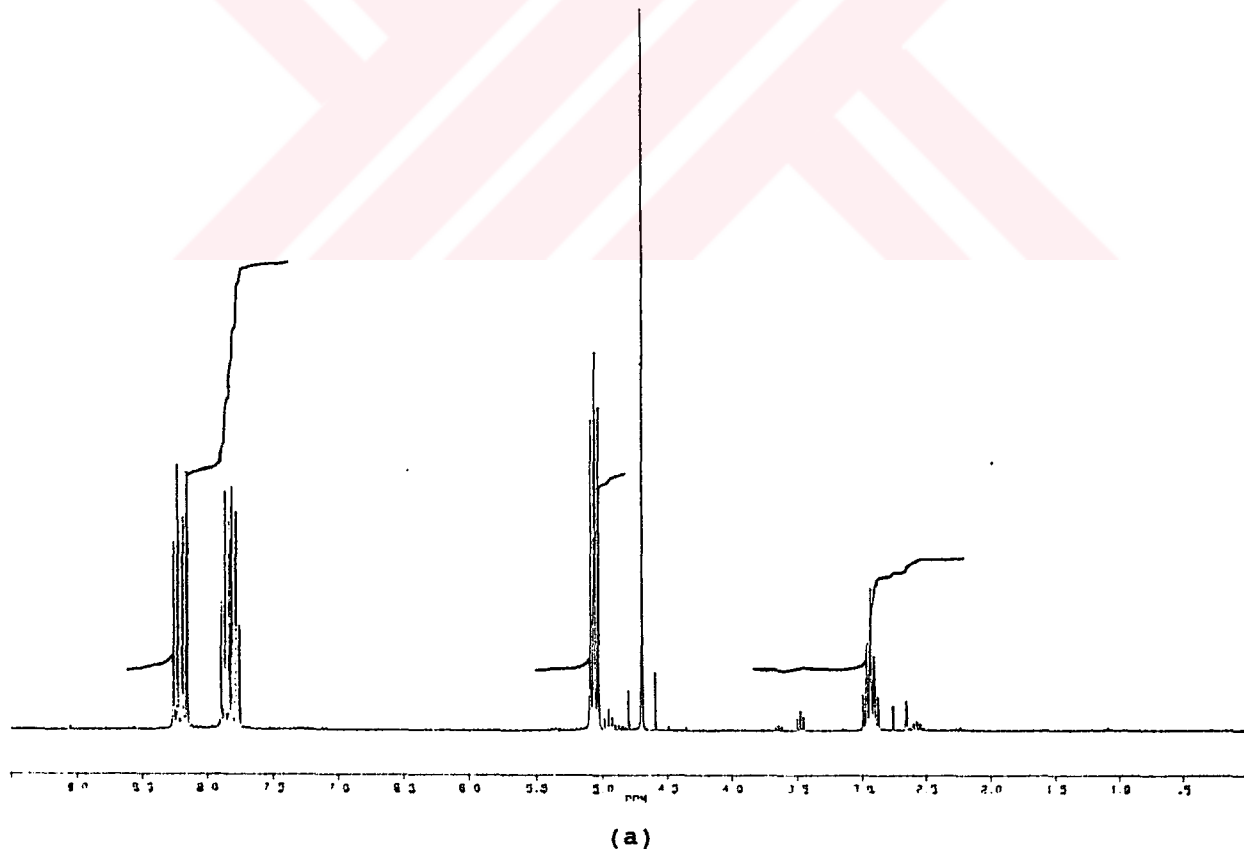


Bir benzotiyazol tuzu yapısında olan çıkış maddesi 3,3'-propilendi(benzotiyazolyum) dibromürü, **8**, sentez etmek amacıyla benzimidazol tuzları hazırlanmasındaki metotdan farklı olarak benzotiyazol ve 1,3-dibromopropan DMF içinde ısıtıldı. Soğutulan çözeltiye dietil eter eklerek kristallerin ayrılması sağlandı.

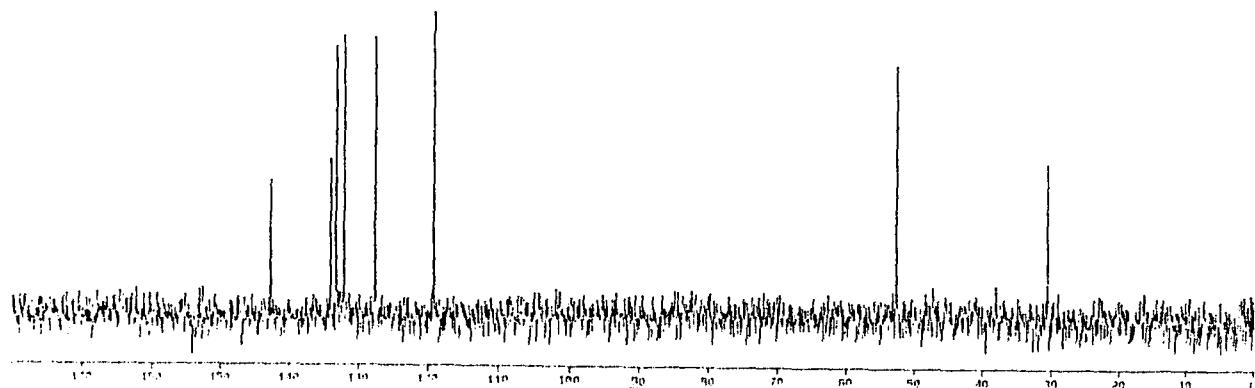
Başlangıç tuzu **8** hazırlandıktan sonra DMF ya da thf

içinde Et₃N ya da NaH ile etkileştirilerek dibenzotiyazo[3,2-a:2',3'-c][1,4]diazepin, **9**, elektronca-zengin olefini sentez edildi. Benzimidazol tuzlarından e.z.o.'e geçişte ise yalnızca thf/NaH karışımı kullanılırken burada Et₃N/DMF ile de sonuç alınmakta hatta tepkime daha kısa sürede tamamlanmaktadır. Ancak benzimidazolidin çekirdeği içeren e.z.o.'lerle karşılaşıldığında havanın nem ve oksijenine karşı daha az duyardır. Benzimidazolidin çekirdeği içeren e.z.o.'lerde havada yanma özelliği ve çözeltilerinin hava ile temasında sarı renklerinin derhal renksizleşmesi gözlenmiştir. Oysa, **9** e.z.o.'inde yaklaşık yarım saat kadar hava ile temasa bırakıldığında hiç bir değişiklik olmamaktadır.

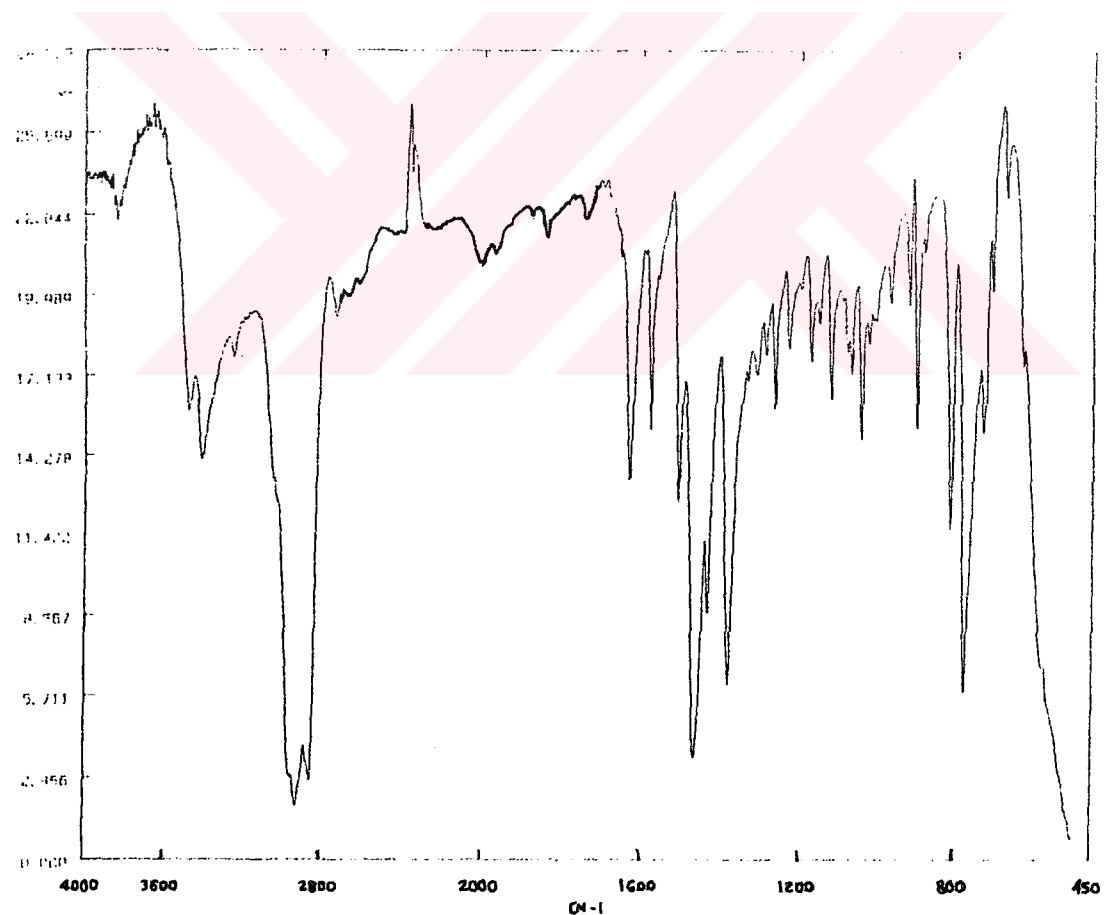
Şekil 3.9'da başlangıç tuzu **8**'e ait ¹H-nmr, ¹³C-{¹H}-nmr, FTIR.ve kütle spektrumları, şekil 3.10'da **9** bileşiğine ait ¹H-nmr, ¹³C-{¹H}-nmr, FTIR ve kütle spektrumları görülmektedir.



Şekil 3.9 **8** Bileşiğine ait; (a) ¹H-nmr spektrumu.

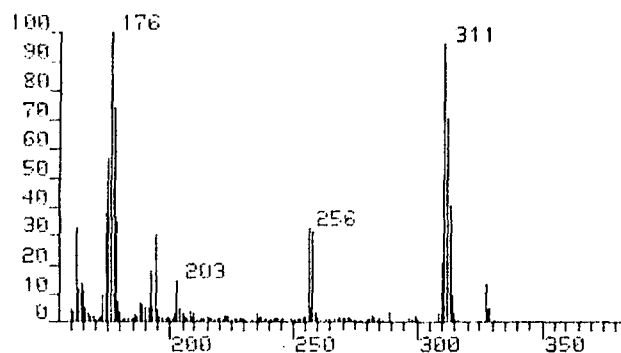


(b)



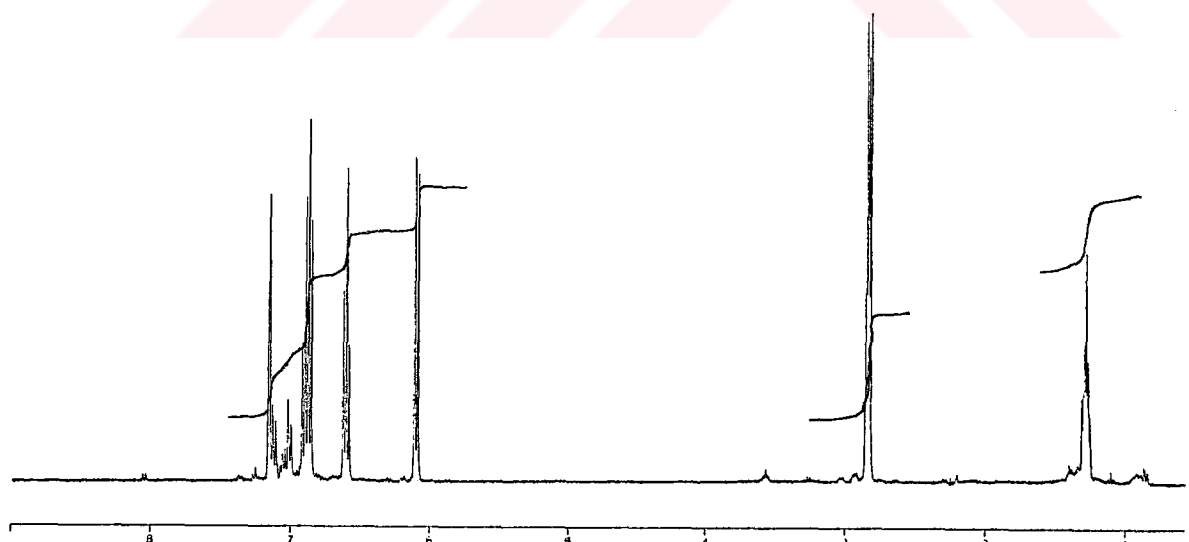
(c)

Sekil 3.9 8 Bileşигine ait; (b) ^{13}C - $\{^1\text{H}\}$ -nmr ve
(c) FTIR spektrumları.



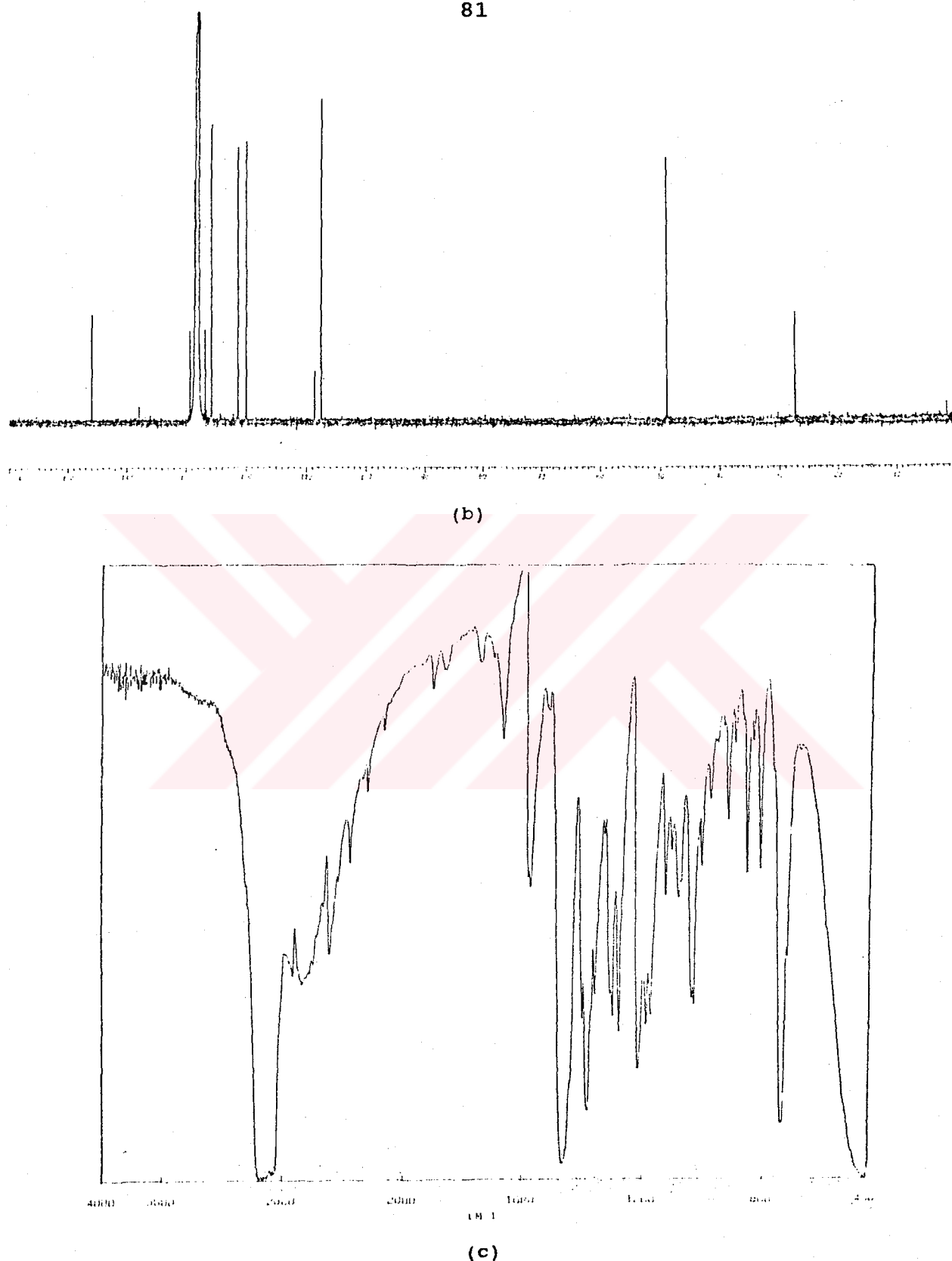
(d)

Şekil 3.9 8 Bileşiğine ait; (d) kütle spektrumu.

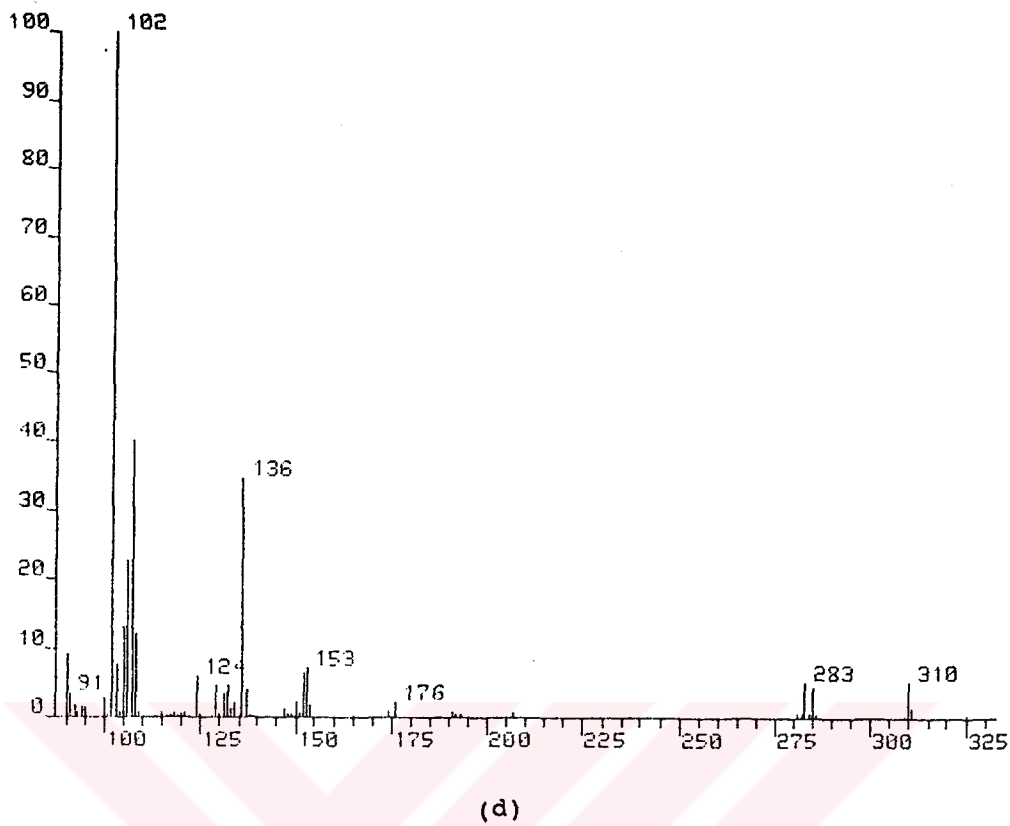


(a)

Şekil 3.10. 9 Bileşiğine ait; (a) ^1H -nmr spektrumu.



Sekil 3.10. 9 Bileşigine ait; (b) ^{13}C - $\{{}^1\text{H}\}$ -nmr, (c) FTIR spektrumları.



Şekil 3.10. 9 Bileşiğine ait; (d) kütle spektrumu.

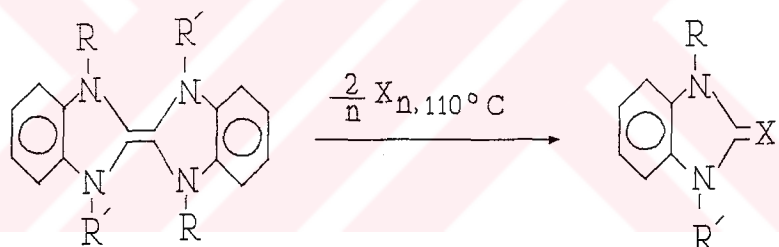
Şekil 3.9.(a) ve **Şekil 3.10(a)** 'daki 8 ve 9 bileşiklerine ait ^1H -nmr spektrumları karşılaştırıldığında 9 e.z.o.'ine ait piklerin 8 tuzuna göre yaklaşık 2ppm daha yüksek alana kaydığını görülmektedir. Örneğin azotlara uzak konumdaki metilen protonları 8 bileşiğinde 3ppm civarında çıkarken bir azepin türevi olan 9 bileşiğinde ise 1.2ppm civarındadır. 9 bileşiğinin aromatik protonları simetrinin artması nedeniyle daha fazla yarılmışlardır. 8 bileşiğinde C^2 -konumundaki hidrojene ait pikin görülmemesi asitliğinin artması nedeni ile çözücü D_2O içine kaymış olacağını düşündürmektedir. **Şekil 3.9.(b)** ve **3.10(b)** 'deki $^{13}\text{C}-\{\text{H}\}$ -nmr spektrumları karşılaştırıldıklarında 9 bileşiğine ait piklerin genel olarak 8 tuzuna göre daha yüksek alana kaydığını görülmektedir. Bu da molekülün elektronca zenginliğinin arttığını göstermektedir. **Şekil 3.10.(c)** 9 bileşि-

ğine ait FTIR spektrumundan $V_{(C=C)}=1635 \text{ cm}^{-1}$ de çıktıgı görülmektedir. Aynı pik **9** bileşiğinin imidazol analoğu olan diimidazo[3,2-a:2',3'-c] [1,4]diazepin bileşiğinde $V_{(C=C)}=1644 \text{ cm}^{-1}$ de görülmektedir¹⁶.

Şekil 3.9.(d) de **8** bileşiğine ait kütle spektrumunda moleküler iyon piki(M^+) 311 de, şekil 3.10.(d) de **9** bileşiğine ait kütle spektrumunda ise moleküler iyon piki(M^+) 310 olarak görülmektedir.

3.5. Yeni E.z.o.'lerin VIA-grubu Elementleri ile Verdiği Türevler

E.z.o.'lerinin VIA grubu elementleri ile verdiği türevleri sentez etmek amacıyla olefinlerin toluendeki çözeltilerine VIA grubu elementi ilave edilerek kaynatıldı.



2a R,R'=Me

2b R,R'=Et

2c R=Me, R'=Et

2d R,R'=Bz

10a R,R'=Me; X=O,S,Se,Te

10b R,R'=Et; X=O,S,Se,Te

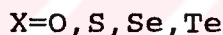
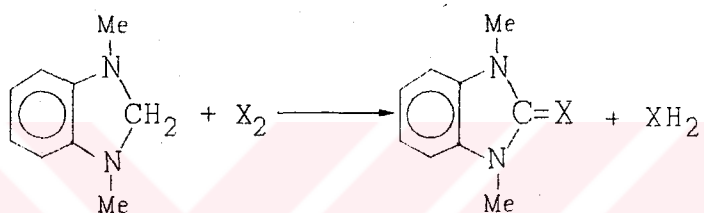
10c R=Me, R'=Et; X=S,Se,Te

10d R,R'=Bz; X=S

Oluşan ham ürünler toluen/hekzan ya da pentan karışımından kristallendirildi. Olefinlerin bu tip üre türevleri genellikle kolayca ve yüksek verimle sentezlendi. Bunlardan tellüroüre türevleri havada zamanla siyahlaşarak tellür açığa çıkarmaktadır. Buna karşın diğerleri tamamen

kararlı bileşiklerdir. Tellur türevlerinin havada Te açığa çıkararak bozunmaları, imidazolidin içeren e.z.o.'lerin Te türevlerinde de gözlenmiş ve 1980 yılında M.F. Lappert ve arkadaşları tarafından yayınlanan bir makalede belirtilmiştir⁵². Bu bakımdan hem imidazolidin hemde benzimidazolidin içeren e.z.o.'ler benzer davranışlar göstermektedir.

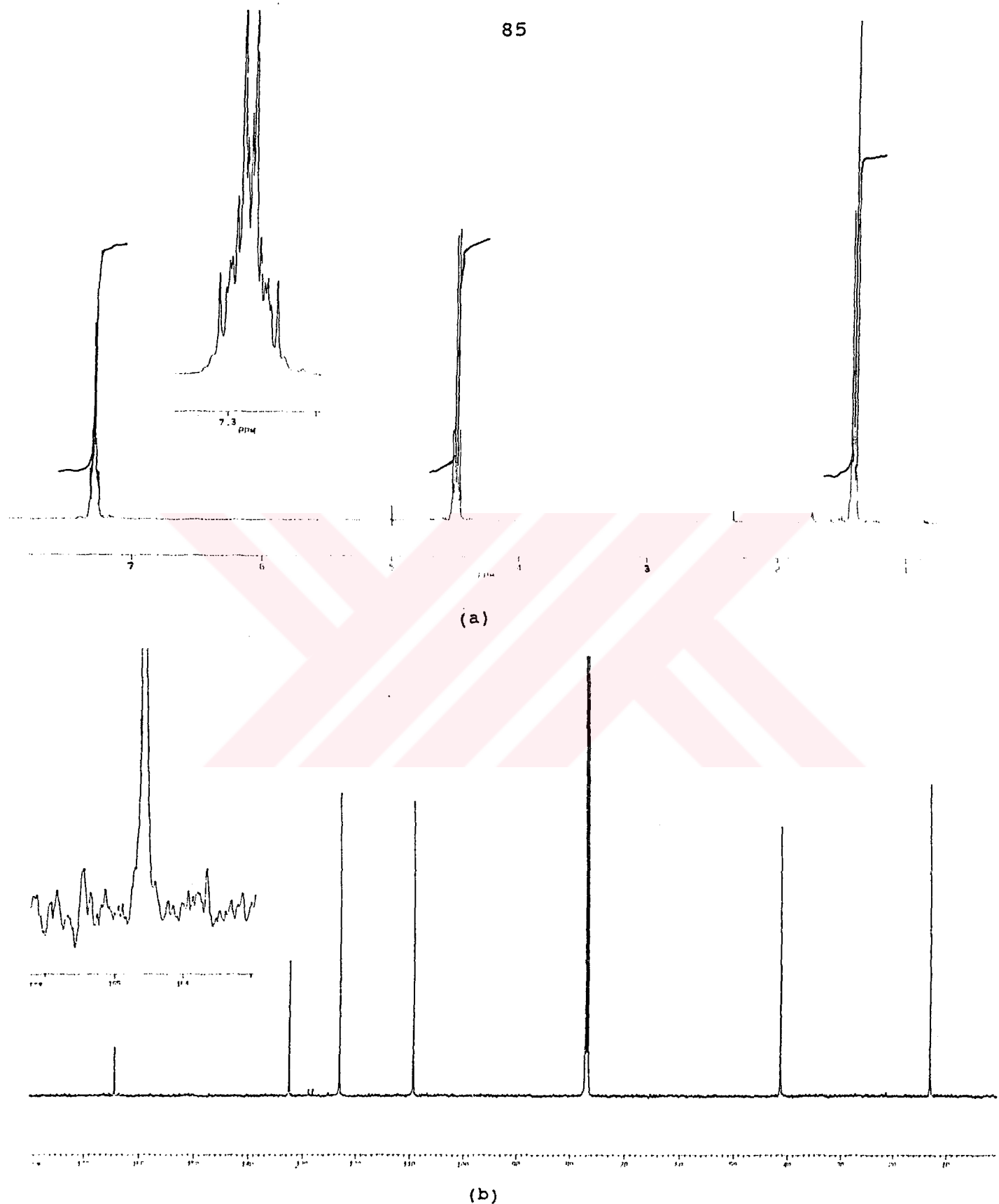
2a Bileşiği ile VIA-grubu elementlerinin verdiği türevler 1967 ve 1968 yılında farklı bir metodla aşağıdaki tepkimeye göre A.V. El'tsov tarafından sentezlenmiştir, ancak verimleri genellikle düşüktür^{53,54}.



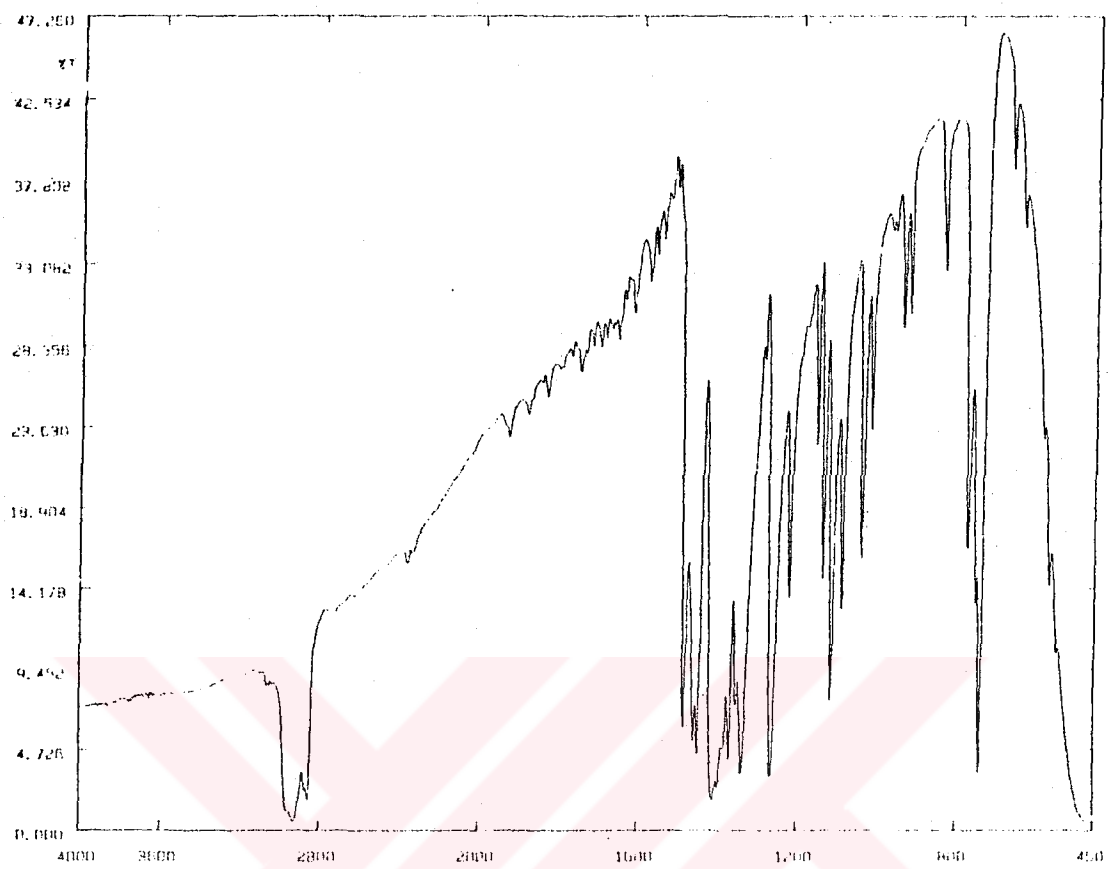
Örneğin 1,3-dimetilbenzimidazol-2-tellüreon'un verimi sadece % 8.8'dir. Oysa bu çalışmada同样的 yöntemle aynı bileşik yüksek verimle (% 89) sentez edilmektedir.

Üre türevlerinden 1,3-dimetilbenzimidazol-2-on J.Bourson tarafından başarısızlıkla sonuçlanan **2a** e.z.o.'inin sentezi sırasında²⁸, Turner ve Wood tarafından da N,N'-dimetil-o-fenilendiaminin α -aldol ve α -ketollarla tepkimesinden elde edilmiştir⁴⁷.

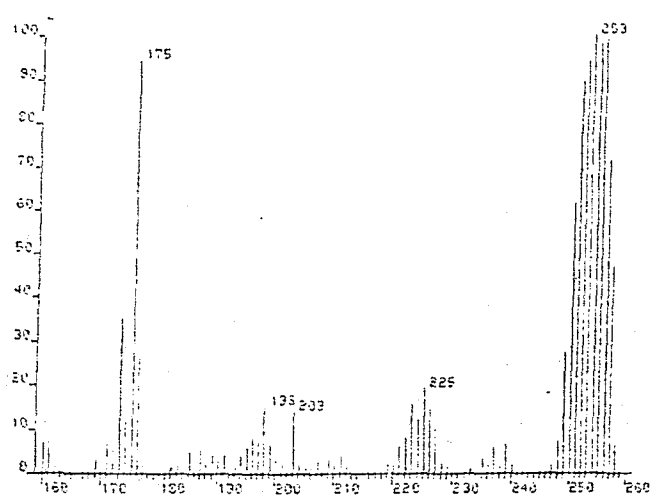
Yeni e.z.o.'lerin üre türevlerine ait spektroskopik veriler genellikle birbirine benzemektedir, bu nedenle bütün ürelerin spektrumlarını vermek yerine şekil 3.11'de sadece **2b** olefinin selenyum türevine ait ¹H-nmr, ¹³C-nmr, FTIR ve kütle spektrumları verilirken diğerleri tablo 3.4., 3.5. ve 3.6.'da toplu halde sunulmuştur.



Sekil 3.11. 2b olefinin selenyum türevine ait; (a) ^1H -nmr, (b) ^{13}C - $\{^1\text{H}\}$ -nmr spektrumları.



(c)

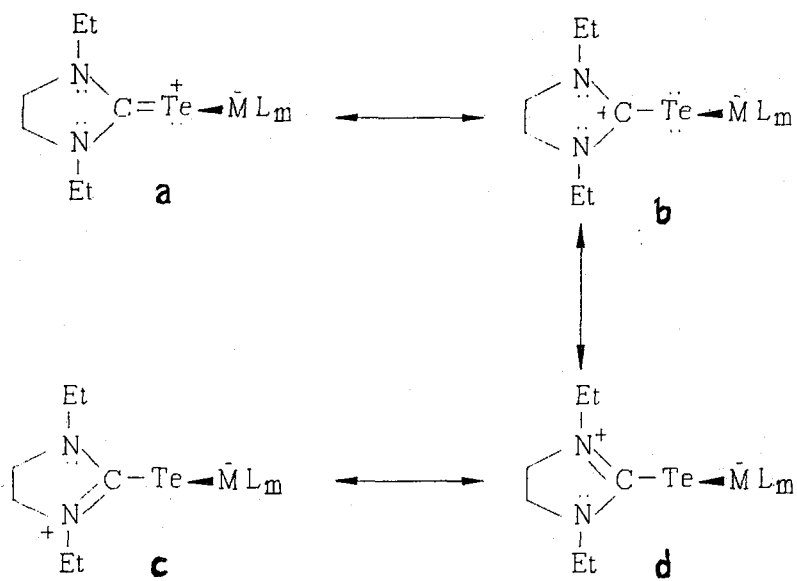


(d)

Sekil 3.11. 2b olefinin selenyum türevine ait; (c) FTIR ve (d) kütle spektrumları.

Şekil 3.11.(a)'da **2b** bileşiğinin Se türevine, **10c**, ait ^1H -nmr spektrumu incelendiğinde etil protonları 1.41 ppm ve 4.48 ppm de, aromatik protonlar ise 7.28 ppm de görülmektedir. Şekil 3.11.(b) de **10c** bileşiğine ait $^{13}\text{C}-\{^1\text{H}\}$ -nmr spektrumu incelendiğinde etil karbonları 13.10 ve 41.39 ppm de, aromatik halka karbonları 109.47, 123.07 ve 132.57 ppm de selenyuma bağlı karbona ait pik ise 164.56 ppm de görülmektedir. İmidazol halkası içeren e.z.o.'lerden bis(1,3-dibenzylimidazolidin-2-iliden) için $\text{Se}=\text{C}$ piki 139.15 ppm de görülmektedir¹⁵. Şekil 3.11(c) de **10c** bileşiğine ait FTIR spektrumundan $V_{(\text{C=Se})}=1482\text{cm}^{-1}$ olduğu görülmektedir. Bu değer bis(1,3-dibenzylimidazolidin-2-iliden) için $V_{(\text{C=Se})}=1508\text{cm}^{-1}$ dir¹⁵. Şekil 3.11.(d) de **10c** bileşiğine ait kütle spektrumu incelendiğinde bileşliğin Se içeriği ve selenyuma ait izotopların (benzer durum Te içinde görülmektedir.) net olarak görüldüğü anlaşılmaktadır. Moleküller iyon piki (M^+) 253, ve moleküller iyondan Se ayrılmamasını gösteren $m/e=175$ pikleri bulunmaktadır. Diğer üre türevleri içinde ilk ayrılan grubun O, S, Se ve Te olduğu tablo 3.5.'den anlaşılmaktadır.

Yeni üre türevlerine ait ^1H -nmr verileri karşılaştırıldığında oksijenden selenyuma kadar piklerin kimyasal kaymalarında düzenli olarak alçak alana kayma gözlenirken tellürde değişiklik olmaktadır. Ve kimyasal kaymalar TMS'ye yakınlıklarına göre $\text{Te}>\text{O}>\text{S}>\text{Se}$ şeklinde sıralanmaktadır. Örneğin **2b** bileşiklerindeki etil protonları **10a** için; 1.18, 3.95; **10b** için; 1.38, 4.37; **10c** için; 1.41, 4.48; **10d** için; 1.02 ve 4.08 ppm dir. Aynı durum $^{13}\text{C}-\{^1\text{H}\}$ -nmr sonuçlarında da görülmektedir. Bu durum tellürün karbona ikili bağdan çok tekli bağla bağlı bir durumda olduğunu buna karşın karbon azot tekli bağlarının daha çok çift bağ karakteri taşıdığını düşündürmektedir. Bu durum 1,3-dietilimidazolidin-2-tellüron'un metal komplekslerinde x-ışınları yapı analizi sonucu aşağıdaki şekilde önerilmiştir⁵².



a, b, c ve d yapıları içerisinde c ve d'nin baskın olduğu da x-ışınları yapı tayinlerinden anlaşılmıştır⁵².

Tablo 3.3.'de yeni e.z.o.'lerin üre türevlerine ait ¹H-nmr ve FTIR, tablo 3.4.'de ¹³C-{¹H}-nmr spektrum verileri ile tablo 3.5'de kütle spektrum verileri görülmektedir.

Tablo 3.3. Yeni e.z.o.'lerin VIA elementleri ile verdiği üre türevlere ait $^1\text{H-nmr}$ ve FTIR verileri

Bileşik No	X	MeN	Me-CH ₂ N	-H ₂ CN	Ph	V(c=x) cm ⁻¹
10a*	O	3.38(s)	---	---	6.95-7.00(m)	1726
10a*	S	3.76(s)			7.14-(m)	1456
10a*	Se	3.38(s)	---	---	7.28(m)	1456
10a**	Te	3.27(s)			6.69-6.38(m)	1456
10b*	O	---	1.18(t)	3.95(q)	6.90-7.00(m)	1713
10b*	S	---	1.38(t)	4.37(q)	7.21(m)	1462
10b*	Se	---	1.41(t)	4.48(q)	7.28(m)	1482
10b**	Te	---	1.02(t)	4.08(q)	6.60-6.82(m)	1456
10c*	S	3.75(s)	1.35(t)	4.36(q)	7.19(m)	1465
10c*	Se	3.58(s)	1.10(t)	4.19(q)	6.89(m)	1578
10c**	Te	3.29(s)	1.01(t)	4.11(q)	6.58-7.08(m)	1481
10d*	S	---	---	5.66(s)	7.09-7.42(m)	1585

* Çözücü CDCl₃

** Çözücü C₆H₆

*** nujolda alınmış,tır.

Tablo 3.4 Yeni e.z.o.' lerin VIA elementleri ile verdiği üre türevlere ait $^{13}\text{C}-\{\text{H}\}$ nmr verileri

Bileşik No	X	MeN	Me-CH ₂ N	-H ₂ CN	(C=X)	Ph
10a*	O	26.95	---	---	154.48 129.86	107.14,121.03
10a*	S	31.13	---	---	169.95	108.76,122.86 132.16
10a*	Se	35.15	---	---	166.76	109.34,123.29 133.33
10a*	Te	36.93	---	---	140.90	110.22,125.24 134.46
10b*	O	---	12.00	35.65	162.07	107.99,120.95 130.09
10b*	S	---	12.90	39.46	168.28	108.82,122.64 131.62
10b*	Se	---	13.10	41.39	164.56	109.47,123.07 132.57
10b**	Te	---	13.36	44.46	145.70	123.00,133.85 137.30
10c*	S	30.88	12.82	39.47	168.95	108.64,122.62 131.25,132.44
10c*	Se	32.93	13.01	42.87	165.45	112.98,127.04 131.24,143.45
10c**	Te	36.04	13.32	44.55	147.41	109.66,109.99 122.89,133.49
10d*	S	---	---	49.03	136.10	110.11,123.51 127.95,128.26 129.22,132.46

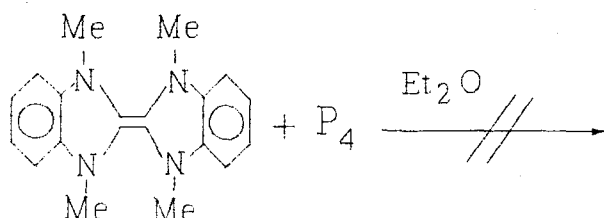
*Çözücü CDCl₃

**Çözücü C₇D₈

Tablo 3.5. Yeni e.z.o.'lerin VIA elementleri ile verdiği türevlere ait kütle parçalanma şeması.

Bileşik No		Kütle parçalanmaları ve şiddetleri
10a	S	178(25, M^+);145(70, $[M-33]^+$)
10a	Se	225(15, M^+);146(18, $[M-79]^+$)
10a	Te	274(42, M^+)
10b	O	190(68, M^+);175(100, $[M-15]^+$);119(35, $[M-71]^+$)
10b	S	206(100, M^+);175(95, $[M-32]^+$)
10b	Se	253(100, M^+);175(95, $[(M+1)-79]^+$)
10b	Te	302(38, M^+);175(100, $[M-127]^+$)
10c	S	192(100, M^+);178(15, $[M-143]^+$);164(100, $[M-28]^+$)
10c	Se	239(98, M^+);161(100, $[M-78]^+$)
10c	Te	288(70, M^+);161(100, $[M-127]^+$)
10d	S	330(100, M^+);297(20, $[M-33]^+$);239(80, $[M-91]^+$)

3.6. 2a Bileşiğinin P_4 ile Etkileşitirilmesi

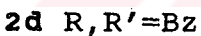
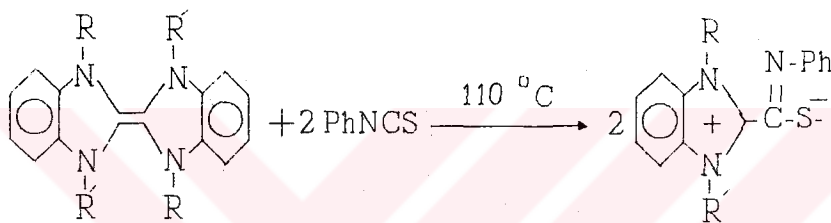


Bis(1,3-dimetilbenzimidazolidin-2-iliden), **2a** ile P_4 elementlerine benzer şekilde $C=P$ bağı oluşturulmaya çalışıldı. Bu esnada **2a** bileşiği ile P_4 arasında bazı tepkimelerin olduğu ancak istenilen türde bir $C=P$ içeren bileşiğe ya da saf diğer bir bileşiğe rastlanmadı. Tepkime sonunda ele geçen ve beyaz fosfor gibi havada tutuşan kahverenkli katının $^{31}P-\{^1H\}$ -n.m.r. spektrumu

alındığında karışım olduğu anlaşıldı. Kristallendirme yolu ile saflaştırılma yapılmaya çalışıldı ancak başarılı olunamadı.

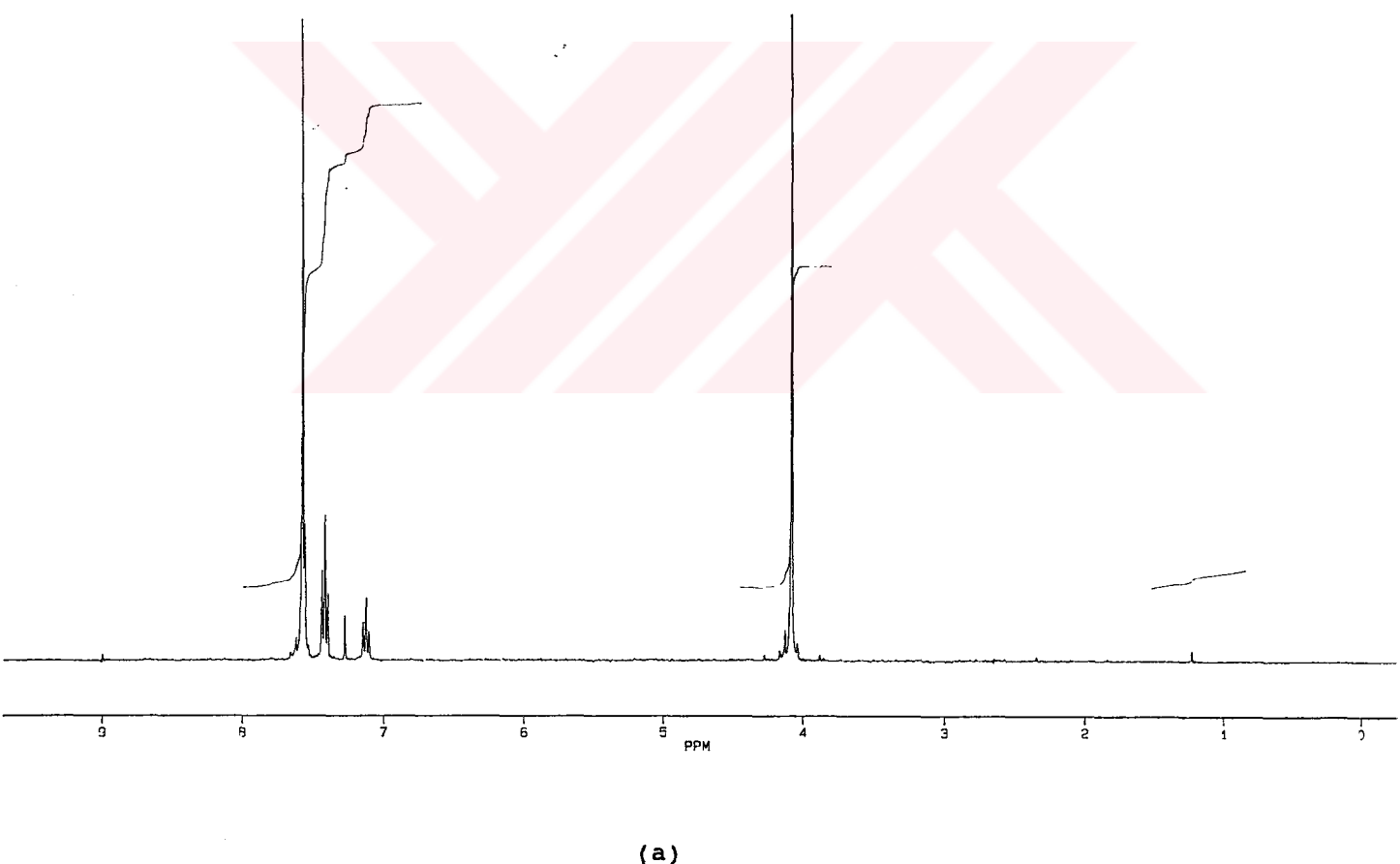
3.7. Yeni e.z.o.'lerin Fenilizotiyosiyonat (PhNCS) ile Verdiği Türevler

E.z.o.'lerin toluendeki çözeltilerine iki eşdeğergram PhNCS katılarak kararlı, dipolar yapıda e.z.o. türevleri ele geçti.



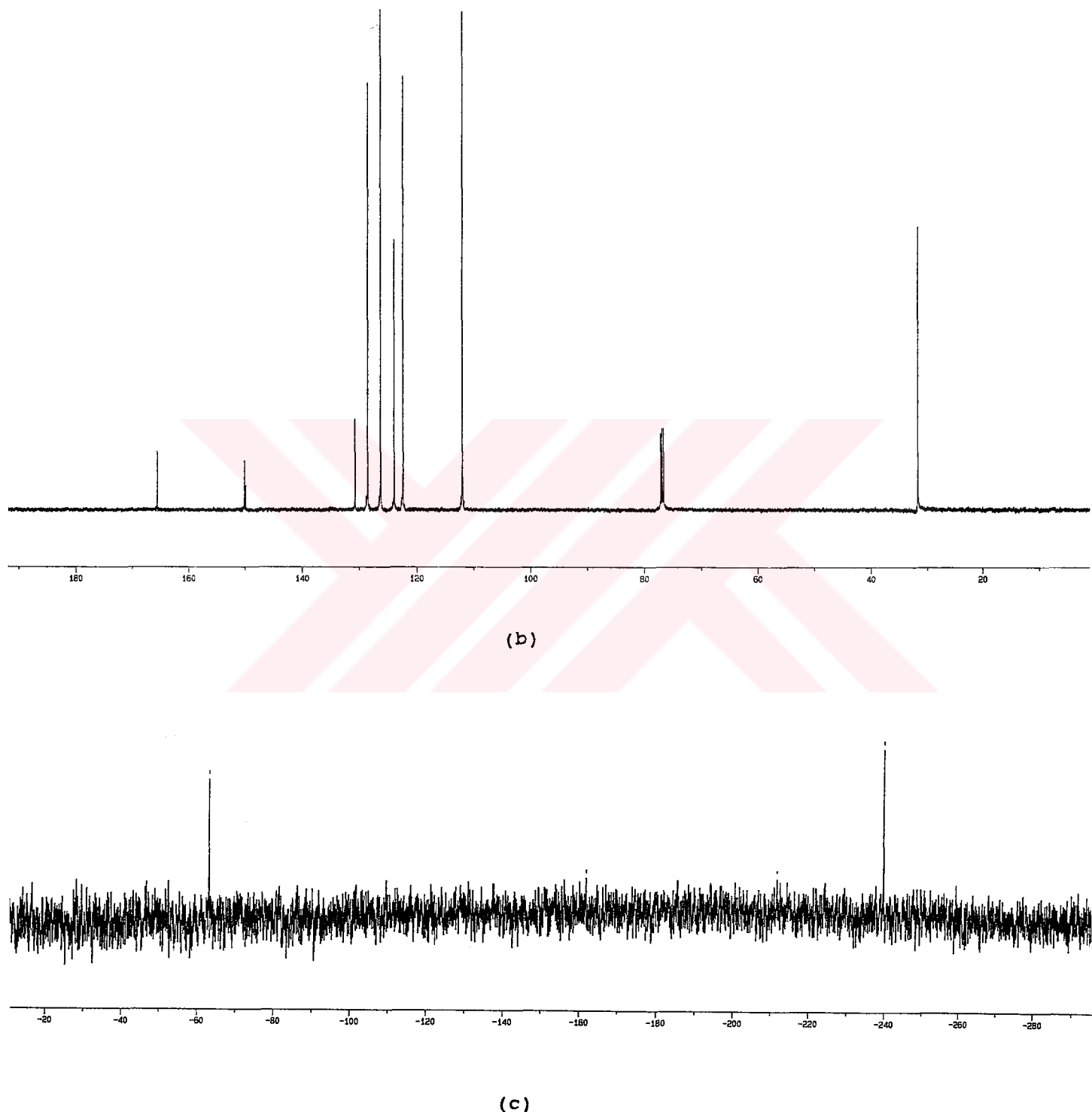
Olefinlerden **2a** ve **2b**'nin toluendeki çözeltilerine dört eşdeğergram PhNCS katılarak parabanik asit türevleri sentez edilmeye çalışıldı. Ancak yine yanlışca dipolar yapıdaki türevler ele geçti. Oysa bis(1,3-dietilimidazolidin-2-iliden)⁵⁵ ve bis(1,3-difenilimidazolidin-2-iliden)⁵⁶ e.z.o.'lerinin dört eşdeğer fenilizotiyosiyonat ile etkileşirilmeleri halinde parabanik asit türevi verdikleri bilinmektedir. Genellikle benzer özellikler gösteren benzimidazol ve imidazol içeren olefinler bu tepkimede farklı davranışlılardır. Yeni e.z.o.'lerin fenilizotiyosiyonat türevlerine ait spektroskopik veriler genellikle birbirine benzemektedir, bu nedenle her olefinin tüm spektroskopik verilerinin yerine yalnızca **11a** bileşiğne ait ¹H-

nmr, $^{15}\text{N}-\{\text{H}\}$, $^{13}\text{C}-\{\text{H}\}$ nmr, FTIR ve kütle spektrumları şekil 3.12'de verilirken diğerleri (**2a**'ya ait veriler diğerleriyle karşılaştırma için burada da verilmiştir) tablo halinde sunulmuştur.

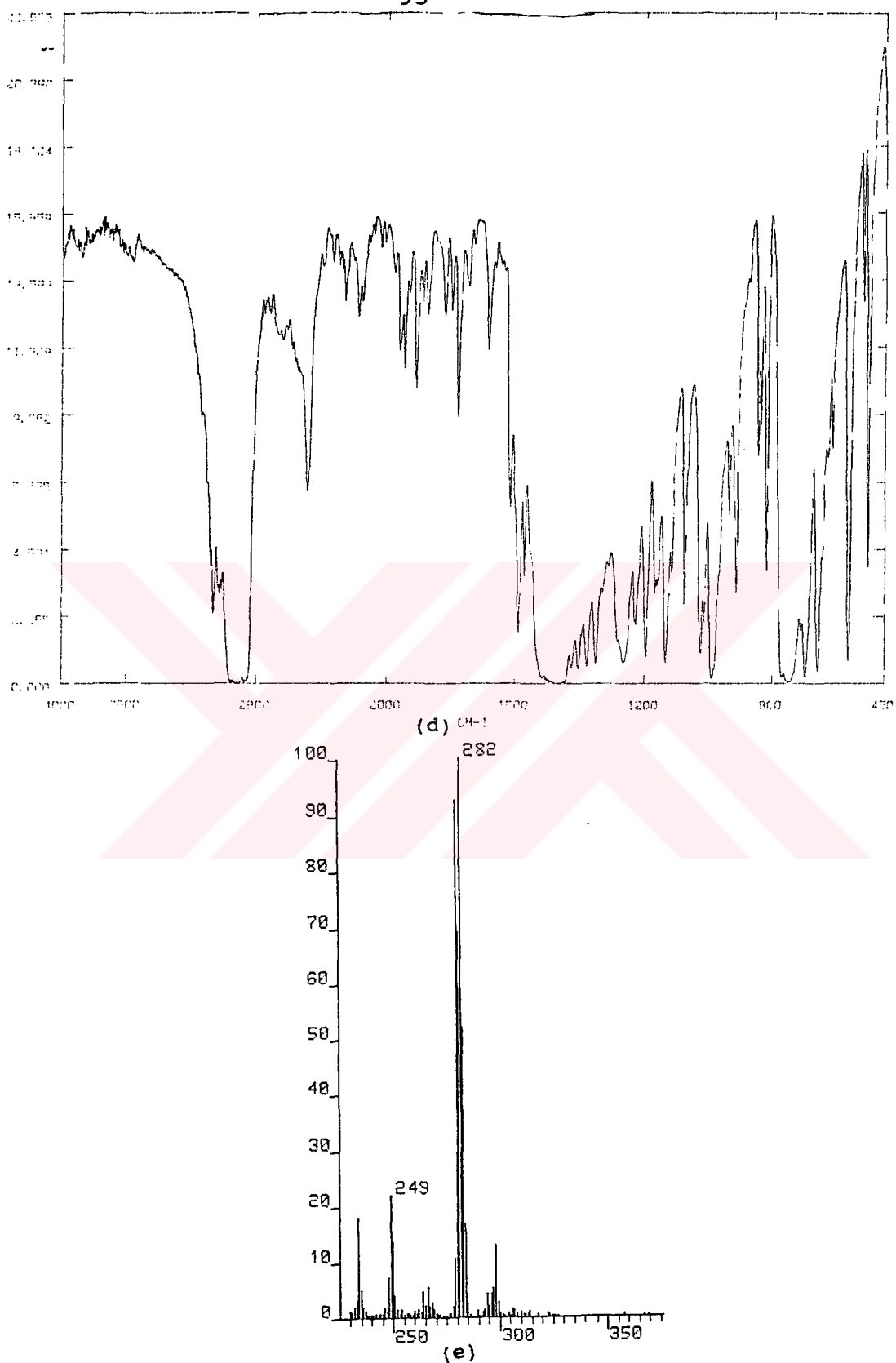


(a)

Şekil 3.12. **2a** bileşiginin PhNCS ile verdiği türeve ait; (a) ^1H -nmr spektrumu.



Şekil 3.12. 2a bileşiginin PhNCS ile verdiği türeve ait; (b) ^{13}C -nmr ve (c) $^{15}\text{N}-\{{}^1\text{H}\}$ -nmr spektrumları.



Şekil 3.12. 2a bileşiğinin PhNCS ile verdiği türeve ait; (d) FTIR ve (e) kütle spektrumları.

Şekil 3.12.(a) da **2a** bileşiğinin PhNCS türevine ait ^1H -nmr spektrumu incelendiğinde PhNCS'e ait aromatik protonlar daha düşük alanda ve singlet olarak, **2a**'ya ait aromatik protonlar ise yarılmış olarak daha yüksek alanda çıkmaktadır. **11a** bileşigine ait $^{13}\text{C}-\{^1\text{H}\}$ -nmr spektrumu incelendiğinde metil karbonuna ait pik 31.75 ppm de, aromatik halka karbonları 112.05, 122.44, 123.98, 126.33, 128.76, 130.77 ve 149.91 ppm de benzimidazolidinin 2 nolu karbonu 150.13 ppm de ve kükürte bağlı karbon ise 165.56 ppm de görülmektedir. $^{15}\text{N}-\{^1\text{H}\}$ -nmr spektrumundan bekleniği gibi iki ayrı azot piki gözükmemektedir. Burada da PhNCS'e ait azot piki daha düşük alanda (-63.1 ppm) çıkarken diğer azot piki yüksek alanda (-239.8 ppm) görülmektedir. FTIR spektrumunda da C=N bandı 2500cm^{-1} de gözlenmektedir. Kütle spektrumunda beklenen moleküller iyon piki net olarak bulunmaktadır. Moleküller iyondan kükürt ayrılmasıyla oluşan iyon piki $m/e=249$ olarak görülmektedir. Kükürt ayrılması diğer **11b**, **11c** ve **11d** bileşiklerinde de olmaktadır.

Tablo 3.6.'da yeni e.z.o.'lerin fenilizotiyosianat türevlerine ait ^1H -nmr ve FTIR, tablo 3.7.'de $^{13}\text{C}-\{^1\text{H}\}$ -nmr spektrum verileri ile tablo 3.8.'de kütle spektrum verileri görülmektedir.

Tablo 3.6. Yeni E.z.o.'lerin PhCNS ile verdiği türevlere ait ^1H -nmr spektrum verileri.

Bileşik No	MeN	Me-CH ₂ N	-H ₂ CN	Ph
11a*	4.07(s)	---	---	7.41-7.55(m), 7.57(s)
11b*	---	1.65(t)	4.60(q)	7.11-7.42(m), 7.60(s)
11c*	4.07(s)	1.66(t)	4.62(q)	7.11-7.41(m), 7.56(m)
11d*	---	---	5.81(s)	7.10-7.63(m)

*Çözücü CDCl₃

Tablo 3.7. Yeni e.z.o.'lerin PhNCS ile verdiği türevlere ait $^{13}\text{C}-\{\text{H}\}$ -nmr spektrum verileri.

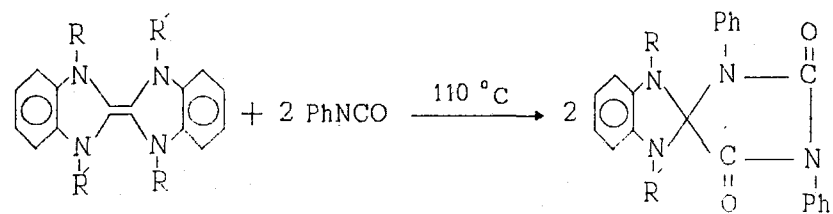
Bileşik No	$^{13}\text{C}-\{\text{H}\}$ -nmr pikleri
11a*	31.75, 112.05, 122.44, 123.98, 126.33, 128.76, 130.77, 149.91 150.13, 165.56
11b*	14.43, 41.15, 112.33, 122.38, 123.79, 126.03, 128.49, 130.08 149.68, 150.37, 165.96
11c*	14.52, 31.60, 41.27, 112.20, 122.47, 123.91, 126.17, 128.53, 129.85, 131.11, 149.97, 150.28, 165.79
11d*	50.13, 113.32, 122.39, 122.93, 123.93, 126.17, 128.35, 128.54, 128.76 129.05, 130.42, 133.41, 150.75, 165.72

*Çözücü CDCl_3

Tablo 3.8. Yeni e.z.o.'lerin PhNCS ile verdiği türevlere ait kütle parçalanma değerleri

Bileşik No	Kütle parçalanmaları ve (şiddetleri)
11a	281(92, M^+); 249(22, $[\text{M}-32]^+$)
11b	310(20, M^+); 175(28, $[\text{M}-135]^+$)
11c	296(100, $[\text{M}-1]^+$); 295(70, M^+); 263(40, $[\text{M}-32]^+$)
11d	434(80, $[\text{M}+1]^+$); 402(18, $[\text{M}-32]^+$); 310(75, $[\text{M}-123]^+$) 298(30, $[\text{M}-135]^+$)

3.8. Yeni e.z.o.'lerin PhNCO ile Verdiği Türevler



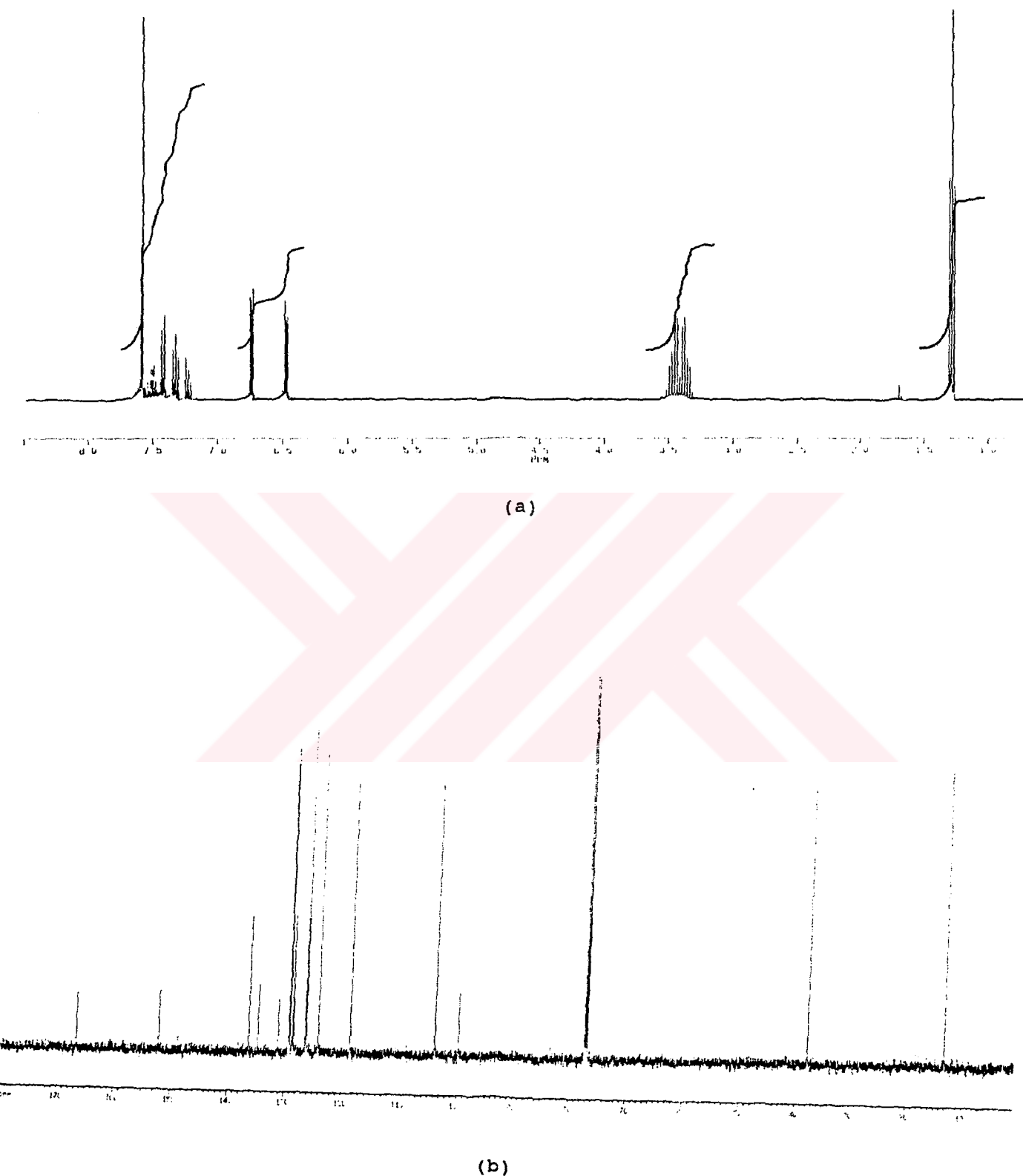
2a R,R'=Me

2b R,R'=Et

12a R,R'=Me

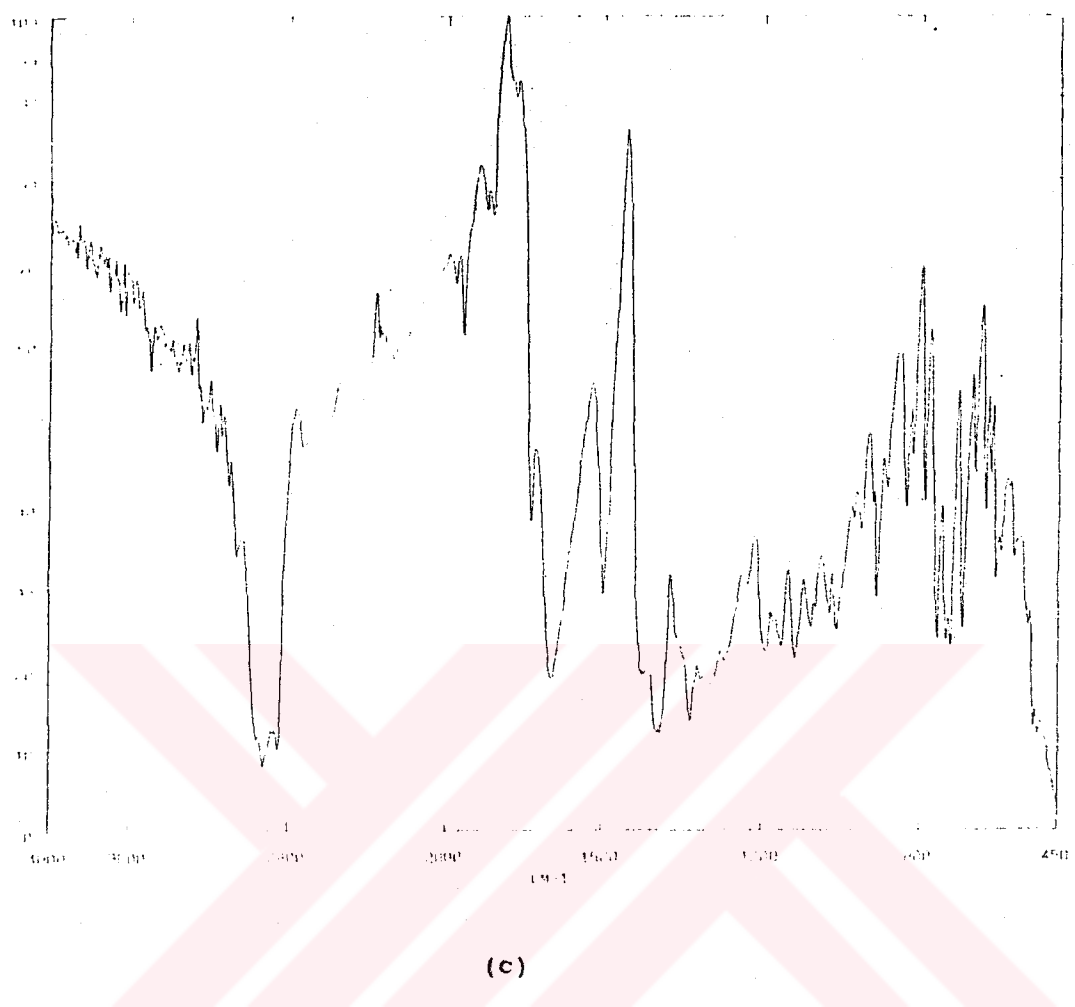
12b R,R'=Et

2a ve **2b** e.z.o.'lerin toluendeki çözeltilerine dört eşdeğer gram PhNCO katılıp bir saat kaynatılması sonucu ele geçen bileşik, PhNCS ile yapılan tepkimeden farklı olarak parabanik asit türevi şeklinde oldu. Ayrıca PhNCS hazırlanmasında ekzotermik bir tepkime gözlenirken, burada tepkimenin yürüyebilmesi için bir saat kadar ısıtma yapıldı. E.z.o.'ler ile PhNCS arasındaki tepkimeye benzer olarak, **2a** ve **2b** e.z.o.'lerinin toluendeki çözeltilerine iki eşdeğer gram PhNCO katılarak tepkime tekrarlandığında, beklenilen dipolar yapılı bileşikler yerine yine halkalı yapıdaki parabanik asit türevleri ele geçti. Şekil 3.13'de **12a** ve **12b** bileşiklerinden **12b**'ye ait $^1\text{H-nmr}$, $^{13}\text{C}-\{^1\text{H}\}$ -nmr, FTIR ve kütle spektrumları, tablo 3.9'da ise **12a** bileşiğine ait spektroskopik veriler görülmektedir.

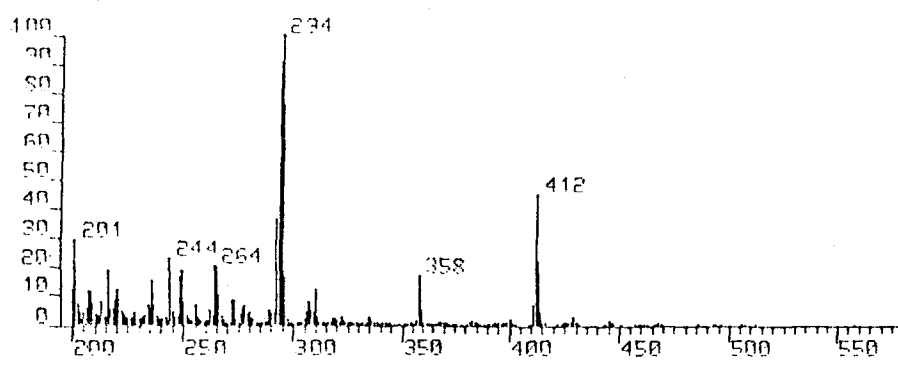


Şekil 3.13. 12b'ye ait; (a) ^1H -nmr, (b) ^{13}C -{ ^1H }-nmr spektrumları.

100



(c)



(d)

Sekil 3.13. 12b'ye ait; (c) FTIR ve (d) kütle spektrumları.

Şekil 3.13.(a) daki **12b** bileşiğine ait ^1H -nmr spektrumu incelendiğinde molekülün sağ tarafındaki simetrinin bozulması nedeniyle 3.44ppm de $\text{N}-\text{CH}_2-$ 'ye ait pik beklenenden daha fazla yarılarak multiplet halini almıştır. 6.49-6.75ppm de e.z.o.'e ait aromatik protonlar ve 7.30-7.60ppm aralığında da PhNCO' ya ait aromatik proton pikleri görülmektedir. $^{13}\text{C}-\{{}^1\text{H}\}$ -nmr verileri incelendiğinde moleküle ait aromatik bölgede bekleniği gibi çok sayıda pik görülmektedir. **12b** bileşiğinin kükürte bağlı karbon atomuna ait pik 166.33ppm de çıkmaktadır. FTIR spektrumunda C=O piki 1728cm^{-1} de görülmektedir. **12b**'nin bis(3-metilbenzotiyazolidin-2-iliden) analogunda ise $\nu_{(\text{C=O})}=1720\text{cm}^{-1}$ de çıkmaktadır⁵⁶. **12b** bileşiğinin kütle spektrumunda beklenen moleküller iyon piki $\text{M}^+=412$ olarak görülmektedir. Temel iyon piki molekülün aromatik kısmının ayrılması ($\text{Ph}+\text{N}+\text{Et}$) ile oluşan $m/e=294$ 'dur.

Tablo 3.9. **12a** Bileşiğine ait ^1H -nmr, $^{13}\text{C}-\{{}^1\text{H}\}$ -nmr ve kütle parçalanma verileri

^1H -nmr* : 2.94(s,Me), 6.6-6.7-7.35(m,Ph)

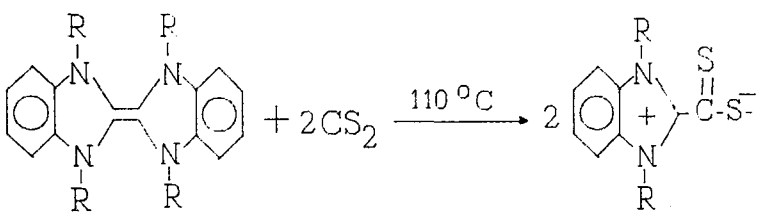
$^{13}\text{C}-\{{}^1\text{H}\}$ -nmr* : 28.47, 101.36, 103.96, 118.87, 125.58, 126.15, 127.14, 128.47, 129.10, 130.90, 134.02, 137.46, 152.58, 164.94

m/e ve (şiddetleri) : 384(100, M^+); 265(95[$\text{M}-119$] $^+$)

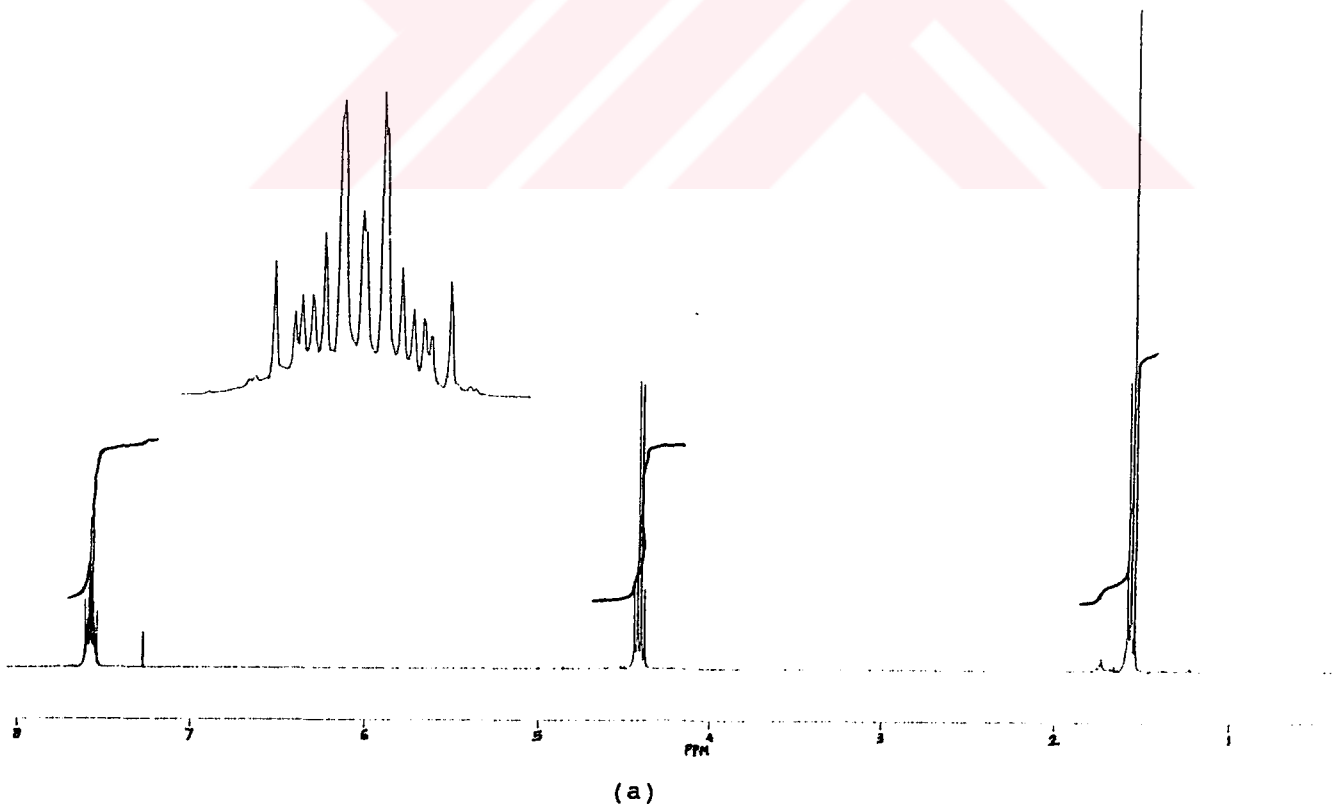
*Çözücü CDCl_3

3.9. Yeni e.z.o.'lerin CS_2 ile Etkileştirilmesi.

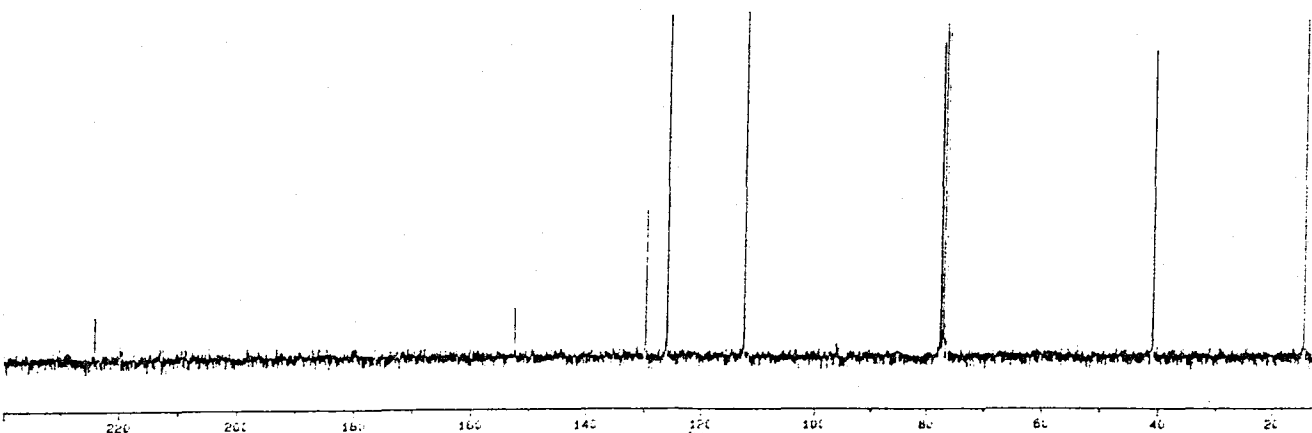
2a ve **2b** e.z.o.'lerin toluendeki çözeltilerine CS_2 katılması ile birlikte pembe renkli, havaya kararlı, dipolar yapıdaki **13** ve **14** bileşikleri elde edildi.

**2a** R,R'=Me**13** R,R'=Me**2b** R,R'=Et**14** R,R'=Et

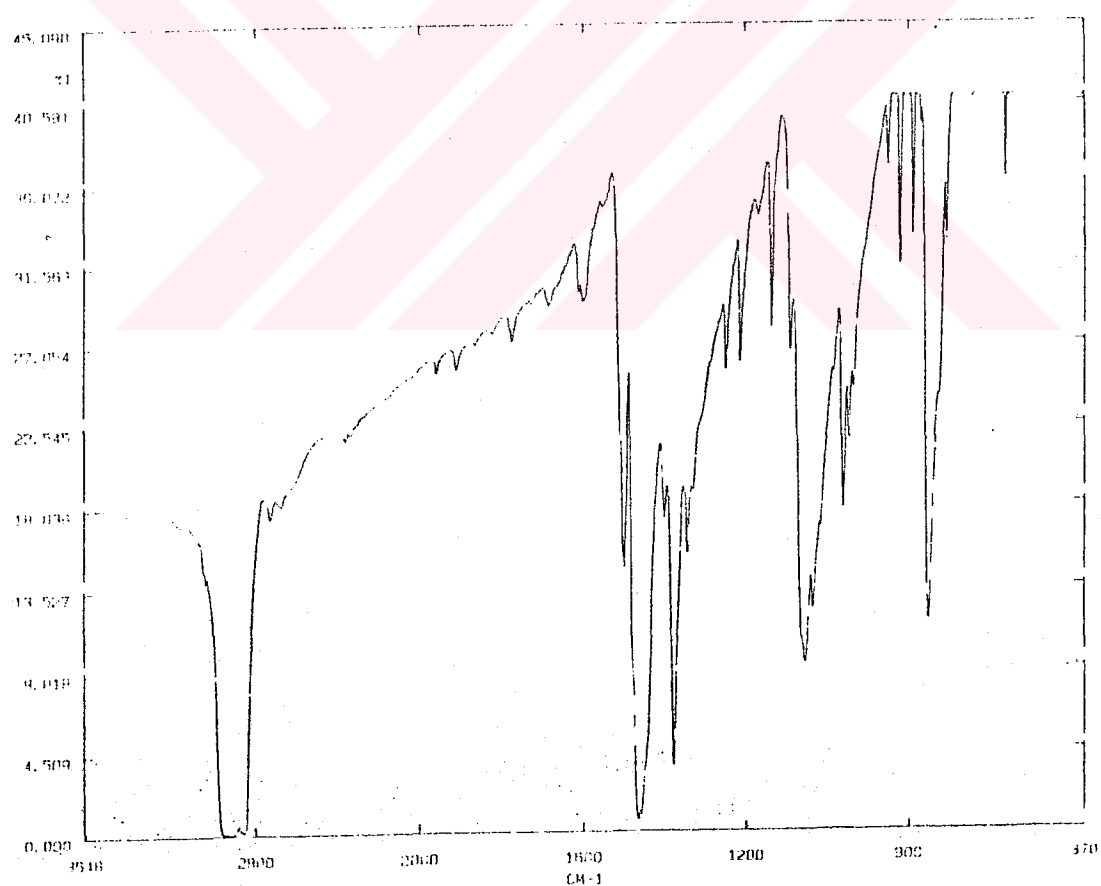
Tepkimenin çok hızlı ve çok yüksek bir verimle tamamlanması, kararlı ürünler vermesi nedeniyle imidazolidin çekirdeği içeren e.z.o. sentezinde bu tepkime bir belirteç gibi kullanılabilir. Şekil 3.14'de 14 bileşiğine ait ^1H -nmr, $^{13}\text{C}-\{^1\text{H}\}$ -nmr, FTIR ve kütle spektrumları görülmektedir. Tablo 3.10.'da 13 ve 14 bileşiklerine ait ^1H -nmr ve tablo 3.11.'de $^{13}\text{C}-\{^1\text{H}\}$ -nmr spektrum verileri görülmektedir.



Şekil 3.14. 14 bileşiğine ait; (a) ^1H -nmr spektrumu.

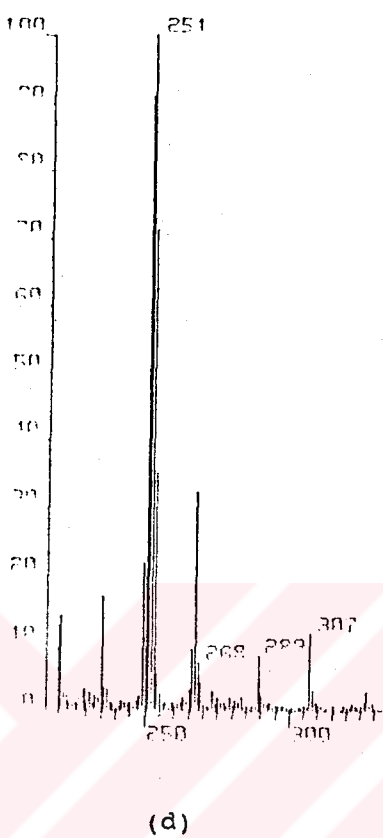


(b)



(c)

Şekil 3.14. 14 bileşiğine ait; (b) ^{13}C - $\{-^1\text{H}\}$ -nmr,
(c) FTIR spektrumları.



(d)

Şekil 3.14. 14 bileşiğine ait; (d) kütle spektrumu.

Şekil 3.14.(a)'da 14 bileşiğine ait ^1H -nmr spektrumu incelen- diğinde etil protonlarının 1.56 ve 4.42 ppm de aromatik halka protonlarının 7.57 ppm de olduğu görülmektedir. Bu değerler 2b e.z.o.'i (etil= 0.91 ve 3.30; aromatik protonlar= 6.48-6.79 ppm) ile karşılaştırıldığında molekülün yaklaşık 1ppm alçak alana kaydığını görülmektedir. Ayrıca 2b'nin aromatik halka protonlarında görülen yarıılma simetrinin kaybolması ile yokolmuştur. Şekil 3.14.(b)'de 14 bileşiğine ait $^{13}\text{C}-\{^1\text{H}\}$ -nmr spektrumunda $-\text{CS}_2$ 'ye ait pik 224.02 de, CS_2 'nin bağlı olduğu karbona ait pik 152.38 ppm de görülmektedir. Serbest CS_2 'a it karbon piki ise 192.30 ppm de

çıkmaktadır⁴⁸. Şekil 3.14.(d) de 14 bileşiğine ait kütle spektrumunda moleküler iyon piki(M^+)= 250 olarak görülmektedir. Yeni e.z.o.'lerin CS_2 ile etkileşmesi oda sıcaklığında, kantitatif ve hızlı olmaktadır. Ancak bu özellikler diğer olefinlerde görülmemektedir. Örneğin primidin çekirdeği içeren bis(1,3-dietiltetrahidroprimidin-2-iliden) ve imidazolidin çekirdeği içeren bis(1,3-difenilimidazolidin-2-iliden) CS_2 ile 130-140°C'ta 20st. ısıtmakla etkileşmektedir⁵⁷.

Tablo 3.10 2a ve 2b e.z.o.'lerinin CS_2 türevlerine ait 1H nmr spektrum verileri

Bileşik No	MeN	Me-CH ₂ N	-H ₂ CN	Ph
13*	3.95(s, Me)	---	---	7.57(m, Ph)
14*	---	1.56(t, Me)	4.42(q, CH ₂)	7.57(m, Ph)

*Çözücü $CDCl_3$

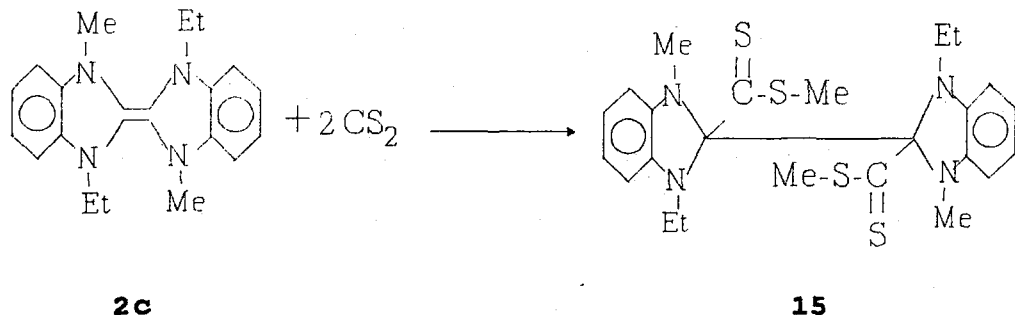
Tablo 3.11 2a ve 2b e.z.o.'lerinin CS_2 türevlerine ait ^{13}C -{ 1H } spektrum verileri.

Bileşik No	MeN	Me-CH ₂ N	-H ₂ CN	N ₂ C+	CS ₂	Ph
13*	31.34	---	---	152.73	223.62	111.57, 126.32, 130.54
14*	---	14.24	40.82	152.38	224.02	112.31, 126.02, 129.71

*Çözücü $CDCl_3$

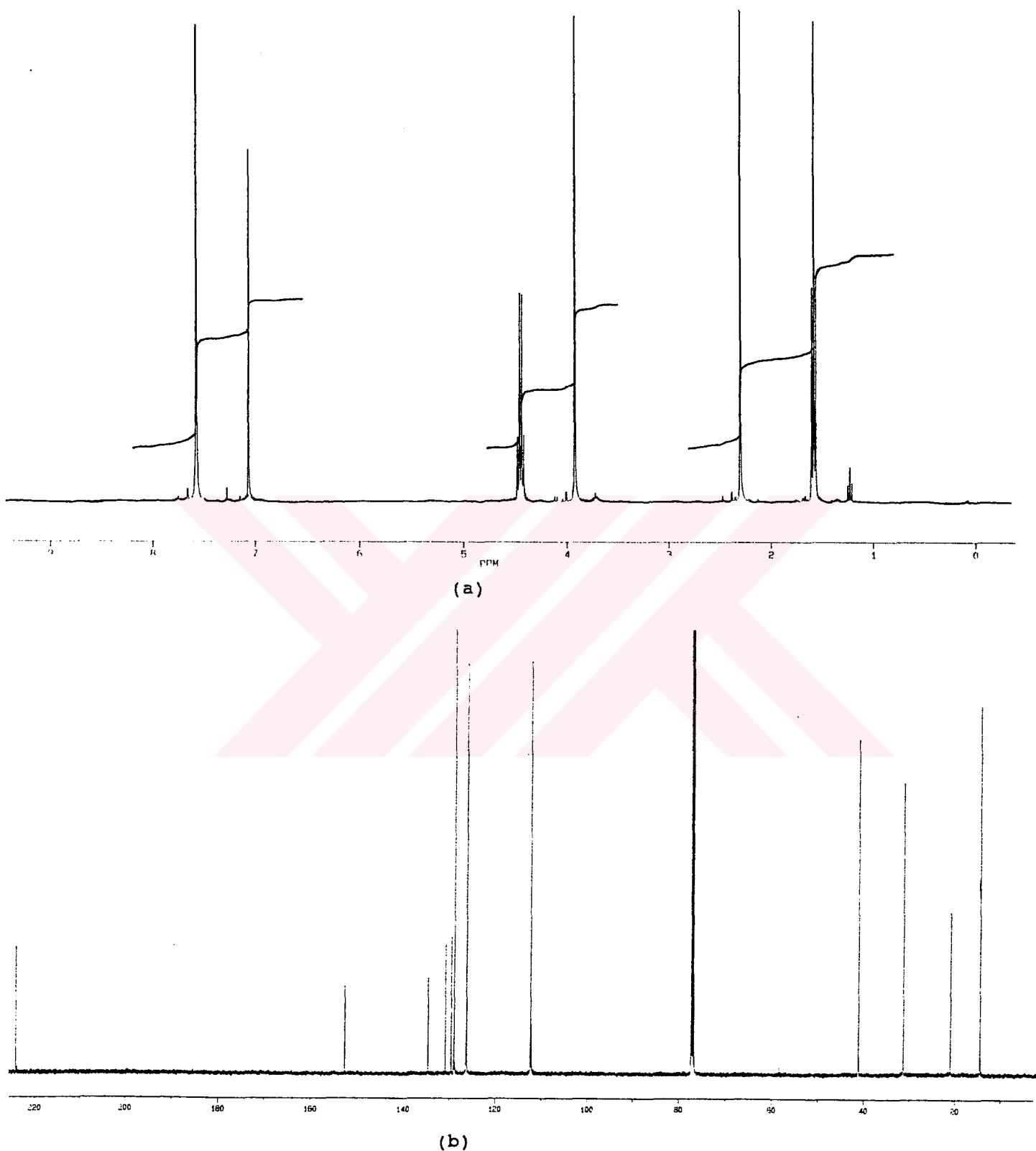
3.10. 2c Bileşiğinin Metil İyodürlü CS₂ ile Etkileştirilmesi.

2c Bileşiğinin CS₂ ile etkileştirilmesi ile havaya kararlı ancak dipolar yapıda olmayan 15 nolu bileşik elde edildi.

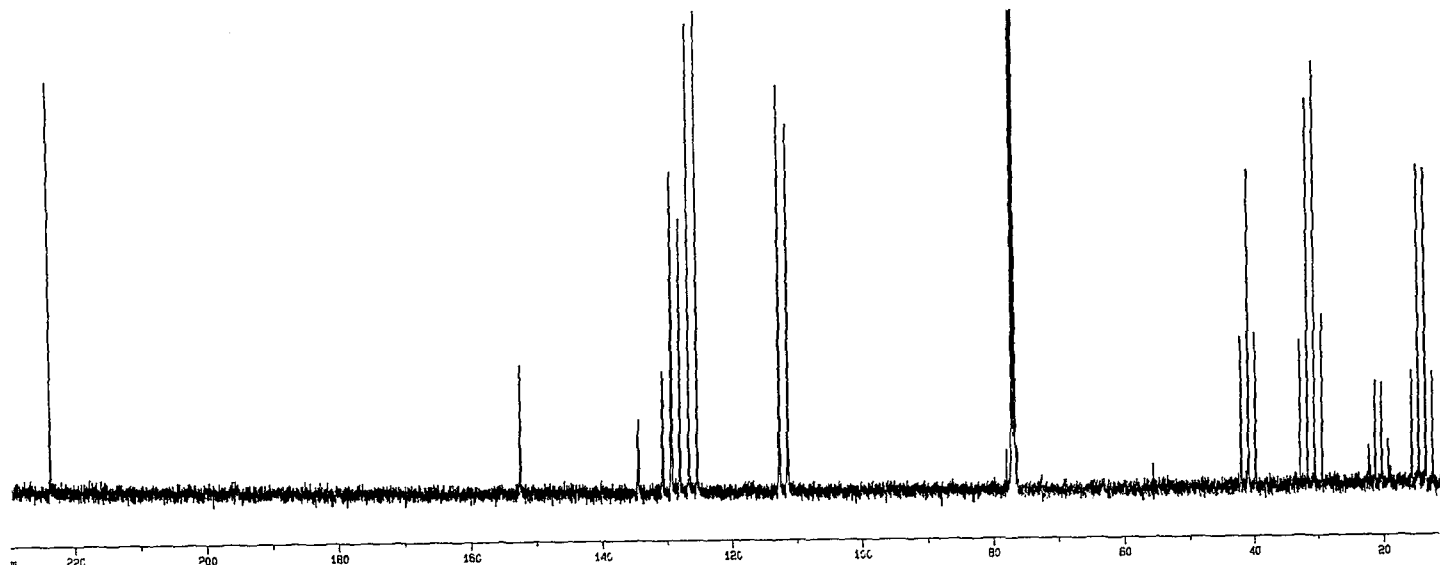


Ancak 2a ve 2b bileşiklerinin CS₂ ile etkileştirilmesinde bu durumun gözlenmemesi nedeniyle, sadece 2c bileşiğinde kullanılan CS₂'den şüphelenildi. CS₂'nin ¹H-n.m.r. spektrumu ve GC-MS spektrumu alındığında safsızlık olarak metil iyodür içeriği anlaşıldı. Böylece bileşiğin ilk kademedede beklentiği gibi dipolar yapıda oluştugu ancak ortamdaki MeI ile etkileştikten sonra iki molekül arşından bir mol I₂ ayrılmasıyla molekülün dimerleştiği tahmin edilmektedir. Element analizinin bu yapı ile tam uyum içerisinde olması, ¹³C-¹H-eşleşmesinden C²- konumunda hidrojen bulunmayışı ve kütle spektrumunda yanlışca molekülün yarısının görülmESİ bu tahminimizi doğrulamaktadır. Şekil 3.15'de 15 nolu bileşiğe ait ¹H-nmr, ¹³C-{¹H}-nmr, ¹³C-¹H-n.m.r., FTIR ve kütle spektrumları görülmektedir.

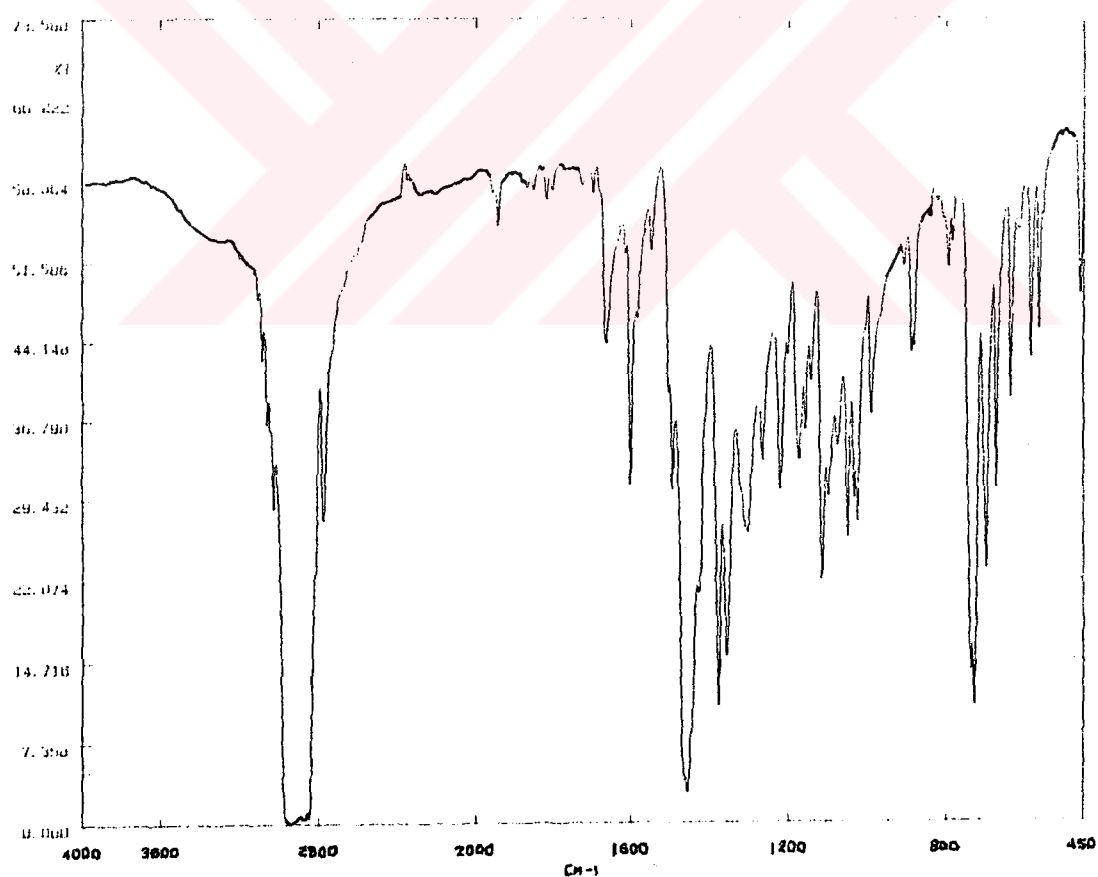
13 bileşiğinin toluendeki çözeltisi MeI(1:1.2) ile etkileştirildiğinde 15 bileşiğinin analogunu vermektedir. Bu bileşiğe ait ¹H-nmr, ¹³C-{¹H}-nmr, FTIR ve kütle spektrumları yapı ile uyum içindedir. ¹H-nmr spektrumunda -NMe protonları 2.31 ppm de -SMe protonları ise 3.95 ppm de ¹³C-{¹H}-nmr spektrumunda ise metil karbonları 20.90 ve 31.33 ppm de gelmektedir. Kütle spektrumunda moleküller iyon piki 444 ve molekülün yarısına ait 222 piki (temel pik) görülmektedir.



Şekil 3.15. 15 nolu bileşiğe ait; (a) ^1H -nmr, (b) ^{13}C - $\{{}^1\text{H}\}$ -nmr, spektrumları.

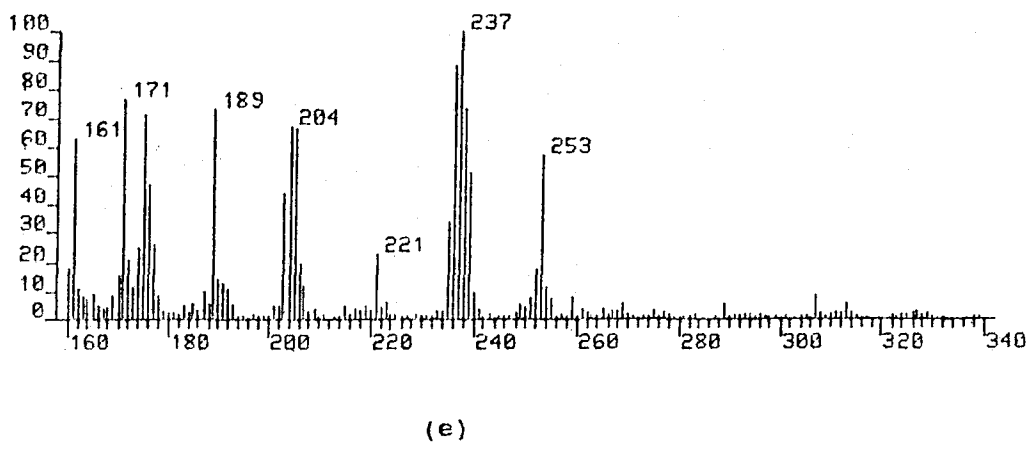


(c)



(d)

Sekil 3.15. 15 nolu bileşiğe ait; (c) $^{13}\text{C}-^1\text{H-n.m.r.}$ ve (d) FTIR spektrumları.



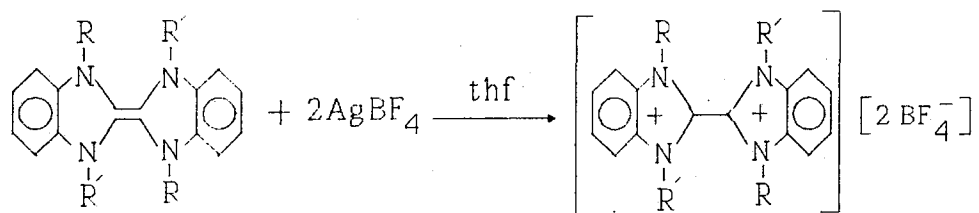
(e)

Şekil 3.15. 15 nolu bileşiğe ait; (e) kütle spektrumu.

Şekil 3.15. (a) daki ^1H -nmr spektrumu incelendiğinde 2.2 ve 3.9 ppm civarlarında iki ayrı metil grubunun bulunduğu görülmektedir ve $^{13}\text{C}-^1\text{H}$ -n.m.r. spektrumunda da 20.83 ve 31.12 ppm'lerde iki ayrı quartet vererek metillerin varlığı kesinlik kazanmıştır. 13.74 ppm'deki quartet ise etil grubundaki metile aittir. 15 bileşiğinin $^{13}\text{C}-\{\text{H}\}$ -nmr spektrumunda $-\text{CS}_2$ karbonuna ait pik 223.85 ppm de görülmektedir. 15 bileşiğine ait kütle spektrumunda ise moleküler iyon piki gözükmezken tam yarısına ait $253 (\text{M}/2+1)$ piki mevcuttur.

3.11. Yeni Olefin Bileşiklerinin $\text{Ag}[\text{BF}_4]$ ile Verdiği Dikatyonlar

2a, 2b ve 2c bileşiklerinin thf'deki çözeltilerine iki eşdeğergram $\text{Ag}[\text{BF}_4]$ katıldığında metalik gümüş aynası ile birlikte tepkime tamamlanarak e.z.o.'lerin dikatyon türevleri sentez edildi.



2a R,R'=Me

2b R,R'=Et

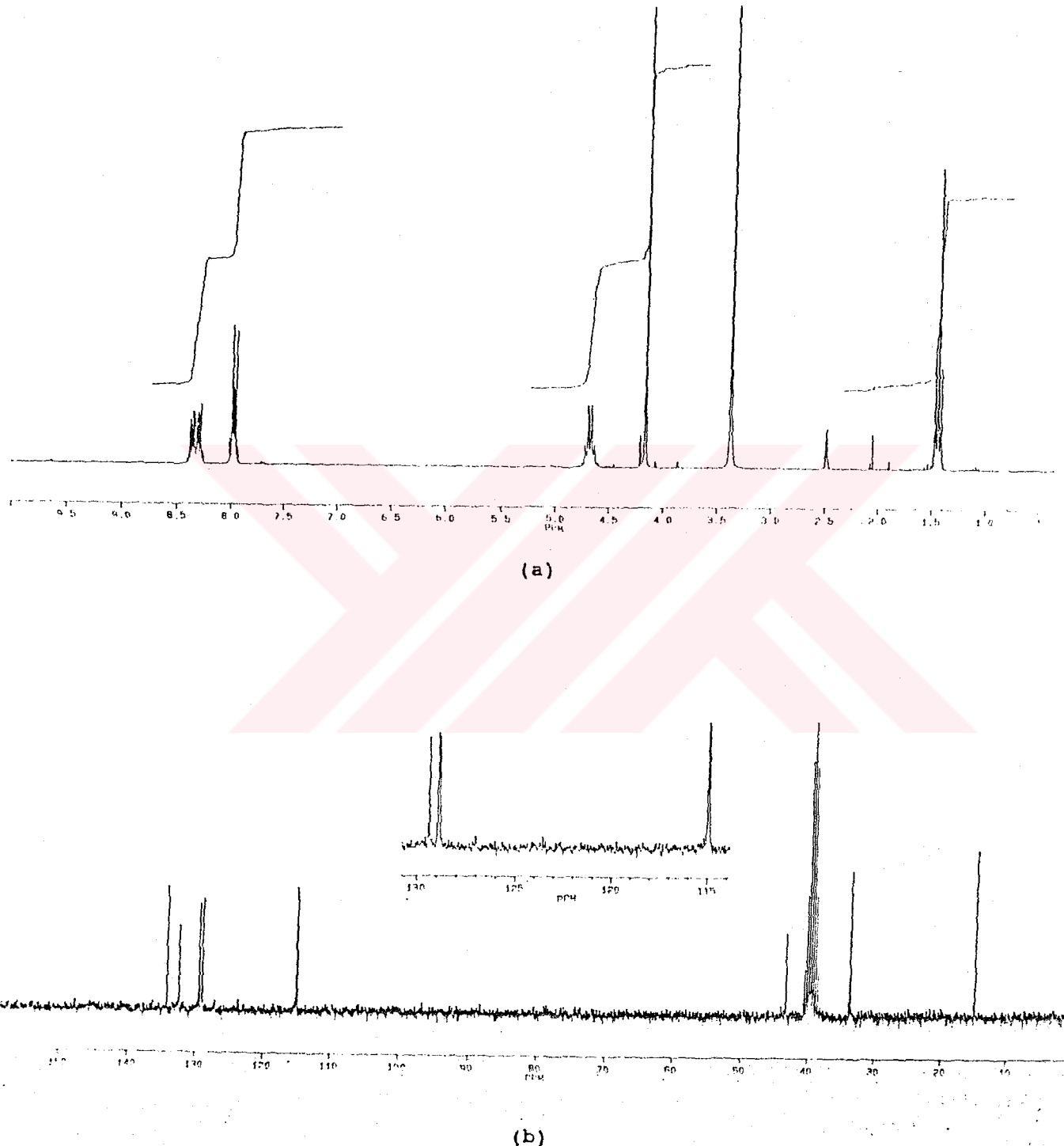
2c R=Me, R'=Et

16a R,R'=Me

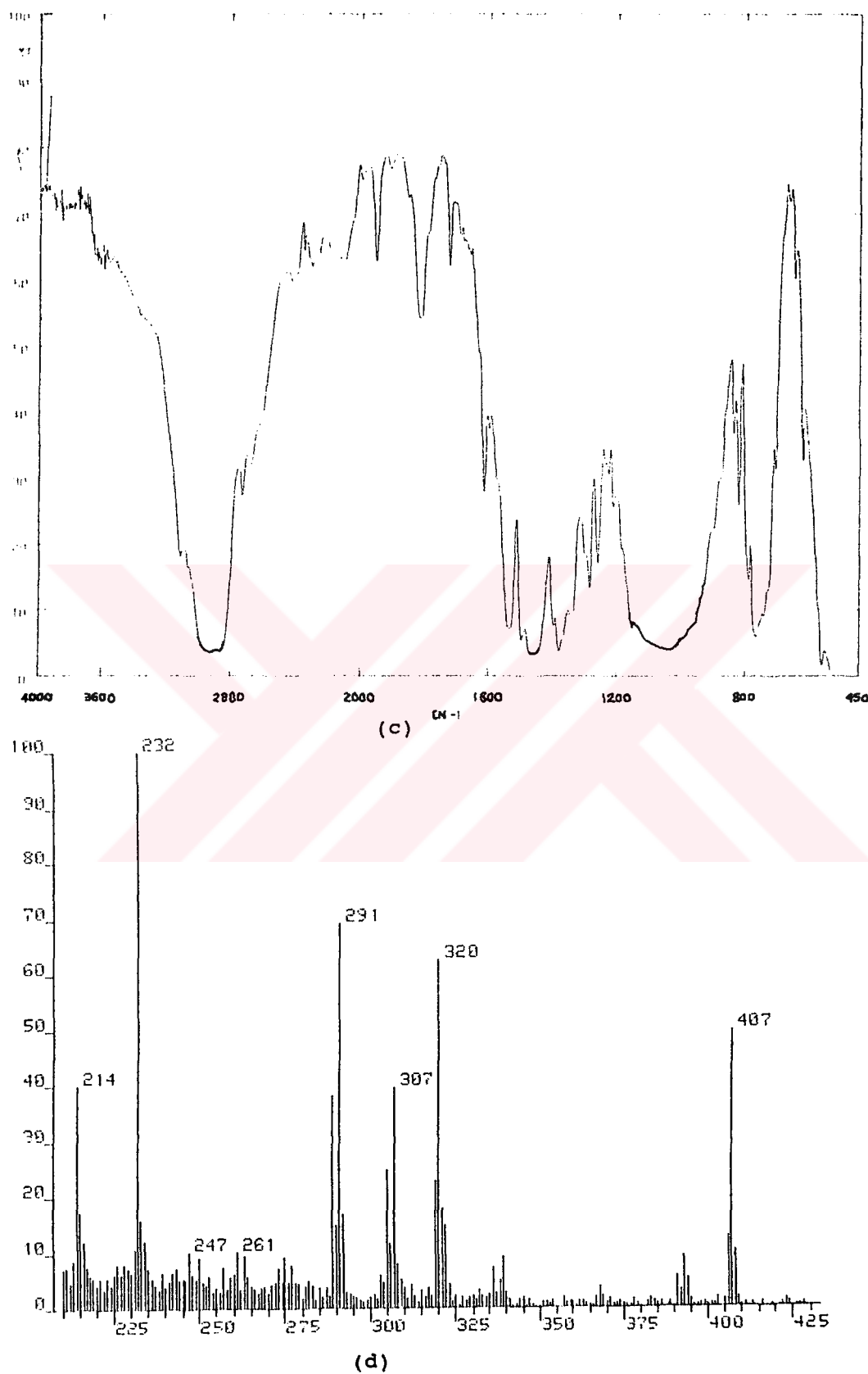
16b R,R'=Et

16c R=Me, R'=Et

Havanın nem ve oksijenine karşı tamamıyla kararlı yapıda olan bu dikatyonlar e.z.o.'lerin proton aktif bileşiklerle verdiği olefinik bağın bölünerek katılmasından farklı ve e.z.o.'in genel iskeletinin korunduğu tepkimelerdir. Bu tür tepkimeler izole edilmelerinde güçlük çekilen e.z.o.'lerin varlığını anlamada birer test tepkimesi olarak kullanılırlar. Dolayısı ile, bu alandaki çalışmalarla önemli bir yere sahiptirler. İmidazolidin³ ve benzotiyazolidin⁸ çekirdeği içeren e.z.o.'lerinde Ag[BF₄], AgNO₃ ve AgBr vb. gibi tuzlarla etkileşerek kararlı yapıda dikatyonlar verdiği bilinmektedir. Böylece e.z.o.'lerin bu tür tepkimelerinin genellik taşıdığı anlaşılmaktadır. Şekil 3.16.'da **2c** olefininin Ag[BF₄] ile verdiği türeve ait ¹H-nmnr, ¹³C-{¹H}-nmr, FTIR ve kütle spektrumları görülmektedir. **2a** ve **2b** olefinlerinin Ag[BF₄] ile verdiği türeve ait ¹H-nmnr, ¹³C-{¹H}-nmr, ve kütle spektrumları sırasıyla tablo 3.12, 3.13 ve 3.14'de topluca verilmiştir.



Sekil 3.16. 2c olefininin $\text{Ag}[\text{BF}_4]$ ile verdiği türeve ait; (a) ^1H -nmnr, (b) ^{13}C - $\{^1\text{H}\}$ -nmr spektrumları.



Şekil 3.16. 2c olefininin $\text{Ag}[\text{BF}_4]$ ile verdiği türeve ait;
(c) FTIR ve (d) kütle spektrumları.

Şekil 3.16(a)'da **16c** bileşiğine ait ^1H -nmr spektrumu incelendiğinde etil protonlarının 1.58 ve 4.66 ppm de, metil protonlarının 4.17 ppm de, aromatik protonların 8.00-8.36 ppm de çıktıgı görülmektedir. ^1H -nmr spektrumunda 3.4 ppm de görülen pik **16c** bileşiğine ait olmayıp DMSO- d_6 içindeki suya aittir. Şekil 3.16(b)'de **16c** bileşiğine ait $^{13}\text{C}-\{\text{H}\}$ -nmr spektrumu incelen- diğinde beklenen bütün piklerin mevcut olduğu anlaşılmaktadır. Aromatik karbonlara ait pik sayısı az görünse de 114.97 ve 128.93 ppm'lerdeki piklerin genişletildiklerinde ikişer pikten ibaret olduğu anlaşılmaktadır. **16c** bileşiğine ait kütle spektrumu incelendiğinde; moleküler iyon piki (M^+) 320, moleküler iyondan etil kopması ile oluşan $m/e=291$ ve moleküler iyondan bütün alkil gruplarının ayrılması ile oluşan $m/e= 232$ piki net olarak görülmektedir. **16c**'nin kütle spektrumunda moleküler iyondan bir adet $[\text{BF}_4^-]$ kadar büyük 407 pikide mevcuttur. $[\text{BF}_4^-]$ 'ün eksisi yüklü bir iyon olduğu düşünüldüğünde kütle spektrumunda bu iyonun gözükmesi çok ilginç bir durumdur. Bu durum **16a** ve **16b** 'ye ait kütle spektrumlarında da görülmektedir. Ancak, **16a** bileşiğinin x-işinleri spektrumu incelendiğinde(Bk.Şekil 3.3) beklenilen moleküler yapıdan farklı bir yapı da gözükmemektedir.

Tablo 3.12. Yeni e.z.o.' lerin $\text{Ag}[\text{BF}_4^-]$ ile verdiği türevlere ait ^1H -nmr spektrum verileri.

Bileşik No	MeN	Me-CH ₂ N	-H ₂ CN	Ph
16a*	4.20(s)	---	---	7.68-8.20(m)
16b*	---	1.45(t)	4.63(q)	7.97-8.36(m)
16c*	4.17(s)	1.45(t)	4.66(q)	8.00-8.36(m)

*Çözücü DMSO- d_6

Tablo 3.13. Yeni e.z.o.'leri $\text{Ag}[\text{BF}_4]$ ' ile verdiği türevlere ait $^{13}\text{C}-\{^1\text{H}\}$ nmr spektrum verileri.

Bileşik No	MeN	Me-CH ₂ N	-H ₂ CN	(CN ₂)	Ph
16a*	33.96	---	---	133.51	114.58, 128.85 131.68
16b*	---	14.48	40.15	134.14	115.22, 128.77 129.77
16c*	33.70	14.78	43.22	134.23	114.97, 128.93 129.39, 132.46

*Çözücü DMSO-d₆

Tablo 3.14. Yeni e.z.o.'lerin $\text{Ag}[\text{BF}_4]$ ile verdiği türevlere ait kütle parçalanma değerleri.

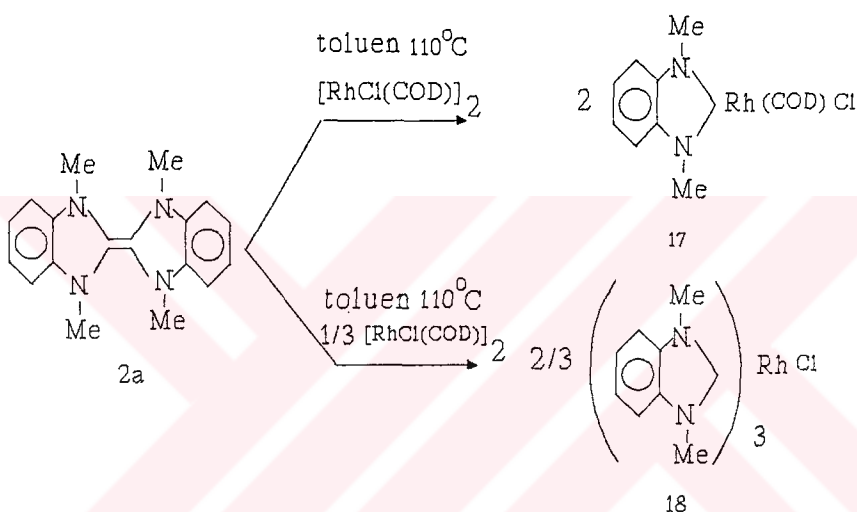
Bileşik No	Kütle parçalanmaları ve şiddetleri
16a	292(98, M ⁺); 277(90, [M-15] ⁺); 262(28, [M-30] ⁺)
16b	348(35, M ⁺); 319(92, [M-29] ⁺); 175(100, [M-173] ⁺)
16c	320(65, [M] ⁺); 291(70, [M-29] ⁺); 232(100, [M-88] ⁺)

3.12. Rodyum Karben Kompleksleri

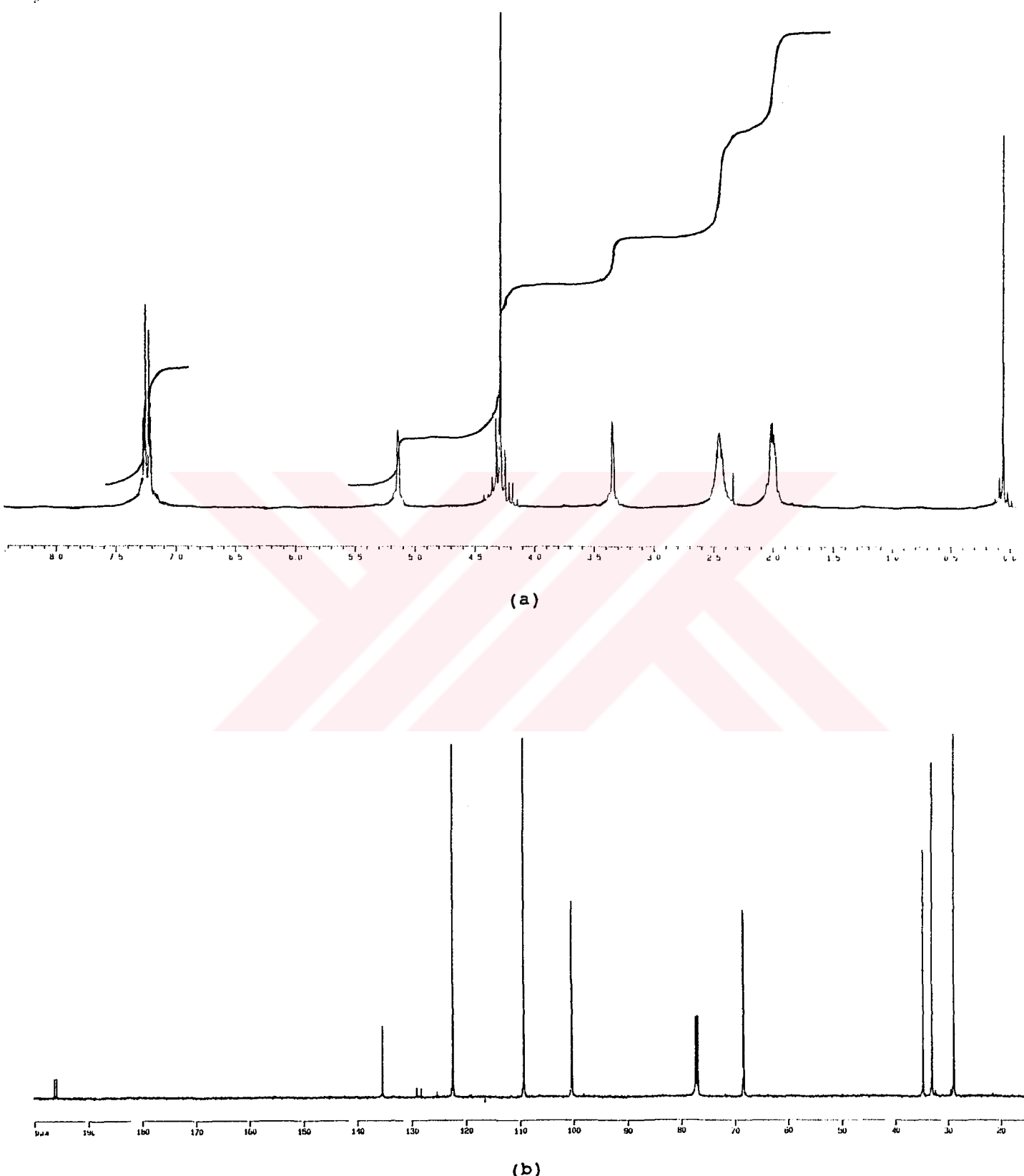
İmidazoidin çekirdeği içeren e.z.o.'lerin bir çok geçiş metali kompleksi ile etkileşerek karben kompleksleri oluşturduğu bilinmektedir⁵⁹. Bir geçiş metali bileşiği olan $[\text{RhCl}(\text{COD})]_2$ 'nin de imidazolidin çekirdeği içeren e.z.o.'lerle etkileşmesine ait bir çok literatür bulunmaktadır^{60,61,62,63,64,65,66,67}. Çalışmaların çokluğu, Rodyum komplekslerinin homojen katalizör olarak alkenlerin hidrojenasyon(Wilkinson bileşiği)⁶⁸, hidrosilasyon⁶⁵, e.z.o.'lerin düşmütasyonu⁶⁰ gibi bir çok önemli tepkimelerde kullanılmasındanandır. Bu endüstriyel uygulamalarının dışında Rh(I), Parkinson tedavisinde kullanılan L-dopa(3,4-dihidroksi-fenilalanin) üretiminde seçimli bir katalizör olarak ta

tıbbi önemide bulunmaktadır⁶⁸.

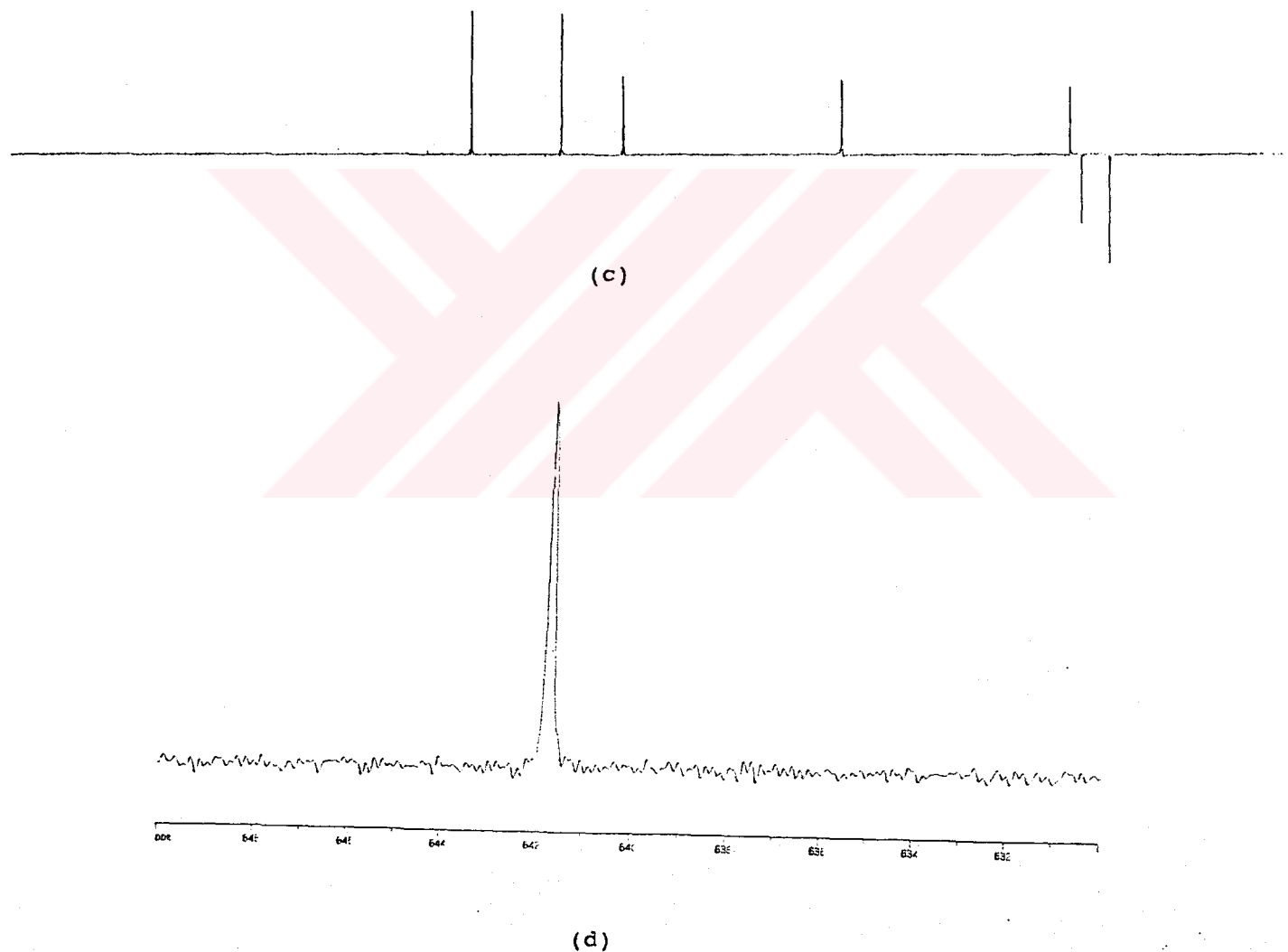
Literatür araştırıldığında benzimidazolidin çekirdeği içeren e.z.o.'lerin Rodyum türevlerinin bilinmediği anlaşılmaktadır. Bu nedenle **2a** bileşiği ile Rh bileşiklerini etkileştirmek, imidazolidin içeren türevleri ile aralarında benzerlik bulunup bulunmadığının araştırılması amaçlandı. Bir mol e.z.o. ile bir mol $[RhCl(COD)]_2$ etkileştirilmesi ile **17**, bir mol e.z.o. ile $\frac{1}{3}$ mol $[RhCl(COD)]_2$ etkileştirilmesi ile de **18** bileşiği ele geçti.



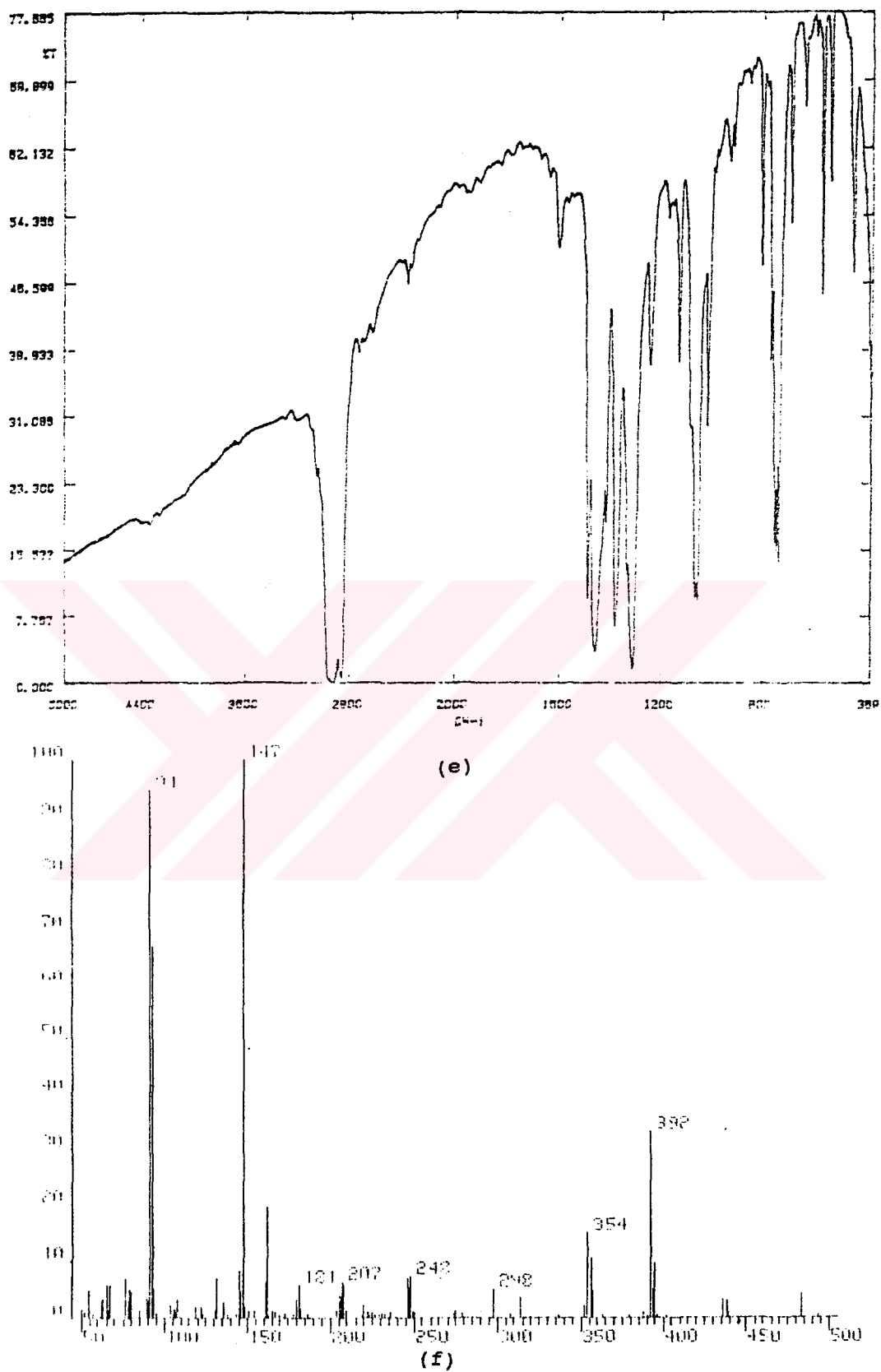
Yapılan spektroskopik analizler sonucu benzimidazolidin çekirdeği içeren e.z.o.'lerin Rh türevleri ile imidazolidin çekirdeği içeren e.z.o.'lerin türevleri arasında tamamıyla uyum olduğu gözlendi. Örneğin bis(1,3-dibenzylimidazolidin-2-iliden) olefinide $[RhCl(\text{COD})]_2$ 'nin bir molü ile **17**'nin, $\frac{1}{3}$ molü ile **18** bileşiğinin analogunu vermektedir⁶¹. Havanın nem ve oksijenine karşı her iki tür rodyum bileşigidde kısmen kararlıdır. Tablo 3.15'de **18** bileşığıne ait ^1H , $^{13}\text{C}-\{^1\text{H}\}$ ve $^{103}\text{Rh}-\{^1\text{H}\}$ nmr'ları görülmektedir. Şekil 3.17'de **17** bileşığıne ait ^1H -nmr, $^{13}\text{C}-\{^1\text{H}\}$ -nmr (spin-echo), $^{13}\text{C}-\{^1\text{H}\}$ -nmr, $^{103}\text{Rh}-\{^1\text{H}\}$, FTIR ve kütle spektrumları görülmektedir.



Şekil 3.17. 17 bileşiğine ait; (a) ^1H -nmr, (b) ^{13}C -{ ^1H }-nmr spektrumları.



Sekil 3.17. 17 bileşigine ait; (c) $^{13}\text{C}-\{{}^1\text{H}\}$ -nmr (*spin-echo*),
 (d) $^{103}\text{Rh}-\{{}^1\text{H}\}$ spektrumları.



Şekil 3.17. 17 bileşiğine ait; (e) FTIR ve (f) kütle spektrumları.

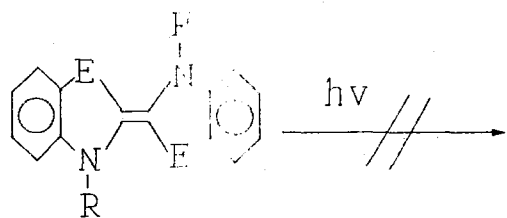
Şekil 3.17.(a)'da 17 bileşiğine ait ^1H -nmr spektrumunda COD'a ait hidrojenler dört ayrı yerde görülmektedir. Bu da COD'un Rh'a bağlanan çift bağlarının magnetik bakımdan özdeş olmadığını göstermektedir. Şekil 3.17.(b)'de 17 bileşiğine ait $^{13}\text{C}-\{^1\text{H}\}$ -nmr (spin-echo) ve $^{13}\text{C}-\{^1\text{H}\}$ -nmr spektrumu incelendiğinde Rh=karben 'e ait karbon piki 196.15 ppm de görülmektedir. Bu pikin spin-echo çalışmasında yok olması yapıyı kanıtlanmaktadır. İmidazolidin çekirdeği içeren bis(1,3-dibenzimidazolidin-2-iliden)'in benzer Rh(I) bileşliğinde Rh=karbene ait pik 213 ppm de görülmektedir⁶¹. 17 bileşiğine ait $^{13}\text{C}-\{^1\text{H}\}$ -nmr spektrumunda siklooctadiene ait olefinik karbonlar 68.37 ve 100.24 ppm de görülmektedir. Bu tür manyetik özdeşsizlik cis-[RhCl(COD)(L^R)], (L^R= 1,3-dietil-4-*i*-butilimidazolidin-2-en) bileşliğinde de görülmektedir. Bu bileşik için de siklooctadiene ait olefinik karbonlar 68.00 ve 95.00 ppm de görülmektedir⁶⁹. Kütle spektrumunda 17 bileşiğine ait moleküller iyon piki 393 olarak ve moleküller iyondan Rh, Cl ve COD ayrılması ile kalan 1,3-dimetilbenzimidazolidin-2-en'e ait *m/e*=147 piki olarak görülmektedir.

Tablo 3.15 18 Bileşiğine ait ^1H , $^{13}\text{C}-\{^1\text{H}\}$ ve $^{103}\text{Rh}-\{^1\text{H}\}$ -nmr spektrum verileri.

^1H -nmr*	: 3.57(s,me), 7.508m,ph)
$^{13}\text{C}-\{^1\text{H}\}$ -nmr*	: 35.06, 110.97, 124.77, 134.93, 179.90
$^{103}\text{Rh}\{^1\text{H}\}$ -nmr*	: 287.38

*Çözücü CDCl_3

3.13. Elektronca Zengin Olefinlerin Fotolizi



2a E=NMe, R=Me

2b E=NEt, R=Et

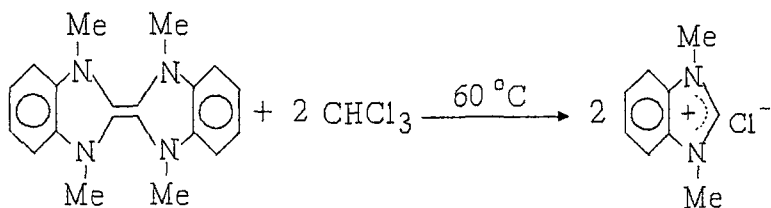
7 E=S, R=Me

2a, 2b ve 7 bileşiklerinin dietil eterdeki çözeltileri 10cm. uzaklıkta bulunan 400W'lık bir cıva lambası ile ilk önce 15st. ardından 100st. ışınlanarak sigmatropik çevrilmeye uğratılmak istendi. Ancak tepkime sonunda her üç olefinin de değişmeden kaldığı ^1H -n.m.r. spektrumlarından anlaşıldı. Sonuç olarak 2a, 2b ve 7 olefinlerinin bu şartlarda [1,3]-sigmatropik çevrilmeye uğramadıklarına karar verildi. E.z.o.'lerin fotoliz tepkimelerinde alkil grubu önemli rol oynamaktadır. Örneğin bis(1,3-dibenzil-imidazolidin-2-iliden), 8st. fotoliz edildiğinde sigmatropik çevrilme olmaktadır²⁶. Bis(1,3-dikrotilelimidazolidin-2-iliden) ise 5st. fotoliz edildiğinde tamami ile sigmatropik çevrilmeye uğramaktadır⁷⁰.

3.14. 2a Bileşiginin Proton Aktif Bileşiklerle Etkileştirilmesi

Literatür incelenecuk olursa e.z.o.'ler ile CHCl_3 'ün etkileştirilmesi sonucu kararlı 2-triklorometil-1,3-dialkil(veya aril)imidazolidin bileşikleri olduğu görülmektedir⁷¹. Bu bilgilerden hareketle, 2a bileşigi ile CHCl_3 etkileştirilerek 2-

triklorometil-1,3-dimetilbenzimidazolidin sentez edilmeye çalışıldı. Ancak literatür bilgilerinin aksine havaya çok hasas bir katı elde edildi. Katının ^1H , ^{13}C - $\{^1\text{H}\}$ ve ^{13}C - ^1H -nmr spektrumları ve element analizi sonucu yapısında CCl_3 grubunun olmadığı ve alınan spektrumların tamamıyla 1,3-dimetilbenzimidazolyum iyodür bileşiğine benzettiği tespit edildi.

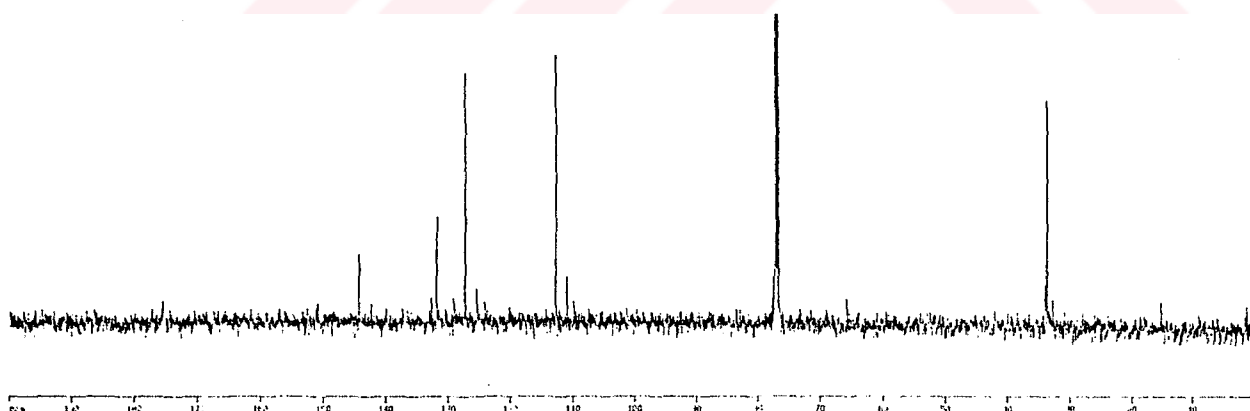
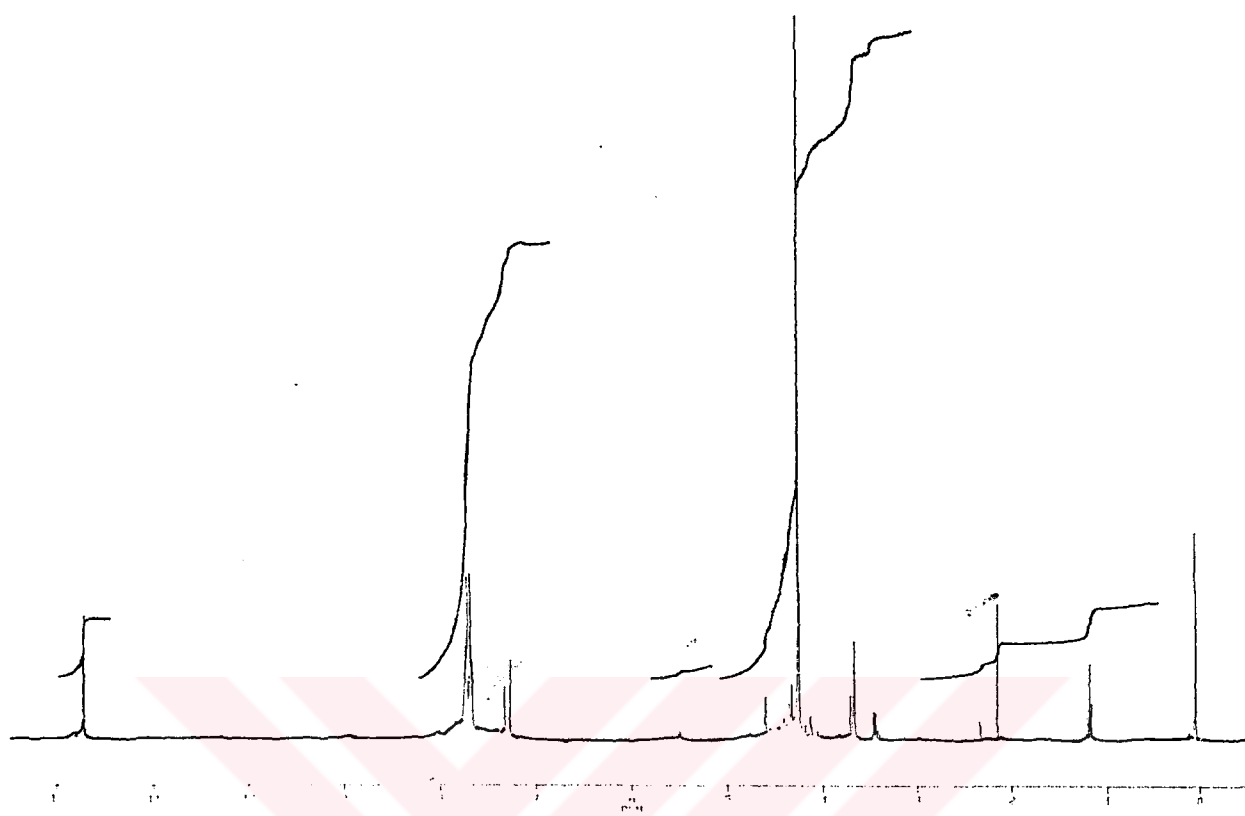


2a

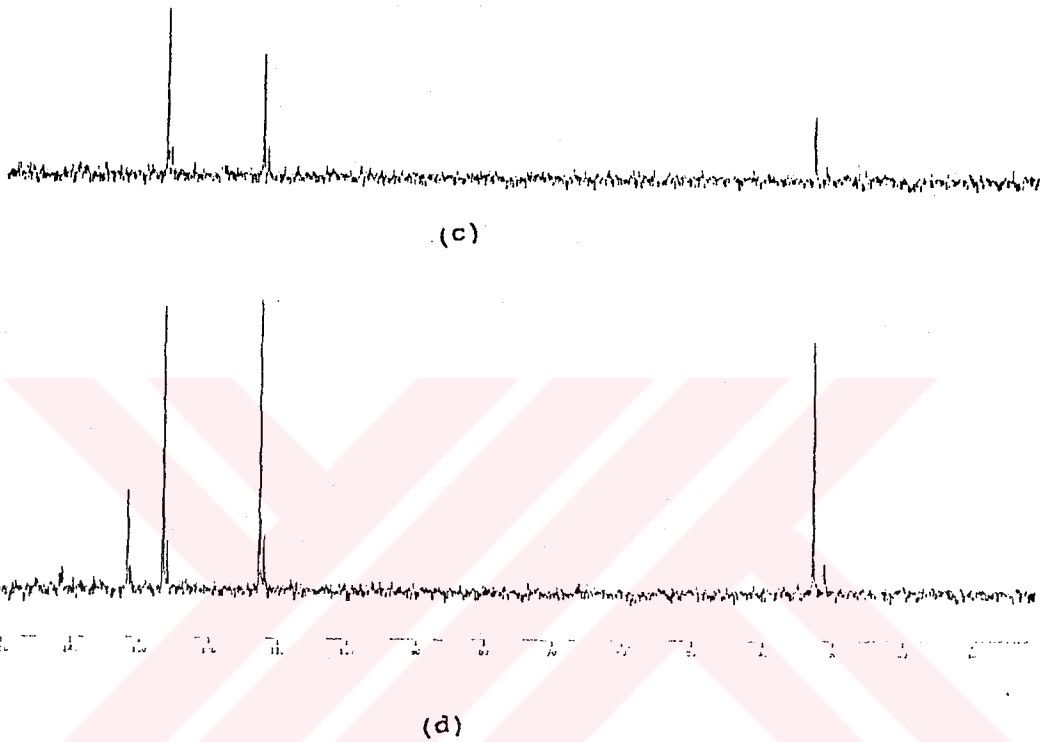
2-Triklorometil-1,3-dimetilbenzimidazolidin bileşiği Fransız kimyacısı J. Bourson tarafından da Wanzlick'ten esinlenerek, N,N'-dimetil-o-fenilendiamin ve kloraldan sentez edilmeye çalışılmış ancak sonuçta beklenen bileşik değil 1,3-dimetilbenzimidazolyum klorür bileşiğinin oluştuğu belirtilmiştir²⁸.

2a bileşiği ile CHCl_3 etkileştirilmesi sonucu ele geçen bileşiğe ait; kütle parçalanmaları m/e (şiddetleri) : $146(70, [\text{M}-1]^+)$ $132(20, [\text{M}-15]^+)$; $116(22, [\text{M}-30]^+)$

Şekil 3.18'de **2a** bileşığının CHCl_3 ile etkileştirilmesi ile ele geçen bileşiğe ait ^1H -nmr ve ^{13}C - $\{^1\text{H}\}$ -nmr spektrumları ile 1,3-dimetilbenzimidazolyum iyodür **1a** bileşигine ait ^{13}C - $\{^1\text{H}\}$ -nmr (*spin-echo*) ve ^{13}C - $\{^1\text{H}\}$ -nmr spektrumları karşılaştırma kolaylığı sağlama için sırasıyla verilmiştir.



Sekil 3.18. 2a bileşığının CHCl_3 ile etkileştirilmesi ile ele geçen bileşike ait; (a) ^1H -nmr ve (b) ^{13}C - $\{^1\text{H}\}$ -nmr spektrumları.



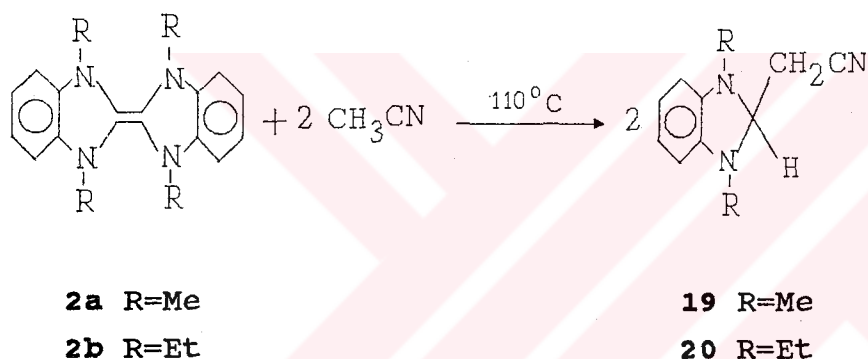
Şekil 3.18. 1,3-dimetilbenzimidazolyum iyodür 1a bileşiğine ait;
(c) $^{13}\text{C}-\{\text{H}\}$ -nmr (spin-echo) ve (d) $^{13}\text{C}-\{\text{H}\}$ -nmr spektrumları.

Şekil 3.18.'de 2a bileşiği ile CHCl_3 'ün etkileştirilmesi ile ele geçen bileşliğin CDCl_3 içinde alınmış (çözünürlüğü az olmasına karşın suda bozulması nedeni ile CDCl_3 kullanıldı) $^{13}\text{C}-\{\text{H}\}$ -nmr spektrumu ile 1a bileşığının D_2O içinde alınmış $^{13}\text{C}-\{\text{H}\}$ -nmr spektrumları karşılaştırıldığında bütün piklerin aynı ppm'de çıktıgı görülmektedir. Ayrıca 2a bileşığının CHCl_3 ile etkileşтирilmesinden beklenen CCl_3 'e ait pik $^{13}\text{C}-\{\text{H}\}$ -nmr spektrumunda bulunmamaktadır. Aynı durum kütle spektrumu verileri içinde

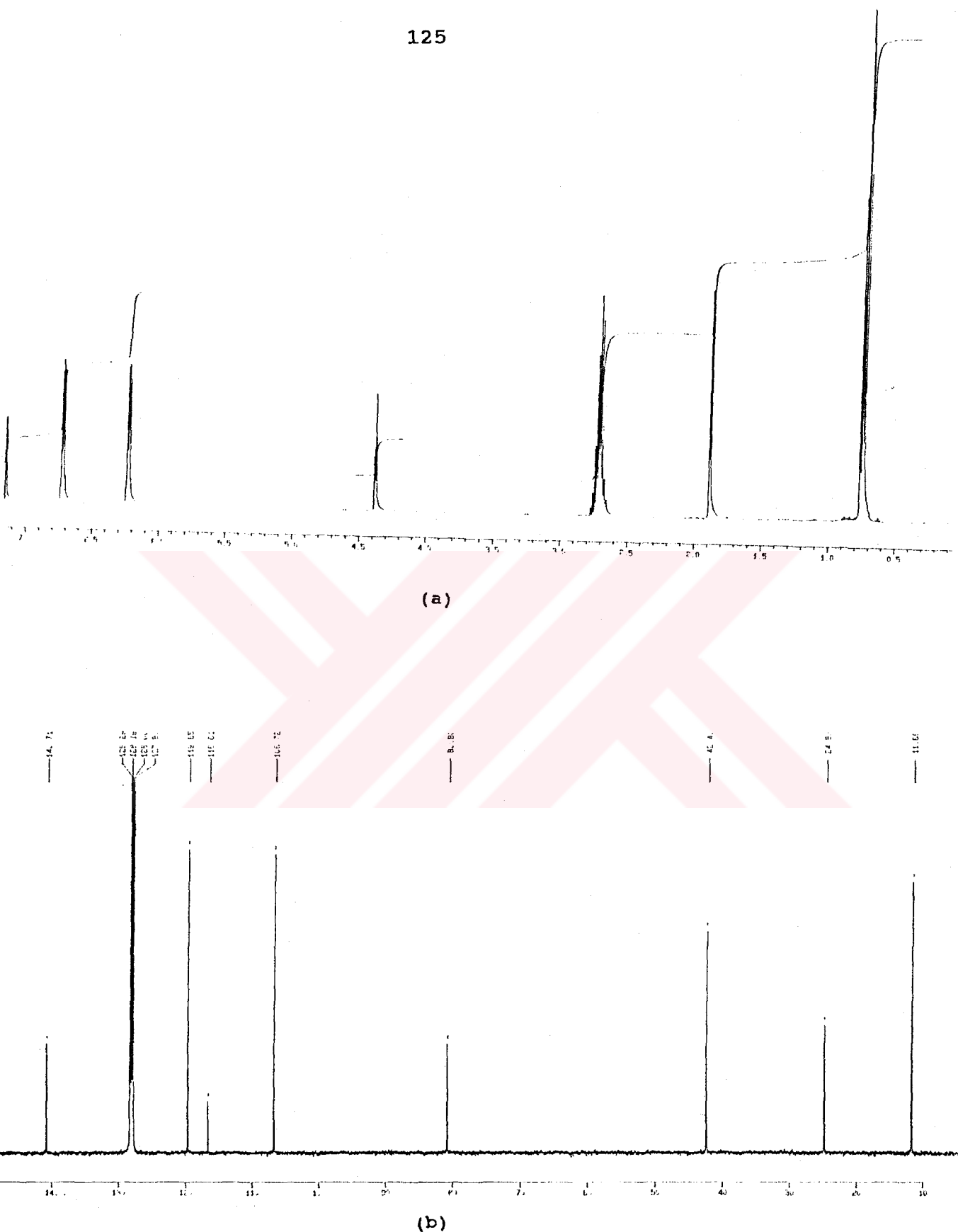
sözkonusudur.

Bis(1,3-dibenzylimidazolidin-2-iliden) CHCl_3 içinde 4 st. kaynatıldığında kolaylıkla 1,3-dibenzil-2-triklorometilimidazolidin vermektedir⁷¹. Oysa bu çalışmada kullanılan, benzimidazolidin çekirdeği içeren e.z.o.'ler CHCl_3 ile benzer ürün oluşturmamaktadır. Genellikle benzer özellikler sergileyen imidazolidin ve benzimidazolidin çekirdeği içeren olefinlerdeki bu değişiklik ilginçtir.

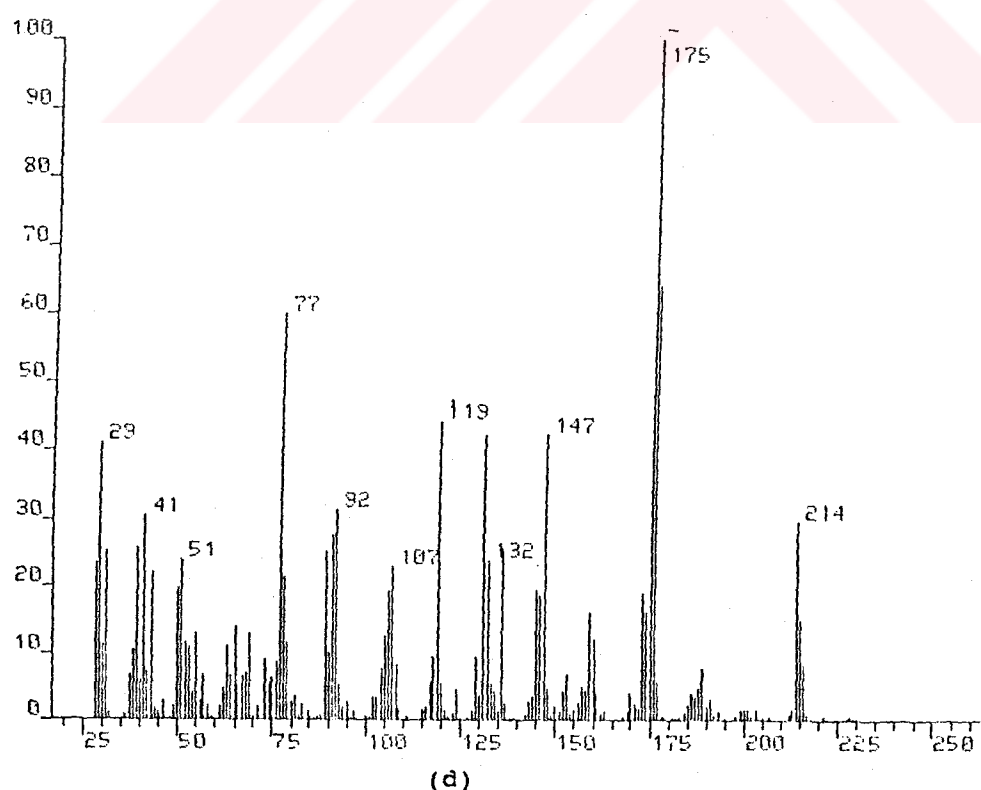
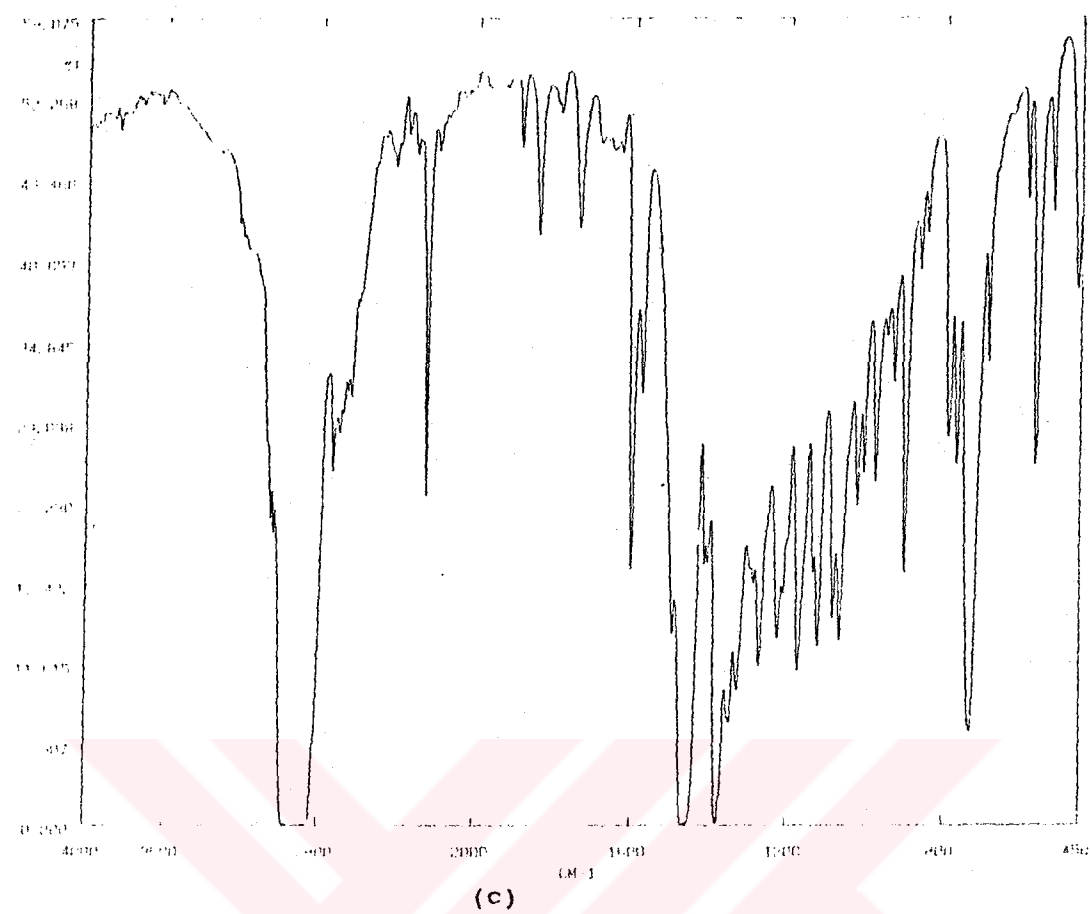
2a ve **2b** bileşiklerinin asetonitril ile etkileştirilmeleri sonucu bu olefinlerin 2-siyanometil-1,3-dialkilbenzimidazolidin türevleri ele geçti.



Bileşiklerin havanın nem ve oksijenine karşı kısmen hasas olduğu tespit edildi. Bu bileşiklerden 1,3-dietil-2-siyanometilbenzimidazolidin bileşigiden 1,3-dietil-2-(2-aminoethyl)benzimidazolidin bileşigine geçmek için LiAlH_4 ile indirgeme yapıldı. Ancak havada siyahlaşan kırmızı renkli yağ, saflaştırılarak istenen bileşik izole edilemedi. **2a** bileşiği akrilonitril ile de denendi. Burada asetonitril ile olan tepkimeden farklı olarak ekzotermik bir tepkime oluştu. Oluşan katının FTIR'ı alındığında 2100cm^{-1} civarında net olarak CN bandı görüldü. Ancak $^1\text{H-n.m.r.}$ spektrumu alındığında bileşigin polimerik bir yapıda olduğu kanısına varıldı. Şekil 3.19. da **20** bileşigine ait $^1\text{H-nmr}$, $^{13}\text{C}-\{\text{H}\}-\text{nmr}$, FTIR ve kütle spektrumları görülmektedir. **19** bileşigine ait spektroskopik veriler ise karşılaştırma kolaylığı açısından **20** bileşigine ait veriler ile birlikte tablo 3.16., 3.17. ve 3.18.'de verilmiştir.



Şekil 3.19. 20 bileşiğine ait; (a) ^1H -nmr, (b) ^{13}C - $\{-\text{H}\}$ -nmr, spektrumları.



Şekil 3.19. 20 bileşigine ait; (c) FTIR ve (d) kütle spektrumları.

Şekil 3.19.(a) da **20** bileşiğine ait ^1H -nmr spektrumu incelen- diğinde C^2- konumundaki hidrojene ait pik beklenildiği gibi triplet olarak 4.38 ppm de CN'e komşu metilene ait pik ise 1.88 ppm de dublet olarak gözükmeftedir. $^{13}\text{C}-\{^1\text{H}\}$ -nmr spektrumunda ise aynı pikler sırası ile 80.80 ve 24.83 ppm de çıkmaktadır. Şekil 3.19.(c) de **20** bileşiğine ait FTIR spektrumundan CN'ait pikin 2249cm^{-1} de çıktığı görülmektedir. Kütle spektrumunda moleküller iyon pik(M^+) 215 ve moleküller iyondan siyanometil grubunun ayrılması ile oluşan $m/e=175$ pik bulunmaktadır.

Tablo 3.16 Yeni e.z.o.'lerin CH_3CN türevlerine ait ^1H -nmr ve FTIR spektrum verileri.

Bileşik No	MeN	$\text{Me}-\text{CH}_2\text{N}$	$-\text{H}_2\text{CN}$	$-\text{CH}_2\text{CN}$	CH	Ph	$\nu(\text{c}=\text{o})\text{cm}^{-1}$	**
19*	2.16(s)	---	---	1.90(d)	3.62(t)	6.22-6.71(m)	2250	
20*	---	0.75(t)	2.70(q)	1.88(d)	4.38(t)	6.23-6.71(m)	2249	

*Çözücü C_6D_6

** nujolda alınmıştır.

Tablo 3.17 Yeni e.z.o.'lerin CH_3CN türevlerine ait $^{13}\text{C}-\{^1\text{H}\}$ spektrum verileri.

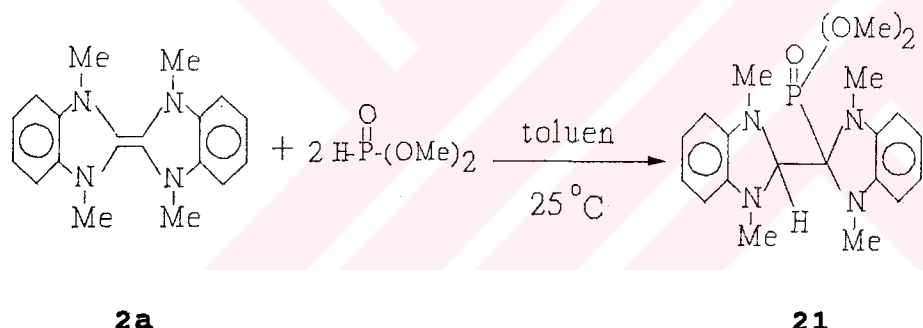
Bileşik No	MeN	$\text{Me}-\text{CH}_2\text{N}$	$-\text{H}_2\text{CN}$	$-\text{CH}_2\text{CN}$	CH	CN	Ph
19*	34.48	---	---	22.67	86.64	142.03 106.76, 116.22 120.04	
20*	---	11.60	42.40	24.83	80.80	140.70 106.72, 116.61 119.65	

*Çözücü C_6D_6

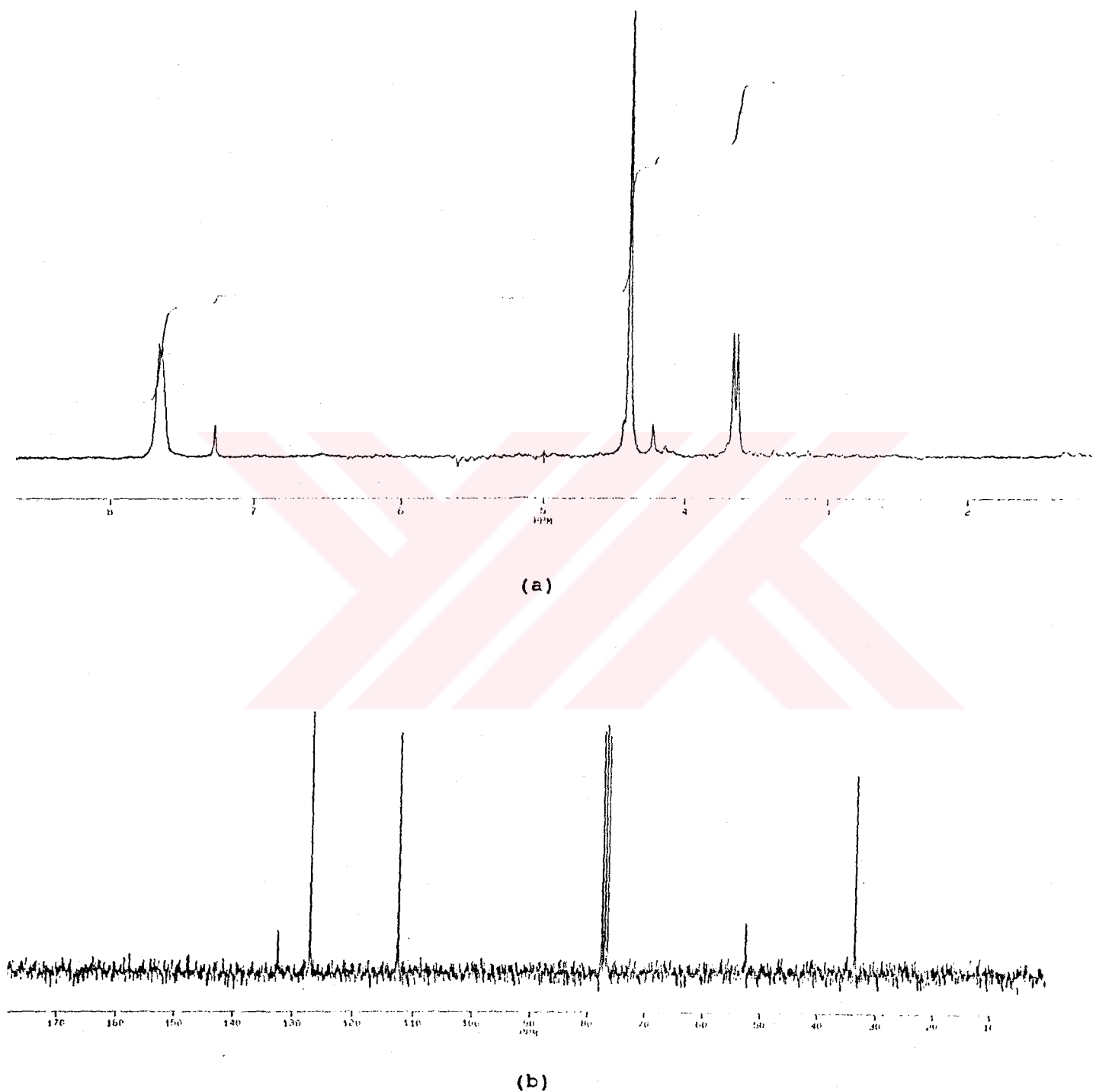
Tablo 3.18. Yeni e.z.o.'lerin CH_3CN ile verdiği türevlere ait kütle parçalanma değerleri.

Bileşik No	Kütle parçalanmalarım/e(şiddetleri)
19	187(75, M^+); 161(38, $[M-28]^+$); 148(72, $[M-39]^+$)
20	215(18, M^+); 214(32, $[M-1]^+$); 175(100, $[M-40]^+$)

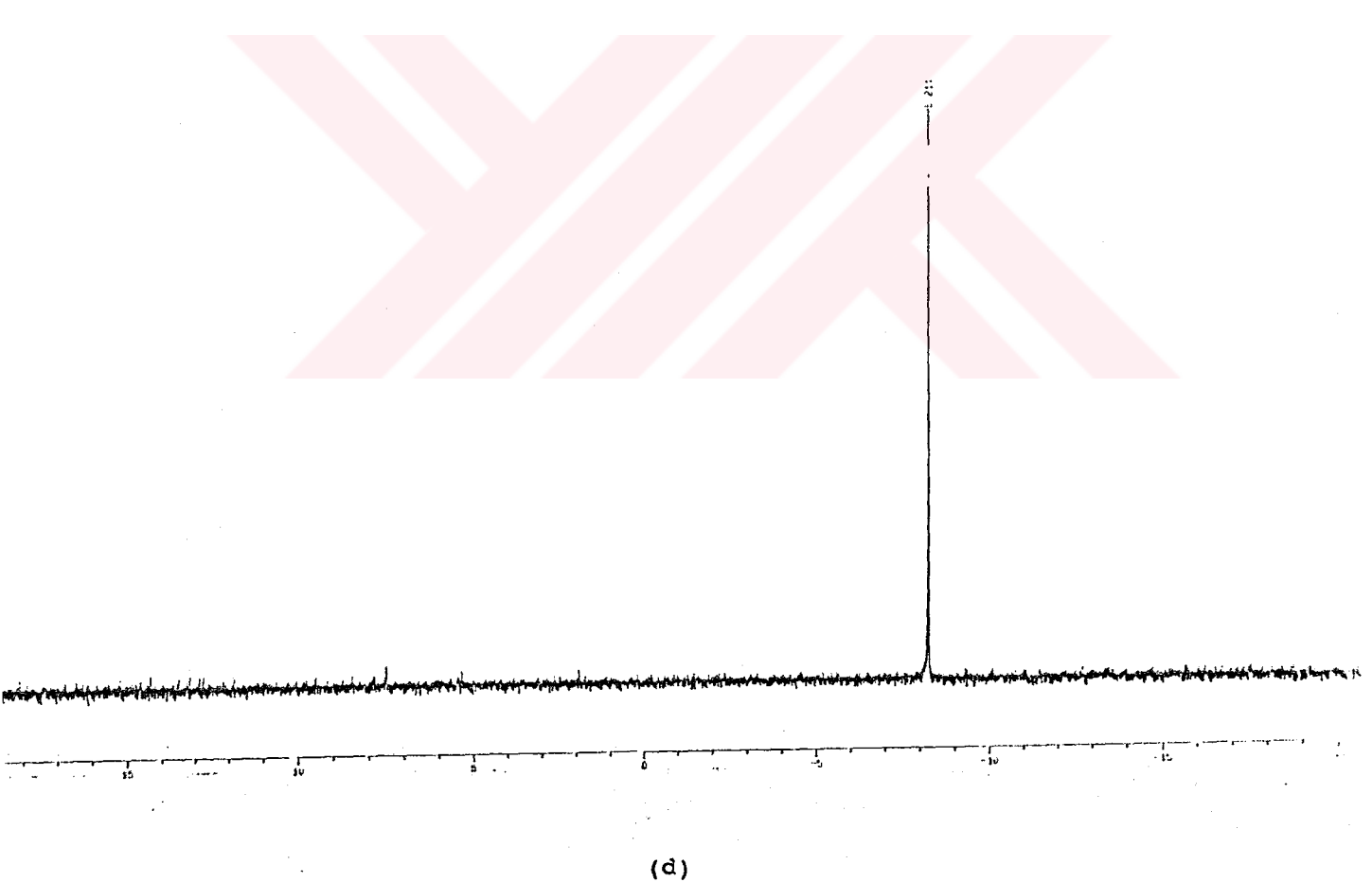
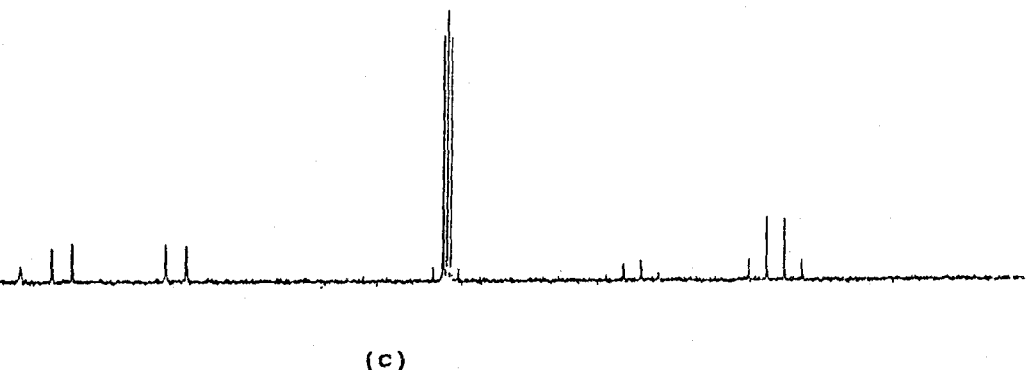
2a Bileşiğinin dimetil fosfit ile etkileştirilmesi sonucu beklenen 2-dimetoksifosfinil-1,3-dimetilbenzimidazolidin yerine havanın nem ve oksijenine karşı çok hassas katılma ürünü **21** ele geçti.



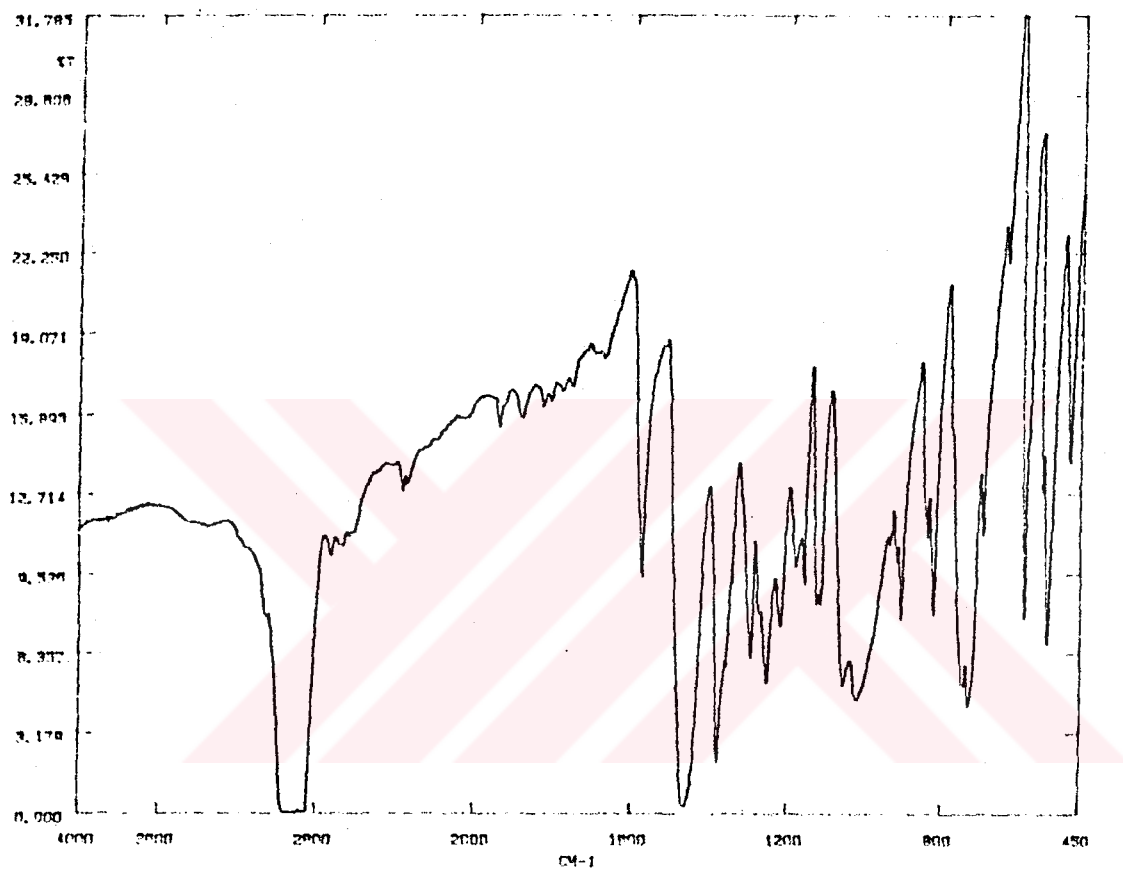
Aynı olefin dietil fosfit ile de benzer türev elde etmek amacıyla etkileştirildi. Ancak beklenen ürün 2-dietoksifosfinil-1,3-dimetilbenzimidazolidin bileşiği saflaştırılarak izole edilemedi. Şekil 3.20.'de **21** bileşiğine ait $^1\text{H-nmr}$, $^{13}\text{C}-\{^1\text{H}\}$, $^{13}\text{C}-^1\text{H}$, $^{31}\text{P-nmr}$, FTIR spektrumları görülmektedir.



Sekil 3.20. 21 bileşigine ait; (a) ^1H -nmr, (b) ^{13}C - $\{{}^1\text{H}\}$ -nmr spektrumları.



Şekil 3.20. 21 bileşığıne ait; (c) ^{13}C - ^1H ve (d) ^{31}P - nmr spektrumları.



(e)

Şekil 3.20. 21 bileşiğine ait; (e) FTIR spektrumu.

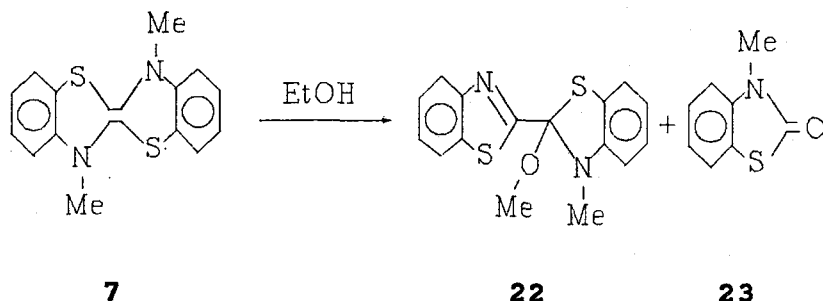
Şekil 3.20'deki ^1H -nmr spektrumunda fosfora bağlı metoksi grubuna ait metiller 3.66 ppm'de dublet olarak gözükmede C^2 - konumundaki tek hidrojen net olarak görülmemekle birlikte muhtemelen

7.25ppm'deki pike karşılık gelmektedir. $^{13}\text{C}-\{\text{H}\}$ -nmr spektrumunda her iki metil grubuna ait pik ve aromatik bölgeye ait pikler net olarak görülürken C^2 -konumuna ait pikler muhtemelen çözücü pikinin altında kalmıştır. Ve $^{13}\text{C}-\text{H}$ -nmr spektrumu bu durumu doğrular niteliktedir. $^{13}\text{C}-\text{H}$ -nmr spektrumu dikkatlice incelendiğinde aromatik bölge piklerinin birer dubletler dubleti halinde olduğu görülecektir. Bu da bileşiğin yapısının muhtemelen önerilen şekilde olduğunu göstermektedir. Bileşiğe ait $^{31}\text{P}-\{\text{H}\}$ -nmr spektrumunda, fosfor -8.212ppm de gelmektedir. Benzimidazol çekirdeği içeren **2a** e.z.o.'inde gözlenen π -bağına fosfit katılması imidazolidin çekirdeği içeren e.z.o.'lerde görülmemektedir. Örneğin, bis(1,3-difenilimidazolidin-2-iliden) alkil fosfitler ile etkileştiğinde 2-dialkoksifosfinil-1,3-difenilimidazolidin türevleri vermektedir⁷².

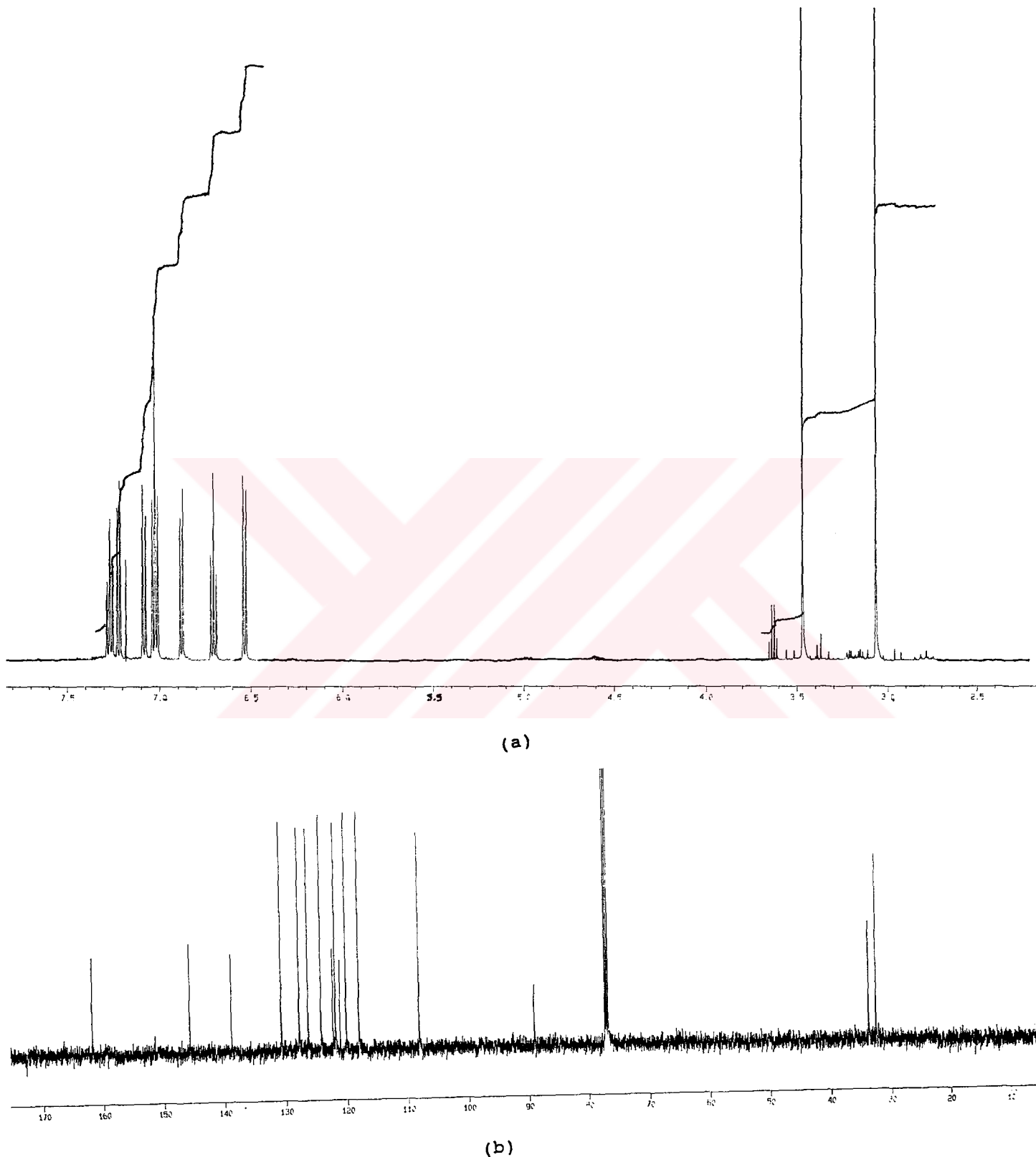
2a Bileşiğine organometalik bileşiklerin katılıp katılmadığını araştırmak amacı ile **2a**'nın toluendeki çözeltisine $(\text{Bu}^t)_3\text{SnH}$ eklenerek oda sıcaklığında 18st. ve 60°C 'ta 4st. karıştırıldı. Daha sonra kristallendirilen bileşiğin n.m.r. spektrumu alındığında, yalnız başlangıç bileşiği **2a** olduğu ve bu şartlar altında herhangi bir katılma ürünüğe dönüşüm olmadığı anlaşıldı.

Benzer şekilde **2a** bileşiğinin toluendeki çözeltisi $(\text{EtO})_3\text{SiH}$ ile 6st. oda sıcaklığında, 1st. $60-70^\circ\text{C}$ 'ta etkileştirildi. Daha sonra kristallendirilen bileşiğin n.m.r. spektrumu alındığında, yine başlangıç bileşiği **2a** olduğu ve bu şartlar altında $(\text{EtO})_3\text{SiH}$ 'ın **2a** bileşiği ile tepkime vermediği tespit edildi.

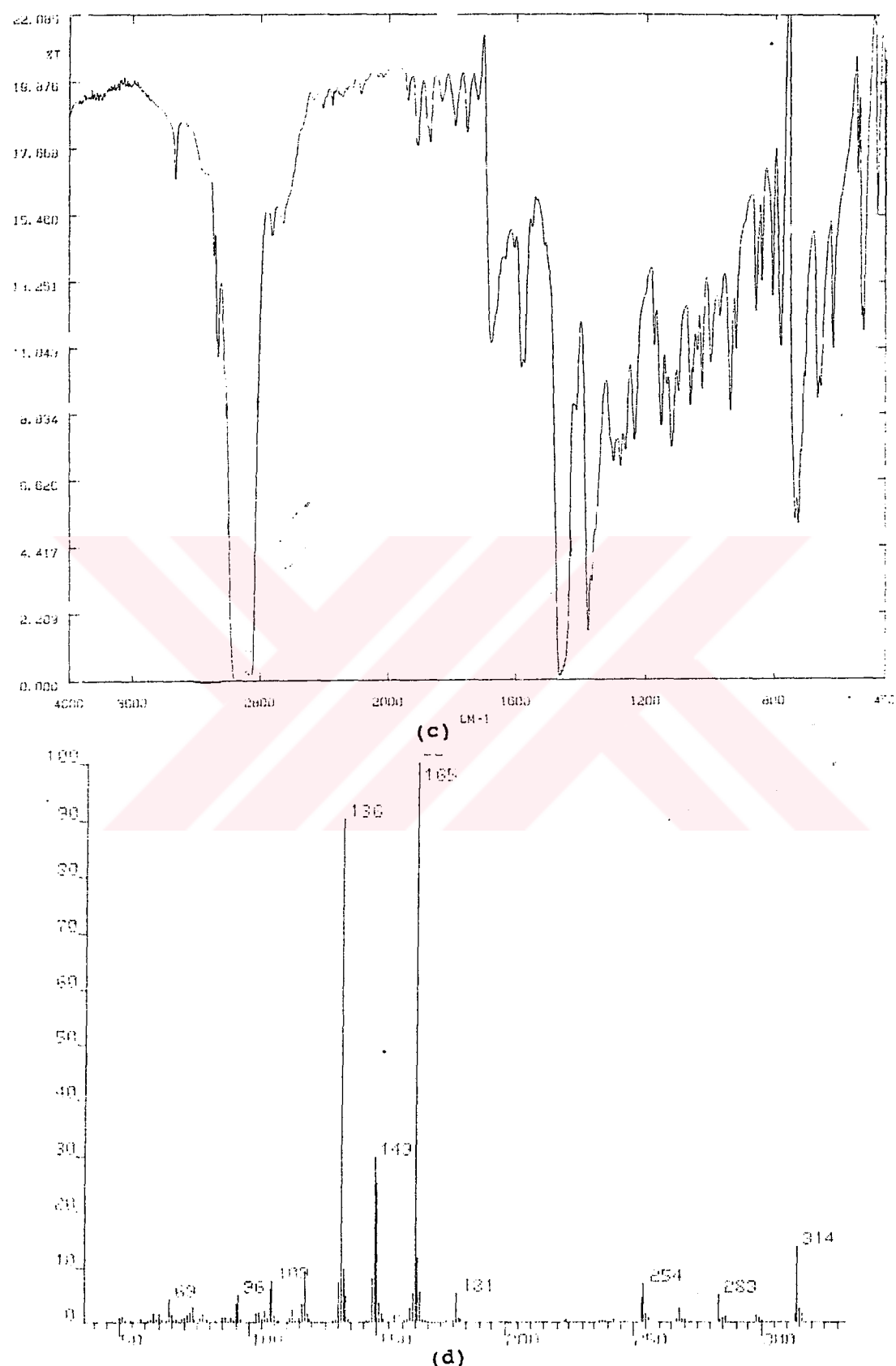
3.15. 7 Bileşiğinin EtOH ile Normal Atmosferde Etkileştirilmesi



7 Bileşiğinin etil alkol içinde normal atmosfer altında yarım saat ısıtılması ile olefinin metil gruplarından birtanesi havadan bir oksijen kaparak göç etmektedir. Bileşinin ^1H ve $^{13}\{-^1\text{H}\}$ -n.m.r.'larına bakılarak bileşinin [1,3]-sigmatropik çevrilmeye uğradığı sanıldıysa da, genellikle benzil, vinil, alil, krotil gibi gruplar taşıyan olefinlerde [1,3]-sigmatropik çevrilme olduğundan^{15,26,73,74} ve bugüne kadar Me grubu içeren bir e.z.o.'in sigmatropik çevrilme ürününe rastlanmadığından kuşkuyla karşılandı. Gerçekten kütle spektrumu yapıda oksijenin de olduğunu kanıtladı. Böylece Me grubu içeren 7 türündeki bir e.z.o. literatürde rastlanmayan değişik bir tarzda [1,3]-sigmatropik çevrilmeye uğramıştır. Bu tepkime esnasında doğal olarak bir miktar da, 7 bileşinin havadaki bozunma ürünlerinden başlıcası olan 23 bileşigi yan ürün olarak oluştu. Şekil 3.21.'de 22 bileşigine ait ^1H -nmr, $^{13}\text{C}\{-^1\text{H}\}$ -nmr, FTIR ve kütle spektrumları görülmektedir.



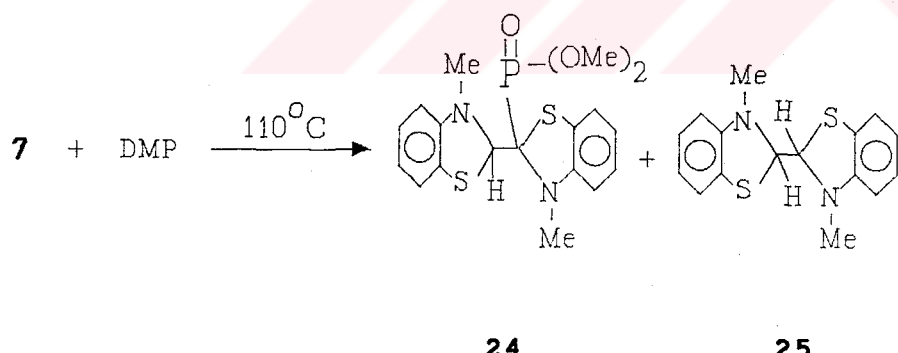
Şekil 3.21. 22 bileşiğine ait; (a) ^1H -nmr ve (b) $^{13}\text{C}\{\text{H}\}$ -nmr, spektrumları.



Şekil 3.21. 22 bileşiğine ait; (c) FTIR ve (d) kütle spektrumları.

Şekil 3.21.(a)'da **22** bileşidine ait ^1H -nmr spektrumu incelendiğinde iki farklı metil piki ve molekül simetrisinin bozulmasından dolayı aromatik bölgede çok sayıda pik görülmektedir. Aromatik bölgedeki çok sayıda görülen pik magnetik bakımdan birbirine çok yakın ancak özdeş olmayan karbonları göstermektedir ve buda bu göçü doğrulamaktadır. Şekil 3.21.(b) de $^{13}\text{C}-\{^1\text{H}\}$ -nmr spektrumunda iki farklı metil 32.51 ve 33.74 ppm de çıkmaktadır. Diğer onbeş farklı karbona ait pikin ondört tanesi görülmektedir. Karbona ait görülmeyen bir pik ise diğer bir karbon piki ile manyetik özdeşlik nedeni ile çakışmıştır. Şekil 3.21.(d) de **22** bileşidine ait kütle spektrumunda moleküller iyon piki(M^+) 314, molekülden metoksi ayrılmasını kanıtlayan 283 piki ve molekülün bir yarısına ait 149 piki görülmektedir.

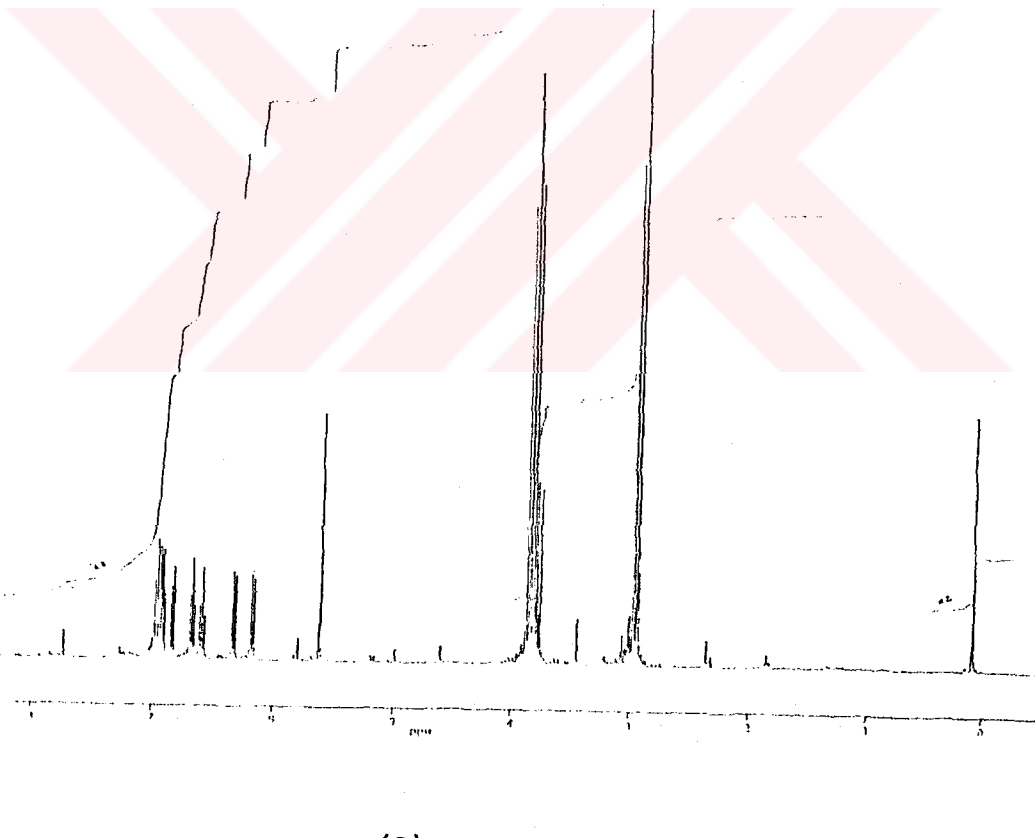
Bis(3-metilbenzotiyazolidin-2-iliden), **7**, ve dimetil fosfitin(DMP) toluen içinde kaynatılması ile **24** nolu bileşik ele edildi.



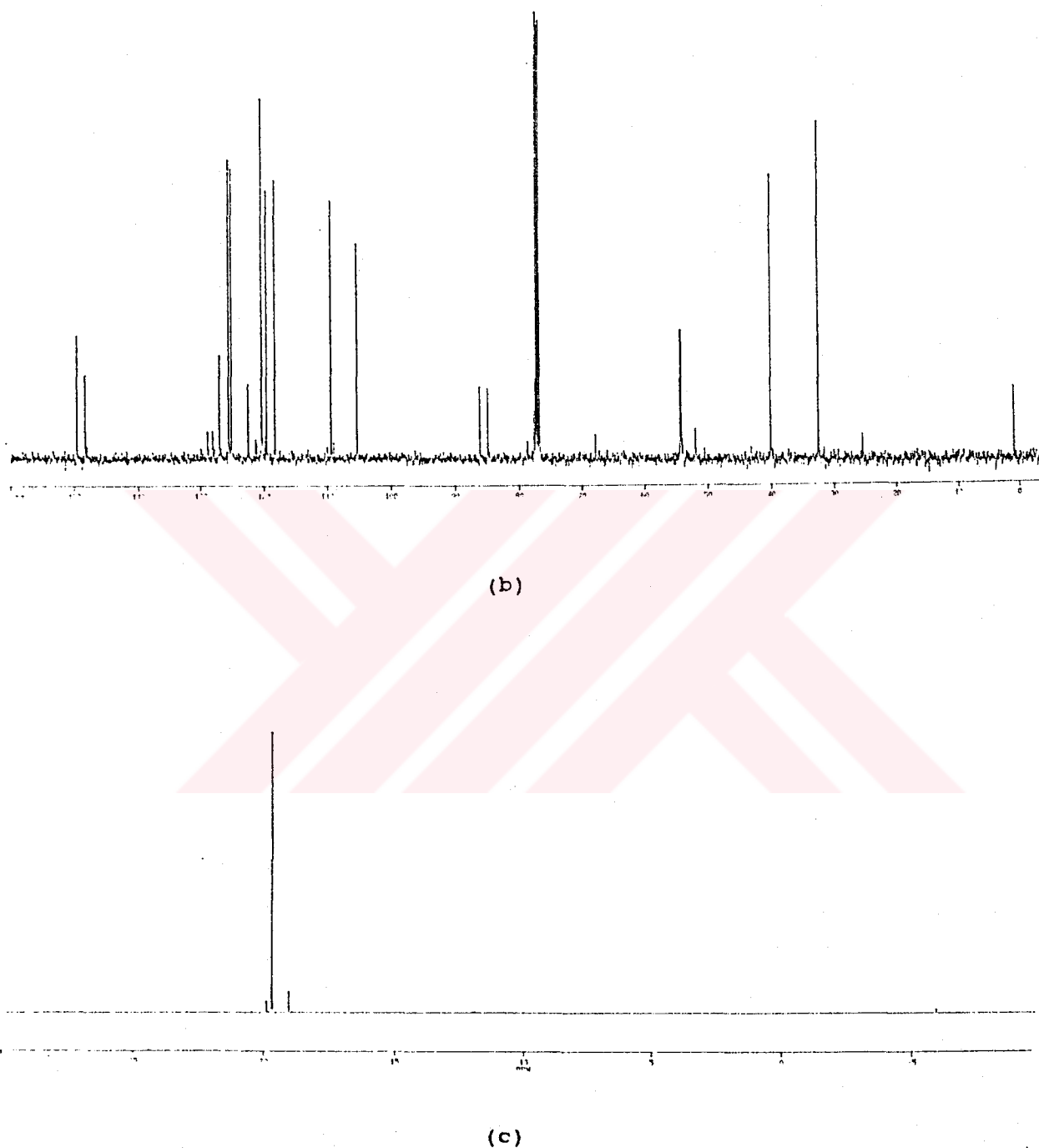
Bu tepkimede beklenen ürün, 2-dimetoksifosfinil-3-metilbenzotiyazolidin bileşidiydi. Çünkü daha önceki bir çalışmamızda²³, bis(3-metilbenzotiyazolidin-2-iliden), **7**, ile dietil fosfitin benzer şartlarda etkileştirilmesiyle 2-dietoksifosfinil-3-metilbenzotiyazolidin bileşigi sentezlenerek karakterize edilmiştir. **24** Bileşigi ile 2-dietoksifosfinil-3-metilbenzotiyazolidin bileşigi karşılaştırıldığında **24** bileşiginin havanın nem ve

oksjenine karşı biraz daha az duyarlı olduğu tespit edildi.

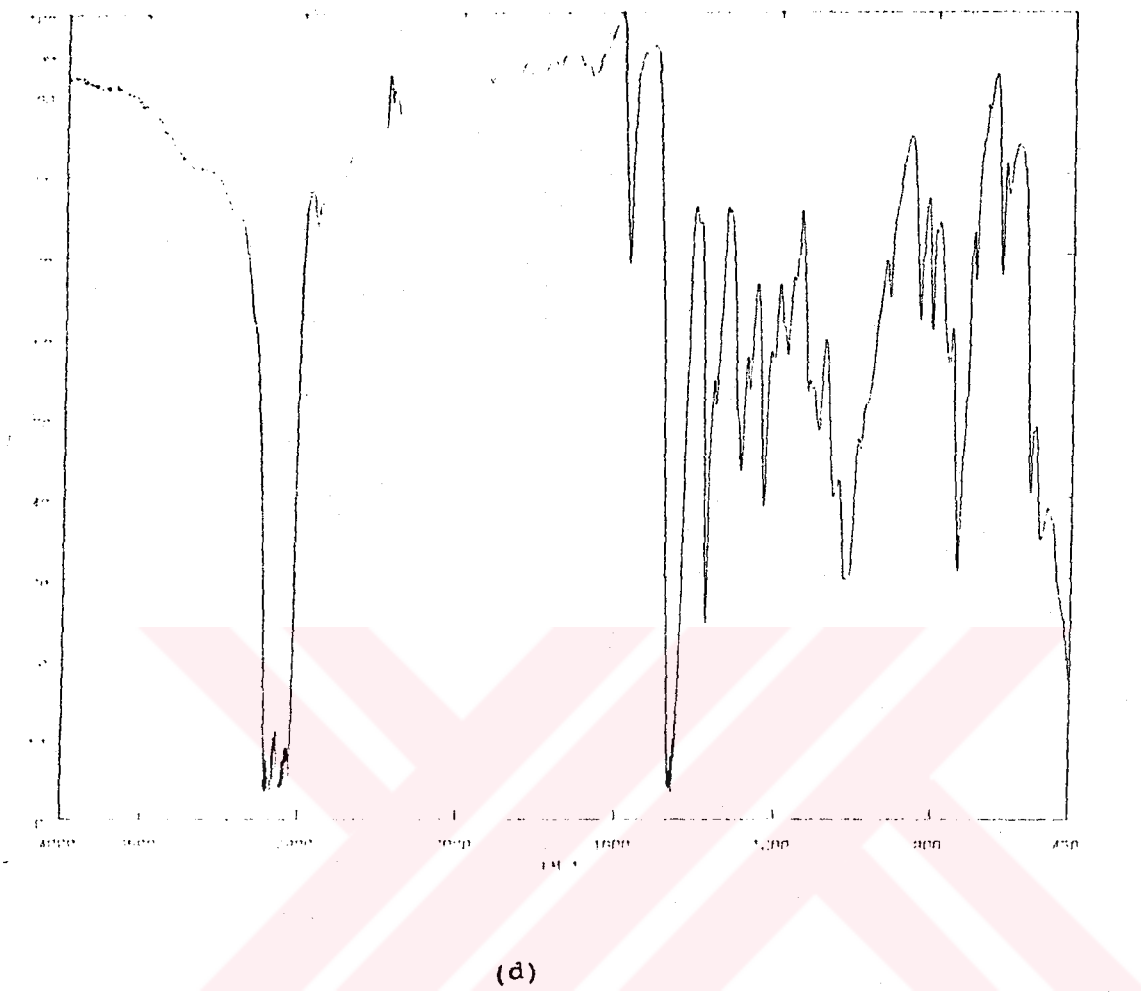
24 Bileşiği oluşturken az miktarda da bis(3-metilbenzotiazolidin-2-il),**25**, bileşiği yan ürün olarak izole edilerek karakterize edildi. **25** Bileşiğinin ana ürün **24** bileşigidinden dimetil fosfit grubunun ayrılması ile oluştüğü sanılmaktadır. Şekil 3.22'de **24** bileşигine ait ^1H , $^{13}\text{C}-\{\text{H}\}$, $^{31}\text{P}-\{\text{H}\}$ -nmr ve FTIR spektrumları ile tablo 3.19'da **25** bileşigine ait ^1H -nmr ve kütle spektrum verileri görülmektedir.



Şekil 3.22. **24** bileşigine ait; (a) ^1H -nmr spektrumu.



Şekil 3.22. 24 bileşигine ait; (b) $^{13}\text{C}-\{\text{H}\}$ ve (c) $^{31}\text{P}-\{\text{H}\}$ -nmr spektrumları.



Şekil 3.22. 24 bileşигine ait; (d) FTIR spektrumu.

Şekil 3.22.'de 24 bileşigine ait ^1H -nmr spektrumu incelendiğinde ^1H -nmr spektrumu incelendiğinde 3ppm de fosfora bağlı metoksi grupları dublet halinde 3.8ppm'de ise bir dublet birde singlet olarak NMe'ler görülmektedir. Bunlardan birisi fosfora yakınlığından dolayı dublet halindedir. C²-konumundaki tek hidrojen ise 5.7ppm civarında singlet olarak görülmektedir. $^{13}\text{C}-\{{}^1\text{H}\}$ -nmr spektrumunda ise üç ayrı metil piki 32.49, 40.05 ve 54.12ppm de görülmektedir. $^{31}\text{P}-\{{}^1\text{H}\}$ -nmr spektrumunda fosfora ait pik singlet olarak 19.89ppm de çıkmaktadır.

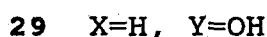
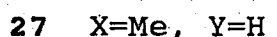
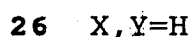
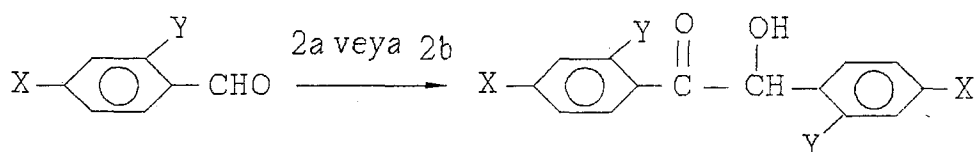
Tablo 3.19. 25 bileşiğine ait ^1H -nmr ve kütle spektrum verileri.

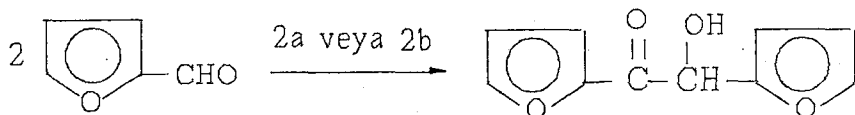
^1H -nmr* : 3.22(s,Me), 3.85(d,CH), 6.50-7.20(m,Ph)
m/e (şiddetleri) : 300(12, M^+); 150(100, $[\text{M}-150]^+$)

*Çözücü CDCl_3

3.16. Elektronca Zengin Olefinlerin Benzoin ve Asetoin Tepkimelerindeki Katalitik Rolleri

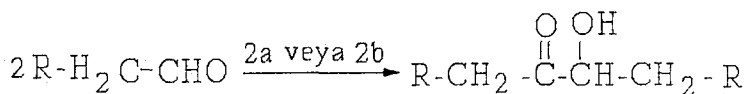
İmidazolidin çekirdeği içeren e.z.o.'lerin benzoin tepkimelerinde katalitik rol oynadığı bilinmektedir^{11,69}. Fakat benzimidazolidin çekirdeği içeren e.z.o.'lerin kendilerinin de yeni olması nedeni ile benzoin türü tepkimelerdeki katalitik rolleri araştırılmıştır. Bu nedenle hem benzimidazolidin çekirdeği içeren yeni e.z.o.'lerin benzoin türü tepkimelerinde katalitik etkilerinin olup olmadığını hem de imidazolidin çekirdeği ve benzotiyazolidin çekirdeği içerenler ile karşılaştırma yapabilmek için bu çalışma yapıldı. Sonuç olarak benzimidazolidin çekirdeği içeren e.z.o.'ler ile imidazolidin çekirdeği içerenler arasında çok büyük bir fark olmamakla birlikte benzimidazolidin çekirdeği içerenlerin daha kısa sürelerde ve daha yüksek verimle benzaldehit ve türevlerini benzoin türü ürünlere dönüştürdüğü tespit edildi.





31 furfural

31a furoin



32 R=Ph

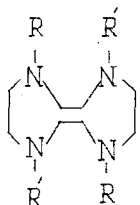
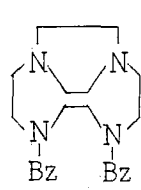
33 R=Et

34 R=H

34a Asetoin

Benzotiyazolidin çekirdeği içeren 7 ile benzimidazolidin çekirdeği içeren olefinleri kıyaslayacak olursak; benzimidazolidin çekirdeği içerenlerin 7 e.z.o.'nine göre mükemmel bir benzoin katalizörü olduğu söylenebilir.

E.z.o.'leri asetoin tepkimesindeki katalitik rollerinin olup olmadığını ilk kez M.F. Lappert ve R.K. Maskell imidazolidin çekirdeği içeren e.z.o.'ler kullanarak denemişler ancak sonuç alamamışlardır¹¹. Daha sonra tarafımızdan yapılan bir çalışmada bis(3-metilbenzotiyazolidin-2-iliden), 7' kullanılarak ilk kez ve tablo 3.20'de görülen verimlerle asetoin sentez edildi²³. Bu bilgilerin ışığında bazı imidazolidin çekirdeği içeren e.z.o.'ler (35, 36a, 36b) yeniden denendi.



Sonuçta denenen **36a**, **36b** ve **35 e.z.o.**'lerinden sadece bis(1,3-dibenzilimidazolidin-2-iliden), **36a**'nın katalitik etki gösterdiği tespit edildi. **36a** ile 7 bileşiği asetoin tepkimesi bakımından karşılaştırılırsa, 7 bileşiği 130°C ve 1.5st. gibi kısa bir zamanda %85 verimle asetaldehit asetoin'e çevirirken **36a** oda sıcaklığında ancak 24 st. gibi uzun bir zamanda %56 verimle asetaldehit asetoin'e çevirmektedir. Ancak imidazol halkası içeren e.z.o., **36a**'nın α -hidrojen taşıyan asetaldehit kondenzasyona uğratması önemlidir.

Tablo 3.21. L_2^{SMc} bileşiginin katalitik etkisi ile elde edilmiş asetoin verimleri ve tepkime koşulları.

Aldehit cinsi	Katalizör miktarı (%mol)	Çözücü	Sıcaklık/süre ($^{\circ}\text{C}/\text{dk}$)	Verim (%)
Asetaldehit*	0.50	---	130/90	31
"	0.92	---	130/90	60
"	0.95	Et_2O	130/90	05
"	0.95	toluen	130/90	05
"	0.95	toluen+MeOH	130/90	00
"	1.00	DMSO	130/90	75
"	2.00	DMSO	130/90	79
"	2.50	DMSO	130/90	84
"	3.00	DMSO	130/90	85

* Tepkimeler argon atmosferinde ve otoklav içerisinde yapılmıştır.

2a ve **2b** olefinlerinin asetoin kondenzasyon tepkimelerinde katalitik rollerinin olup olmadığı da araştırıldı. Bunun için de **2a** ve **2b** olefinleri ile asetaldehit bir kez(% 1 mol oranında) oda sıcaklığında kuru buz soğutucusu altında 12st, bir kez de % 1 mol **2a** ile otoklavda 130°C ve 80atm. basınçta etkileştirildi. Ancak her iki durumda da kondenzasyon ürünü asetoin elde edilemedi. Otoklav deneyi sonucunda polimerik yağışlı bir kalıntı ele geçti.

Tiyazol halkası içeren 7 e.z.o.'inin yüksek verimle (%85) asetoin oluşturulması, buna karşılık 2a ve 2b 'nin asetoin kondenzasyonunda hiç aktivite göstermemesi tiyazol halkasının bu tepkimede çok önemli rol oynadığını göstermektedir. Nitekim, asetoinin canlı bünyesinde pirüvik asitten oluşumunda katalitik etki gösteren koenzim(tiyamin pirofosfat dekarboksilaz) tiyazol halkası içermektedir⁷⁵. Tiyazol halkasının benzoin türü aldehitlerin kondenzasyonunda da önemli rol almaktadır^{23,76}.

Tablo 3.21.'de yeni e.z.o.'lerin benzoin ve asetoin tepkimelerindeki katalitik rollerine ilişkin veriler görülmektedir.

Tablo 3.22. Benzoin ve asetoin kondenzasyon tepkimelerine ait veriler.

Alken	Aldehit	Katalizör oranı(%mol)	Sıcaklık/süre (°C/dk)	e.n./k.n. (°C)	Verim (%)
2a	26	1	20/1	133	kantitatif
2b	26	1	20/1	133	97
2a	27	1	100/10	86-87	60
2b	27	1	100/10	86-87	56
2a	28	1	20/1	110-112	70
2b	28	1	20/1	110-112	66
2a	29*	1	110/60	160-165	85
2b	29*	1	110/60	160-165	78
2a	31	1	20/1	138-140	90
2b	31	1	20/1	138-140	80
36a	34	2	20/720	138/1atm.	51
36a	34	2	20/1440	138/1atm.	56
36a	34	2	20/1800	138/1atm.	56
36a	34	0.75	20/720	---	--
36b	34	1	20/720	---	--
35	34	1	20/720	---	--

*Çözücü olarak toluen kullanıldı.

GENEL SONUÇ

1.Bölümden anlaşılacığı gibi e.z.o.'ler ile ilgili çalışmalar, imidazolidin ve benzotiyazolidin çekirdeği içerenler üzerine yoğunlaşmıştır. Literatürde benzimidazolidin çekirdeği içeren e.z.o.'lere rastlanmamaktadır. Bu nedenle çalışmanın birinci amacı olan benzimidazolidin çekirdeği içeren e.z.o.'lerden bis(1,3-dimetilbenzimidazolidin-2-iliden),**2a**, bis(1,3-dietilbenzimidazolidin-2-iliden),**2b**, izole edilerek spektroskopik ve kimyasal özellikleri incelendi. Bis(1-metil-3-etilbenzimidazolidin-2-iliden),**2c**, sentez edildi ancak kristallendirilemedi. Bununla birlikte **2c**'ye ait bir çok türev hazırlanarak özellikleri incelendi. Benzil grubu içeren bis(1,3-dibenzilbenzimidazolidin-2-iliden),**2d**, ve bis(1-metil-3-benzilbenzimidazolidin-2-iliden),**2e**, debenzilasyon nedeni ile izole edilemezken, özellikle **3d**'ye ait olan bir çok türevler hazırlandı ve spektroskopik ve kimyasal özellikleri incelendi.

E.z.o.'ler sentezlendikten sonra çeşitli bileşiklerle etkileştirilerek çalışmanın ikinci amacı olan çok sayıda sübsttitüye benzimidazoller hazırlandı.

Çalışmanın bir diğer amacı, yeni olefinlerin benzoin ve asetoin tepkimelerinde katalitik etkilerinin araştırılarak imidazolidin çekirdeği içerenler ile karşılaşmaktadır. Bu nedenle yapılan çalışmalarda **2a** ve **2b**'nin mükemmel benzoin katalizörü olduğu ispatlandı. Ayrıca bis(1,3-dibenzil-imidazolidin-2-iliden) olefininin orta derecede bir asetoin katalizörü olduğu anlaşıldı.

KAYNAKLAR

- 1 E.Çetinkaya, *Doğa TU Kimya D.* 12, 31 (1988).
- 2 J.Hocker and R. Merten, *Angew. Chem. Int. Ed. Engl.* 11, 964 (1972).
- 3 N.Wiberg, *Angew.Chem.,Int. Ed. Engl.* 7, 766 (1968).
- 4 B. Çetinkaya, E.Çetinkaya, M.F. Lappert, *J.Chem.Soc.Dalton.* 1827 (1974).
- 5 J. Hocker, H.Giesecke and R. Merten., *Angew. Chem. Int. Ed. Engl.* 15, 169 (1976).
- 6 B. Çetinkaya, A. Hudson, M.F. Lappert et al. *J.Chem.Soc.Chem.Commun.* 609 (1982).
- 7 M.Weidenbruch, K.Kramer, A.Schäfer, J.K. Blum, *Chem. Ber.* 118, 107 (1985).
- 8 R.L. Pruett,J.T. Barr, K.E. Rapp et al., *J. Amer. Chem. Soc.* 72, 3646 (1950).
- 9 F. Roeterdink, J.W. Scheeren and W. H. Laarhoven, *Tetrahedron Lett.* 24, 2307 (1983).
- 10 H. E. Winberg, J.R. Downing, D.D. Coffman, *J. Amer. Chem. Soc.* 2054 (1965).
- 11 M.F.Lappert,R.K.Maskell,*J.Chem.Soc.Chem.Commun.* 580 (1982).
- 12 H.W. Wanzlick, E. Schikora, *Chem.Ber.* 72, 494 (1960).
- 13 H.W. Wanzlick, E. Schikora, *Chem.Ber.* 94, 2389 (1961).
- 14 H.W. Winberg,J.E. Carnahan, D.D.Coffman, M. Brown, *J.Amer.Chem.Soc.* 87, 2055(1965).
- 15 E.Çetinkaya, "Bis(1,3-Dibenzylimidazolidinilid-2-en)'in Oluşumu Ve Özelliklerinin İncelenmesi" Doçentlik Tezi İnönü Üniv, Malatya, 1983.
- 16 E. Çetinkaya,P.B.Hitchcock, H.A.Jasim,M.F. Lappert and Kostas Spyropoulos,*J.Chem.Soc.Perkin Trans.1*,561(1992).
- 17 B. Çetinkaya et al., *J.Chem.Soc.Chem.Commun.* 1370 (1971).
- 18 Y. Nakato et al., *Bull. Chem.Soc. Japan.* 45, 1299 (1972).

- 19 D. J. Cardin, M.J. Doyle, M.F. Lappert, *J.Chem. Soc. Chem.Commun.* 927 (1972).
- 20 D.J.Cardin, B.Çetinkaya, M.F.Lappert, Lj. Manojlovic-Muir, K.W.Muir, *Chem.Commn.* 400 (1971).
- 21 H.W. Wanzlick, H.J.Kleiner, *Chem.Ber.* 96, 3024 (1963).
- 22 J.Hocker and R. Merten, *Angew. Chem. Int. Ed. Engl.* 11, 964 (1972).
- 23 H.Küçükbay, "Elektronca-Zengin Olefinler Ve Tepkimeleri" Yüksek Lisans Tezi, İnönü Üniversitesi, Malatya, 1988.
- 24 J.E. Baldwin and A.Walker, *J.Amer.Chem.Soc.* 96, 586 (1974).
- 25 J.A.Chamizo, "N-Functionalised Electron-Rich Olefines: Preparation, Characterisation And Some Reactions, Including Aspects Of Their Transation-Metal Chemistry" Ph.D.Thesis, University of Sussex, Brighton, 1986.
- 26 E. Çetinkaya, Yayınlanmamış çalışmalar.
- 27 J.Bourson, *Bull.Soc.Chim.France.* 10, 3541 (1971).
- 28 J.Bourson, *Bull.Soc.Chim.France.* 1, 152 (1971).
- 29 J.Thompson, *Immunol.* 55, 345 (1947).
- 30 Roeder and Day, *J.Org.Chem.* 6, 25 (1941).
- 31 A. Pinelli, S. Trivulzio, L. Malvezzi, G. Rossoni and L. Beretta, *Arzneim.-Forsch./Drug Res.* 39, 467 (1989).
- 32 J.G.P. Hutchison et al., *J.British.Med.* 2, 309 (1975).
- 33 S. Abuzar, S. Sharma, P.K.S. Visen, S. Gupta and J.C. Katiyar, *Arzneim.-Forsch./Drug Res.* 36, 416 (1986).
- 34 K.Freter, V. Fuchs, E. Barsumian and J.T.Oliver, *Arzneim.-Forsch./Drug Res.* 35, 272 (1985).
- 35 G.L. Matevasyan, R.M. Matyushicheva and P.M. Zavlin, *Zh.Obsc. Khim.* 48, 928 (1978).
- 36 G.L. Matevasyan, P.M.Zavlin, *Zh.Obsc.Khim.* 52, 1441 (1978).
- 37 J. Korman, *J.Org.Chem.* 23, 1768 (1958).

- 38 H.Küçükbay, E.Çetinkaya, B.Çetinkaya, V.Kimya ve Kimya Mühendisliği Simpozyumu, Haccettepe Üniversitesi. Ankara, 178 (1988).
- 39 B.S.Furniss et al., "Vogel's Textbook of Practical Organic Chemistry", 4th.Ed. 1978.
- 40 A.F. Pozharskii and A.M.Simanov, Zh.Obsch.Khim. 33, 179 (1963).
- 41 W. Mauss, K.V. Auwers, Chem. Ber. 61, 2411 (1928).
- 42 O. Fischer, Chem. Ber. 320 (1905).
- 43 41 Nolu referanstan yararlanılarak, değişik bir tarzda sentez edildi.
- 44 H.W.Wanzlick, H.J. Kleiner, I. Lasch, J.Lieb.Ann.Chem. 708, 155 (1961).
- 45 W. Kemp, "Organic Spectroscopy" The Macmillan Press Ltd. 1st. Ed. 1975.
- 46 H. Bock er al., Angew. Chem. Int. Ed. Engl. 1679 (1991).
- 47 A.B. Turner, H.C.S. Wood. J. Chem. Soc. 5270 (1965).
- 48 R.J. Abraham, J.F. Fisher, P.Loftus, "Introduction to NMR Spectroscopy" John Wiley & Sons, 2nd.Ed. 1988.
- 49 H.A. Jasim, "X-Ray Crystallographic Studies of Some Organometallic Compounds and Their Organic Ligand Precursors" Ph.D. Thesis, University of Sussex, Brighton, 1986.
- 50 K.H. Taffs et al., J. Org. Chem. 463 (1961).
- 51 P.W. Alley and D.A. Shirley, J.Org.Chem. 1791 (1958).
- 52 M.F.Lappert, T.R. Martin and G. M. McLaughlin, J.Chem.Soc. Chem.Commn. 637 (1980).
- 53 A.V.El'tsov, Zh.Organ.Khim. 199 (1967).
- 54 M.Z.Girshovich ve A.V.El'tsov, Zh.Obsch.Khim. 941 (1969).
- 55 H. E. Winberg, D.D. Coffman, J. Amer. Chem. Soc. 2776 (1965).
- 56 J. Hocker, R. Merten, Liebigs Ann. Chem. 751, 145 (1971).
- 57 W. Krasuski, D. Nikolaus, M. Regitz, Liebigs Ann. Chem. 1451 (1982).
- 58 J. Metzger et al., Bull.Soc.Chim.France. 2857 (1964).

- 59 J. Cardin, B. Çetinkaya, M.J. Doyle, M.F. Lappert, *J. Chem. Soc. Chem. Rev.* 1, 99 (1973).
- 60 D. J. Cardin, M.J. Doyle, M.F. Lappert, *J. Chem. Soc. Chem. Commun.* 927 (1972).
- 61 B. Çetinkaya et al., "Advances in Metal Carbene Chemistry", pp.59-66, ed. U. Schubert, Kluwer Academic Publishers, 1989.
- 62 A. W. Coleman, P.B. Hitchcock, M.F. Lappert et al., *J. Organomet. Chem.*, 250, C9-C14 (1983).
- 63 M. J. Doyle, M.F. Lappert et al., *J. Chem. Soc. Dalton Trans.* 2355 (1984).
- 64 A. W. Coleman, P.B. Hitchcock, M.F. Lappert et al., *J. Organomet. Chem.* 296, 173 (1985).
- 65 M. F. Lappert, R. K. Maskell, *J. Organomet. Chem.* 264, 217 (1984).
- 66 M.J. Doyle, M.F. Lappert, *J. Chem. Soc. Chem. Commun.* 679 (1974).
- 67 M.F. Lappert, *J. Organomet. Chem.* 358, 185 (1988).
- 68 B. Çetinkaya, "Kavramlarla Anorganik Kimya", İnönü Üniversitesi Basımevi, Malatya, 1993.
- 69 R. K. Maskell, "Electron-Rich Olefin Derived Carbene-Transition-Metal Complexes As Hydrosilylation Catalysts" Ph.D.Thesis, University of Sussex, Brighton, 1980.
- 70 J.A. Chamizo, M.F. Lappert, *J. Org. Chem.* 54, 4684 (1989).
- 71 E. Çetinkaya, *Kimya ve Sanayi*, 32, 157 (1989).
- 72 J. Hocker, R. Merten, *Liebigs Ann. Chem.* 16 (1978).
- 73 J.E. Baldwin, S. F. Branz, J.A. Walker, *J. Org. Chem.* 4143 (1977).
- 74 J.E. Baldwin, J.A. Walker, *J. Amer. Chem. Soc.* 596 (1974).
- 75 R. Breslow, *J. Amer. Chem. Soc.* 80, 3719 (1958).
- 76 V. Kren et al., *J. Chem. Soc. Chem. Commun.* 341 (1993).

ÖZGEÇMİŞ

16/12/1963 tarihinde Malatya'nın Yeşilyurt ilçesinde doğdu. İlk ve orta öğrenimini Yakınca ve Yeşilyurt'ta tamamladı. 1981 yılında İnönü Üniversitesi Kimya Bilim Lisansına girmeye hak kazandı. 1985 yılında Kimya Mühendisi ünvanı ile mezun oldu. Mezun olduğu yıl aynı Üniversitede Kimya Anabilim Dalında Yüksek Lisansa başladı. 1988 yılında Yüksek lisansını tamamlayarak Organik Kimya Anabilim Dalında Bilim Uzmanı ünvanı aldı. 1988 yılında Doktora yapmaya başladı. Doktora çalışmalarının bir kısmını tamamlamak üzere bir yıl İngiltere'nin Sussex Üniversitesinde Prof.Dr. Michael F. LAPPERT 'in laboratuvarında çalıştı. 1986 yılından beri İnönü Üniversitesi Fen-Edebiyat Fakültesinde Araştırma Görevlisi olarak çalışan Hasan KÜÇÜKBAY evli ve bir çocuk babasıdır.